

**ƏHMƏD ABDİNOV, VAQİF SƏFƏROV**

**ELEKTRON TEXNİKASININ  
MATERIALLARI VƏ  
NANOTEXNOLOGİYANIN  
ƏSASLARI**

*Ali məktəblər üçün dərslik*

*Azərbaycan Respublikası Təhsil  
Nazirliyinin 10.11.2008-ci il tarixli  
1226 №-li əmri ilə təsdiq edilmişdir.*

**«TƏHSİL»  
BAKİ – 2010**

Elmi redaktor:

N.M.Mehdiyev,  
*fizika-riyaziyyat elmləri doktoru, professor*

Rəyçilər:

A.H.Kazimzadə,  
*fizika-riyaziyyat elmləri doktoru, professor*

Y.Q.Nurullayev,  
*fizika-riyaziyyat elmləri doktoru, professor*

621.3  
A14

273344

**Abdinov Ə.S., Səfərov V.H.**

A14 Elektron texnikasının materialları və nanotexnologiyanın əsasları (*ali məktəblər üçün dərslik*). Bakı, «Təhsil», 2010, 184 səh.

Dərslikdə elektron texnikasında istifadə edilən müxtəlif növ materialların fiziki xassələri, tətbiq sahələri və xüsusiyyətləri, eləcə də nanotexnologiya haqqında ən vacib məlumatlar verilmişdir. Kitab ali məktəblərin fizika, fiziki elektronika, elektron texnikası, radioelektronika, materialşünaslıq ixtisasları üzrə təhsil alan tələbələr (bakalavr və magistrler) üçün nəzərdə tutulsa da, ondan ali və orta ixtisas təhsili məktəblərinin müəllimləri, elmi işçilər, aspirantlar, doktorantlar, mühəndis və laborantlar da faydalana bilər.

Dərslik 184 sahifə, 64 illüstrasiya və istinad olunan 20 adda ədəbiyyatın siyahısından ibarətdir.

A 2302030000  
053 2010

Bakı Dövlət Universiteti  
ELMI KİTABXANA

© «Təhsil», 2010

# MÜNDƏRİCAT

GİRİŞ ..... 5

## I FƏSİL. VAKUUM TEHNİKASININ MATERİALLARI: METALLAR VƏ ƏRİNTİLƏR

§ 1.1. Vakuum texnikasında istifadə olunan materiallara qoyulan ümumi tələblər .....	7
§ 1.2. Elektrovakuum sistemlərində istifadə olunan metallar .....	8
§ 1.3. Çətin əriyən və qalvanik çıxışlar üçün istifadə olunan ərintilər .....	11
§ 1.4. Metalların şüşə və keramika ilə birləşməsi .....	12

## II FƏSİL. KEÇİRİCİ MATERİALLAR

§ 2.1. Keçiricilər haqqında ümumi məlumat .....	14
§ 2.2. Metalların təsnifikasi .....	16
§ 2.3. Metalların elektrik və istilik keçiriciliyi .....	18
§ 2.4. Metalların elektrik xassələri .....	21
§ 2.5. Metal ərintilərinin elektrik xassələri .....	24
§ 2.6. İfratkeçiricilik .....	25
§ 2.7. İfratkeçirici materiallar .....	29
§ 2.8. İfratkeçiricilərin tətbiqi .....	30
§ 2.9. Əlvən metallar .....	31
§ 2.10. Qeyri-metal keçirici materiallar .....	34

## III FƏSİL. DİELEKTRİKLƏR

§ 3.1. Dielektriklərin polyarlaşması .....	36
§ 3.2. Dielektriklərin elektrik keçiriciliyinin əsas növləri .....	40
§ 3.3. Qazların elektrik keçiriciliyi .....	41
§ 3.4. Maye dielektriklərin elektrik keçiriciliyi .....	43
§ 3.5. Bərk dielektriklərin elektrik keçiriciliyi .....	45
§ 3.6. Dielektriklərin elektrik möhkəmliyi və deşilməsi .....	46
§ 3.7. Dielektrik itkisi .....	50
§ 3.8. Dielektrik materialların təsnifikasi .....	52
§ 3.9. Passiv dielektriklər .....	54
§ 3.10. Kompozisiyalı tozlu plastmaslar və laylı plastiklər .....	55
§ 3.11. Elektroizolyasiya üçün istifadə olunan kompaundlar .....	57
§ 3.12. Qeyri-üzvi şüşələr .....	58
§ 3.13. Aktiv dielektriklər .....	63
§ 3.14. Elektretlər .....	76

## IV FƏSİL. YARIMKEÇİRİCİLƏR

§ 4.1. Ümumi məlumat .....	79
§ 4.2. Məxsusi və aşqar yarımkəçiricilər .....	81
§ 4.3. Sərbəst yükdaşıyıcıların konsentrasiyasının temperaturdan asılılığı .....	84
§ 4.4. Yarımkeçiricilərdə sərbəst yükdaşıyıcıların yüyürlüyü .....	86
§ 4.5. Tarazlılıqda olmayan sərbəst yükdaşıyıcılar və onların rekombinasiyası .....	87
§ 4.6. Yarımkeçiricilərdə optik udulma .....	89
§ 4.7. Fotokeçiricilik .....	94
§ 4.8. Lüminessensiya .....	96
§ 4.9. Termoelektrik hadisələri .....	97
§ 4.10. Holl effekti .....	98
§ 4.11. Güclü elektrik sahəsində yarımkəçiricilərin elektrik keçiriciliyi .....	100
§ 4.12. Qann effekti .....	101
§ 4.13. Yarımkeçirici materialların təsnifatı .....	104
§ 4.14. Germanium və onun tətbiq sahələri .....	107
§ 4.15. Silisium və onun tətbiq sahələri .....	109
§ 4.16. Karbidlər və onların tətbiq sahələri .....	112
§ 4.17. A <sup>III</sup> B <sup>V</sup> birləşmələri tipli yarımkəçiricilər .....	114
§ 4.18. Oksid yarımkəçiricilər .....	117
§ 4.19. Süsəvari yarımkəçiricilər .....	119
§ 4.20. Üzvi yarımkəçiricilər .....	120
§ 4.21. Bərk üzvi yarımkəçiricilərin təsnifatı .....	122
§ 4.22. Yarımkeçirici materialların alınması .....	124
§ 4.23. Yarımkeçirici strukturların hazırlanması .....	126

## V FƏSİL. NANOMATERIALLAR

§ 5.1. Nanomaterialların təsnifatı .....	130
§ 5.2. Kvant çuxuru, kvant sapı və kvant nöqtəsi .....	131
§ 5.3. Nanoborucuqlar .....	138
§ 5.4. Nanoborucuqların elektrik və mexaniki xassələri .....	140
§ 5.5. Nanoborucuqların tətbiq sahələri .....	143
§ 5.6. Mexaniki möhkəmləndirmə .....	148
§ 5.7. Həcmi nanoquruluşlu materiallar .....	149
§ 5.8. Optik şüslərdə metallik nanoklasterler .....	151
§ 5.9. Məsaməli silisium .....	153
§ 5.10. Nanoquruluşlu kristal materiallar .....	155

## VI FƏSİL. MAQNİT MATERİALLARI

§ 6.1. Maddənin maqnitlənməsini xarakterizə edən parametrlər .....	157
§ 6.2. Maddələrin maqnit xassələri .....	158
§ 6.3. Maqnit materiallarının təsnifatı .....	167
§ 6.4. Böyük və hədsiz böyük maqnit müqaviməti .....	170
ƏDƏBİYYAT .....	182

*Azərbaycan Respublikasında elektron texnikası materiallarının alınması və tədqiqi sahəsində çox dəyərli işlər görmüş, bu sahədə dünya miqyasında tanınan elmi məktəb yaratmış, elmi və elmi-pedaqoji kadrların hazırlanmasına böyük əmək sərf etmiş görkəmli alim, gözəl müəllim, ləyaqətli insan, maraqlı şəxsiyyət və heç vaxt həmkarlarının, şagirdlərinin yaddaşından silinməyən, bizim isə müəlli-miz, dostumuz və həmkarımız olan fizikariyaziyyat elmləri doktoru, professor Qüdrət Əli oğlu Axundovun nurlu xatırasına həsr edirik.*

*Müəlliflər*

## **G İ R İ Ş**

Müasir texniki tərəqqinin başlıca vəzifələrindən biri də məişət və istehsalatda tətbiq olunan müxtəlif təyinatlı cihaz və qurğuların təbii proseslərin gedisiñə mənfi təsir göstərmədən işləməsini təmin etməkdir. Bu cihaz və qurğuların qoyulan tələbdən yayınması təbiətdə idarə olunmayan qlobal proseslərin baş verməsinə səbəb olur. Belə proseslərə misal olaraq, müxtəlif cihaz və qurğuların işləməsi prosesində atmosferə müxtəlif qazlar buraxılması nəticəsində Yer kürəsində hər il orta temperatur göstəricisinin yüksəlməsini, atmosferdə canlı orqanizmlər üçün çox təhlükəli olan ozon dəliklərinin yaranması nəticəsində ionlaşdırma qabiliyyəti yüksək olan şüaların maneəsiz yer ətrafına çata bilməsi təhlükəsini göstərmək olar. Belə qurğularla təbiət proseslərinin öz axınına uyğun inkişafı arasında sıx əlaqə yaratmaq üçün ekoloji cəhətdən zərərsiz qurğu və cihazların yaradılması müasir elektron texnikasının əsas problemlərindəndir. Bu problemlərin həlli isə ilk növbədə müxtəlif təyinatlı mürəkkəb proseslərin idarə olunmasını yüksək dəqiqliklə həyata keçirə bilən, ölçüləri və enerji sərfi kiçik, əməliyyatı yerinə yetirmə müddəti isə çox-çox kiçik olan müasir elektron cihaz və qurğularının hazırlanması ilə bağlıdır. İstənilən şəraitdə işləyə bilən belə cihaz və qurğuların hazırlanana bilməsi isə ilk növbədə onların düzəldilməsində istifadə olunan materialların fiziki xassələrindən asılıdır.

Bu baxımdan elektron texnikasında istifadə olunan materialların təsnifatını hər hansı xarici təsirlə əlaqələndirmək başlıca amillərdən biridir.

Elektron texnikasında istifadə olunan materialların təsnifatını elektrik və maqnit sahələrinin, işığın, radiasiyanın, deformasiyanın hər birinin ayrı-ayrılıqda, eləcə də müəyyən bir qrupunun birlikdə həmin materiallara göstərdikləri təsirə görə aparmaq olar. Mövcud maddələri maqnit sahəsinin təsirinə həssaslığına görə güclü və zəif maqnetiklərə, elektrik sahəsinin təsirinə göstərdiyi reaksiyaya görə isə keçiricilər, yarımkəçiricilər və dielektriklərə, işığın təsirinə həssaslığına görə fotokeçiricilərə və qeyri-fotohəssas materiallara, radiasiyanın təsirinə həssaslığına görə radioaktiv həssas və radioaktiv dəyişli, deformasiyaya həssaslığına görə tenzohəssas və tenzdəyişli materiallara ayıırlar.

Tətbiq sahələrindən asılı olaraq bu qruplara daxil olan materiallar bir sıra alt qrup əmələ gətirirlər. Belə alt qruplara maqnit, lüminofor, kvant elektronikası və vakuum texnikası, optoelektronika və s. üçün materiallar daxildir.

Əsas qrupa daxil olan keçirici materiallar, onlardakı sərbəst yükdaşıyıcıları hesabına yaxşı elektrik keçiriciliyinə malikdirlər. Keçirici materiallar elektron (metallar və yarımkəçiricilər), ion (elektrolytlər) və qarışq elektron-ion (plazma) keçiriciliyinə malik olurlar. Metalların xüsusi elektrik müqaviməti  $10^{-5} \text{ Om}\cdot\text{m}$ -dən kiçik olur. Yarımkəçiricilərin fiziki xassələri, o cümlədən elektrik keçiriciliyi onun tərkibindəki aşqarın miqdarı və kimyəvi təbəti ilə yanaşı, həm də xarici təsirlərdən kəskin asılı olur. Bu materialların (yarımkəçiricilərin) xüsusi müqaviməti, bir qayda olaraq  $10^{-6} \div 10^9 \text{ Om}\cdot\text{m}$  aralığında dəyişir. Dielektriklər xarici elektrik sahəsində polyarlaşmaları və daxillərində elektrostatik sahənin yaranması ilə xarakterizə olunur. Dielektrik materiallar üçün xüsusi müqavimətin qiyməti  $10^9 \text{ Om}\cdot\text{m}$ -dan böyük olur. Kimyəvi Elementlərin Dövri Sisteminə daxil olan 110 kimyəvi elementdən 25-i qeyri metal, 12-si isə yarımkəçirici xüsusiyyətinə malikdir. Sistemin yerdə qalan elementləri isə elektrik keçiriciliyinə görə metaldır. Elementar maddələrdən əlavə, keçirici, yarımkəçirici və dielektrik xassələrinə malik minlərlə kimyəvi birləşmələr, ərintilər və yaxud kompozisiyalar (qarışqlar) da var. Son zamanlar nanotexnologiyanın inkişafı çoxlu sayıda nanomaterialların alınması, onların təsnifatı və tətbiq dairəsinin müəyyən olunmasını tələb edir.

# I FƏSİL

## VAKUUM TEXNİKASININ MATERİALLARI: METALLAR VƏ ƏRİNTİLƏR

### § 1. Vakuum texnikasında istifadə olunan materiallara qoyulan ümumi tələblər

Vakuum – latin sözü olub, boşluq deməkdir. Vakuumun fiziki xarakteristikası olaraq buradakı qaz molekullarının sərbəst yolunun orta uzunluğunun ( $\lambda$ ) onların yerləşdiyi vakuum kamerasının (qabın) divarları arasındaki məsafəyə və ya elektrovakuumun cihazlarında elektrodlar arasındaki məsafəyə (d) olan nisbəti götürülür. Bu iki kəmiyyətin qiymətindən asılı olaraq baxılan həcmədəki təzyiqin  $1\text{ mm Hg-dən}$  böyük olduğu aşağı ( $\lambda/d << 1$ );  $1 \div 10^{-3} \text{ mm Hg}$  tərtibində olduğu orta ( $\lambda/d \approx 1$ );  $10^{-8} \text{ mm Hg-dən}$  kiçik olduğu – ifrat yüksək vakuum anlayışlarından istifadə olunur.

Ifrat yüksək vakuum  $\lambda/d$  nisbəti ilə deyil, vakuumda bərk cismin səthində monomolekulyar qaz layının yaranma müddəti ( $\tau$ ) ilə təyin olunur.  $10^{-6} \text{ mm Hg}$  təzyiqdə  $\tau=1$  san olur. Digər hallarda isə  $\tau = \frac{10^{-6}}{P}$  ifadəsi ilə təyin edilir. Qeyd etmək lazımdır ki, bu ifadə o halda özünü doğruldur ki, hər bir qaz molekulu bərk cismin səthi ilə toqquşduqdan sonra onun səthində qalmış olsun. Beləliklə, hər bir vakuum cihazının keyfiyyəti, ilk növbədə onun hansı materialdan hazırlanması ilə təyin olunur. Bu məsələni ətraflı nəzərdən keçirək.

Keçirici materiallar vakuum cihazlarında, bir qayda olaraq aşağı təzyiqlər və yuxarı temperaturlarda istifadə edilir. Bu şəraitdə işçi temperatur ərimə temperaturu ( $T_{ər}$ ) ilə deyil, materialın doymuş buxarının ( $P_d$ ) təzyiqi ilə məhdudlaşır. Verilmiş temperaturda ( $T$ ) vakuumda metalin buxarlanma intensivliyi

(I) böyük olduqca  $P_d$  də bir o qədər yüksək olur. Bu iki kəmiyyət arasında

$$P_d = k \frac{I\sqrt{T}}{M}$$

şəklində əlaqə var. Burada  $k$  –vahidlərin seçilməsindən asılı olan əmsal,  $M$ -maddənin molekulyar kütləsidir.

Metal və ərintilər buxarlanaraq vakuum cihazlarının izolədici soyuq hissələrində çökür və keçirici lay yaradır. Bunun nəticəsində cihazın elementlərinin ölçüləri və elektrodlar arasındakı məsafə dəyişir. Bu da ümumilikdə cihazın parametrlərinin pişləşməsinə səbəb olur. Buna görə də vakuumda istifadə edilən metalin işçi temperaturda doymuş buxarnın təzyiqi və onunla mütənasib olan buxarlanma intensivliyi kiçik olmalıdır.

Vakuum materiallarının başlıca parametrləri sırasında xətti genişlənmənin temperatur əmsali ilə yanaşı mexaniki xassəsini xarakterizə edən sürüşmə hüdudunu da ( $G$ ) göstərmək olar.  $G$  – yüksək temperaturlarda metalda “axıcılıq” başlanmasının göstəricisidir. Həmin proses nəticəsində torların və katod spirallarının çökməsi baş verir. Metal və ərintilər qazlara qarşı kimyəvi baxımdan dayanıqlı olmalıdır. Çünkü cihazların ayrı-ayrı elementlərini hazırlayarkən onlarda qazların udulması sulfid oksidlərinin və digər aşqarların yaranmasına səbəb ola bilər. Materialların əsas xarakteristikalarına xüsusi müqavimət ( $\rho$ ), müqavimətin temperatur əmsalı  $\alpha_t$  və çıxış işi ( $A_{\text{çix}}$ ) də aiddir.

## § 1.2. Elektrovakuum sistemlərində istifadə olunan metallar

**Nikel (Ni).** Ərimə temperaturu  $1452^{\circ}\text{C}$  olan Ni, gümüşü – ağ rəngli metaldır. Elektrovakuum əritmə üsulu ilə təmizlik dərəcəsi 99,99% olan nikel almaq mümkündür. Nikelin  $25\text{-}600^{\circ}\text{C}$  intervalında xətti genişlənmə əmsalı  $1,55 \cdot 10^{-5} \text{ dər}^{-1}$ , xüsusi müqaviməti  $\rho=0,0683 \cdot 10^{-6} \text{ Om} \cdot \text{m}$ , müqavimətin temperatur əmsalı isə  $6,8 \cdot 10^{-1} \text{ K}^{-1}$ -dir. Manqanlaşdırılmış nikeldən gücləndirici lampaların möhkəmlənmiş torları və dolaqlar (travers) hazırla-

nır. Elektron lampalarının anodlarını hazırlamaq üçün səthində 8-15 mkm qalınlıqlı alüminumlaşdırılmış təbəqə olan nikel lentlərindən istifadə olunur. Vakuumda nikel üçün normal işçi temperatur  $800^{\circ}\text{C}$ -dir.

**Dəmir (Fe).** Dəmirin ərimə temperaturu  $1535^{\circ}\text{C}$  olub, qazlardan çox çətinliklə təmizlənir. Elektron texnikasında, əksər hallarda tərkibində 0,05% karbon olan poladdan istifadə edilir. Dəmir kimyəvi baxımdan dayanıqlı deyil. Bununla belə, civə ilə reaksiyaya girmir. Dəmirin xətti genişlənmə əmsali  $1,4 \cdot 10^{-5} \text{ K}^{-1}$ , xüsusi müqaviməti  $\rho = 9,6 \cdot 10^{-8} \text{ Om} \cdot \text{m}$ , müqavimətin temperatur əmsali isə  $5,6 \cdot 10^{-3} \text{ K}^{-1}$ -dir.

Alüminumlaşdırılmış dəmir  $800^{\circ}\text{C}$ -ə qədər qızdırıla bildiyindən anod və ekranların, az karbonlu polad isə -  $500^{\circ}\text{C}$ -ə qədər civəli düzləndiricilərin və iqnitronların hazırlanmasında istifadə olunur. Ərimə temperaturunun qiymətinə görə çətin əriyən metallar aşağıdakı ardıcılıqla düzülür: Ti (titan), Zr (sirkonium), Nb (niobium), Mo (molibden), Ta (tantal), Re (renium), W (volfram).

**Titanın (Ti)** ərimə temperaturu  $1725^{\circ}\text{C}$ , xətti genişlənmə əmsali  $1,13 \cdot 10^{-5} \text{ K}^{-1}$ , çıxış işi isə  $A = 4,09 \text{ eV}$  -dir.

Titan  $500^{\circ}\text{C}$ -də qazları aktiv sürətdə uda bilir. Bu metallın xüsusi müqaviməti  $\rho = 0,42 \cdot 10^{-6} \text{ Om} \cdot \text{m}$ , müqavimətin temperatur əmsali isə  $5,5 \cdot 10^{-3} \text{ K}^{-1}$ -dir.

Titan məftildən düzəldilmiş spirallar, eləcə də titan örtük-lü anod və torlar yüksək qaz uduculuğuna və istilik şüalanmasına malikdir.

**Sirkoniumun (Zr)** ərimə temperaturu  $1845^{\circ}\text{C}$ , xətti genişlənmə əmsali  $8,4 \cdot 10^{-5} \text{ K}^{-1}$ , çıxış işi  $A = 3,8 \text{ eV}$ , xüsusi müqaviməti  $\rho = 0,4 \cdot 10^{-6} \text{ Om} \cdot \text{m}$ , müqavimətin temperatur əmsali isə  $4,6 \cdot 10^{-3} \text{ K}^{-1}$ -dir. Bu metal  $700^{\circ}\text{C}$  -də oksigen və azotu yaxşı udur, hidrogeni isə yalnız  $800^{\circ}\text{C}$ -dən yuxarı temperaturda udmağa başlayır.

**Niobiumun (Nb)** Xüsusi müqaviməti  $0,18 \cdot 10^{-6} \text{ Om} \cdot \text{m}$ , çıxış işi  $3,96 \text{ eV}$ , müqavimətin temperatur əmsali isə  $3 \cdot 10^{-3} \text{ K}^{-1}$ -ə

bərabərdir. Niobium yüksək plastikliyə malik olduğundan ondan nazik folqa və məftillərin, bir sıra lampalarda anod və ekranların, eləcə də güclü generator lampalarında katodların hazırlanmasında istifadə olunur. Bu materialların maksimal işçi temperaturu  $2100^{\circ}\text{C}$ -dir.

**Molibdenin (Mo)** ərimə temperaturu  $2622^{\circ}\text{C}$ , xətti genişlənmə əmsalı  $5,4 \cdot 10^{-6}\text{K}^{-1}$ , çıxış işi  $4,27\text{ eV}$ , xüsusi müqaviməti  $0,048 \cdot 10^{-6}\text{ Om} \cdot \text{m}$ , müqavimətinin temperatur əmsalı  $4,79 \cdot 10^{-3}\text{ K}^{-1}$ -dir. Gümüşü-ağ rəngə malik olan bu metalin yüksək temperaturda sərtliyə və möhkəmliyə malik olması ondan geniş miqyasda istifadə etməyə imkan verir. O, işçi temperaturu  $1000$ - $1700^{\circ}\text{C}$  olan generator və gücləndirici lampaların anod və torlarının hazırlanmasında da istifadə edilir. Maqnetron və qazla doldurulmuş cihazlarda oturacaq lövhəsi və çətin əriyən şüşələrin üzərindəki qalvanik çıxışlar molibdendən hazırlanır. Molibdenin maksimal işçi temperaturu  $1700^{\circ}\text{C}$ -dir.

**Tantal (Ta)** öz fiziki və kimyəvi xassələrinə görə niobiuma oxşayır. Ərimə temperaturu  $3000^{\circ}\text{C}$  olan bu metalin xətti genişlənmə əmsalı  $8,8 \cdot 10^{-6}\text{K}^{-1}$ , xüsusi müqaviməti  $0,42 \cdot 10^{-6}\text{ Om} \cdot \text{m}$ , müqavimətin temperatur əmsalı  $5,5 \cdot 10^{-3}\text{K}^{-1}$ , çıxış işi  $4,1\text{ eV}$ -dir. Vakuumda çox kiçik buxarlanma intensivliyinə,  $1800^{\circ}\text{C}$  temperaturda isə yüksək qaz uduluğuna malikdir. Bunun üçün də digər qazuduculardan istifadə etmədən tantandan generatorlarda, eləcə də lampalarda anod və torların hazırlanmasında istifadə olunur. Bu metaldan, həmçinin dolayı yolla qızdırılmış katodların hazırlanmasında istifadə edilir.

**Reniumun (Re)** ərimə temperaturu  $3177^{\circ}\text{C}$ , xətti genişlənmə əmsalı  $0,68 \cdot 10^{-5}\text{ K}^{-1}$ , xüsusi müqaviməti  $0,21 \cdot 10^{-6}\text{ Om} \cdot \text{m}$ , müqavimətinin temperatur əmsalı  $1,73 \cdot 10^{-3}\text{K}^{-1}$ , çıxış işi  $4,8\text{ eV}$ -dir. Bununla yanaşı, yüksək möhkəmliyə, xüsusi elektrik müqavimətinə və buxarlanma intensivliyinə malik olan reniumdan, həm də birbaşa qızdırılan katodların və katod qızdırıcılarının hazırlanmasında istifadə edilir.

**Volfram (W)** ərimə temperaturu  $3395^{\circ}\text{C}$ , xətti genişlənmə əmsalı  $0,44 \cdot 10^{-5}\text{ K}^{-1}$ , xüsusi müqaviməti  $0,055 \cdot 10^{-6}\text{ Om} \cdot \text{m}$ ,

müqavimətinin temperatur əmsali  $4,8 \cdot 10^{-3} K^{-1}$ , çıxış işi 4,54 eV-dır. Maksimal işçi temperaturu  $2500^{\circ}C$  olan volfram çox kiçik buxarlanma intensivliyinə və xətti genişlənmə əmsalına malikdir. Ondan generatorların və yüksəkvoltlu düzləndiricilərin lampalarında bilavasitə qızdırılan katodların, həm də rentgen və maqnetron katodlarının hazırlanmasında istifadə edilir.

### **§ 1.3. Çətin əriyən və galvanik çıxışlar üçün istifadə olunan ərintilər**

Elektrovakuum cihazlarında § 2-də adları çəkilən metallarla yanaşı, onların əsasında hazırlanmış müxtəlif ərintilərdən də istifadə olunur. Bu ərintilər göstərilən materiallardan, daha da yüksək möhkəmliyə və xüsusi müqavimətə malik olması ilə fərqlənir. Bir sıra hallarda ərintilər daha yaxşı emal olunur. Məsələn, müəyyən tərkibli molibdenli ərinti kifayət qədər bərk və möhkəm olub, təmiz molibdendən kəskin fərqlənir. Molibdenin reniumla (35%) ərintisinin bərkliyi təmiz molibdenlə müqayisədə 3 dəfə böyük olub, öz keyfiyyətini  $1600^{\circ}C$ -ə qədər saxlayır və onu daha asanlıqla ştamplamaq olur. Molibdenin volframla (50%) ərintisi yüksək ərimə temperaturuna ( $2900^{\circ}C$ ) malik olub, daha böyük mexaniki möhkəmlik və xüsusi müqavimətlə ( $1,2 \cdot 10^{-7} Om \cdot m$ ) xarakterizə olunur. Belə ərintilərdən katodların qızdırıcılarını hazırlamaq üçün istifadə edilir. Mo-Fe-Ni ərintisi  $1400^{\circ}C$  ərimə temperaturuna malik olub, tərkibindəki metallarla müqayisədə daha böyük mexaniki möhkəmliyə malikdir. Bu ərintidən hazırlanmış məftildən elektrovakuum lampalarının torlarının və dolaqlarının (travers) düzəldilməsin-də istifadə olunur.

Elektrovakuum cihazlarında, bir qayda olaraq elə ərintilərdən istifadə edilir ki, onların xətti genişlənmə əmsali şüşə və keramikanın işçi rejimdəki xətti genişlənmə əmsalına mümkün qədər yaxın olsun. Bundan əlavə, həmin ərintilər, həm də yüksək mexaniki möhkəmliyə, ərimə temperaturuna və kiçik xüsusi müqavimətə malik olmalıdır.

**Dəmir-nikel-xrom** ərintisi 42% Ni ,6% Gr, 52-47% Fe komponentlərindən ibarət olur. Onun ərimə temperaturu  $1400^{\circ}\text{C}$ , xətti genişlənmə əmsalı  $9,1 \cdot 10^{-6} \text{ dər}^{-1}$ , xüsusi müqaviməti isə  $9 \cdot 10^{-7} \text{ Om} \cdot \text{m}^{-\text{ə}}$  bərabərdir. Bu ərinti maqnetiklərə aid olub kiçik Küri ( $\theta=260^{\circ}\text{C}$ ) temperaturuna malikdir.

**Kobalı (Ni 30%, Ge 8%, Co 25%, Fe 37%)** ərinti üçün Küri temperaturu  $380^{\circ}\text{C}$ -dir. Bu ərintidən tez əriyən şüşələrdə cərəyan çıxışlarının hazırlanmasında istifadə olunur. 29% Ni, 18% Co və 53% Fe-dan təşkil olunmuş ərinti kovar adlanır. Bu ərintidən şüşə və keramikalarda cərəyan çıxışlarının hazırlanmasında istifadə olunur.

Elektrovakuum cihazlarında istifadə edilən lehimlərə qoymulan bir sıra ümumi tələblərlə yanaşı, həm də onların ərimə temperaturu sorma zamanı baş verən qızma temperaturundan ən azı  $100^{\circ}\text{C}$  yüksək olmalıdır. Qızma temperaturunda ( $500 \div 700^{\circ}\text{C}$ ) buxarın təzyiqi  $10^{-7} \text{ mm Hg-dən}$  böyük olmamalıdır. Adətən elektrovakuum cihazlarında orta ( $500 \div 700^{\circ}\text{C}$ ), yüksək ( $1150 \div 1850^{\circ}\text{C}$ ) ərimə temperaturuna malik olan və çətin əriyən ( $t_{er} > 1850^{\circ}\text{C}$ ) lehimdən istifadə olunur. Oksid və flyüsün qalığı vakuum aralığını çirkəndirdiyindən elektrovakuum texnikasında lehimlənmələr qaz (argon) mühitində və ya  $10^{-3} \text{ mm Hg-dən}$  aşağı olmayan vakuumda flyüssus aparılır.

#### § 1.4. Metalların şüşə və keramika ilə birləşməsi

Vakuum texnikasında metal və şüşə hissələri arasında rabitə, bu iki materialın aralığında oksid təbəqəsinin həll olması hesabına yaradılır. Bu zaman həmin hissələrin arasında keçid zonası əmələ gəlir və burada kəsilməz olaraq həll olan oksidin konsertrasiyası dəyişir. İstifadə edilən metal və şüşənin xətti genişlənmə əmsalları bir-birinə  $10^{-6} \text{ K}^{-1}$ -yə qədər yaxın olmalıdır.

Kovar və borsilikatlı şüşənin birləşməsi  $1000 \div 1080^{\circ}\text{C}$ -də baş verir. Kovarın tərkibində asılı olaraq molibdenli və volframlı şüşələrdən istifadə olunur. Bu zaman istifadə edilən lehi-

min tərkibi 96%-sirkonium, 3%-volfram və 1% titandan ibarət götürülür. Bu ərinti yaxşı işlənir, uzadılmaya və ştamplanmaya imkan verir.

Elektrovakuum cihazlarının düzəldilməsində keramika ilə metalların birləşməsində tərkibində 75-85%  $\text{AlO}_3$  olan gil-torpaq keramikadan istifadə edilir. Son zamanlar bu məqsədlə berilişli keramikadan da istifadə olunur. İstifadə edilən ərintinin xətti genişlənmə əmsali keramikanından böyük olan halda elə konstruksiya seçilir ki, baxılan detalın keramika hissəsini əhatə etsin. Ümumiyyətlə, çalışılır ki, hər iki materialın xətti genişlənmə əmsali uzlaşın. Birləşmənin lehimlənməsi iki mərhələdə aparılır. Birinci mərhələdə keramikanın səthi əvvəlcə tərkibində 80% molibden və 20% manqan olan toz qarışığı ilə örtülür, sonra isə 3:1 nisbətində qarışdırılmış azot-hidrogen atmosferində 1300-1600°C-ə qədər qızdırılır.

İkinci mərhələdə hidrogen və ya azot-hidrogen mühitində mis-gümüş, mis-qızıl və nikel-qızıl tərkibli lehim materialından istifadə etməklə lehimləmə əməliyyatı həyata keçirilir. Bu zaman lehimləmə üçün misdən, dəmir-nikel və ya dəmir-nikel-kobalt ərintilərindən hazırlanmış detallardan istifadə edilir.

## II FƏSİL

### KEÇİRİCİ MATERİALLAR

#### § 2.1. Keçiricilər haqqında ümumi məlumat

Elektrik cərəyanını keçirən materiallar bərk, maye və xüsusi şəraitdə qaz halında ola bilər. Keçirici bərk cisimlərə metallar, metal ərintiləri və karbonun bəzi modifikasiyaları aiddir.

Metal-istiliyi və elektrik cərəyanını yaxşı keçirən, xüsusu parlaqlığa, plastikliyə və kristal quruluşuna malik bərk cisimdir. Kristal cisimlərin anizotropiya xassəsi metallara xas deyil. Ərimiş metal soyuduqda onun həcmində çoxlu sayıda elementar kristalçıqlar əmələ gələrək, kristallitlərə çevrilir. Bunlar isə öz növbəsində müxtəlif istiqamətdə böyükərək bir-biri ilə birləşir və düzgün olmayan quruluşa çevrilir. Kristallitlər öz xassələrinə görə izotrop cisimlərə daha yaxın olur. Metalların yüksək elektrik və istilik keçiriciliyinə malik olmasına səbəb, onlarda atomlara aid olmayan çoxlu sayıda sərbəst elektronların mövcudluğudur. Elektrik sahəsi olmadıqda metallarda bu elektronların bütün istiqamətlərdəki istilik hərəkəti eyni ehtimala malikdir. Xarici elektrik sahəsinin təsiri altında elektronların hərəkətində nizamlı hərəkət (dreyf hərəkəti) üstünlük təşkil etməyə başlayır. Bu istiqamətdəki elektronların sürəti çox da böyük olmur ki, bunun da səbəbi qəfəsin düyünlərindəki ionlardan və müxtəlif defektlərdən sərbəst elektronların səpilməsidir. Səpilmənin dərəcəsi qəfəsdə olan defektlərin artması ilə çoxalır. Misal üçün, misdə kiçik miqdarda marqans və ya silisiumun olmasına onun elektrik keçiriciliyini kəskin azaldır. Metal və ərintilərin elektrik keçiriciliyinin azalmasına ikinci səbəb, onların pərçimləşməyə (sıklaşmağa) məruz qalmasıdır. Bərk halda dartılmış naqıl, yumşaq halda düzəldilmiş naqılə nisbətən daha kiçik keçiriciliyə malikdir. Metalın bərkiməsi zamanı kristallaşma prosesi baş verir ki, bu da keçiriciliyin artmasına səbəb olur.

Kristal qəfəsin bu prosesdə özünü düzgün formasını alması keçiriciliyin əvvəlki qiymətinə çatmasına səbəb olur.

Bəzi hallarda kiçik keçiriciliyə malik olan materialların alınması lazım gəlir. Bu məqsədlə metal ərintilərindən istifadə edilir. Bərk metal ərintilər bərk məhlul şəklində mövcud olur. Bu tip ərintilərin alınma mexanizmi aşağıdakı kimidir. İki müxtəlif materialdan olan metal əridilərək qarışdırıldıqda onlardan (komponentlərdən) birinin atomları kristal qəfəsdə ikinci komponentin atomlarını qismən əvəz edir. Bu zaman alınmış məhlul əvəz edilmiş məhlul adlanır.

Komponentlərindən birinin atomunun ikinci komponentin kristal qəfəsinin düyü nöqtələrindəki atomlar arasında yerləşməsi nəticəsində alınmış ərinti isə daxil edilmiş bərk məhlul adlanır.

Birinci və ikinci komponentin atomlarının ölçüləri, elektron örtüyünün quruluşu və ya hər iki komponentin eyni tip qəfəs quruluşuna malik olması, ərintinin komponentləri arasında müxtəlif çəki nisbətlərində kəsilməz (müntəzəm) əvəz edilmiş bərk məhlul almağa imkan verir.

Daxil edilmiş bərk məhlul alınır ki, bir komponentin atomunun ölçüsü digər komponentin atomunun ölçüsündən  $15\div20\%$  kiçik olduqda alınır. Ərintilərin elektrik keçiriciliyi onların komponentlərinin elektrik keçiriciliyindən kiçik olur. Məsələn, 6:4 nisbətində alınmış mis-nikel ərintisinin elektrik keçiriciliyi təmiz misinkindən 30 dəfə, nikelinkindən isə 7 dəfə kiçikdir. Ərintilərin elektrik müqavimətinin temperatur əmsali çox da böyük olmur. Metallarda sərbəst elektronların konsentrasiyası temperaturdan asılı deyil. Onların yüyürüklüyü və uyğun olaraq materialın elektrik keçiriciliyi temperaturun yüksəlməsi ilə kiçilir. Bu, temperaturun yüksəlməsi ilə sərbəst elektronların səpilməsinin güclənməsi hesabına baş verir.

Bərk məhlulların qəfəs quruluşundakı pozuntular o qədər böyük olur ki, temperaturun yüksəlməsi ona az təsir göstərir. Bu səbəbdən də həmin materiallarda müqavimətin temperatur

əmsalı kiçik olur. Adətən metal və ərintilərin keyfiyyət xarakteristikası olaraq elektrik keçiriciliyi deyil, xüsusi müqavimət götürür. Bu kəmiyyət  $\text{Om} \cdot \text{mm}^2 / \text{m}$  və ya  $\text{Om} \cdot \text{m-l}$  ölçülür.

Maye keçiricilərə ərimiş metallar və müxtəlif elektrolitlər aiddir. Civə (ərimə temperaturu mənfi  $35^0\text{C}$ -dir) istisna olmaqla, metalların ərimə temperaturu yüksəkdir. Buna görə də normal şəraitdə keçirici maye metala civəni misal göstərmək olar. Qalliumun ərimə temperaturu  $29,8^0\text{C}$ -dir.

Bərk və maye metalların keçiriciliyi sərbəst elektronların hərəkəti ilə müəyyən olunduğundan, onlar elektron keçiriciliyinə malik keçiricilər və ya birinci cins keçiricilər adlanır.

Elektrolitlərə və ya ikinci cins keçiricilərə turşuların, qələvilərin, duzların sulu məhlulları və həmçinin ionlu birləşmələrin ərintiləri daxildir. Bu cins keçiricilərdən cərəyan keçərkən elektrik yükü təkcə sərbəst elektronlar hesabına deyil, həm də ionlarla daşınır. Bu səbəbdən də cərəyan axan elektrolitlərin tərkibi dəyişir və elektrodların üzərində maddə toplanması baş verir. Bütün qaz və buxarlar, o cümlədən metalların buxarı elektrik sahəsinin kiçik intensivliklərində keçirici deyil. Lakin gərginliyin müəyyən bir qiymətdən böyük qiymətlərində zərbələrlə, istilik hesabına və fotoionlaşmanın təsiri nəticəsində qaz elektrik cərəyanını keçirən mühitə çevrilə bilər. Bu zaman o, qarışq elektron və ion keçiriciliyinə malik olur. Güclü ionlaşmış qazın vahid həcmində olan elektron və mənfi yüklü ionların sayı müsbət yüklü ionların sayına bərabər olduqda yaranmış keçirici mühit **plazma** adlanır.

## § 2.2. Metalların təsnifikasi

Hal-hazırda metalların keçirici material kimi ümumi qəbul edilmiş (qanuna uyğun) bir təsnifikasi mövcud deyil. Buna baxmayaraq, onları tərkibinə (təmiz metallar və ərintilər), elektrik keçiriciliyinin qiymətinə, Dövri Sistemdəki yerinə, elektron örtüklərinin quruluşuna və s. görə qruplaşdırmaq olar.

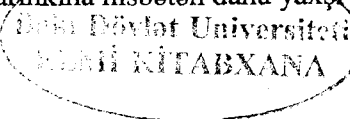
27334

Adətən keçiriciliyinin qiymətinə görə metallar “yaxşı” və “pis” keçiricilər qrupuna ayrılır. Yüksək plastikliyə malik olan metallar “yaxşı” keçiricilərə aid edilir. Bu qrupa qızıl, gümüş, alüminium, mis kimi bir çox metalları daxil etmək olar. “Pis” keçiricilər qrupuna Kimyəvi Elementlərin Dövri Sisteminin beşinci qrupunda yerləşən elementləri aid etmək olar. Məsələn, bismut, sürmə, mərgümüş və s. Həmin metallar çox kövrək olmaqla bərabər, həm də cərəyanı pis keçirir. Bunlar, bəzən yarımmetallar adlanır.

Kimyəvi Elementlərin Dövri Sistemində tutduqları yerə görə qələvi (Sistemin birinci A - yarımqrupuna daxil olan natrium və digər elementlər), əlvən (birinci B - qrupuna daxil olan birvalentli mis, gümüş, qızıl), qələvitorpaq (Sistemin ikinci yarımqrupuna daxil olan kalsium, stronsium, barium, radium), çoxvalentli, (ikinci qrupa, üçüncü A - və dördüncü A – yarımqrupa daxil olan elementlər), eləcə də aktinitlər və nadir torpaq elementləri kimi metal qrupları var.

Hər bir qrupun daxilində metalların elektrik keçiriciliyi bir-birinə yaxın olub, digər qruplardakından kəskin fərqlənir. Məsələn, əlvən metallar (mis, gümüş, qızıl) kiçik müqavimətə malik olduğu halda, nadir torpaq elementləri qrupundan olan metallar (qadolinium və digərləri) böyük müqavimətə malikdir.

Kvant mexanikasının müddəalarına əsasən, Kimyəvi Elementlərin Dövri Sistemində elementlərin sıra nömrəsi artdıqca ardıcıl olaraq onların elektron örtüklerinin elektronlarla dolma prosesi gedir. Ancaq sıra nömrəsinin müəyyən qiymətindən sonra qonşu iki örtüyün enerjisi eyni olduğundan əvvəlcə növbəti örtük deyil, bundan sonra gələn örtük dolur. Hansı elementdə belə proses gedirsə, həmin kimyəvi element kecid elementi adlanır. Bu elementlərin hamısı metal olub, Kimyəvi Elementlərin Dövri Sistemində bir neçə sıra təşkil edir (skandiumdan-nikelə, itterbiumda-palladiuma, manqandan-platinə). Digər metallar, normal metallar adlanır. Müasir fizika normal metalların xassələrini kecid metalların kəsən daha yaxşı izah edə bilir.



Bu deyilənlərdən əlavə, metalları onların tətbiq sahələrindən asılı olaraq da, qruplara ayırmaq olar:

1. Elektrik dövrələrində istifadə olunan yüksək keçiriciliyə malik metallar;
2. Yüksək keçiriciliyə malik metallar əsasında hazırlanmış ərintilər;
3. Rezistorların, qızdırıcı elementlərin və termocütlərin hazırlanmasında istifadə olunan metallar;
4. Fotokatodların düzəldilməsində istifadə olunan metallar;
5. Elektrovakuum və qazla doldurulmuş cihazlarda istifadə olunan metal və ərintilər;
6. Elektrik dövrəsini açıb-bağlayan və ya dövrədə cərəyanın istiqamətini dəyişdirən açarların hazırlanmasında istifadə olunan metallar;
7. Lehim, toxunma və birləşmə yerlərində istifadə olunan metallar;
8. Müxtəlif xüsusi məqsədlər üçün istifadə olunan metallar.

### **§ 2.3. Metalların elektrik və istilik keçiriciliyi**

Bərk cisim fizikasında potensiallar və ya temperaturlar fərqi nəticəsində yüksək zərrəciklər və enerji selinin yaranması hadisəsinə kinetik hadisələr deyilir. Bu zaman yaranan selin qiyməti onu törədən potensiallar və ya temperaturlar fərqi ilə mütənasibdir. Asılılığın mütənasiblik əmsalı isə keçiricinin həndəsi ölçülərindən və materialından asılı olur. Həndəsi ölçülərin qiyməti vahidə bərabər olduqda mütənasiblik əmsalı yalnız materialın xassələri ilə təyin edilməklə, onun fundamental fiziki xarakteristikası olur. Bu fiziki xarakteristika kinetik əmsal adlanır. Dəyişən sahədə yaranan cərəyan həndəsi ölçülər və kinetik əmsalla yanaşı, həm də sahənin dəyişmə tezliyindən, naqılın formasından və sxemin elementlərinin bir-birinə nəzərən yerləşmə vəziyyətindən asılıdır. Məsələn, naqılın dəyişən

cərəyanaya uyğun müqavimətinin cərəyanın dəyişmə tezliyindən asılılığı nəticəsində cərəyan naqilin en kəsiyinin mərkəzindən kənarlarına doğru sıxlılır. Kinetik hadisələrə misal olaraq elektrikkeçirmə, istilikkeçirmə, termoelektrik-, qalvanomaqnit- və termomaqnit hadisələrini göstərmək olar. Bu kinetik hadisələr sırasındaki ən mühümləri elektrik və istilik keçiriciliyidir. Bu hadisələr kəmiyyətcə Om

$$j = \sigma E \quad (2.1)$$

və Furye

$$W = \alpha \Delta T \quad (2.2)$$

qanunları ilə ifadə olunur. Bu ifadələrdəki  $j$ -cərəyan sıxlığı,  $W$  - istilik selinin sıxlığı,  $\Delta T$  - naqilin vahid uzunluğuna düşən

temperaturlar fərqi,  $\sigma = \frac{n \tau e^2}{2m_0}$  - metalların klassik elektron nə-

zəriyyəsinə əsasən hesablanmış xüsusi elektrik keçiriciliyi,  $n$  - elektronların konsentrasiyası,  $\tau$ -onların sərbəst uçuş müd-

dəti,  $e$  - elektronların elektrik yükü,  $m_0$  - elektronların kütləsi,

$\alpha = \frac{3n \tau k^2}{2m_0}$  isə xüsusi istilik keçiriciliyidir. Empirik yolla alın-

mış Videman-Frans qanununa görə elektrik keçiriciliyi ilə istilikkeçirmə arasında xarakteristik bir asılılıq mövcuddur.

Həmin asılılığa görə  $\alpha/\sigma$  nisbəti temperaturla düz mütənasib olub, bütün metallar üçün təqribən eyni qiymətə malikdir. Bu nisbətin mütləq temperatura nisbəti ilə təyin olunan mütənasiblik əmsali Lorents ədədi ( $L$ ) adlanır və bütün metallar üçün eyni qiymətə malikdir:

$$L = 3 \left( \frac{k}{e} \right)^2 = 2,23 \cdot 10^{-8} \frac{V^2}{K^2}. \quad (2.3)$$

Sərbəst elektronlara Fermi-Dirak statistikasını tətbiq etdikdə Lorens ədədi üçün daha dəqiq qiymət alınır:

$$L = \frac{\pi^2}{3} \left( \frac{k}{e} \right)^2 = 2,45 \cdot 10^{-8} \frac{V^2}{K^2} \quad (2.4)$$

Bu nəzəri qiymət təcrübədən metallar üçün otaq temperaturunda təyin edilmiş təcrübi qiymətlə daha yaxındır.

Klassik elektron nəzəriyyəsi metallar üçün bir sıra məsələləri düzgün izah etsə də, elektron qazının kiçik istilik tutumuna malik olmasını izah edə bilmir. Bərk cismə harmonik rəqs edən ossilyatorlar sistemi kimi baxdıqda molyar istilik tutumunun qiymətini  $3R$ -ə bərabər götürmək olar. Yüksək temperaturlarda özünü doğrudan bu nəticə fizikada Dyulonq-Pti qanunu kimi məlumdur.

Lakin metallarda enerjinin udulması prosesində təkcə rəqs edən atomların deyil, sərbəst elektronların iştirakını da nəzərə almaq lazımdır. Bu baxımdan metalların istilik tutumu sərbəst elektronları olmayan dielektriklərdən böyük olmalıdır. Müxtəlif metallardakı sərbəst elektronların konsentrasiyanın eyni olduğunu və hər bir elektronu ideal qaz atomu kimi qəbul etməklə onun orta istilik enerjisini  $\frac{3}{2} KT$ -yə, istilik tutumunu

isə  $\frac{3}{2} K$ -ə bərabər götürdükdə metalin molyar istilik tutumu

$$C_V = C_{qef} + C_e = 3R + \frac{3}{2} KN_0 = 3R + \frac{3}{2} R = \frac{9}{2} R \quad (2.5)$$

olar.

Burada  $C_{qef}$ -qəfəsin,  $C_e$ -elektron qazının istilik tutumları,  $K$ -Bolsman sabiti,  $N_0$ -sərbəst elektronların sayı,  $R$ -universal qaz sabitidir. Lakin məlum olduğu kimi, yüksək temperaturlarda metalların istilik tutumu dielektriklərin istilik tutumundan fərqlənmir, yəni metal qızdırıldıqda elektron qazı istilik udmur. Bu nəticə klassik elektron nəzəriyyəsinin müddəalarına ziddir. Bu çatışmazlıq rus alimi Y.İ.Frenkel və alman alimi A.Zommerfeld tərəfindən işlənmiş metalların kvant nəzəriyyəsi əsasında aradan götürülmüşdür. Həmin nəzəriyyəyə görə, metalların xüsusi elektrik keçiriciliyi:

$$\sigma = \frac{e^2 n \bar{l}}{m_n^* V_f} . \quad (2.6)$$

Burada  $V_f$  - enerjisi fermi enerjisine bərabər olan elektronların istilik sürəti,  $m_n^*$  - elektronların effektiv kütləsi, e-elektronun yükü, n - sərbəst elektronların konsentrasiyası,  $\bar{l}$  - elektronun sərbəst yolunun orta uzunluğuudur.

Elektronların  $m_n^*$  - effektiv kütləsini və  $V_f$  - istilik sürətini onların n konsentrasiyası ilə ifadə etsək

$$\sigma = \frac{e^2 n^{2/3} \bar{l}}{h} \left( \frac{8\pi}{3} \right)^{1/3} \quad (2.7)$$

olar. Burada h-Plank sabiti,  $\bar{l}$ -elektronun sərbəst yolunun orta uzunluğuudur.

Təmiz metallarda sərbəst elektronların konsentrasiyası müxtəlif materiallar üçün çox az fərqlənir və temperaturdan asılı olaraq dəyişmir. Buna görə də metallarda elektrik keçiriciliyi, elektronların sərbəst yolunun orta uzunluğu ilə müəyyən olunur. Sonuncu isə öz növbəsində atomların kimyəvi təbiətdən və kristal qəfəsin tipindən asılıdır. Metallarda elektrik keçiriciliyinin temperaturdan asılılığı elektronların hərəkətinin dalğası təbiəti və de-Broyl dalğasının uzunluğu ilə təyin olunan elektron dalğalarının kristal qəfəsdə müxtəlif defektlərdən səpilməsi ilə izah olunur.

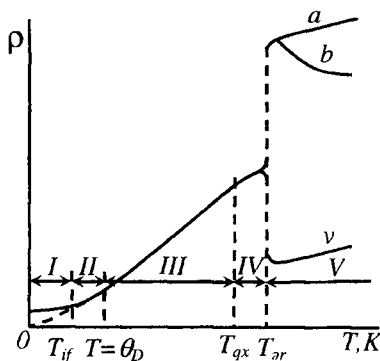
## § 2.4. Metalların elektrik xassələri

Praktikada keçiriciləri xarakterizə etmək üçün

$$\rho = \frac{l}{\sigma} \quad (2.8)$$

xüsusi müqavimət anlayışından istifadə olunur. Müxtəlif metal naqillərin müqaviməti

$$R = \rho \frac{l}{S} \quad (2.9)$$



Şəkil 2.1

ifadəsi ilə təyin olunur. Burada  $l$ -naqılın uzunluğu,  $S$ -en kəsiyi-nin sahəsidir. Geniş temperatur intervalında xüsusi müqavimətin temperaturundan asılılığının xarakterini müəyyən etmək həm nəzəri, həm də praktiki əhəmiyyət kəsb edir. Metalların xüsusi müqavimətinin temperaturdan asılılığının qrafiki şəkil 2.1-də göstərilmişdir. Bu şəkildə təsvir olunmuş asılılığın bir neçə Kelvin dərəcədən geniş olmayan I oblastında bir sıra metallar ifrat keçiricilik halında olur. Qrafikdən göründüyü kimi,  $T_{if}$  temperaturunda xüsusi müqavimət sıçrayışla sıfıra düşür. Düzgün quruluşa malik olan təmiz metallarda temperatur  $0^\circ\text{K}$ -ə yaxınlaşdıqca müqavimət sıfıra (qırıq xətt) yaxınlaşır və bu zaman elektronların sərbəst yolunun orta uzunluğunun qiyməti sonsuzluğa yaxınlaşır. Adi temperaturda metalda elektronların sərbəst yolunun orta uzunluğu atomlar arasındaki məsafədən yüz dəfələrlə böyük olur. II oblastda xüsusi müqavimətin kəskin artması müşahidə olunur. Bu zaman  $\rho \sim T^n$  asılılığında  $n$ -nin qiyməti 5-ə qədər arta bilir. Temperatur Debay temperaturuna ( $\theta$ ) bərabər olduqda isə  $n \approx 1$ . Asılılığın III oblastı xəttidir və o, ərimə temperaturuna qədər davam edə bilir. Ferromaqnit metal-

lar bu qaydadan kənarda qalır. Çünkü həmin metallarda elektronların əlavə səpilməsi meydana gəlir. Bəzi metallarda  $T_{\alpha}$ - temperaturunda xəttilikdən kənara çıxmalar müşahidə olunur.

Əksər metallar bərk haldan maye halına keçdikdə onların xüsusi müqavimətinin 1,5-2 dəfə böyüməsi, bismut və gallium kimi mürəkkəb kristal quruluşlu metallarda isə əksinə xüsusi müqavimətin kiçilməsi müşahidə olunur. Təcrubi yolla müəyyənləşdirilib ki, metal əridikdə onun həcmi artırsa xüsusi müqaviməti sıçrayışla böyür. Əksinə, əriyəndə metalin həcmi kiçilirsə - onun xüsusi müqavimətin kiçilməsi müşahidə olunur. Ərimə zamanı nə sərbəst elektronların konsentrasiyası, nə də onların arasındaki qarşılıqlı təsirin xarakteri dəyişmir. Bu halda xüsusi müqavimətin dəyişməsinə səbəb atomların nizamlı düzülüşünün pozulmasıdır. Ga və Bi-da müşahidə olunan anomaliya isə ərimə zamanı sixilmanın artması ilə bağlıdır. Bu da öz növbəsində atomların istilik rəqslerinin amplitudunun kiçilməsinə səbəb olur.

Temperaturun 1 K dəyişməsi zamanı xüsusi müqavimətin nisbi dəyişməsinə xüsusi müqavimətin temperatur əmsali deyilir:

$$\alpha_{\rho} = \frac{1}{\rho} \cdot \frac{d\rho}{dT} . \quad (2.10)$$

Burada  $\alpha_{\rho}$  - müsbət işaretli olub, verilmiş nöqtə etrafında temperaturun yüksəlməsi ilə xüsusi müqavimətin artmasına uyğun gəlir.  $\alpha_{\rho}$  - əmsalı temperaturdan da asılıdır.  $\rho(T)$  asılılığının xətti oblastında:

$$\rho = \rho_0 [1 + \alpha_{\rho} (T - T_0)] . \quad (2.11)$$

Otaq temperaturunda metalların əksəriyyəti üçün  $\alpha_{\rho} = 0,004 K^{-1}$ . Ferromaqnit metallar üçün  $\alpha_{\rho}$ -bu qiymətdən bir qədər böyükdür. Elektron dalğasının metallarda səpilməsində təkcə düyün nöqtələrinin rəqsi deyil, eləcə də onların statistik defekt quruluşu da rol oynayır. Statistik defektlərdən səpilmə temperaturdan asılı deyil. Buna görə də, temperatur müt-

ləq sıfırı yaxınlaşdırıqca real metalların müqaviməti  $\rho_{qal}$  – qalıq müqaviməti adlanan müəyyən sabit qiymətə yaxınlaşır. Buradan da, xüsusi müqavimətin additivliyinə uyğun olaraq

$$\rho = \rho_1 + \rho_{qal} \quad (2.12)$$

Mattisen qaydasi alınır.

Bu qayda belə ifadə olunur: metalların tam xüsusi müqaviməti, kristal qəfəsin düyüün nöqtələrində yerləşən atomların rəqslərindən səpilən elektronlarla əlaqədardır;  $\rho_1$ -xüsusi müqavimət,  $\rho_{qal}$  - isə quruluşun statistik defektlərindən səpilən elektronlarla əlaqəli müqavimətdir. İfrat keçiriciliyə malik metallar bu qaydadan kənarda qalır.

### § 2.5. Metal ərintilərinin elektrik xassələri

Elektron texnikasında metal ərintilərindən geniş istifadə olunur. Eyni kristal quruluşa malik olan metallar müxtəlif nisbətdə qarışdırıldıqda kəsilməz bərk məhlul əmələ gətirir.

Kristal qəfəsin düyünlərində müxtəlif növ atomların statistik paylanması periodik potensial sahədə hiss oluna bilən fluktuasiya yaradır. Bu isə öz növbəsində elektronların güclü səpilməsinə gətirir. Metallar kimi, ərintilərin də xüsusi müqavimətini iki toplananın cəmi şəklində göstərmək olar:

$$\rho_{er} = \rho_1 + \rho_{qal} . \quad (2.13)$$

Burada  $\rho_1$  – elektronların qəfəsin istilik rəqslərindən,  $\rho_{qal}$  - isə ərintinin quruluşunun qeyri-bircinsliklərindən səpilməsi ilə bağlı müqavimətdir. Bərk məhlulların xarakterik xüsusiyyəti  $\rho_{qal} \gg \rho_1$  olmasıdır.

Bir çox iki komponentli ərintilər üçün xüsusi müqavimətin tərkibdən asılılığı parabolik xarakter daşıyır:

$$\rho_{qal} = CX_a X_b = CX_b(1 - X_b) . \quad (2.14)$$

Burada C-ərintinin təbiətindən asılı olan sabit kəmiyyət,  $X_a$  və  $X_b$  – isə ərintiyə daxil olan komponentlərə uyğun atomların nisbi miqdarıdır. Bu münasibət Nordheym qanunu adlanır.  $X_a=X_b=0,5$  olduqda qalıq müqavimət özünün maksimal qiymətini alır.

Nordheym qanunu xüsusü müqavimətin dəyişməsini o zaman düzgün xarakterizə edir ki, komponentlərdən heç biri kecid və nadir torpaq elementlərinə aid olmasın.

Ərintidə komponentlərdən birinin miqdarı çox az olarsa, ona aşqar kimi baxmaq mümkündür. Bu halda  $(1-X_b) \approx 1$  qəbul edilir və (2.14) ifadəsi

$$\rho_{gal} = CX_b \quad (2.15)$$

xətti asılılığına çevrilir.

## § 2.6. İfratkeçiricilik

Bir sıra metal və ərintilərdə mütləq sıfıra yaxın temperaturlarda xüsusü müqavimətin kəskin azalması müşahidə olunur. Bu hadisə ifratkeçiricilik adlanır. İfratkeçiricilik halına keçidin baş verdiyi temperatura keçidin böhran temperaturu deyilir. Əksər hallarda bu kəmiyyət  $T_{if}$  - ifratkeçiricilik temperaturu kimi işarə olunur. İfratkeçiricilik hadisəsi ilk dəfə holland alimi Kammerlinq-Onnes tərəfindən cəvədə ( $T_{if}=4,2$  K) aşkar edilmişdir.

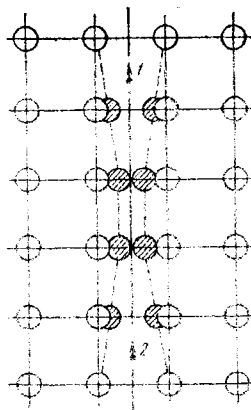
Əgər ifratkeçirici həlqədə dəyişən maqnit sahəsinin köməyi ilə cəryan yaratmış olsaq, bu cərəyan uzun müddət sönüməyəcəkdir. İfratkeçiricilik halında materialların xüsusü müqaviməti təqribən  $10^{-25}$  Om·m tərtibində olur ki, bu da misin otaq temperaturundakı xüsusü müqavimətdən  $10^{17}$  dəfə kiçikdir.

İfratkeçiricilik hadisəsini yalnız kvant fizikası anlayışları əsasında başa düşmək olar.

Alınmış təcrübə nəticələri izah edən ifratkeçiriciliyin mikroskopik nəzəriyyəsi 1957-ci ildə Amerika alımları Bardin, Kuper və Şriffer tərəfindən yaradılmışdır. Bu nəzəriyyə çox

vaxt qısalılmış şəkildə BKŞ nəzəriyyəsi adlandırılır. İfratkeçiriciyi metaldakı elektronların bir-birini cəzb etməsi ilə izah etmək olar. Bu isə o zaman mümkündür ki, elektronlar müsbət yüklü ionlar mühitində yerləşsin. Bunlara uyğun sahə elektronlar arasındaki kulon itələmə qüvvəsini azaldır və Fermi səviyəsinə yaxın yerləşən və elektrik keçiriciliyində iştirak edən elektronlar bir-birini cəzb edə bilir.

Əgər belə cazibə mövcuddursa, impulsları və spinləri əks olan elektronlar cüt şəklində əlaqə yaradır və bu cütə Kuper cütü deyilir. Kuper cütlerinin yaranmasında başlıca rolу qəfəsin istilik rəqslərinin (fononların) elektronlarla qarşılıqlı təsiri oynayır. Bərk cisimlərdə elektron fononu uda və ya yarada bilər. Fərz edək ki, bir elektron qəfəslə qarşılıqlı təsirdə olub, onu həyəcanlanmış vəziyyətə keçirir və öz impulsunu dəyişir. Digər elektron isə qəfəslə qarşılıqlı təsirdə olaraq onu normal hala keçirir və o da öz impulsunu dəyişir. Nəticədə qəfəsin hələ dəyişmir və elektronlar fonon mübadiləsində olur. Fonon mübadiləsi nəticəsində elektronlar arasında cazibə qüvvəsi kulon itələmə qüvvəsindən böyük olur. Elektronların qəfəs vasitəsilə fonon mübadiləsini sxematik olaraq şəkil 2.2-dəki kimi təsvir etmək olar.



**Şəkil 2.2**

Ifratkeçirici metallarda elektron cütünün əmələ gəlmə sxemi

Elektron müsbət ionların arasında hərəkət etdiyi zaman qəfəsi polyarlaşdırır, elektrostatik sahənin köməyi ilə ionları özünə cəzb edir. Bu səbəbdən elektronun hərəkət trayektoriyası boyunca ionların sıxlığı artır. Birinci elektronun arxasında hərəkət edən ikinci elektron müsbət ionlar sıxlığının artması hesabına cəzb oluna bilər. Nəticədə, dolayı yolla qəfəslə qarşılıqlı təsir nəticəsində 1-ci və 2-ci elektron arasında cazibə qüvvəsi yaranır. 2-ci elektron 1-ci elektronla Kuper cütü yaradır. Cazibə qüvvəsi böyük olmadıqından elektronlar fəzada zəif lokallaşmış olur. Kuper cütünün effektiv diametri  $10^{-7}$  m olub, minlərlə elementar özəyi əhatə edir. Bu cütlər parçalanır və yenidən əmələ gəlir. Ümumilikdə bütün elektron cütləri elektron kondensatı (mayesi) əmələ gətirir ki, onların da enerjisi, sərbəst elektronların enerjisindən kiçik olur. Bu səbəbdən də ifratkeçiricinin enerji spektrində eni  $2\Delta$ -ya bərabər olan yarıq əmələ gəlir. Bu yarıqda enerji səviyyələri mövcud olmur. Cütlənmiş elektronlar spektral yarığın dibində yerləşir. Təqribi hesablamalar göstərir ki, bu cür elektronların sayı ümumi elektronların  $10^{-4}$  hissəsini təşkil edir. Enerji yarığının eni temperaturdan asılıdır və mütləq sıfırda maksimal qiymətə malikdir,  $T=T_{ik}$ -də isə tamamilə itir.

BKS nəzəriyyəsinə görə yarığın eni ilə keçidin böhran temperaturu arasında

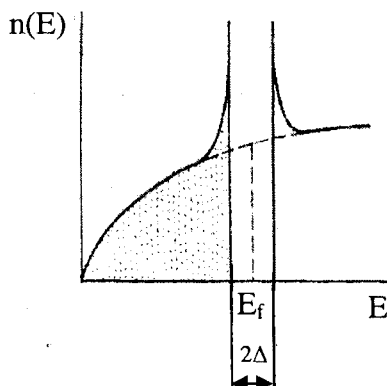
$$2\Delta_{0K} = 3,52 kT_{ik} \quad (2.16)$$

Şəklində əlaqə var.

Bir çox ifrat keçiricilər üçün bu enin qiyməti  $10^{-4} - 10^{-3}$  eV aralığında yerləşir.

Metalların elektrik müqaviməti elektronların qəfəsin istilik rəqslərindən və aşqarlardan səpilməsi ilə əlaqədardır. Enerji yarığı mövcud olduğundan əsas haldan həyacanlanmış hala keçmək üçün əlavə enerji lazımdır. Aşağı temperaturda elektron həmin enerjini qəfəsdən ala bilmir. Bu zaman rəqslərin istilik enerjisi yarığın enindən kiçik olur. Buna görə də, cütlənmiş elektronlar qəfəsin quruluşundakı defektlərdən səpilmir.

Kuper cütlərinin əsas xüsusiyyətləri ondan ibarətdir ki, onların impulsları eyni olub, bir-birindən asılı olaraq dəyişir. Cütlərin hərəkətini xarakterizə edən elektron dalğası eyni dalğa uzunluğuna və fazaya malik olur. Elektron cütlərinin hamisının hərəkətinə bir dalğa kimi baxmaq olar. Bu dalğa qəfəsdə səpilmir və quruluş defektlərindən yan keçir. Elektron cütünün özünü belə aparması elektron kondensatının yüksək mütəhərrikliyə malik olmasını göstərir. Cütlər yığımı daim dəyişdiyindən cüt əmələgətirən elektronlar da daim dəyişir. Mütləq sıfır dərəcədə cüt şəklində birləşmiş elektronlar Fermi səviyyəsinə yaxın yerləşir. Temperatur yüksəldikcə bəzi cütlərin parçalanması baş verir.



**Şəkil 2.3.**  
İfratkeçiricilik halında metalda elektronların enerjiye  
görə paylanması

Bu isə öz növbəsində yarığın eninin kiçilməsinə səbəb olur.  $T=T_{ik}$  olduqda cütlərin hamısı parçalanır, yarığın eni sıfıra bərabər olur və ifrat keçiricilik aradan qalxır.

## § 2.7. İfratkeçirici materiallar

İndiki məlumatlara görə ifratkeçiricilik xassəsinə 26 metal malikdir. Bunlardan əksəriyyətinin böhran temperaturu 4,2 K olduğundan, onlar 1-ci növ ifratkeçiricilər adlanır. Elə bu səbəbdən də metalların əksəriyyəti ifratkeçirici materiallar kimi elektrotexnikada istifadə olunmur. Bu metallardan əlavə, daha 13 kimyəvi element yüksək təzyiq altında ifratkeçirici xüsusiyyətinə malik olur. Bunlara, həmçinin silisium, germanium, selen, tellur, sürmə kimi yarımkəçiricilər də aiddir. Qeyd etmək lazımdır ki, normal şəraitdə yüksək keçiriciliyə malik metallar ifratkeçiricilik xassəsinə malik deyil. Belə metallara qızıl, mis, gümüş aiddir. Həmin materialların xüsusi müqavimətinin kiçik olmasına səbəb sərbəst elektronların qəfəslə qarşılıqlı təsirinin zəif olmasıdır. Belə zəif qarşılıqlı təsir mütləq sıfır temperaturda elektronlar arasındaki cazibənin Kulon qarşılıqlı itələmə qüvvəsindən kiçik olduğunu göstərir. Bu da onların ifratkeçiricilik halına keçməsinə mane olur.

Təmiz ifratkeçirici metallarla yanaşı, ifrat keçiricilik xassəsinə malik çoxlu sayıda intermetal birləşmələr və ərintilər də mövcuddur. Həmin birləşmə və ərintiləri də nəzərə alsaq, hal-hazırda 2000-ə yaxın ifratkeçirici material mövcuddur. Belə materialların ifratkeçiricilik halına keçməsi üçün maye heliumdan deyil, daha ucuz başa gələn maye hidrogendən istifadə etmək olar.

Intermetallar və ərintilər II növ ifratkeçiricidir. Lakin ifratkeçiriciləri I və II növ kimi qruplara ayırmak heç də mütləq deyil. Çünkü hər bir I növ ifratkeçirici materialın kristal qəfəsində kifayət qədər defektlər yaratmaqla, onu II növ ifratkeçirici materiala çevirmək olar. Məsələn, təmiz qalayda ( $T_{ik}=3,7\text{K}$ ) qeyri-bircins mexaniki deformasiya yaratmış olsaq, onun böhran temperaturu 9K-ə qədər, maqnit sahənin böhran gərginliyi isə 70 dəfəyə qədər artmış olur. Ferromaqnit və antiferromaqnit metallarda ifratkeçiricilik müşahidə olunmur. Yarımkəçiricilərdə və dielektriklərdə adı şəraitdə ifratkeçiriciliyin müşahidi-

də olunmamasına səbəb, həmin materiallarda sərbəst elektronların konsentrasiyasının kiçik olmasıdır.

Bununla belə, yüksək dielektrik nüfuzluğuna malik olan materiallarda elektronlar arasındakı Kulon dəfetmə qüvvəsinin kiçilməsi onlarda ifratkeçiriciliyin müşahidə olunmasına imkan yaradır. Buna seqnetoelektriklər qrupuna daxil olan ( $\text{SnTiO}_3$ ) – titanat stronsiumu misal göstərmək olar.  $\text{GeTe}$ ,  $\text{SnTe}$ ,  $\text{CuS}$  və digər yarımkəçiricilərə çoxlu miqdarda aşqar daxil etməklə onları ifratkeçirici hala gətirmək mümkündür. Bundan əlavə, xüsusi texnologiya ilə alınmış saxsı materiallar maye azotda (77 K-də) ifrat keçirici halına keçir. Saxsı materialın və maye azotun alınma texnologiyası sadə olmaqla yanaşı, həm də çox ucuz başa gəlir.

## § 2.8. İfratkeçiriciliklərin tətbiqi

İfratkeçiricilərin ən başlıca tətbiq sahəsi ifrat güclü maqnit sahələrinin alınmasında istifadəsidir. Bu materiallardan hazırlanmış solenoiddən intensivliyi  $10^7 \frac{A}{M}$  olan güclü maqnit sahəsinin alınmasında istifadə edilir. İfratkeçirici materiallarda yaradılan cərəyan əlavə enerji sərf olunmadan uzun müddət davam edir. İfratkeçirici solenoid elementar zərrəciklərin sürətləndirilməsində istifadə olunan sinxrofazatron və digər sürətləndiricilərin ölçülərinin kiçildilməsinə imkan verir. İfratkeçiricilərin tətbiqi hesabına elektrotexnikada polad içlikləri aradan götürmək mümkündür ki, bu da istifadə olunan elektromaqnitlərin kütlələrinin 5-7 dəfə azaldılmasına imkan verir. İfratkeçiricilər əsasında transformatorların hazırlanması isə həmin qurğuların gücünün 10-100 MVt-a qədər artmasını təmin edir. Sabit, eləcə də dəyişən cərəyanlar üçün xətlərin hazırlanması da perspektivli məsələlərdəndir və bu məsələnin həllində də ifratkeçiricilərdən istifadə oluna bilər.

Plazma toplarının və bərk cisimli lazerlərin həyəcanlaşdırılmasında da ifratkeçirici materiallardan düzəldilmiş sarğılardan istifadə olunur.

Kiçik elektrik müqavimətinə və böyük keyfiyyət əmsalına malik olması ifratkeçiricilərin radiotexnikada rezonatorların, maqnit sahəsində itələmə xüsusiyyətinə malik olması isə - yüksək sürətli dəmiryol nəqliyyatının hazırlanmasında istifadəsinə imkan yaradır.

## § 2.9. Əlvan metallar

Elektron texnikasında kimyəvi cəhətdən dayanıqlı olan əlvan metallar kimi əsasən qızıl, gümüş, platin və palladiumdan istifadə edilir. Bu metallar təbiətdə külçə şəklində və ya bəzi filizlərin tərkibində tapılır. Onların yüksək təmizlik dərəcəsini təmin etmək üçün kimyəvi və elektrolitik çökdürmə üsullarından istifadə edilir.

Bu üsullarla təmizlik dərəcəsi 99,998% olan qızıl (Au), 99,998% olan platin (Pt), 99,999% olan gümüş (Ag) və 99,94% olan palladium (Pd) alınır.

**Qızıl (Au)** sarı rəngli parlaq metal olub, yüksək plastikliyə malikdir. Dartılma zamanı bərklik hüdudu 150 MPa, qırılma uyğun nisbi uzanması 40% təşkil edir. Qızılın ərimə temperaturu  $1063^0\text{C}$ , xüsusi müqaviməti  $2,25 \cdot 10^{-4}\text{ Om} \cdot \text{m}$ , çıxış işi 4,3 eV-dur. O, diamaqnit xassəsinə malikdir, ifratkeçiricilik xassəsinə isə malik deyil.

Nazik qızıl təbəqəsini katod tozlanması, vakuumda termik buxarlanma və kondensasiya üsulları ilə almaq mümkündür. Belə təbəqələr yüksək keçiriciliyə malik olmaqla yanaşı, həm də üzərinə düşən işıq şüasını çox az udur. Bu səbəbdən də nazik qızıl təbəqəsindən neytral optik filtrlərin, yarımkəçirici fotorezistor və fotoelementlər üçün yarımsəffaf elektrodların, mikrosxemlərdə keçirici sahə və əlaqələndiricilərin yaradılma-

sında istifadə olunur. Dielektriklərlə adgeziyası pis olduğundan, qızıl nazik təbəqə şəklində xrom allığı üzərinə çekilir. Qızılın alüminiumla kontaktında bir sıra intermetal birləşmələr əmələ gəlir. Belə birləşmələr böyük xüsusi müqavimətə malik olmaqla yanaşı, həm də kövrəkdir.

Bu səbəbdən də elektron texnikasında qızılın alüminiumla kontaktından istifadə edilmir.

**Gümüş (Ag)** ağ rəngli parlaq metal olub, normal şəraitdə oksidləşməyə qarşı davamlıdır. Onun xüsusi müqaviməti  $2,65 \cdot 10^8$  Om·m, ərimə temperaturu isə  $660^0$  C-dir.

Gümüş məftilin dərtilməda möhkəmlik hündüru 200 MPa, qırılmaya uyğun nisbi uzanması isə 50% -dir.

Müxtəlif elektron qurğularında gümüşdən cərəyan kontaktlarının hazırlanmasında istifadə olunur. Xüsusi istilik tutumunun kiçik, istilik və elektrik keçiriciliyinin böyük qiymətə malik olması, başqa metallardan fərqli olaraq, kontakt nöqtəsindən istiliyin kənarə tez ötürülməsinə imkan yaradır. Gümüşdən, həmçinin slyudalı kondensatorların istehsalında dielektriklərin üzərində kontaktlar (elektrodlar) yaratmaq üçün də istifadə etmək mümkündür. Bu məqsədlə vakuumda buxarlanma və yandırma üsullarından istifadə olunur. Yüksək keçiriciyi təmin etmək üçün dalğa ötürücülərin daxili səthi də gümüşlə örtülürlər.

Xarici mühitin temperaturu və nəmliyi yüksək olduqda gümüş atomları dielektriklərin həcmində daxil olur. Bu xüsusiyyət onun çatışmayan cəhətlərindəndir. Gümüş, həmçinin digər əlvan metallara nisbətən kimyəvi təsirlərə daha güclü məruz qalır. Kükürdlü mühitdə olduqda gümüşün üzərində, elektrik cərəyanı keçirməyən qara rəngli AgS örtüyü əmələ gəlir. Bu səbəbdən də gümüşün tərkibində rezin, ebonit və kükürd olan materiallarla təmasda olması qeyri-məqbuldur.

**Platin (Pt)** ağ rəngli metal olub, oksigenlə praktiki olaraq birləşmə yaratmır. O, kimyəvi təsirlərə qarşı olduqca davamlıdır. Platin çox asanlıqla texniki aşilanır. Buna görə də ondan

çox nazik məftil və lent hazırlamaq mümkündür. Gümüşdən fərqli olaraq, platin atmosferdə kükürdlə birləşmə yaratmır və bu səbəbdən ondan keçid kontaktlarının (galvanik kontaktların) yaradılmasında istifadə edilir. O, hidrogeni həll etmir və qızdırılmış halda oksigeni özündən buraxır. Platini hidrogen mühitdə qızdırıldıqda o, öz xassələrini itirmir, karbonlu mühitdə qızdırıldıqda isə kövrəkləşir.

Platinin ərimə temperaturu  $1770^0$  C, xüsusi müqaviməti  $9,81 \cdot 10^{-8}$  Om·m, çıxış işi 5,23 eV-dır.

Platindən  $1600^0$  C temperaturda işləyə bilən termocütlerin hazırlanmasında istifadə olunur. Ondan 0,001 mm diametrində nazik məftil hazırlamaq mümkündür. Belə məftillərdən çox həssas elektrometrik cihazlarda istifadə edilir. Platinin bərkliyi az olduğundan ondan təmiz halda kontaktların yaradılmasında istifadə olunmur. Lakin onun bəzi ərintiləri bu məqsədlə yararlıdır. Platinin ən çox istifadə olunan ərintisi platin-iridiumdır. Bu ərinti oksidləşmir, yüksək bərkliyə malikdir, çox sayda qoşulmağa məruz qala bilir, lakin baha olduğundan, ondan yalnız kontaktın çox yüksək davamlılığı tələb edildiyi hallarda istifadə olunur.

**Palladium (Pd)** platinlə müqayisədə çox ucuz başa gəldiyindən və xassələrinə görə ona çox yaxın olduğundan elektron texnikasında platinin əvəzlayıcısi kimi istifadə olunur. Bu metalın elektrovakuum cihazlarında istifadə olunması hidrogeni intensiv udması ilə əlaqədardır.

Hidrogen  $150 \div 300^0$  C-də  $0,015 \div 0,1$  MPa təzyiqdə palladiuma diffuziya edir və vakuumda palladiumu  $350 \div 500^0$  C qızdırıldıqda ondan ayrılır. Palladium öz həcmindən  $850$  dəfə böyük həcmli hidrogeni uda bilir. Ondan ayrılan hidrogen bir sira qaz boşalma lampalarının doldurulmasında istifadə olunur. Palladiumin mis və gümüşlə ərintiləri bir çox cərəyan kontaktlarının yaradılmasında istifadə olunur. Bu metalın dərtilmədə möhkəmlik hündüru  $200$  MPa -a, qırılmada nisbi uzanması isə  $40\%$  -ə bərabərdir.

Palladiumun ərimə temperaturu  $1500^0$  C, xüsusi müqaviməti  $10,8 \cdot 10^{-8}$  Om·m, çıxış işi isə 4,8 eV-dur.

## § 2.10. Qeyri-metal keçirici materiallar

Elektron texnikasında metal və metal ərintiləri ilə yanaşı, karbonun keçirici modifikasiyalarından, oksidlərindən və müxtəlif kompozisiya materiallarından da rezistor, kontakt və cərəyan keçirən elementlərin hazırlanmasında istifadə edilir.

**Karbonlu materiallar.** Təmiz karbonun allotropik forması olan qrafitdən elektron texnikasında geniş istifadə olunur. Qrafit kiçik xüsusi müqavimətə malik olmaqla yanaşı, yaxşı istilik keçiriciliyinə, kimyəvi təsirə davamlığı, yüksək temperatura döyümlüyü və asan mexaniki işlənmək xüsusiyyətlərinə malikdir. Praktiki məqsədlə təbii qrafit, antrosit və pirolitik karbondan istifadə olunur.

Təbii qrafit ərimə temperaturu  $3900^{\circ}\text{C}$  olan böyük ölçülü kristal materialdır. Yüksək temperaturda oksigen mühitində oksidləşir. Qaz halında CO və  $\text{CO}_2$  oksidlərinə parçalanır.

**Pirolitik karbon.** Pirolitik karbon vakuumda və ya qaz mühitində karbohidrogenin termik parçalanması yolu ilə alınır. Buna bəzən piroliz üsulu da deyiir. Six quruluşa malik pirolitik karbon almaq üçün pirolizin temperaturu  $900^{\circ}\text{C}$ -dən aşağı olmamalıdır. Pirolitik karbon təbəqəsindən xətti rezistorların alınmasında istifadə olunur.

Müxtəlif karbonlu məhsulların emalı zamanı karbonlu xammalı toz şəklində saldıqdan sonra onu əlaqələndirici maddələrlə qarışdırıb xüsusi formalarda bışırırlar. Bundan sonra o, kifayət qədər yüksək möhkəmliyə malik olur və asanlıqla mexaniki işlənə bilir.

Qrafitdən yarımkəçiricilərin texnologiyasında çox istifadə olunur. Bu materialdan müxtəlif qızdırıcılar, ekranlar, tiqellər, kassetlər və s. düzəldilir.

Vakuum və qoruyucu qaz mühitində qrafitdən düzəldilmiş əşyaları  $2500^{\circ}\text{C}$  qədər temperaturlarda istifadə etmək olur.

**Kompozisiyalı keçirici materiallar.** Əlaqələndirici dieləktriklərlə keçirici aşqarın mexaniki qarşılığına kompozisiya-

lı keçirici material deyilir. Tərkibini və tərkibindəki komponentlərin paylanması xarakterini dəyişməklə kompozisiyalı keçirici bu materialların elektrik xassələrini çox geniş intervalda dəyişmək olur. Kompozisiyalı keçirici materialların başlıca xüsusiyyəti onların keçiriciliyinin cərəyanın tezliyindən asılı olması və uzun müddət gərginliyin təsiri altında yerləşdikdə belə keçiriciliyinin azalmasıdır.

Kompozisiyalı materiallarda keçirici komponent olaraq metallardan, qrafitdən, qurumdan (hisdən), bəzi oksidlərdən və karbidlərdən istifadə olunur. Bu kompozisiyalı materiallarda əlaqələndirici maddə kimi, müxtəlif sintetik qətrənlərdən (epoksid, fenol-formaldehid və s.), keçirici aşqar olaraq isə - toz şəklinə salınmış metallardan (gümüş, nikel, palladium) istifadə edilir. Müxtəlif kombinasiyalı keçirici materiallar arasında kontaktol və kermet xüsusi yer tutur. Kontaktol kiçik özüllüyü malik pasta şəklində olan cərəyan keçiriciliyinə malik kompozisiyalı polimer materialdır.

Kontaktollardan metalların və metalla yarımkəçirici arasındaki kontaktların, dielektriklərdə elektrodların yaradılmasında, eləcə də cihazların ekranaşdırılmasında, dielektrik lövhələr üzərində keçirici kommunikasiyalar yaratmaqda və müxtəlif elektron sənayesi məmulatlarında istifadə olunur. Metal və dielektrik arasında qeyri-üzvi əlaqələndiricilərin köməyi ilə yaranan kompozisiyaya kermet deyilir. Onlardan nazik lövhəli rezistorların hazırlanmasında istifadə olunur.

### III FƏSİL

## DİELEKTRİKLƏR

### § 3.1. Dielektriklərin poliarlaşması

Xarici elektrik sahəsinin təsiri altında poliarlaşma xüsusiyyətinə malik olub, daxilində elektrik sahəsinin mümkünlüyü və potensialın qeyri-bircins paylanması mövcud ola bilən maddələrə dielektrik deyilir.

Dielektriklərdə atom və molekullardakı elektrik yükleri arasındaki elasti ki rabi tə xarici elektrik sahəsinin təsiri ilə onların yerdəyişməsinə və nəticədə dielektriklərin poliarlaşmasına səbəb olur. Dielektrik materialların qadağan olunmuş zonasının eni bir qayda olaraq  $3eV$ -dən böyükdür.

Dielektriklərin əsas elektrik xassələri onların elektrik keçiriciliyi, dielektrik itkisi, elektrik möhkəmliyidir.

Bu xassələr dielektrikin quruluşundan və kimyəvi tərkibindən asılıdır.

Elektrik sahəsinin təsiri altında elektrik yüklerinin yerdəyişməsi və nizamlanması prosesinə elektrik poliarlaşması deyilir. Elektrik poliarlaşması zamanı maddənin həlli, onun daxilində müəyyən həcmində elektrik momentinin sıfırdan fərqlənməsi ilə xarakterizə olunur. Daxili elektrik sahəsinin intensivliyi ilə təyin olunan elektrik momentinə dielektriklərin molyar poliarlaşması deyilir. Bu kəmiyyət

$$P_M = \frac{4\pi}{3} N \alpha \quad (3.1)$$

şəklində ifadə olunur. Burada  $\alpha$  - molekulların poliarlaşma əmsalı,  $N$  - Avoqadro ədədidir. Dielektriklərdə poliarlaşmanın elektron, ion, ion relaksasiyası, dipol relaksasiyası, elektron relaksasiyası, elasti ki dipol, nüvə yerdəyişməsi, eləcə də quruluş, spontan və qalıq poliarlaşması kimi növləri var.

**Elektron polyarlaşması** atom və ionlarda elektron örtük-lərinin elastiki yerdəyişməsi və deformasiyası hesabına baş verir. Elektron polyarlaşmasında yerdəyişmə  $10^{-8}$  sm tərtibində olur.

Elektron polyarlaşmasını kəmiyyətcə Klauzius – Mossoti tənliyi ilə qiymətləndirmək mümkündür. Bu tənliyə görə maddənin elektron polyarlaşması ilə dielektrik nüfuzluğu arasında

$$P = \frac{(\epsilon - 1)M}{(\epsilon + 2)d} = \frac{4\pi}{3} n_0 \alpha_e \cdot \frac{M}{d} = \frac{4\pi}{3} N \cdot \alpha_e \quad (3.2)$$

şəklində əlaqə mövcuddur. Burada  $\epsilon$  - maddənin dielektrik nüfuzluğu;  $n_0$  - atom, molekul və ionların konsentrasiyası;  $\alpha_e$  - vahid həcməki elektron polyarlaşması;  $M$  - molekulyar çəki;  $d$  - materialın sıxlığıdır.

$\epsilon$  - ölçüsüz skalar kəmiyyətdir. Bu kəmiyyət dielektrikin kondensatorda tutum əmələgətirmə qabiliyyətini göstərir və elektrik yükünün sıxlığının verilmiş dielektrik mühitdəki, vakuumdakı sıxlığına olan nisbətinə bərabərdir.

Elektron polyarlaşması ani olaraq yarandığı kimi, ani olaraq da yox olduğundan kondensatoru yüklemək üçün sərf olunan enerji kondensator boşaldıqda yenidən dövrəyə qaydır. Elektron polyarlaşmasının baş vermə müddəti  $10^{-13}$  san-dır.

**İon polyarlaşması** elastiki rabitədə olan ionların yerdəyişməsi nəticəsində baş verir. Bu növ polyarlaşma ani olaraq ( $10^{-13}$  san ərzində) baş verir və geniş diapazonda (infraqırmızı oblasta qədər) tezlikdən asılı deyil. İon polyarlaşması

$$\alpha_i = \frac{2q^2}{v} \quad (3.3)$$

ifadəsi ilə təyin olunan  $\alpha_i$  - kəmiyyəti ilə xarakterizə olunur. Burada  $q$  - ionun yükü,  $v$  - isə ionlar arasındaki elastiki rabitə əmsalıdır.

İon rabitəli binar kristalların dielektrik nüfuzluğunu hesablamak üçün Born düsturundan:

$$\epsilon = n^2 + 4\pi \frac{q^2 dN^2}{\omega^2 M_1 M_2} \quad (3.4)$$

istifadə olunur. Burada  $n$ -materialın optik sindırma əmsalı;  $M_1$ ,  $M_2$ -onu təşkil edən komponentlərin atom kütlesi;  $\omega$  - dairəvi məxsusi tezlik;  $d$  - dielektrikin sıxlığıdır. İon rabitəli kristalların dielektrik nüfuzluğunun temperatur əmsalı müsbət kəmiyyətdir.

**İon-relaksasiya polyarlaşmasında** öz kristalları ilə zəif rabitədə olan ionlar istilik hərəkəti nəticəsində xarici elektrik sahəsinə daxil olaraq elastiki yerdəyişməyə nisbətən daha böyük məsafəyə sürüşə bılır.

Zəif rabitəli ionlar istilik hərəkəti nəticəsində xarici sahənin təsiri ilə yerdəyişərək həcmidə yüklerin paylanması asimetriya yaradır. Bu da vahid həcmidə sıfırdan fərqli yekun elektrik momentlərinin yaranmasına səbəb olur. Elektrik sahəsinin təsirini kəsdikdən sonra ion-relaksasiya polyarlaşması tədricən aradan qalxır. Yüksək tezliklərdə bu növ polyarlaşma baş vermir.

**Dipol-relaksasiya polyarlaşması** xarici elektrik sahəsində dielektriki təşkil edən dipolların (molekulların) dönməsi (yönlənməsi) və istiqamətli düzülüyü ilə əlaqədar olub, molekulların istilik hərəkətindən asılıdır. Xaotik istilik hərəkətində olan molekulların dipolları xarici sahə istiqamətində düzüm polyarlaşma effekti yaradır. Xarici elektrik sahəsinin təsiri kəsildikdə bu növ polyarlaşma molekulların istilik hərəkəti nəticəsində aradan qalxır.

Polyarlaşmanın yaranma və yox olma müddəti dipolların (molekulların) relaksasiya müddəti adlanır. Dipol-relaksasiya polyarlaşması

$$\alpha_{d-r} = \frac{\mu^2}{3kT} \quad (3.5)$$

ifadəsi ilə təyin edilən kəmiyyətlə xarakterizə olunur. Burada  $\mu$  - molekulun dipol momenti,  $k$  - Boltzman sabiti,  $T$ -mütəqəm temperaturdur.

Dipol – relaksasiya polyarlaşmasının başvermə müddəti  $10^{-10} \div 10^{-12}$  san aralığında dəyişir. Bu tip polyarlaşma temperaturun yüksəlməsi və özüllüün kiçilməsi ilə əvvəlcə artaraq, müəyyən maksimum qiymətə çatır, sonra isə azalır. Müşahidə olunan azalma molekulların istilik hərəkətinin intensivliyinin böyüməsi ilə əlaqədardır. Bununla paralel olaraq dielektrik itki-si də öz maksimum qiymətinə nəzərən kəskin azalır.

Dipol–relaksasiya polyarlaşması xarici elektrik sahəsinin tezliyindən asılıdır və tezliyin azalması ilə asimtotik qaydada elektron polyarlaşmasına yaxınlaşır.

**Elektron-relaksasiya polyarlaşması** istilik enerjisi ilə hə-yəcanlaşdırılmış elektronların məhdud yerdəyişməsi ilə əlaqədardır. Bu polyarlaşma elektron keçiriciliyinə malik dielektriklərdə (məsələn niobium, kalsium və bariumla aşkarlanmış titan oksidində) özünü biruzə verir.

**Elastik-dipol polyarlaşması** bəzi kristallarda bir nöqtədə fiksə olunmuş dipol molekulların xarici elektrik sahəsinin təsiri altında çox kiçik olmayan bucaq altında dönəməsi hesabına baş verir. Ona görə də bu tip polyarlaşmanın qiyməti böyük olmur.

**Nüvə yerdəyişməsi polyarlaşması** xarici elektrik sahəsinin təsiri altında atom və molekullarda nüvənin yerdəyişməsi nəticəsində yaranır. Bu tip polyarlaşma anı ( $10^{-13}$  san müddətin-də) olaraq baş verir. Elektron polyarlaşması kimi, xarici elektrik sahəsində nüvə yerdəyişmə polyarlaşması da elektrik sahəsinin tezliyindən və temperaturdan asılı deyil.

**Quruluş polyarlaşması** dielektriğin müxtəlif keçiriciliyə malik laylara malik olması və onda həcmi yüksək gərginliklərdə və laylı quruluşlu bərk cisimlərdə göstərir. Belə materiallara getinaksi, tekstalit və mikaniti misal gətirmək olar. Quruluş polyarlaşması çox yavaş sürətlə gedir.

**Spontan polyarlaşma** xarici elektrik sahəsi olmadıqda da baş verir və elektrik sahəsinin intensivliyindən qeyri-xətti asılı olur. O, temperaturdan asılıdır və müəyyən temperaturda

maksimum qiymət alır. Belə polyarlaşma kristal quruluşa malik dielektriklərə xasdır. Bu dielektriklərdə polyarlaşmış oblastlar (domenlər) mövcuddur və onların qiyməti Küri temperaturuna qədər temperaturdan kəskin asılıdır. Küri temperaturunda ən böyük polyarlaşma təmin olunur və dielektrik nüfuzluğu maksimum qiymətini alır. Yüksək temperaturlarda domenlərdə quruluş dəyişkənliyi baş verdiyindən spontan polyarlaşma aradan qalxır. Bu növ polyarlaşma kiçik sürətlə yaranır və buna görə də elektrik sahəsinin yüksək tezliklərində özünü biruzə vermir. Spontan polyarlaşma prosesi histerezis xassəsinə malikdir və seqnetoelektriklərə xas olan xüsusiyyətdir.

**Qalıq polyarlaşması** xarici elektrik sahənin təsiri kəsildikdən sonra dielektriklərdə qalan polyarlaşmadır. Bu xassə yalnız bəzi dielektriklərə xasdır. Sabit maqnitlər öz ətraflarında maqnit sahəsi yaratdığı kimi, həmin növ dielektriklər (elektretlər) də öz ətrafında elektrik sahəsi yaradır və bu sahənin divergensiyası sıfıra bərabər deyil. Elektretlərdən cərəyan mənbəyi kimi istifadə oluna bilir. Bu materiallarda elektrik polyarlaşması aylar və illər ərzində saxlanılır.

### **§ 3.2. Dielektriklərin elektrik keçiriciliyinin əsas növləri**

Dielektriklərin elektrik keçiriciliyinin elektron, ion və molion keçiriciliyi kimi üç növü var.

**Elektron keçiriciliyi** dielektriklərdə xarici elektrik sahəsinin təsiri altında elektronların yerdəyişməsi ilə əlaqədardır. Belə keçiricilik bir sıra metal oksidlərində, metalların kükürdlə birləşmələrində müşahidə olunur. Dielektriklərdəki elektron keçiriciliyi zamanı maddə daşınması hadisəsi baş vermir.

**İon keçiriciliyi** dielektrikdə ionların hərəkəti ilə əlaqədar olan keçiricilikdir. Bu tip keçiricilik bir sıra duzların ərintilərində və məhlullarında, turşularda, qələvilərdə müşahidə olu-

nur. Dielektriklərdə ion keçiriciliyinin mexanizmi molekulların elektrik dissosiasiyası və parçalanması nəticəsində kation (+) və anionların əmələ gəlməsi ilə bağlıdır.

İon keçiriciliyi zamanı maddənin təşkil olunduğu molekulların parçalanaraq ionlara ayrılması (dissosiasiyası), sonradan isə onların elektrodlar üzərində toplanaraq yeni kimyəvi maddənin əmələ gəlməsi (maddə daşınması hadisəsi) baş verir. Bu zaman daşınan maddənin miqdəri dielektrikdən keçən ionların (elektrik yükünün) miqdəri ilə mütənasib olub, elektroliz hadisəsi haqqında Faradey qanununa tabedir. Ümumi keçiricilik isə kation və anion keçiriciliyinin cəminə bərabərdir.

**Molian elektrik keçiriciliyi** maddədə (dielektrikdə) yüksək kolloid zərrəciklərinin, daha doğrusu molionların hərəkəti nəticəsində baş verən elektrik keçiriciliyidir. Belə keçiricilik kolloid sistemləri olan boyaqlarda, laklıarda, emallarda, suspensiyalarda və emulsiyalarda müşahidə olunur. Molion keçiricilik zamanı elektrik dissosiasiyası və maddələrin elektrodlarda toplanması baş vermir. Molionların elektrik sahəsinin təsiri altında hərəkətinə elektroforez deyilir. Molion keçiriciliyə maddənin özüllüyü güclü təsir göstərir.

### § 3.3. Qazların elektrik keçiriciliyi

Zəif intensivlikli elektrik sahəsində qazlar kiçik elektrik keçiriciliyinə malik olur. Bu zaman qazdakı sərbəst ion və elektronların konsentrasiyası  $10^{-2} \text{ m}^{-3}$ -ə bərabər, cərəyanın sıxlığı isə  $10^{-19} \frac{\text{A}}{\text{sm}^2}$  tərtibində olur. Qazların elektrik keçiriciliyi bir

sıra xarici və daxili amillərin təsirindən asılıdır. Qaz molekullarını ionlaşdırıran xarici amillərə misal olaraq qısa dalgalı ionlaşdırıcıları (kosmik, radioaktiv və rentgen şüalarını) göstərmək olar. Bundan əlavə, istilik mənbələri də qaz molekullarının ionlaşmasında mühüm rol oynayır. İonlaşmaya təsir göstərən daxili amil xarici elektrik sahəsinin təsiri hesabına baş verən zərbə ionlaşmasıdır.

Xarici amillərin (ionlaşdırıcının) təsiri ilə yaranan keçiricilik zəif elektrik sahəsində baş verə də, qeyri-müstəqil keçiricilikdir. Çünkü ionlaşdırıcının təsiri kəsilən kimi, bu keçiricilik də yox olur. Güclü elektrik sahəsində baş verən keçiricilik isə zərbə ionlaşması ilə əlaqədar olub, müstəqil xarakter daşıyan keçiricilikdir. Bu halda keçiriciliyi yaranan ionlar, sürətlənmiş sərbəst elektronların neytral qaz molekulları ilə toqquşması nəticəsində yaranır. Müəyyən müddətdən sonra ionlaşdırıcının təsiri altında yaranan ionlaşma prosesi rekombinasiya ilə tarazlaşır. Nəticədə, mühitdə dinamik tarazlıq əmələ gəlir.

Rekombinasiya olunan ionların konsentrasiyası:

$$n_1 = v n_0^2 . \quad (3.6)$$

Burada  $n_0$  - ilkin ionların konsentrasiyası,  $v$  - isə rekombinasiya əmsaldır. Hava üçün  $v = 1,6 \cdot 10^{-6} \frac{\text{sm}^3}{\text{san}}$ .

İonlaşma zamanı ionların konsentrasiyası  $n_2$  - olarsa ionlaşma və rekombinasiya prosesləri tarazlaşlığı halda

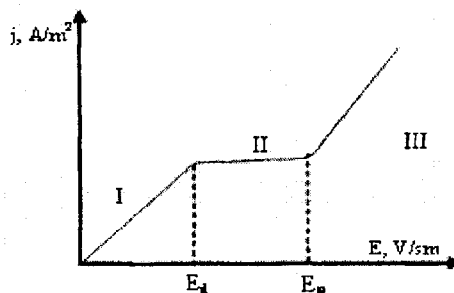
$$n_2 = n_1 = v n_0^2 \quad (3.7)$$

və

$$j = n_0 q (\vartheta_+ + \vartheta_-) = n_0 q (\mu_+ + \mu_-) E \quad (3.8)$$

cərəyan sıxlığı çox kiçik olur.

Burada  $\vartheta_+$  və  $\vartheta_-$  uyğun olaraq müsbət və mənfi ionların sürəti;  $\mu_+$  və  $\mu_-$  isə onların yüyürlüyüdür.

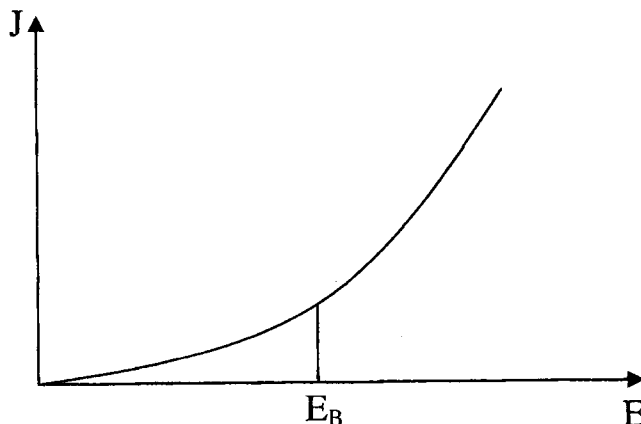


Şəkil 3.1

Əgər baş verən rekombinasiya prosesi ionlaşmaya nisbətən zəif olarsa, əmələ gələn ionların  $n_i = \frac{i}{q}$  konsentrasiyası ilə müqayisədə  $n_2 = v n_0^2$  nəzərə alınmaya bilər. Buna görə də zəif elektrik sahələrində cərəyanın sıxlığı elektrik sahəsinin intensivliyi ilə mütənasib olub, Om qanununa tabedir (şəkil 3.1-də I oblast). Yüksək intensivlikli elektrik sahələrində zərbələrlə ionlaşmanın baş verdiyi nöqtəyə qədər cərəyanın sıxlığı xarici elektrik sahələrindən asılı olmur (şəkil 3.1-də II oblast). Bu oblast doyma oblastı adlanır. Daha yüksək intensivlikli elektrik sahələrində (şəkil 3.1.-də III oblast) cərəyanın sıxlığı elektrik sahəsinin intensivliyinin böyüməsi ilə kəskin artır. Bu oblastlar (II və III) arasındaki nöqtə zərbələrlə ionlaşmanın başlanmasına uyğun gəlir.

### § 3.4. Maye dielektriklərin elektrik keçiriciliyi

Maye dielektriklərin elektrik keçiriciliyi məxsusi və aşqar mənşəli ola bilər. Məxsusi keçiricilik molekulların dissosiasiyası nəticəsində yaranan ionların yerdəyişməsi ilə əlaqədardır. Molionların yerdəyişməsi isə aşqar keçiriciliyi yaradır.



Şəkil 3.2

Təmiz qeyri-polyar mayelərin elektrik keçiriciliyi neft yağlarında, poliizobutelin mayelərdə və üzvi silisiumda çox kiçik olub, polyar və dissosiasiya olunan aşqarların miqdarının artması ilə böyüyür. Polyar mayelərin elektrik keçiriciliyi maye molekullarının dissosiasiyası və tərkibindəki aşqarlarla təyin olunur. Bu tip mayelərin elektrik keçiriciliyi, qeyri-polyar mayelərin elektrik keçiriciliyindən böyük olur. Suspenziya və emulsiyalarda molion keçiriciliyi əsas amil olduğundan, kolloid sistemlərdə elektrokinetik potensialı nəzərə almaq lazımdır. Kolloid sistemlərin elektrokinetik potensialı ayrılmış fazaların dielektrik nüfuzluğunun ( $\epsilon_F$ ), mühitin dielektrik nüfuzluğuna ( $\epsilon_m$ ) olan nisbətinə bərabərdir:

$$K = \frac{\epsilon_F}{\epsilon_m}.$$

Maye dielektriklərin xüsusi elektrik keçiriciliyinin temperaturundan asılılığı eksponensial xarakter daşıyır:

$$\sigma = Ae^{-\frac{\alpha}{T}}. \quad (3.9)$$

Burada A-mayeni xarakterizə edən ərmsal,  $\alpha = \frac{W}{K}$  isə - aktivləşmə enerjisinin Bolsman sabitinə olan nisbətinə bərabər olan kəmiyyətdir. Mayelərin elektrik keçiriciliyi onların  $\eta$  - özüllüyündən

$$\sigma = \frac{n_0 q^2}{l \eta} \quad (3.10)$$

şəklində asılıdır. Burada  $l$  - qonşu zərrəciklər arasındaki məsafədir.

Mayelərdə cərəyanın sıxlığının elektrik sahəsinin intensivliyindən asılılığı şəkil 3.2-də göstərildiyi kimiidir. Bu qrafikdən görünür ki, mayelərdə də qazlarda olduğu kimi, volt-amper xarakteristikasında doyma oblastı yoxdur. Yüksək dərəcədə temizlənmiş qeyri-polyar mayelərin volt-amper xarakteristikasında çox da geniş olmayan doyma oblastı müşahidə olunur.

$E \geq 10^4 \div 10^5 \frac{V}{sm}$  qiymətlərində isə ionlaşma prosesi baş verir.

### § 3.5. Bərk dielektriklərin elektrik keçiriciliyi

Bərk dielektriklərdə elektrik keçiriciliyi həm maddənin öz ionlarının, həm də tərkibindəki aşqar ionlarının hesabına baş verə bilir.

Maye dielektriklərdə olduğu kimi, bərk dielektriklərdə də ion keçiriciliyində elektrik yükü ilə yanaşı, maddə də daşınır. Bu halda aşağı temperaturlarda elektrik keçiriciliyi materialın özünün zəif rabitədə olan ionlarının və aşqar ionlarının hesabına yaranır. Yüksək temperaturlarda isə keçiricilikdə kristal qəfəsin bütün ionları iştirak edir. Bərk dielektriklərdə elektrik keçiriciliyinin mexanizmi yüksəkliklərin aktivləşmə enerjisi ilə təyin olunur və maye dielektriklərdə olduğu kimi, xüsusi elektrik keçiriciliyi:

$$\sigma = nq \mu . \quad (3.11)$$

Bərk cisimlərdə elektronların yüyürüklüyü ionların yüyürüklüyündən bir neçə tərtib böyük olur. Məsələn, titan üç oksiddə ( $TiO_3$ ) elektronların yüyürüklüyü  $1 \frac{sm^2}{V \cdot san}$  olduğu halda, aluminium-oksidində ionların yüyürüklüyü  $10^{-12} \frac{cm^2}{V \cdot san}$  – dir.

İon qəfəsləri kristal dielektriklərdə elektrik keçiriciliyi ionların valentliyi ilə müəyyən olunur. Məsələn, birvalentli ion maddələrinin keçiriciliyi çoxvalentli maqnezium-oksiddən böyük olur.

Kristalların baş oxu üzrə elektrik keçiriciliyi, həmin oxa perpendikulyar istiqamətdəki keçiriciliyin qiymətindən böyük olur. Kvarsda həmin nisbət 1000-ə çatır. Bu xassə dielektrik kristalın anizotropiyası ilə izah olunur.

Amorf dielektriklərdə cərəyanın sıxlığı ilə onu yaradan xarici elektrik sahəsinin intensivliyi arasındaki mütənasiblik intensivliyin  $10^4 \div 10^5 \frac{V}{sm}$  qiymətlərinə qədər davam edir. Sahə-

nin intensivliyi bu limit qiymətlərindən böyük olduqda,  $\sigma$  ilə E arasındaki asılılıq

$$\sigma = \sigma_0 e^{\beta E} \quad (3.12)$$

qanuna tabe olur. Burada E-elektrik sahəsinin intensivliyi;  $\sigma_0$  – zəif elektrik sahəsində xüsusi elektrik keçiriciliyi;  $\beta$  – isə materialı xarakterizə edən əmsalıdır. Bərk cisimlərdə həcmindəki xüsusi müqavimətin temperaturdan asılılığı

$$\rho = B e^{\frac{b}{T}} \quad \text{və ya} \quad \rho = \rho_0 e^{-\alpha T} \quad (3.13)$$

şəklində ifadə olunur.

Bu ifadələrdə B- və b- materiala xas olan əmsallar,  $\alpha$  – müqavimətin temperatur əmsalı,  $\rho_0$  - isə  $0^\circ\text{C}$ -dəki xüsusi müqavimətdir.

Bərk dielektriklər üçün b-nin qiyməti 10000-22000 aralığında dəyişir.

### § 3.6. Dielektriklərin elektrik möhkəmliyi və deşilməsi

Dielektrikə tətbiq olunmuş xarici elektrik sahəsinin elə bir qiyməti var ki, həmin qiymətdə dielektrikdə yüksək elektrik keçiriciliyinə malik keçirici kanal yaranır. Bu hadisəyə dielektrikin elektrik deşilməsi deyilir. Dielektrikin elektrik deşilməsinin və ya elektrik möhkəmliyinin pozulması zamanı o, elektroizolyator xassəsini itirir. Materialın elektrik deşilməsinə uyğun gələn konkret bir müqavimətin olduğunu söyləmək olmaz.

Kiçik gərginliklərdə dielektriklərin müqaviməti gərginlikdən asılı olmur. Yüksək gərginlikdə gərginliyin artması ilə cərəyan sıxlığı artır, müqavimət isə eksponensial qanunla azalır. Dielektrikin deşilməsi zamanı cərəyan şiddəti artır, dielektrikdəki gərginlik düşkübü isə kiçilir.

Cərəyanın kəskin artması, gərginliyin isə kiçilməsi dielektrikin deşilməsinə dəlalət edir. Bu zaman qazlarda boşalma

baş verir, maye dielektriklərdə isə – qaynama və qaz ayrılması müşahidə olunur. Bərk dielektrikdə cərəyan şiddətinin artması deşilmə yerində yanmaya, deşiyin əmələgelməsinə və yüksək keçiriciliyə malik qurumun (hisin) yaranmasına səbəb olur.

Deşilmənin baş verdiyi gərginliyə deşilmə gərginliyi, elektrik sahəsinin uyğun intensivliyinə isə – deşilmə intensivliyi deyilir. Deşilmə intensivliyi materialın elektrik möhkəmliyinin göstəricisidir. Deşilmə intensivliyi deşilmə yerində gərginliyin qalınlığa olan nisbəti ilə təyin olunur.

Deşilmə intensivliyinin qiymətinə elektrodun forması və bununla əlaqədar olan sahənin bircinsliyi, gərginliyin təsir etmə müddəti, cərəyanın növü (elektron, ion), elektrik sahəsinin dəyişmə tezliyi, temperatur, təzyiq, dielektrikin növü təsir göstərə bilər.

Gərginliyin təsiretmə müddətinə görə dörd rejim mövcuddur: gərginliyin  $1 \text{ kV-a}$  qədər bərabər sürətlə cəld etdiyi rejim; gərginliyin hər pillədə  $1\text{-}10$  dəqiqə dayanmaqla “pilləvari” artdığı rejim;  $10^{10}\text{-}10^{11} \text{ Hs}$  tezlik intervalında yüksəktezlikli gərginlik rejimi; impuls gərginliyi rejimi.

Deşilmə prosesi dielektrikin aqreqat halından asılıdır.

Bərk dielektrikə tətbiq olunan elektrik sahəsinin intensivliyini müəyyən kritik qiymətə qədər artırıqdə cərəyanın kəskin artması, yüksəkvoltlu polyarlaşma, zərbə ionlaşması, dielektrik itkisi və dielektrikin qızması ilə əlaqədar olan ionlaşma prosesi baş verir. Güclü sahədə  $\text{Om}$  qanunu pozulur. Cərəyanın sıxlığı gərginlikdən asılı olaraq eksponensial qanunla artır, gərginlik düşür, cərəyan isə artır. Bərk dielektrikdən çox güclü cərəyan axdıqda o əriyir və cərəyanın keçidiyi yerdə kanal yaranır.

Dielektriklərin deşilməsinin iki forması mövcuddur: istilik və elektrik deşilməsi.

Istilik deşilməsi halında ətraf mühitinin temperaturunun yüksəlməsi, tətbiq olunan gərginliyin davam etmə müddətinin böyüməsi, tezliyin artması və materialın qalınlığının böyüməsi deşilmə intensivliyini kiçildir. Qeyd etmək lazımdır ki, dielek-

trikin istilik deşilməsi istiliyin kənara ötürülməsi zəif olduğu yerdə baş verir.

Elektrik deşilməsinin də bir sıra xarakterik xüsusiyyətləri var. Gərginliyin deşilməyə yaxın qiymətlərində Om qanunu pozulur və cərəyan gərginlikdən:

$$I = I_0 e^{\frac{AU}{V}}, \quad (3.14)$$

yaxud da

$$I = I_0 e^{\frac{B\sqrt{U}}{V}} \quad (3.15)$$

şəklində asılı olur. (3.14) və (3.15) ifadələri uyğun olaraq Pul və Frenkel düsturları adlanır. Dielektrikə tətbiq olunan elektrik sahəsinin müəyyən qiymətindən başlayaraq materialdan axan cərəyan sıçrayışla dəyişir (artır). Bu, dielektrikin dağılımasına səbəb olur.

Bərk dielektriklərin deşilmə intensivliyinin qiyməti  $V$  intervalda ( $10^6 - 10^7 \frac{sm}{V}$ ) yerləşir. Deşilmə gərginliyi müəyyən intervalda ( $10^{-4} - 10^{-5} sm^{-2}$ ) nümunənin qalınlığından, sürəkliyi  $10^{-7} \div 10^{-6}$  san olan impulslarda və qeyri-bircins sahədə isə - temperaturdan asılı olmur. Elektrik deşilməsində deşilmə gərginliyinin qiyməti temperaturdan zəif asılı olur. Qeyri-bircins sahələrdə deşilmə, adətən elektrodların kənarlarında, (sahənin intensivliyinin böyük olduğu yerdə) müşahidə olunur.

Dielektriklərin deşilmə nəzəriyyəsi V.A.Fok, A.F.Valter və N.N.Semenov tərəfindən yaradılmış və eksperimental nəticələrlə müqayisə edilmişdir. Bu nəzəriyyəyə görə istilik deşilməsinin əsas səbəbi dielektrik itkisinin ( $\delta$ ) temperaturdan asılılığıdır:

$$\operatorname{tg} \delta = \operatorname{tg} \delta_0 e^{\alpha(T-T_0)}. \quad (3.16)$$

Bu zaman keçiricilik:

$$\sigma = \sigma_0 e^{\alpha(T-T_0)}. \quad (3.17)$$

Fərz edək ki, dielektrik materialdan qalınlığı  $2h$  olan lövhə hazırlanmışdır. Sadəlik üçün deyək ki, elektrod və lövhənin ölçüsü sonsuz böyükdür, elektrik sahəsi bircinsdir və elektrik itkisi zamanı yaranan istilik səli elektrodların səthinə perpendikulyar yönəlib. İstilik tarazlığı şəraitində ayrılan istilik dielektrikin sətindən gedir. Sabit gərginlikdə bunu

$$\chi(t_d - t_0) = 0,2 E^2 \gamma h , \quad (3.18)$$

dəyişən gərginlikdə isə

$$P_r \operatorname{tg} \delta = U^2 \omega C \operatorname{tg} \delta = \chi S (t_d - t_0) \quad (3.19)$$

şəklində ifadə etmək olar. (3.18) və (3.19) ifadələrində  $U$ -dielektrikə tətbiq olunan xarici gərginlik,  $P_r$ -reakтив güc,  $\omega$  - elektrik sahəsinin bucaq tezliyi,  $C$  - elektrodlar arasındaki tutum,  $\chi$  - istilikvermə əmsali  $\left( \frac{Vt}{sm^2} \right)$ ,  $S$ -dielektriklərin sahəsi,  $t_d$  - dielektrikin temperaturu,  $t_0$  -ətraf mühitin temperaturudur. Dielektrik üçün ümumi halda istilik tarazlığı şərtini

$$\operatorname{div}(\lambda \operatorname{grad} t) + \sigma (\operatorname{grad} \varphi)^2 = 0 \quad (3.20)$$

$$\operatorname{div}(\sigma \operatorname{grad} \varphi) = 0 \quad (3.21)$$

kimi yazmaq olar. Burada  $\varphi$  - potensial,  $\lambda$  - dielektriklərin istilikvermə əmsali,  $\sigma$  - xüsusi elektrik keçiriciliyidir.

Əgər dielektrik istilik tarazlığı halında olarsa, deşilmə baş verməz. Bu zaman işçi gərginlik

$$U_{is} = \sqrt{\frac{\chi S (t_d - t_0)}{\omega C \operatorname{tg} \delta_b}} \quad (3.22)$$

şəklində ifadə olunur. (3.22) ifadəsindəki  $\operatorname{tg} \delta_b$  - böhran temperaturuna uyğun gələn dielektrik itkisidir. Bu ifadə Fok-Semenov düsturu adlanır. Onu praktiki istifadə üçün

$$U_{pr,eff} = 7.8 \cdot 10^6 \sqrt{\frac{\lambda}{f\varepsilon\alpha \operatorname{tg}\delta}} \varphi(C) \quad (3.23)$$

şəklində yazmaq olar. Burada  $\alpha$  - əmsalı  $\operatorname{tg}\delta$ -nin temperatur əmsalı,  $f$  - tezlik,  $\varphi(C)$  - funksiya,

$$C = \frac{\lambda_1 \sigma h}{2\lambda(\lambda_1 + \sigma d)}, \quad (3.24)$$

$\lambda_1$  - elektrodların istilikkeçirmə əmsalı,  $d$  - elektrodların qalınlığıdır.

### § 3.7. Dielektrik itkisi

Elektrik cərəyanının gücünün izolyatorda və ya dielektrikdə elektrik sahəsinin enerjisini və ya istiliyə çevrilməsinə dielektrik itkisi deyilir. Dielektrik itkisi müxtəlif səbəblərdən: sızma, dielektrikdəki boşluqlarda qazların ionlaşması, əvvəlki xarici sahənin yarım periodda yaratdığı daxili sahəni ləğv etməsi nəticəsində baş verə bilər.

Tam elektrik itkisi:

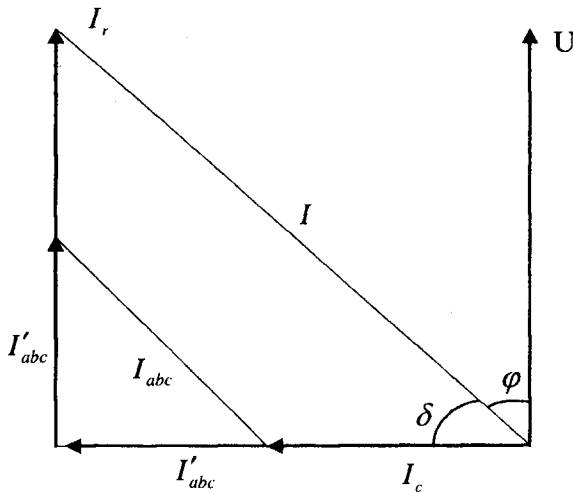
$$P = UI_a = I_r U \operatorname{tg}\delta. \quad (3.25)$$

Əgər burada  $I_r = U\omega C$  - olduğunu nəzərə alsaq ( $C$ -tutum,  $\omega$ -dairəvi tezlikdir):

$$P = U^2 \omega C \operatorname{tg}\delta; \operatorname{tg}\delta = \frac{I_a}{I_r} = \frac{I}{Q}. \quad (3.26)$$

Sonuncu ifadədə  $I_a$ - aktiv cərəyan,  $I_r$ - reaktiv cərəyan;  $Q$ - isə keyfiyyət əmsalıdır. Şəkil 3.3-dən göründüyü kimi,  $U$ -gərginlik vektorunu  $90^\circ$  qabaqlayan  $I_c$ - tutum cərəyanı ilə yanaşı,  $U$  ilə eyni fazada olan  $I_r$ - cərəyanı, eləcə də  $U$  gərginlik vektoru ilə  $90^\circ$ -dən kiçik bucaq əmələ gətirən əlavə  $I_{abs}$  (absorbsiya) cərə-

yanı da var. Keçiriciliklə əlaqədar itki  $f$  - tezlikdən asılı olmasa da,  $\operatorname{tg} \delta$  - tezlikdən asılı olaraq azalır:



Şəkil 3.3

$$\operatorname{tg} \delta = \frac{1.8 \cdot 10^{-12}}{\epsilon f \rho}. \quad (3.27)$$

Burada  $\epsilon$  - materialın dielektrik nüfuzluğu,  $\rho$  - isə xüsusi müqavimətdir.

Bu itki temperaturun yüksəlməsi ilə

$$P_T = A e^{-\frac{b}{T}} \text{ və yaxud } P_t = P_0 e^{\alpha t}. \quad (3.28)$$

şəklində artır,  $\operatorname{tg} \delta$  isə həmin qanunla azalır. Burada  $b$  - verilmiş materiala aid əmsal,  $\alpha$  - itkinin temperatur əmsalıdır.

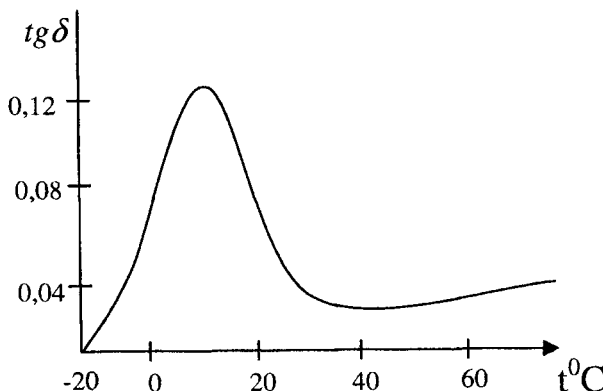
İonlaşma ilə əlaqədar itki, tərkibində qaz olan məsaməli və laylı dielektriklərə xasdır və onu başlanğıc ionlaşma cərəyanına uyğun gərginlikdən böyük və qeyri-bircins sahələrdə müşahidə etmək olar. Bu zaman itki

$$P_a = Af (U - U_0)^3 \quad (3.29)$$

şəklində ifadə olunur. Burada A –sabit əmsal;  $f$ -elektrik sahəsinin dəyişmə tezliyi;  $U$ -tətbiq olunan,  $U_0$ - isə ionlaşmanın başlanmasına uyğun gələn gərginlikdir.

(3.29) ifadəsi  $U > U_0$  qiymətlərində doğrudur. Dipol-relaksasiya polyarlaşması və keçiriciliklə əlaqədar itkinin ( $\operatorname{tg}\delta$ ) temperaturundan asılılığı şəkil 3.4 təsvir olunmuşdur.

Bu halda temperaturun yüksəlməsi ilə  $\operatorname{tg}\delta$ -in əvvəlcə artaraq özünün maksimal qiymətini alması maddənin özüllüyüün azalması və molekuların dipollarının sahənin təsiri altında fırlanmasının böyüməsi ilə bağlıdır. Nisbətən yüksək temperatlarda, temperaturun yüksəlməsi ilə itkinin azalması isə (şəkil 3.4) dipolların dönməsinə sərf olunan enerjinin və dielektrikin özüllüğünün kiçilməsi ilə əlaqədardır.



Şəkil 3.4

### § 3.8. Dielektrik materialların təsnifikasi

Müxtəlif elektron qurğu və cihazlarında yerinə yetirdikləri funksiyadan asılı olaraq, dielektriklər elektroizolyator materiallarına (passiv dielektriklər) və idarə olunan materiallara (aktiv dielektriklərə) ayrılır.

Elektroizolyator materialları elektrik qurğularında müxtəlif potensiallar altında olan cərəyandaşıyıcı hissələrdə elektrik izolyasiyası yaratmaq üçün istifadə olunur. Passiv dielektriklərdən kondensatorlarda istifadə edilməsi, ilk növbədə tələb olunan tutumun alınmasına imkan verir. Digər tərəfdən bu, tutuma xarici amillərdən asılılıq xarakteri verir. Bir sıra hallarda kondensator sabit və dəyişən cərəyanı ayırmak və həmçinin faza bucaq sürüşməsi yaratmaq üçün istifadə edilir.

Elektron texnikasında elektroizolyator və kondensator materialları kimi slyuda, keramika, şüşə, polistirol və digər materiallardan istifadə olunur. Lakin elektroizolyasiya və kondensator materiallarına qoyulan şərtlər bir-birindən fərqlidir. Belə ki, əgər elektroizolyator materiallarının nisbi dielektrik nüfuzluğunun kiçik, xüsusü müqavimətinin isə böyük olması tələb olunursa, kondensatorlarda istifadə edilən dielektriklərin nisbi dielektrik nüfuzluğunun böyük,  $\tg\delta$  dielektrik itkisinin isə kiçik olması tələb edilir.

Aktiv dielektriklər elə materiallara deyilir ki, onların xassələrini xarici enerji təsirləri vasitəsilə idarə etmək və bu təsirdən istifadə etməklə elektronikanın funksional elementlərini yaratmaq mümkün olsun. Aktiv dielektriklər elektrik və optik siqnalların generasiyasına, gücləndirilməsinə, modulyasiyasına imkan verməklə yanaşı, həm də informasiyanın yaddaşda saxlanılmasında və çəvrilməsində istifadə olunur.

Aktiv dielektrik materiallara seqneto-, pyezo- və piroelektriklər, elektretlər, kvant elektronikasının materialları, eləcə də qeyri-xətti optik xassəyə malik olan dielektrik kristallar daxildir. Aktiv dielektrik xassəsinə təkcə bərk cisimlər deyil, həmçinin maye və qaz maddələr, kimyəvi tərkibinə görə isə üzvi və qeyri-üzvi materiallar malik ola bilər. Onlar quruluşuna və xassələrinə görə kristal, amorf, polyar və qeyri-polyar dielektrik qruplarına ayrılır.

Tətbiq sahələrindən asılı olaraq passiv və aktiv dielektriklərə qoyulan tələblər müxtəlif olur. Passiv dielektriklərdən xari-

ci təsirlər zamanı öz xassələrinin dəyişməməsi tələb olunduğu halda, aktiv dielektriklər üçün belə təsirlər zamanı xassələrinin kəskin dəyişməsi əsas şərtidir.

### § 3.9. Passiv dielektriklər

Passiv dielektrik materiallar qrupuna xətti polimerlər, kompozisiyalı tozlu palstmaslar və laylı plastiklər, elektroizolyasiya kompaundları, qeyri-üzvi şüslər, sitallar və saxsı aiddir.

Elektroizolyasiya materiallarının hazırlanmasında üzvi maddələrdən, o cümlədən polimerlərdən, daha doğrusu quruluş baxımından təkrarlanan monomerlərdən ibarət olan yüksək molekullu birləşmələrdən istifadə edilir. Fəza quruluşundan asılı olaraq polimerlər xətti və həcmi olmaqla iki qrupa ayrılır. Zəncirvari ardıcıl təkrar olunan qruplardan ibarət olan makromolekullar xəttidir və bu halda molekulun uzunluğunun onun en kəsiyinə nisbəti  $10^3$  tərtibində olur. Məsələn, polistrol molekulunun uzunluğu  $1,5 \cdot 10^{-6}$  m, eni isə  $1,5 \cdot 10^{-9}$  m tərtibindədir.

Xətti polimerlər elastiki olub, əyilə bilir, eləcə də orta temperaturlarda yumşalır və əriyir. Məhz bu səbəbdən də xətti polimerlər termoelastik material adlanır. Molekullararası qarşılıqlı təsirin kiçik olması nəticəsində bu polimerlər həllədicilərdə şışır və həll olaraq özülli maye əmələ gətirir. Bu da, öz növbəsində onlardan nazik təbəqələrin və liflərin hazırlanmasına imkan verir. Dipol momentinə malik olmayan polimerlər qeyri-polyar polimerlər adlanır. Bu qrupa daxil olan və elektron texnikasında geniş istifadə tapmış polimerlərə polietilen, polistirol və polietraftoretilen misal ola bilər. Həmin materialların əsas xassələri cədvəl 3.1-də göstərilmişdir.

Kiçik itkiyə malik olduqlarından, qeyri-polyar polimerlərdən yüksək və ifratyüsək tezliklərdə, elektron texnikasında; polietilendən televiziya və radiotezliklərdə kabellərin izolyasiyasında; polistirol və polietraftoretilen nazik təbəqələrindən isə - böyük tutuma və müqavimətə malik termostabil yüksəktezlikli

kondensatorların izolyasiyasında istifadə olunur. Belə təbəqələrin əhəmiyyətli xüsusiyyətlərindən biri də onların elektrik möhkəmliyinin 200-250 MV/m tərtibində olmasıdır.

*Cədvəl 3.1*

Xassələr	Polietilen	Polistirol	Polietraftforetilen (ftoroplast)
Həcmidəki xüsusi müqavimət (Om·m )	$10^{14} \div 10^{15}$	$10^{14} \div 10^{16}$	$10^{14} \div 10^{15}$
Nisbi dielektrik nüfuzluğu	2,3-2,4	2,5-2,6	1,9-2,2
$10^6$ Hs -də dielektrik itkisi ( $tg\delta$ )	0,0002-0,0005	0,0002-0,0004	0,0002-0,0003
Elektrik möhkəmliyi (MV/m)	40-150	20-110	40-250
İstiyə davamlığı (°C)	105-130	75-80	300

Polietilen kimyəvi baxımdan dayanıqlı olduğundan, ondan yarımkəçiricilərin texnologiyasında köməkçi material kimi də istifadə edilir.

### **§ 3.10. Kompozisiyalı tozlu plastmastlar və laylı plastiklər**

İsti presləmə və ya təzyiq altında tökmə üsulu ilə müxtəlif kompozisiyalı tozlu plastmas məmulatlar hazırlanır. Belə plastmastların hazırlanmasında əlaqələndirici maddələrdən və aşqarlardan istifadə olunur. Əlaqələndirici material olaraq həcmli və xətti polimerlərdən, aşqar qismində isə - ağac unu, pambıq tululantısı, kvars tozu, azbest və ya şüşə liflərindən istifadə edilir.

Alınmış kütləyə müxtəlif rənglər vermək üçün boyalı materiallardan, texnoloji keyfiyyətini yüksəltmək üçün isə - plastifikatorlardan istifadə edilir.

Aşqarlar plastmasın mexaniki xarakteristikasının, keyfiyyətinin və elektrik xassələrinin yaxşılaşdırılmasına imkan verir.

Kompozisiyalı plastmastların növlərindən biri də laylı quruluşa malik olan plastik lövhələdir. Bu halda doldurucu material kimi vərəq formasına malik olan lifli materiallardan istifadə edilir. Laylı plastiklərə misal olaraq getinaksı və tekstoliti göstərmək olar.

Getinaks, fenol-formaldehidi və digər qətran maddələri hopdurulmuş kağız laylarını isti presləmə üsulu ilə alınır. İstehsalat məqsədləri üçün möhkəm və istiyədavamlı formaldehid qətranın sulu suspenziyası hopdurulmuş kağızlardan istifadə olunur. Belə vərəqlər paket şəklində yiğilaraq,  $160^0$  C-də hidravlik presin köməyi ilə 10-12 MPa təzyiqdə sıxılır. Presləmə zamanı qətran yumşalır və vərəqlərdəki liflərarası boşluqları dolduraraq bərkileyir. Nəticədə laylı quruluşa malik monolit material əmələ gəlir.

Getinaksın laylı quruluşa malik olması onun fiziki parametrlərinin anizotropiya xassəsini yaradır. Belə ki, bu materialda uzununa (laylar istiqamətindəki) həcmi müqavimət eninə müqavimətdən 50-100 dəfə kiçik olur. Uzununa elektrik möhkəmliyi isə - eninə (laylara perpendikulyar) istiqamətindəkindən 5÷8 dəfə kiçik olur.

Lifli quruluşlu əsas və hopdurulmuş maddə polyar dielektrik xüsusiyyətinə malik olduğundan, getinaks güclü polyar dielektriklər qrupuna mənsubdur. Laylara perpendikulyar istiqamətdə onun elektrik möhkəmliyi  $30 \text{ MV/m}$ , dielektrik nüfuzluğu  $\varepsilon = 6\div 7$  tərtibində,  $10^6$  Hs tezlikdə dielektrik itkisi isə  $0,04\div 0,08$  aralığında olur. Radioqurğularda aşağı tezliklərdə işləyə bilən sxemlərin hazırlanmasında folqalaşdırılmış getinakslardan istifadə edilir. Hal-hazırda elektron texnikasının tələblərini ödəyən 10-dan çox müxtəlif növ getinaks istehsal olunur.

Radiosxemlərin hazırlanmasında bir və ya hər iki üzü nəzik mis təbəqə ilə örtülmüş getinaksdan istifadə olunur. Bu zaman əvvəlcə getinaksın səthinə çökdürülmüş mis təbəqə üzərində lazımlı sxem çəkilir və həmin sxemin üzəri kimyəvi davamlı ləkla örtülür. Sonra isə kimyəvi aşılama yolu ilə nazik mis təbəqəsinin digər (ləkla örtülməmiş) hissələri getinaksın səthindən kənarlaşdırılır və lazımlı sxemin mis təbəqə ilə çəkilmiş tam əksi əldə olunur.

Tekstolit də getinaks kimi plastiki materialdır. Onun hazırlanmasında qətranla hopdurulmuş pambıq-kağız parçalardan istifadə edilir.

### **§ 3.11. Elektroizolyasiya üçün istifadə olunan kompaundlar**

Qətran, bitium, efir, selliloza və digər maddələrin qarışığından ibarət olan materiala kompaund deyilir. Əvvəlcə bu qarışiq qızdırıllaraq maye halına, sonra isə soyutma yolu ilə bərk fazaya keçirilir. Belə kompaundlar termokompaundlar adlanır.

Yüksək temperaturun təsirinə həssas olan elementlərdən hazırlanmış qurğularda istifadə edilmə məqsədindən asılı olaraq, hopdurulmuş və tökülmüş kompaundlardan istifadə olunur. Tökülmüş kompaundlar ayrı-ayrı detallarda mövcud olan böyük aralıqları, eləcə də müxtəlif detalların arasındaki boşluqları doldurmaq, nəmlənmədən izolə etmək, deşilmənin qarşısını almaq və mexaniki möhkəmliyin keyfiyyətini yüksəltmək üçün tətbiq edilir.

Termoplastik və termoreaktiv kompaundlar da mövcuddur. Termoplastik kompaundlar qızdırıldıqda əriyir, soyudulduğda isə - bərkiyir. Bunlara misal olaraq bitium kompaundunu göstərmək olar.

Termoreaktiv kompaundlar kimyəvi reaksiya zamanı maye halında alınır və sonradan bərkiyir. Bu kompoundlar təkrar olaraq bərk haldan maye halına keçmər. Detal və cihazları belə

termoreaktiv kompaundla izolə etdikdə, sonradan onları təmir etmək mümkün olmur.

Elektro- və radiocihazların (transformatorların, drossellərin, kondensatorların və s.) izolə edilməsində, eləcə də yarımkəçirici cihazların və integrallı mikrosxemlərin hermetikləndirilməsində kompaundlardan geniş istifadə olunur.

Bir sıra epoksid kompaundlar optik spektrin yaxın infrarızmızı oblastlarında bircins və şəffafdır. Bu səbəbdən də onlardan şüanın işıq mənbələrindən (məsələn, işıq diodlarından) kənara çıxarılması üçün əlaqələndirici kimi istifadə edilir.

### § 3.12. Qeyri-üzvi şüşələr

Şüşə qeyri-üzvi kvaziamorf bərk maddədir. Kimyəvi tərkiblərinə görə şüşələr elementar, halkogenid və oksid şüşələrə ayrılır. Dielektrik xüsusiyyətinə yalnız oksid şüşələr malikdir. Şüşə əmələgətirən oksidlər qrupuna  $\text{SiO}_2$ ,  $\text{B}_2\text{O}_3$ ,  $\text{GeO}_2$ ,  $\text{P}_2\text{O}$  daxildir. Elektron texnikasında daha çox istifadə edilən şüşə  $\text{SiO}_2$  əsasında yaradılmış silikat şüşələridir. Şüşələrə müəyyən fiziki xassələr vermək üçün, bir qayda olaraq onların tərkibinə müxtəlif metalların oksidləri daxil edilir.

Şüşə hazırlamaq üçün xammal olaraq kvras tozu ( $\text{SiO}_2$ ), soda ( $\text{Na}_2\text{CO}$ ), potaş ( $\text{K}_2\text{CO}$ ), əhəng ( $\text{CaCO}_3$ ), dolomit ( $\text{CaCO}_3 \cdot \text{MgCO}_3$ ), natrium sulfat ( $\text{Na}_2\text{SO}_4$ ), boraks ( $\text{Na}_2\text{B}_4\text{O}_7$ ), sülükən ( $\text{Ph}_3\text{O}_4$ ), çöl şpatı ( $\text{Al}_2\text{O}_3 \cdot 6\text{SiO}_3 \cdot \text{K}_2\text{O}$ ) və s. götürülür.

Texniki tətbiqinə görə şüşələrin elektrovakuum şüşələri, izolyator şüşələri, rəngli şüşələr, lazer şüşələri, işıq ötürüçülərdə istifadə olunan şüşələr kimi müxtəlif növləri var.

**Elektrovakuum şüşələrinin** tətbiq sahəsinin təyinedici parametri, onların xətti genişlənməsinin temperatur əmsalıdır. Bu parametr həmin şüşələrin elektrodlara və cihazların metal özüllərinə (gövdələrinə) lehimlənməsində başlıca rol oynayır. Bu məqsədlə istifadə edilən şüşənin xətti genişlənmə əmsali

$(\alpha_1)$  lehimləndiyi metalin xətti genişlənmə əmsalı  $(\alpha_2)$  ilə eyni olmalıdır. Əks təqdirdə, temperatur dəyişdikdə qurğunun şüşədən ibarət olan hissəsində çatlar əmələ gələ bilər. Bundan əlavə, yüksəkətzlikli cihazlarda çox kiçik dielektrik itkisinə malik olan şüşələrdən istifadə olunur. Elektrovakuum şüşələri xətti genişlənmə əmsalının qiymətinə görə müxtəlif növlərə ayrıılır və markalanır. Metallarda xətti genişlənmə əmsalı ərimə temperaturu ilə sıx bağlı olduğundan şüşələrə çətin əriyən metalları və ərintiləri birləşdirmək olur.

Bu baxımdan elektrovakuum şüşələri aşağıdakı növlərə ayrıılır:

$$\text{Platin şüşələr} \quad (a_t = (85 \div 92) * 10^{-7} K^{-1});$$

$$\text{Molibden şüşələr} \quad (a_t = (46 \div 52) * 10^{-7} K^{-1});$$

$$\text{Volfram şüşələr} \quad (a_t = (35 \div 42) * 10^{-7} K^{-1}).$$

Kimyəvi tərkiblərinə görə isə - şüşələr bor-silikat ( $B_2O_3+SiO_2$ ) və alüminium-silikat ( $Al_2O_3+SiO_2$ ) şüşələrə ayrıılır. Bu şüşələrə qələvi oksidləri əlavə edilir. Platin, molibden və volfram şüşələr anlayışları, həmin şüşələrin tərkibi ilə deyil, xətti genişlənmə əmsallarının altındakı metalin xətti genişlənmə əmsalına yaxın olması ilə bağlı anlayışlardır. Tərkibindəki qələvi oksidlərinin miqdarı artdıqca şüşələrin xətti genişlənmə əmsali böyür. Elektrovakuum şüşələrinin markalanması zamanı C - hərifindən sonra  $\alpha_t$  - nın qiyməti və hazırlanma seriyası göstərilir. Məsələn, C89-5 markalı şüşənin xətli genişlənmə əmsalı  $\alpha_t=89 \cdot 10^{-7} K^{-1}$ , seriyası 5-dir.

**İzolyator kimi istifadə olunan şüşələr** tez metallaşır və onlardan müxtəlif cihazların (məsələn, diodların, tranzistorların və kondensatorların) metal çıxışlarını hermetikləşdirmək üçün istifadə olunur.

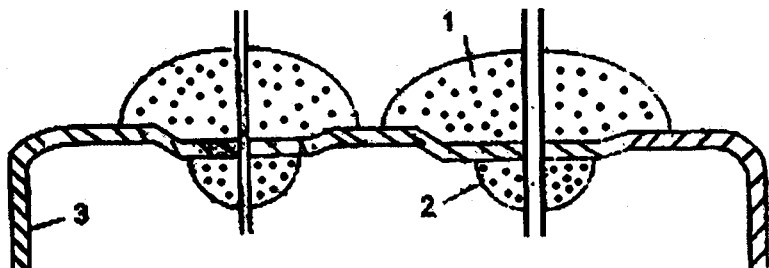
Şəkil 3.5-də gümüş örtüklə (2) örtülmüş şüşə izolyator (1) göstərilmişdir. O, hermetikləşdirilmiş kondensatorun metal örtüyü (3) ilə birləşdirilmişdir.

Diod və tranzistorların metal çıxışları cihazın gövdəsinin kapilyardan hazırlanmış şüşə muncuqlar vasitəsi ilə (1)

izolə edilir. Belə keçid izolyatorlarının düzəldilməsində qələvi-silikat şüşələrdən istifadə olunur.

Adı silikat şüşələr optik spektrin görünən oblastında şəf-fafdır. Belə şüşələrə daxil edilən aşqarlar şüşəyə müxtəlif rəng-lər verir. Məsələn,  $\text{CaO}$  – göy,  $\text{Cr}_2\text{O}_3$  – yaşıl,  $\text{MnO}_2$  – bənövşəyi,  $\text{UO}_2$  – sarı.

Bu xüsusiyyətdən rəngli şüşələr, işıq filtrləri, minalı şüşə-lərin hazırlanmasında istifadə olunur.



Şəkil 3.5

Şüşələrdən bərk cisim lazerlərində işçi (aktiv) maddə ki-mi də istifadə olunur. Belə ki, şəffaf matrisada müxtəlif kimyə-vi elementlərin müntəzəm paylanmış aktivləşdirici ionları gene-rasiya mərkəzi rolunu oynaya bilər. Şüşələrdə aktivləşdirici aş-qarların həllolma dərəcəsi qeyri-məhduddur. Praktikada neodim ionu ( $\text{Nd}^{3+}$ ) ilə aktivləşdirilmiş baritdən ( $\text{BaO}\text{-K}_2\text{O}\text{-SiO}_2$ ) daha çox istifadə olunur. Lazerlərdə istifadə edilən şüşələrin kristal-lardan başlıca fərqi, xüsusi alınma texnologiyasına malik olma-sı, optik bircinsliyi və xassələrinin izotropluğudur. Güclü lazer şüələri almaq üçün bu növ şüşələrdən böyük ölçülü silindrik formalı aktiv (işçi) elementlər düzəldilir.

Lakin aktivləşdirilmiş şüşələrdə spektral xətlər enliləşdi-yindən, cihazın çıxışında şüanın tam monoxromatikləşməsi çə-tinləşir. Bu deyilənlərdən başqa, şüşələr kristallara nisbətən daha kiçik istilikkeçirməyə malikdir. Bu da belə lazerlərin kə-silməz işçi rejimdə işləməsinə əngəl yaradır, çünki işçi element

həddən artıq qızır. Buna görə də şüşələr əsasındakı lazerlərdən başlıca olaraq, böyük gücə malik impuls şüalanması almaq üçün istifadə edilir.

Ərimiş şüşə kütləsində xüsusi kiçik yarıqdan keçirməklə və sonradan sürətlə fırlanan diyircəyə sarımaqla yüksək elastikliyə və mexaniki möhkəmliyə malik nazik liflər almaq mümkündür. Diametri 4-7 mkm olan belə liflər çox yüksək elastikliyə malik olduqlarından, xüsusi texnologiya əsasında onlardan parçalar, həmin parçalardan isə borular hazırlanır. Lifli şüşələrdən hazırlanmış izolyator istiliyi düzümlüyü, yüksək mexaniki möhkəmliyi, nəmçəkməkliyi və elektrik izolyasiya xassəsinə malik olması ilə fərqlənir. Belə materialların alınmasında qələvili alüminium-silikatdan, qələvisiz və azqələvili alüminium-bor silikatdan istifadə olunur.

Nazik tel şəklində olan şüşələrdən işıq şüasını mənbədən qəbul edərək ötürmək, eləcə də lifli ötürücülər hazırlamaq üçün istifadə edilir. Ayrı-ayrı şüşə liflər işığı ötürməyən izoləedici örtüklə əhatə olunaraq təcrid edilməklə dəstə şəklində bir yerdə toplanıb işıq ötürücü kabel təşkil edə bilər. İnfomasiyanın belə şüşəli liflər vasitəsilə ötürülməsi, digər ötürülmə hallarından kəskin fərqlənir. Bu isə öz növbəsində həmin kabelləri optoelektronikanın əsas elementlərindən biri edir. Lifli optikanın linzalı optikadan başlıca fərqi, onun daha yiğcam və dayanıqlı olmasıdır. Belə işıq ötürücülərinin vasitəsilə təsviri məsafəyə əyilən yollarla (trayektoriya ilə) da ötürmək olur. Belə ötürmənin gizliliyi və küyə qarşı davamlılığı onu əvəz olunmaz edir. İşıq şüası belə liflərin daxilində çoxlu sayıda əks olunmaya məruz qalsa da, itkisiz istenilən nöqtəyə çatdırıla bilir.

**Saxsı dielektrik materiallar** müasir radiotexnikada çox geniş tətbiq tapıb və onlara böyük tələbat var. Bu növ dielektriklər yüksək dərəcədə istiliyi davamlı olmaqla yanaşı, həm də nəmliyi özündə saxlamaq qabiliyyətinə, yüksək elektrik xassələrinə və möhkəmliyə malikdir. Onlar yüksək enerjili şüalanmanın təsiri ilə öz xassələrini itirmir. Çox vaxt bu materiallar

keramik materiallar adlanır. Keramika sözü “keramos” yunan sözündən əmələ gəlib. Bu sözün mənası küvəc gili deməkdir. Əvvəller tərkibində gil olan materiallar keramika adlandırılırdı. Hal-hazırda keramika təkcə tərkibində gil olan materiallar deyil, eləcə də xassələri keramikaya bənzər qeyri-üzvi materiallara da aid edilir. Həmin materiallardan müəyyən detallar düzəldikdə bir müddət yüksək temperaturda bişirmək (termik işləmək) lazımdır.

Keramik materiallar bir neçə fazadan ibarət ola bilər də, onların əsas fazası şüşəvari kristal fazadır. Kristal fazını müxtəlif kimyəvi birləşmələr və onların bərk məhlulları əmələ gətirir. Keramikanın əsas parametrləri və xüsusiyyətləri dielektrik nüfuzluğu, dielektrik itkisi, xətti genişlənmənin temperatur əmsalı, mexaniki möhkəmlik və bu parametrlərin kristal fazanın xüsusiyyətlərindən asılılığıdır. Şuşəvari faza nazik şüşə təbəqə olub, kristal faza ilə əlaqələnir.

Radiokeramikaların hazırlanmasında kristal əmələgətirə bilən əsas komponentlər olaraq minerallarla yanaşı, kvarsdan, gil torpaqdan, talkdan, müxtəlif metalların oksidlərindən, karbonatlardan da istifadə edilir.

Texniki tətbiqinə görə keramik materiallar quraşdırma və kondensator keramikalarına ayrıılır. Quraşdırma keramikalar dan dayaqların, keçidlərin, asılqanların, radioantenna izolyatorlarının, eləcə də lampaların panelərinin, lampadaxili izolyatorların, rezistorların, induktiv makaraların gövdələrinin və peçlərin özlünün hazırlanmasında istifadə olunur. Bundan əlavə, keramika əsasında istehsal olunan kondensatorlar bütün mövcud kondensatorların təqribən 50%-ni təşkil edir.

Keramikalar tətbiq sahəsi və elektrik xassələrinə görə aşağı və yüksək tezlik materialları olurlar.

Aşağı tezlik keramikalarına misal olaraq, farforu göstərmək olar. Onu hazırlayarkən xammal kimi xüsusi növ gildən, kvars tozundan, qələvi çöl şpatından istifadə edilir. Gil yüksək temperatura qədər qızdırılan zaman ona kristallaşma xüsusiyy-

yəti verən suyu tərkibindən itirir. Çöl şpatının əriməsi nəticəsində kristal dənələrin aralığı şüşəvari faza ilə dolur. Belə şüşəvari fazanın aralığa dolması keramik farforun dielektrik itkisinin kəskin artmasına səbəb olur. Bu da ondan yüksək tezliklərdə istifadə etməyə imkan vermir. İzolyatorun tərkibinə barium oksidini əlavə etməklə aşağı və yüksək tezliklər diapazonunda işləyəbilən radiofarforların hazırlanması mümkündür. Radiofarforun xüsusi həcmi müqaviməti izolyator farforunkundan iki tərtibə qədər böyük olur. Radiofarforun daha təkmilləşdirilmiş variantı ultrafarfordur. Ultrafarfor yüksək tezlikli dielektrikdir. O, yüksək mexaniki möhkəmliyə və kiçik dielektrik itkisinə malikdir.

Tərkibində təqribən 95-99% torpaq-gil olan korundan ibarət keramika alüminium oksidli keramika adlanır. Bu material  $1600^{\circ}\text{C}$ -də çox kiçik dielektrik itkisinə malikdir. Alüminium oksidin xüsusi istilikkeçiriciliyi izolyasiya farforunkundan 10-20 dəfə böyükdür.

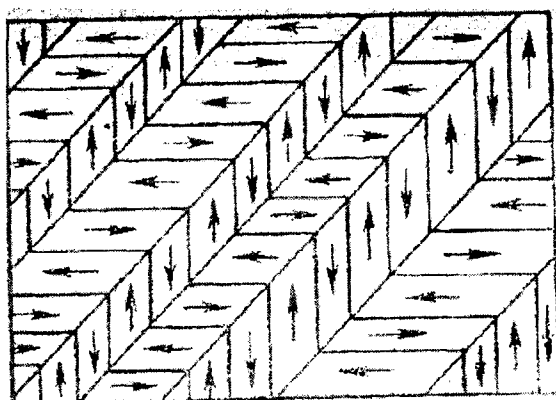
Kondensator keramikası orta ( $\epsilon=10 \div 230$ ) və yüksək ( $\epsilon>900$ ) dielektrik nüfuzluğuna malikdir. 1 MHs tezlikdə dielektrik itkisi 0,0006-dan böyük olmadığı halda, 1000 Hs tezlikdə 0,002-0,025 arasında dəyişir. Birinci halda keramika yüksək, ikinci halda isə - alçaq tezlikli dielektriklərə aid olur. Kondensator keramikası aşağı, kiçik və böyük gərginlikli yüksək tezlikli kondensatorların istehsalında istifadə olunur. Bu halların hamisində dielektrik nüfuzluğunun temperatur əmsalı kifayət qədər kiçik olmalıdır.

### § 3.13. Aktiv dielektriklər

**Seqnetoelektriklər** aktiv dielektriklər arasında özünün rəngarəng xassələrinə görə daha geniş tətbiq tapması ilə fərqlənir. Bu materialda domen adlanan spontan polyarlaşmış irimiq-yashlı oblastlar mövcuddur və həmin domenlər xarici elektrik

sahəsinin təsiri altında öz xootik yönəlmış elektrik momentləri ni nizamlı düzüllüsələ əvəz edir.

Seqnetoelektrik monokristallarda domenlərin elektrik momentlərinin nisbətən istiqamətlənməsi kristal qəfəsin simmetriyasından asılıdır. Tetraqonal modifikasiyaya malik olan titanat bariumda ( $\text{BaTiO}_3$ ) spontan polyarlaşmanın altı istiqaməti mövcuddur.



Şəkil 3.6

Domenlərin elektrik sahələri bir-birinə paralel və antiparalel ola bilər. Bu tip seqnetoelektriklər üçün domen sxematik olaraq quruluşu şəkil 3.6-da göstərilmişdir.

Domenin sərhədlərində elektroneutrallığın ödənilməsi enerji baxımından ən ehtimallı hal sayılır. Bu isə o deməkdir ki, domenlərin sərhədinə proyeksiyalanmış poliarlaşma vektorlarının uzunluğu eyni olub,  $10^{-4}$ - $10^{-1}$  sm arasında qiymətlər alır.

Seqnetoelektriklərdə  $D$  – elektrik induksiya vektorunun  $E$ -elektrik sahəsinin intensivliyindən asılılığında histerezis ilgəyinin müşahidə olunması domenlərin istiqamətlənməsi ilə bağlı enerji itkisinə səbəb olur ki, bu da əlavə dielektrik itki mexanizmi hesabınadır. Histerezis ilgəyinin sahəsi dielektrikdə bir perioddakı səpilmə ilə əlaqədar enerji itkisinin göstəricisidir.

Bu zaman dielektrik itkisi özünün ən böyük qiymətini ( $\operatorname{tg}\delta = 0,1$ ) alır.

Polyarlaşmanın elektrik sahəsinin intensivliyindən qeyri-xətti asılılığı və histerezisin mövcudluğu dielektrik nüfuzluğunun və seqnetoelektrikli kondensatorun tutumun iş rejimindən asılı olması ilə əlaqədardır. Materialın dielektrik xassəsini müxtəlif işçi rejimlərdə xarakterizə etmək üçün statistik, reversiv və effektiv dielektrik nüfuzluğundan istifadə olunur.

**Statistik dielektrik nüfuzluğu** ( $\epsilon_{st}$ ) seqnetoelektriklərin histerezis əyrisinin əsas hissəsindən (şəkil 3.7-də OA hissəsi) təyin edilir və

$$\epsilon_{st} = \frac{D}{\epsilon_0 E} = 1 + \frac{P}{\epsilon_0 E} \approx \frac{P}{\epsilon_0 E} \quad (3.30)$$

Şəklində istifadə olunur.

Dəyişən elektrik sahəsində və eyni zamanda sabit elektrik sahəsinin təsiri altında seqnetoelektrikin polyarlaşmasını xarakterizə edən dielektrik nüfuzluğuna **reversiv dielektrik nüfuzluğu** deyilir.

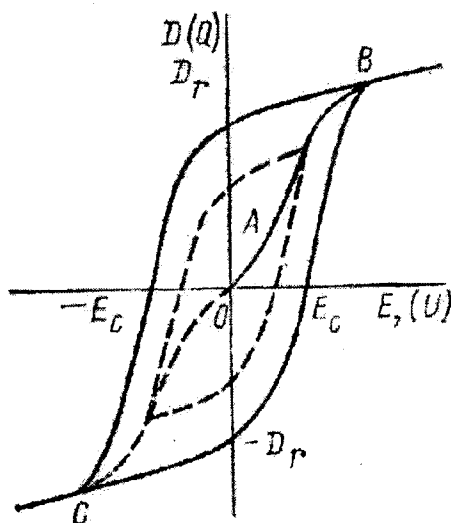
**Effektiv dielektrik nüfuzluğu** və eləcə də kondensatorun tutumu verilmiş  $U$  gərginliyində qeyri-xətti elementdən keçən sinusoidal olmayan cərəyanın  $I$  təsiredici qiyməti ilə müəyyən olunur:

$$\epsilon_{ef} \approx C_{ef} = \frac{I}{\omega U}. \quad (3.31)$$

Xarici elektrik sahəsi domenlərin elektrik momentlərinin istiqamətini dəyişdiyindən, güclü polyarlaşma effekti yaradır. Bu isə öz növbəsində, seqnetoelektriklərin dielektrik nüfuzluğunun çox böyük ( $\epsilon=10^5$ ) qiymət almاسına səbəb olur.

Seqnetoelektriklərin domen quruluşu elektrik induksiyasının ( $D$ ) elektrik sahəsinin intensivliyindən ( $E$ ) qeyti-xətti asılığına səbəb olur (şəkil 3.7)

Zəif elektrik sahələrində  $D$ -nin  $E$ -dən asılılığı (şəkil 3.7-dəki əyrinin OA hissəsi) təqribən xətti xarakter daşıyır. Bu hissədə domenlərin yerdəyişməsi dönən xarakterlidir. Həmin



Şəkil 3.7

əyrinin AB hissəsində domenlərin güclü sahədə düzülməsi (yönlənməsi) isə - dönəməyən xarakterlidir. Sahənin bu ( $E$ ) qiymətində domenlərin istiqamətlənməsi tamamilə başa çatır. Sahənin həmin qiymətinə uyğun gələn B-nöqtəsi birinci texniki doyma nöqtəsi adlanır. Kristalın bu halı domenli vəziyyətə uyğun gəlir. Əyrinin OAB hissəsi seqnetoelektriklərin polyarlaşmasının əsas əyrisi adlanır. Əgər sahənin bu qiymətini azaldaraq sıfıra endirmiş olsaq, onda elektrik induksiyası kiçilərək müəyyən  $D_q$  qalıq qiymətini alar. Xarici sahənin istiqamətini dəyişib sonra onun qiymətini artırıqda  $D$ -nin qiyməti kəskin şəkildə kiçilməyə başlayar və sahənin müəyyən  $E_k$  – qiymətində sıfıra bərabər olar. Elektrik induksiyasının sıfıra bərabər olduğu bu nöqtəyə uyğun gələn elektrik sahəsinin qiymətinə **koerativ qüvvə** deyilir.

Seqnetoelektriklərin yuxarıda adı gedən əlamətdar xüsusiyyətləri müəyyən temperatur diapozonunda özünü göstərir. Həmin temperatur diapozonundan kənarda isə - domen quruluşu dağılır və seqnetoelektriklər **paraelektrik** halına keçir. Bu cür kecid **Küri temperaturunda** ( $T_{kür}$ ) baş verir. Həmin temperaturda spontan polyarlaşma itir və dielektrik nüfuzluğu özünün maksimal qiymətinə çatır, histerezisə uyğun itki yox olduğundan dielektrik itkisi kəskin azalır.

Hal-hazırda seqnetoelektrik xassəsinə malik çoxlu sayıda kimyəvi birləşmələr və bu birləşmələrin əsasında hazırlanmış bərk məhlullar mövcuddur.

Seqnetoelektrik kristallar müxtəlif quruluş tipləri əmələ gətirir. Bu, ilk növbədə onlarda spontan polyarlaşmanın əmələ gəlmə mexanizmlərinin müxtəlif olmasına dəlalət edir. Spontan polyarlaşma kecidinə uyğun Küri temperaturu bir neçə kelvin dərəcədən ( $Pb_2Nb_2O_7$ -də  $T_k=15K$ ) min kelvin dərəcəyə qədər ( $LiNbO_3$ -də  $T_k=1483K$ ) dəyişə bilir. Spontan polyarlaşmanın qiyməti isə  $10^{-5} \text{ Kl/m}^2$ -dan  $3 \text{ Kl/m}^2$ -a qədər dəyişir.

Kimyəvi rabitənin tipindən və fiziki xassələrindən asılı olaraq, seqnetoelektriklər iki qrupa – ion və dipol kristallarına ayrılır. Ion seqnetoelektriklərinə titanat barium ( $BaTiO_3$ ), titanat qurğuşun ( $PbTiO_3$ ), niobat kalium ( $LiNbO_3$ ) və s. , dipol kristallarına isə - seqnet duzu ( $NaKC_4H_4O_6 \cdot 4H_2O$ ), triqlisinsulfat ( $(NH_2CH_2COOH)_3 \cdot H_2SO_4$ ), nitrit natrium ( $NaNO_2$ ) və digərləri daxildir. Ion və dipol seqnetoelektrik kristalları öz xassələrinə görə bir-birindən kəskin fərqlənir. Ion kristalları suda həll olmur və yüksək mexaniki möhkəmliyə malikdir. Dipol seqnetoelektrik kristallar isə - suda asanlıqla həll olur və kiçik mexaniki möhkəmliyə malikdir. Ion seqnetoelektrik kristallarının Küri temperaturu dipol kristallarınıninkinə nisbətən yüksək olur.

Seqnetoelektrik materiallar başlıca olaraq böyük xüsusi elektriktutumlu, kiçikölçülü alçaqtezlikli kondensatorların, kifayət qədər böyük qeyri-xətti polyarlaşmaya malik dielektriklər gücləndiricilərin, modulyatorların, idarəolunan qurğuların, he-

sablama texnikası üçün yaddaş elementlərinin, lazer şüaları modulyatorları və çeviricilərinin, pyezoelektrik və piroelektrik çeviricilərinin hazırlanmasında istifadə edilir.

Seqnetokeramik materialların böyük dielektrik nüfuzluğu,  $\epsilon$ -nun temperaturdan, eləcə də  $\epsilon$  və  $tg\delta$ -nin elektrik sahəsinin intensivliyindən zəif asılılığına, böyük höcmi və səthi müqavimətə, eləcə də yüksək elektrik möhkəmliyinə malik olması, onlardan kondensatorların hazırlanmasında istifadə etməyə imkan verir.

Histerezis ilgəyi düzbucaqlı formada olan seqnetoelektriklərdən elektron hesablama maşınlarında və yaddaş qurğularında da istifadə edilir.

Seqnetoelektrik kristalların qeyri-xətti optik xassələrə malik olması onlardan lazer şüalarının harmonikalarının generasiyasında, optik şüaların tezlik çeviricilərində istifadə etməyə imkan verir.

**Pyezoelektriklər** də aktiv dielektrik materialların maraqlı və praktiki baxımdan əhəmiyyətli bir qrupudur. Pyezoelektriklər mexaniki gərginliyin təsiri ilə polyarlaşmaq, elektrik sahəsinin təsiri altında isə - xətti ölçülərini dəyişmək xassəsinə malikdir. Bu hadisələr uyğun olaraq pyezoelektrik və əkspyezoelektrik effektlər adlanır.

Pyezoelektrik effekt ilk dəfə 1880-ci ildə Küri qardaşları tərəfindən kəşf edilmişdir. Pyezoelektrik effekti zamanı dielektrikin qarşı üzlərində əmələ gələn elektrik yükü kristalın mexaniki gərilməsini yaranan qüvvə ilə düz mütənasib olur:

$$Q = d \cdot F \quad (3.32)$$

Burada  $Q$  – dielektrikin səthində yaranan elektrik yükü,  $d$  – pyezomodul,  $F$  – təsir edən mexaniki qüvvədir. (3.32) ifadəsinin hər iki tərəfini qüvvənin təsiri istiqamətdəki səthin ( $S$ ) sahəsinə böldükdə

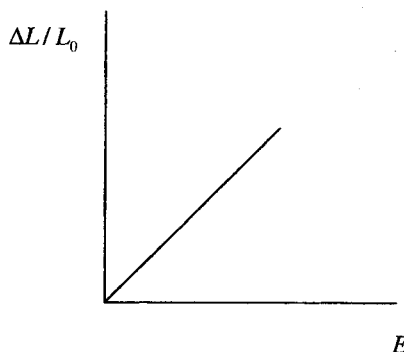
$$\frac{Q}{S} = d \cdot \frac{F}{S} \quad (3.33)$$

alınır. Burada  $\frac{Q}{S} = q_s$  vahid səthə düşən elektrik yükü (yükün səth sıxlığı),  $\frac{F}{S} = \sigma$  isə mexaniki gərginlidir. (3.33) ifadəsini

$$q_s = d \cdot \sigma \quad (3.34)$$

şəklində də yazmaq olar. Sonuncu ifadədən görünür ki, pyezomodul ( $d$ ) ədədi qiymətcə dielektrikin səthində vahid təzyiqin təsiri altında yaranan yüksək bərabərdir. Bu kəmiyyətin qiyməti təqribən  $10^{-16}$  Kt/N tərtibində olur.

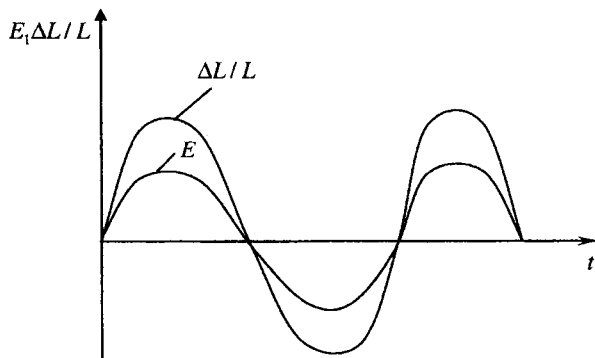
Pyezoelektrik effektı dönen prosesdir. Belə ki, elektrik sahəsinin  $E$ -intensivliyinin dəyişməsi  $\frac{\Delta l}{l_0}$  - nisbi deformasiyanın dəyişməsinə səbəb olur.  $\frac{\Delta l}{l_0}$  -nin  $E$ -dən asılılığı xətti xarakterə malikdir (şəkil 3.8).



Şəkil 3.8

Tərs pyezoelektrik effekt zamanı pyezoelektrikin nisbi deformasiyası ilə onu yaradan elektrik sahəsinin intensivliyi arasında

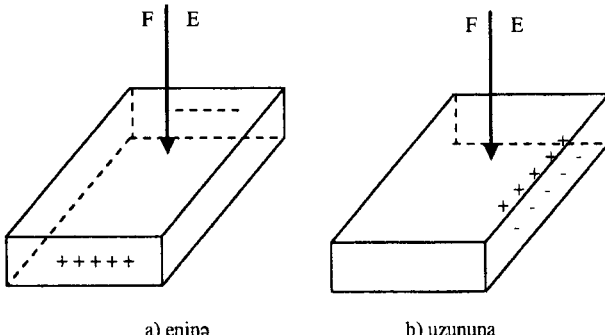
$$\frac{\Delta l}{l} = d \cdot E \quad (3.35)$$



Şəkil 3.9

şəklində asılılıq mövcuddur. Materialın pyezomodulunun qiyməti həm düzünə, həm də tərsinə pyezoeffekt zamanı eyni qalır. Xarici elektrik sahəsinin istiqaməti dəyişdikdə nisbi deformasiyanın da işarəsi dəyişir (şəkil 3.9).

Pyezoelektrik effekt həm eninə, həm də uzununa ola bilir. Mexaniki gərginliyin və elektrik sahəsinin intensivliyinin təsiri istiqamətinə perpendikulyar istiqamətdə yükün və deformasiyanın yaranması prosesinə eninə (şəkil 3.10), paralel istiqamətdə yükün və deformasiyanın yaranması prosesinə isə - uzununa pyezoeffekt deyilir.



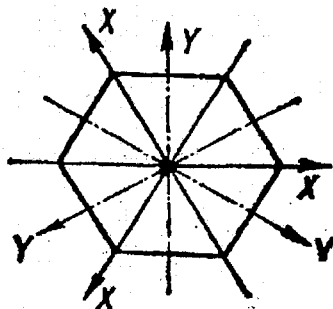
Şəkil 3.10

a) eninə, b) uzununa pyezoeffektin sxematik təsviri

Pyezoeffekt hadisəsi heteropolyar kimyəvi rabitəyə malik maddələrdə müşahidə olunur. Buna görə də pyezoelektriklərə ya ion, ya da güclü polyar dielektriklər aiddir. Dielektriklərin quruluşunda mərkəzi simmetriya olmadıqda pyezoeffekt müşahidə olunur. Əks halda deformasiya mənfi və müsbət yüklerin simmetrik yerdəyişməsinə səbəb olur. Bu isə öz növbəsində elektrik momentlərinin yaranmamasına gətirib çıxarır. Pyezoeffektlər yüksək xüsusi müqavimətə malik dielektrik materialarda müşahidə oluna bilir.

Kifayət qədər yüksək xüsusi elektrik keçiriciliyinə malik dielektriklərdə pyezoelektrik polyarlaşma sərbəst yük daşıyıcıları vasitəsilə kompensə olunur.

İndiyədək çoxlu sayıda materiallarda, o cümlədən seqnetoelektriklərdə pyezoelektrik xüsusiyyəti müşahidə olunmuşdur. Bunların arasında praktiki tətbiqinə görə kvarts monokristalı xüsusi ilə seçilir. Pyezoxüsusiyyəti  $573^{\circ}\text{C}$ -də dayanıqlı olan  $\beta$ -kvarts da vardır. Daha yüksək temperaturlarda quruluşunun tipi dəyişdiyindən onun pyezoxüsusiyyəti itir. Təbii şəffaf kvarts kristalı altı üzlü prizma formasına malik olduğundan, daxili simmetriyaya malikdir. Kvarts kristalında düzbucaqlı koordinat sistemi əmələ gətirən üç əsas baş ox vardır (Şəkil 3.11). X – oxu kristalın altibucaqlı en kəsiyinin təpə nöqtələrindən keçir və elektrik oxu adlanır. Y – oxu altibucaqlının tərəflərinə perpendikulyar olub mexaniki ox adlanır. X və Y oxlarının hər birinin sayı üçə bərabərdir. Kristalın təpəsindən keçən Z – oxu optik ox adlanır.



Şəkil 3.11.

Z oxuna perpendikulyar istiqamətdə kəsilmiş lövhələrdə pyezoeffekt müşahidə olunmur. X oxuna perpendikulyar istiqamətdə kəsilmiş lövhələrdə isə maksimal yük ayrıılır. Kvarsın pyezomodulunun qiyməti  $d_e = 2,3 \cdot 10^{-12}$  K1/N.

Metal elektrodlara malik olan müstəvi paralel kvarts lövhə pyezoelektrik rezonator, başqa sözlə, rezonans tezlikli rəqs konturu rolunu oynayır. Kvarts rezonatorun əsas üstünlüyü onun  $\tg\delta$  dielektrik itkisinin kiçik, mexaniki keyfiyyətliyinin isə - yüksək olmasıdır. Belə rezonatorda rəqslər yaratdıqda o uzun müddət davam edir (sönmür).

Kvarts rezonatorlarının yüksək keyfiyyətə malik olması onlardan əla seçicilik qabiliyyətinə malik filtrlər kimi, eləcə də generatorların tezliklərini stabillaşdırmaq üçün istifadə etməyə imkan verir. Belə pyezoelementlərə qoyulan başlıca şərt, temperaturdan asılı olaraq rezonans tezliyinin minimal dəyişməsidir. Bu tələbi yerinə yetirmək üçün lövhələr baş oxa nəzərən bucaq altında kəsilməlidir. Təbii kvarsla yanashı, hidroterminal üsulla süni kvarslar da almaq mümkündür.

Litium sulfatdan ( $\text{Li}_2\text{SO}_4\text{H}_2\text{O}$ ), seqnet ( $\text{LiTaO}_3$ ) duzlarından, dihidrofosfat ammoniumdan, niobat  $\text{LiNbO}_3$  və tantalat lithiumdan da pyezoelektrik kimi istifadə olunur.  $\text{LiNbO}_3$  və  $\text{LiTaO}_3$  seqnoelektriklərində pyezoelektrik xassəsi yaratmaq üçün onları Küri temperaturundan aşağı temperaturlarda güclü elektrik sahəsində bişirmə üsulu ilə monodomen halına keçirmək lazımdır.

Pyezoelektrik material kimi seqnoelektrik keramikadan geniş istifadə olunur. Polyarlaşmış seqnetokeramikadan pyezoelektrik çeviricilərin hazırlanmasında istifadə olunur və bunlar pyezokeramika adlanır.

Pyezokeramik materialları hazırlamaq üçün  $\text{PbZrO}_3$ - $\text{PbTiO}_3$ -in bərk məhlulundan da istifadə olunur. Belə pyezokeramikadan hidroakustikada, defektoskopiyada, materialların mexaniki işlənməsində və güclü ultrasəs şüalanma mənbələrinin düzəldilməsində istifadə olunur. Pyezokeramik elementlərdən

həmçinin təzyiq, deformasiya, təcil və vibrasiya qeydedicilərinin düzəldilməsində də istifadə edilir. Pyezokeramika əsasında yüksək gərginlikləri əldə etmək üçün pyezotransformatorlar düzəldilir. Bunun üçün pyezokeramik lövhənin bir yarısı qalınlığı görə, digər yarısı isə lövhənin uzunluğuna görə polyarlaşdırılır. Belə transformatorlar 10-150kHs diapazonunda işləyə bilir. Yüksək tezliklərdə onların ölçüləri kiçik, aşağı tezliklərdə isə böyük olur. Pyezokeramik transformatorlar elektron-şüa bellularının, qazboşalma lampalarının, Heyger saygaclarının sxem-lərində yüksəkvoltlu impulsların alınmasında istifadə olunur.

Əslən alman olan rus akademiki Frans Epinus turmalin kristalını qızdırarkən onun üzərində elektrik yüklerinin əmələ gəlməsini müşahidə etmişdir. Bu hadisə, yəni temperaturdan asılı olaraq dielektriklərin spontan polyarlaşması piroelektrik effekt, bu xassəyə malik dielektriklər (materiallar) isə - piroelektriklər adlandırılmışdır. Piroelektrik effekt kəmiyyətcə

$$-dP_{sp} = p \cdot dT \quad (3.36)$$

şəklində ifadə olunur. Burada  $P_{sp}$  – dielektrikin spontan polyarlaşması,  $p$  – isə piroelektrik əmsalıdır.

Spontan polyarlaşmanın ( $P_{sp}$ ) dəyişməsi nəticəsində dielektrikin səthində sərbəst elektrik yüklerinin əmələ gəlməsi qapalı dövrədə cərəyanın yaranmasına səbəb olur. Həmin cərəyan:

$$i = -S \cdot \frac{dP_{sp}}{dt} = S \cdot \overline{P} \frac{dT}{dt}. \quad (3.37)$$

Burada  $S$ -piroelektrikin səthinin sahəsi,  $\frac{dP_{sp}}{dt}$  - spontan polyarlaşmanın,  $\frac{dT}{dt}$  - isə temperaturun dəyişmə sürətidir.

Temperaturdan asılı olaraq spontan polyarlaşmanın dəyişməsi iki səbəbdən- elementar dipol momentlərinin nizamlı düzülüşünün və baş verən deformasiyanın dielektrikin xətti ölçülərini və pyezoelektrik polyarlaşmasını dəyişməsi hesabına baş

verir. Piroelektrik əmsalı ( $\bar{P}$ ) hər iki amili nəzərə alır. Piroelektrik materialların keyfiyyəti

$$R = \frac{\bar{P}}{\varepsilon c} \quad (3.38)$$

şəklində təyin olunan göstirilmiş fiziki kəmiyyətlə xarakterizə edilir. Burada  $\varepsilon$  – dielektrik nüfuzluğu,  $c$ -isə xüsusi istilik tutumudur. R-in qiyməti böyük olduqca piroelektrik effekti də güclü olur.

Turmalin ( $\text{Li}_2\text{SO}_4$ ) və seqnetoelektrik materialların hamısı piroelektrik xassəsinə malikdir. Turmalin tipli xətti dielektriklərdə spontan polyarlaşmanın istiqaməti seqnetoelektriklərdən fərqli olaraq, elektrik sahəsinin təsiri ilə dəyişmir.

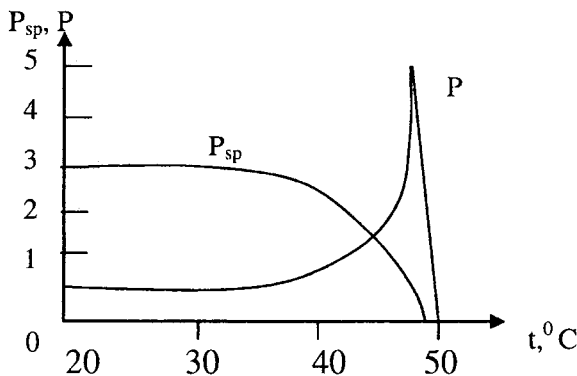
Seqnetoelektriklərdə piroelektrik xassəsi onların monodomenləşmiş halında müşahidə olunur. Bu halda domenlərin həmisinin spontan polyarlaşması eyni istiqamətə malik olur. Seqnetoelektriklərin monodomenləşmiş halını almaq üçün onları Küri temperaturundan aşağı temperaturda sabit elektrik sahəsinin təsiri altında saxlamaq lazımdır. Termodynamik nəzəriyyəyə görə, seqnetoelektriklərin polyarlaşmasının temperaturdan asılılığı

$$P_{sp} = A \cdot \sqrt{T_k - T_0} \quad (3.39)$$

ifadəsi ilə təyin olunur. Burada A-materialı xarakterizə edən sabitdir. Bu ifadədən göründüyü kimi, faza keçidinin baş verdiyi temperatura ( $T_k$ ) yaxınlaşdıqca, piroelektrik əmsalının qiyməti artır:

$$P = \frac{dP_{sp}}{dT} = \frac{A}{2\sqrt{T_k - T_0}}. \quad (3.40)$$

Spontan polyarlaşmanın və piroelektrik əmsalın temperaturdan asılılığı qrafiki olaraq şəkil 3.12-də təsvir edildiyi kimidir.



Şekil 3.12.

$h$  - qalınlığa malik olan piroelektrik lövhənin  $\Delta t^0\text{C}$ -qədər qızdırılması nəticəsində onun səthində əmələ gələn U – potensiallar fərqi:

$$U = \frac{P\Delta t \cdot h}{\epsilon_0 \epsilon}. \quad (3.41)$$

Seqnoelektriklərdə piroelektrik effektinin böyük olması onların əsasında istilik qeydedicilərinin, eləcə də infraqırmızı və ifrat yüksək tezlikli şüalanma enerjisi qeydedicilərinin düzəldilməsinə imkan verir. Şəkil 3.12-dən göründüyü kimi, piroelektrik əmsalı özünün maksimal qiymətini Kürə temperaturunda alır. Belə seqnetoelektrik materiallara məsələ olaraq, niobat barium stronsiumu ( $\text{Sr}_x\text{Ba}_{1-x}\text{O}_6$ ) göstərmək olar. Bu material üçün piroelektrik əmsalinın qiyməti  $(4-28) \cdot 10^{-4} \text{ KJ/m}^2\text{K}$  təribindədir.

Piroelektrik effekt bir sıra polimer materiallarda da müşahidə olunur. Polivinildenftorid və polivinildenxlorid belə polimerlərə aiddir. Alınma texnologiyasının sadəliyi və istənilən ölçüdə nümunələrinin hazırlanma bilməsi bu materiallara marağı artır.

### § 3.14. Elektretlər

**Elektretlər** xarici elektrik sahəsinin təsiri kəsildikdən sonra polyarlaşmış halını uzun müddət saxlamaqla yanaşı, həm də ətraf mühitdə elektrik sahəsi yaranan dielektriklərdir. “Elektret” terminini ilk dəfə ingilis fiziki Xevisayd 1896-ci ildə təklif etmişdir. 1922-ci ildə isə yapon fiziki Motorato Equci palma mumu ilə kanifol qarışığının məhlulunu  $E > 10^6 \frac{V}{m}$  elektrik sahəsində soyutmaqla elektret almışdır. Elektreti almaq üçün müxtəlif texnoloji üsullar mövcud olsa da, bunların hamisının əsasında dielektriki müəyyən müddət ərzində güclü elektrik sahəsində saxlamaq durur. Elektretlərin termoelektret, fotoelektret, psevdoelektret və mexanoelektret kimi müxtəlif növləri mövcuddur.

Qızdırılmış dielektriki güclü elektrik sahəsində soyutmaq yolu ilə alınan elektretə termoelektret deyilir. Fotokeçiriciliyə malik bəzi materialları (S, CdS, ZnS və s.) işığın təsiri altında güclü elektrik sahəsində yerləşdirildikdə fotoelektret əldə edilir. Fotoelektretlər qaranlıqda uzun müddət elektrik yükünü özündə saxlamaq xassəsinə malikdir. Otaq temperaturunda yalnız elektrik sahəsinin təsiri altında elektret xassəsi əldə edən materiallara elektroelektretlər deyilir. Elektrik sahəsi olmadıqda belə, radioaktiv şüalanmanın təsiri altında səthində elektrik yükü əmələ gələn elektretlər psevdoelektretlər, deformasiya nəticəsində elektret xassəsi əldə edən polimerlər isə - mexanoelektretlər adlanır. Aşağı təzyiqlərdə tacvari boşalma zamanı dielektriklərin yüklənməsi asanlaşır. Bu yolla elektret xassəsi qazanan dielektriklərə tacelektretlər deyilir.

Səthində polyarlaşdırıcı elektrodun işarəsinə uyğun yüksək əmələ gələn elektret homoyüklü, əks işaretli yüksək əmələ gələn elektret isə - heteroyüklü elektret adlanır.

Təcrübələr göstərir ki, yaranmış yüksək homoyüklü elektretin səthində heteroyüklü elektretdəkinə nisbətən daha uzun

müddət saxlanılır. Müxtəlif elektretlərin səthində yaranan yüklerin sıxlığı  $10^{-6} \div 10^{-4}$  Kl/m<sup>2</sup> intervalında dəyişir. Polyarlaşdırılan sahənin  $E_p < 0,5 \frac{mV}{m}$  qiymətlərində heteroyük,  $E_p > 1 \frac{mV}{m}$  qiymətlərində isə - homoyük yaranır.

Üzvi polyar elektretlərdə heteroyüklər, qeyri-üzvi materialarda, (məsələn keramikalarda və üzvi qeyri-polyar dielektriklərdə) isə homoyüklər əmələ gəlir. Homoyüklər elektretin yalnız səthində, heteroyüklər isə - bütün həcmində yaranır. Elektretlərin yaşama müddəti on illər boyu davam edə bilir. Bu müddətin qiyməti temperaturdan və rütubətdən asılı olaraq azalır.

Hal-hazırda praktikada geniş tətbiq tapan elektretlər polietraftoretilen, polietilenterftalat, polikarbonat və polimetilmetakrilat polimer nazik lövhələr əsasında hazırlanır.

Elektreti metal lövhələrin arasında yerləşdirdikdə (Şəkil 3.13) induksiya nəticəsində onda yaranan elektrik yükünün miqdarı:

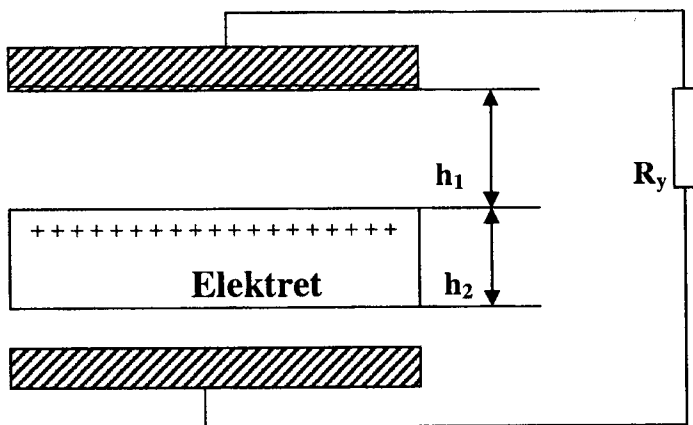
$$Q_{ind} = \frac{Q}{\frac{\epsilon h_1}{h_2} + 1}. \quad (3.42)$$

Burada Q – elektretin səthində olan elektrik yüküdür.  $h_1$  – aralığının enini dəyişdikdə induksiyalanan yükün qiyməti də dəyişir.

$h_1$  – aralığının enini periodik qanunla dəyişdikdə elektrodlar arasındaki dövrədən tezliyi aralığın eninin dəyişmə tezliyinə bərabər olan dəyişən cərəyan axır. Elektret-elektrod sisteminin daxili müqaviməti böyük ( $10^7 \div 10^8$  Om) olduğundan cərəyan xarici yük müqavimətindən ( $R_y$ ) asılı olmur. Beləliklə, Şəkil 3.13-də təsvir olunan qurğu dəyişən cərəyan generatoru, daha doğrusu çeviricisi rolunu oynayır. Belə çeviricilərdə bir qayda olaraq qalınlığı 3÷20 mm olan nazik polimer lövhədən istifadə edilir.

Elektretlərdən mikrofon və telefonların hazırlanmasında, məxaniki vibrasiyanın, atmosfer təzyiqinin və rütubətin ölçülməsində də istifadə edilir.

Elektretlər, həmçinin elektrometrlərin, klavişli hesablama maşınlarının hazırlanması və elektrofotoqrafiya üçün də əvəz olunmaz materialdır.



Şəkil 3.13

## IV FƏSİL

### YARIMKEÇİRİCİLƏR

#### § 4.1. Ümumi məlumat

Xüsusi müqavimətinin qiyməti keçiricilərlə dielektriklərin xüsusi müqavimətlərinin qiymətləri aralığında (adətən  $10^{-6} \div 10^8$  Om·m intervalında) yerləşib, fiziki xassələri xarici təsirlərdən (temperatur, işıq, elektrik və maqnit sahələri, ionlaşdırıcı şüalar və s.), daxil edilmiş aşqarların miqdardan və kimyəvi təbiətindən güclü asılı olan maddələrə yarımkəcərici deyilir. Yarımkecəricilər kimyəvi tərkibinə görə sadə (bəsít) və mürəkkəb olur. Sadə təmiz yarımkəcəricilərin qəfəsi (matrisası) eyni bir kimyəvi elementin, mürəkkəb yarımkəcəricilərin matrisası isə - iki və daha çox müxtəlif kimyəvi elementin atomlarından təşkil olunur.

İstər sadə, istərsə də mürəkkəb yarımkəcəricilərə aşqar daxil etməklə onların xüsusi elektrik keçiriciliyinin qiymətini, əksər hallarda isə həm də tipini dəyişmək olur. Sərbəst yükdaşıyıcılardan elektronlar üstünlük təşkil edən (sərbəst elektronların konsentrasiyası böyük olan) yarımkəcəricilər “n”-, deşiklər üstünlük təşkil edən yarımkəcəricilər isə - “p”- tip yarımkəcəricilər adlanır. Müxtəlif tip keçiriciliyə malik yarımkəcəricilərin kontaktında elektron-deşik keçidi (p-n kecid) yaranır. Bu keçidlər əksər hallarda yarımkəcərici cihazların əsasını təşkil edir.

Yarımkecərici cihazların tətbiq sahəsi, imkanları və keyfiyyəti ilk növbədə istismar olunduğu temperatur və təzyiq diazaponundan, işçi materialda qeyri-əsas yükdaşıyıcıların konsentrasiyasından, yüyürkülüydən, yaşama müddətindən, diffuziya uzunluğundan, həmin materialın təmizlik və bircinslik dərəcəsindən, fotokeçiriciliyinin spektral paylanmasından, ayrı-ayrı fiziki parametrlərinin radasiyaya qarşı davamlığından, elektrik və maqnit sahəsinə həssaslığından, effektiv şüalanma enerjisinin qiymətindən və s. asılıdır.

Aşqar keçiriciliyi aşağı temperatur diapazonunda üstün rol oynadığından, yüksək temperaturlarda p-n keçidli cihazların (diod, tranzistor, tristor və s.) normal işi pozulur. Yarımkeçirici cihazların maksimal işçi temperaturu işçi materialın qadağan olunmuş zonasının eni və ya aşqar səviyyələrin enerji dərinliyi ilə təyin olunur. Hal-hazırda müasir texnologiyaların köməyi ilə yarımkəçirici cihazların işçi temperaturunu  $500^{\circ}\text{C}$ -ə qədər yüksəltmək olur.

Bipolar tranzistorların tezlik xarakteristikası, ilk növbədə sərbəst elektron və deşiklərin baza oblastındaki yüyürüklinin qiyməti ilə müəyyən olunur və yüyürüklik böyük olduqda tranzistorun maksimal generasiya tezliyi də böyük olur. Bipolar tranzistorları hazırlamaq üçün qeyri-əsas yükdaşıyıcıların diffuziya uzunluğunun ( $L_0$ ) optimal qiymətə malik olduğu yarımkəçirici materiallardan istifadə etmək lazımdır və  $L_D$  – tranzistorun baza oblastının qalınlığından böyük olmalıdır. Tranzistorlardan impuls sxemlərində istifadə edildikdə injeksiya olunmuş yükdaşıyıcıların sorulma müddətini minimuma endirmək üçün, işçi materialda qeyri-əsas yükdaşıyıcıların yaşama müddətini kiçitmək lazımdır. Bu isə öz növbəsində həmin materialda qeyri-əsas yükdaşıyıcıların diffuziya uzunluğunun kiçik qiymətə malik olmasına səbəb olur.

Yarımkeçirici elektronikasının əsas məsələlərindən biri, tranzistorun kollektor keçidinin və diodon p-n keçidinin deşilmə gərginliyinin böyük olmasını təmin etməkdir. Bu isə öz növbəsində cərəyan sıxlığının p-n keçidin hər yerində eyni olmasını tələb edir. Yarımkeçirici materialarda makroqeyribircinsliyin və defektlərin mövcudluğu keçidin deşilmə gərginliyinin kiçilməsinə səbəb olur.

Cıxışında böyük gücə malik ifrat yüksək tezlikli elektrik rəqsleri alınan generatorların hazırlanması üçün, işçi materialda ona tətbiq edilən xarici elektrik sahəsinin müəyyən qiymətində sərbəst elektronların müxtəlif enerji minimumları (enerji vadiləri) arasında keçidinin baş verməsini təmin etmək lazımdır. Bu məqsədlə istifadə olunan yarımkəçiricilər çox minimumlu ener-

ji-zona quruluşuna malik olmaqla yanaşı, həm də əsas minimumdakı hal sıxlığı və yükdaşıyıcıların effektiv kütləsi böyük enerjiyə uyğun əlavə minimumdakindan böyük olmalıdır.

Fotorezistor, fotodiод və fotoelementlərin hazırlanmasında qadağan olunmuş zonasının eni və fotokeçiriciliyinin spektral xarakteristikaları müxtəlif olan yarımkəcərıcı materiallardan istifadə etmək lazımdır. Bu məqsədlə çox komponentli bərk məhlullardan istifadə etmək daha məqsədə uyğundur. Belə materiallarda ayrı-ayrı komponentlərin faizlə miqdarını dəyişməklə, fotokeçiriciliyin spektral xarakteristikasının maksimumun yerini (uyğun gəldiyi dalğa uzunluğunu) dəyişmək olur. Fotohəssas və çevirici yarımkəcərıcı materialların kosmik aparatların göyərtəsində istifadə edilməsi üçün onların radasiyaya qarşı davamlılığı əsas şərtlərdən biridir.

Həyəcanlandırılmış elektron sistemlərinin elektromaqnit enerjisini effektiv şüalandırması çox böyük praktiki əhəmiyyətə malikdir. Bu xassədən istifadə edərək yarımkəcərıcı işıq diodları və optik kvant generatorları (lazerlər) düzəltmək mümkündür. Belə cihazlar hazırlanarkən istifadə edilən işçi materiallarda yükdaşıyıcıların rekombinasiya şüalanmasının ehtimalı, qeyri-şüalanma xarakterli rekombinasiyasının ehtimalından üstün olmalıdır.

Termistor, varikap, tenzorezistor, termoelement, termo-elektrik generatoru və soyuducularının hazırlanmasında istifadə olunan yarımkəcərıcı materiallara isə başqa tələblər qoyulur.

## § 4.2. Məxsusi və aşqar yarımkəcərıcılar

Metallarda olduğu kimi, yarımkəcəricilərdə də elektrik cərəyanı sərbəst yükdaşıyıcıların dreyfi ilə əlaqədardır. Yarımkəcəricilərdə sərbəst yükdaşıyıcıların əmələ gəlməsi onların kimyəvi təmizliyindən və temperaturundan asılıdır. Təmizlik dərəcəsindən asılı olaraq bu materiallar məxsusi və aşqar yarımkəcəricilərə ayrılır.

Baxılan temperaturda aşqarın təsiri nəzərə alınmaya bilən yarımkəcərici məxsusi yarımkəcərici adlanır. Mütləq sıfır temperaturuna yaxınlaşdırıqca məxsusi yarımkəcərici özünü daha çox dielektrik kimi aparır. Mütləq sıfır temperaturundan fərqli bütün temperaturlarda keçirici zonada sərbəst yükdaşıyıcıların yaranma ehtimalı var və temperatur yüksəldikcə bu ehtimal artır. Məxsusi yarımkəcəricidə keçirici zonada sərbəst elektronların yaranması ilə valent zonada da deşiklər əmələ gəlir və hər iki tip sərbəst yükdaşıyıcılar elektrik keçiriciliyində iştirak edir. Deşiklər müsbət elektrik yükünə və effektiv kütləyə malikdir. Yarımkəcəricidə qadağan olunmuş zonanın eni nə qədər kiçik və temperatur nə qədər yüksək olarsa, sərbəst yükdaşıyıcıların generasiyasının intensivliyi də bir o qədər böyük olur. Yarımkəcəricidə generasiya prosesi ilə yanaşı, rekombinasiya prosesi də gedir. Bu iki prosesin yanaşı getməsi istənilən temperaturda dinamik tarazlığın yaranmasına səbəb olur. Məxsusi yarımkəcəricilərin əsas xüsusiyyətlərindən biri, termodinamik tarazlıq halında onlarda sərbəst elektronların ( $n_i$ ) və deşiklərin ( $p_i$ ) konseptrasiyasının bərabər olmasına bərabər olmalıdır:

$$n_i = p_i, \quad n_i + p_i = 2 n_i . \quad (4.1)$$

Nəzəri hesablamalar göstərir ki, bu halda:

$$n_i = p_i = \sqrt{N_k N_v} \cdot e^{-\frac{\Delta E_0}{2KT}} . \quad (4.2)$$

Burada  $N_k$ ,  $N_v$  – uyğun olaraq keçirici və valent zonada enerji hallarının effektiv sıxlığı,  $\Delta E_0$ -isə qadağan olunmuş zonanın enidir.

Xarici elektrik sahəsində məxsusi yarımkəcəricidə sərbəst yükdaşıyıcıların hərəkəti istiqamətlənmış xarakter alır - məxsusi elektrik keçiriciliyi yaranır.

Elektrik keçiriciliyində aşqarlar hesabına yaranan keçiricilik üstünlük təşkil edən yarımkəcəricilərə aşqar yarımkəcərici deyilir. Aşqarlar yarımkəcəricinin qadağan olunmuş zonasında əlavə lokal enerji səviyyələri yaradır. Aşqar atomu kristal qəfə-

sin, düyün nöqtələrində əsas atomu əvəz etdikdə belə aşqar əvəzedici, düyün nöqtələri aralığında yerləşdiridikdə isə - daxil edilmiş aşqar adlanır. Aşqar rolunu müxtəlif növ nöqtəvi defektlər də oynaya bilər. Keçirici zonada sərbəst elektronlar yarada bilən aşqarlar donor, valent zonasından elektronları tutan aşqarlar isə - akseptor adlanır. Elektronun donor səviyyəsindən keçirici zonaya keçməsi üçün lazım olan minimal enerjiyə donorların, valent zonadan akseptor səviyyəsinə keçməsi üçün lazım olan enerjiyə isə - akseptorların ionlaşma enerjisi deyilir. Donorların ionlaşma enerjisi:

$$\Delta E_d = \frac{e^4 m_n^*}{8 \epsilon_0^2 \epsilon^2 h^2}. \quad (4.3)$$

Burada  $m_n^*$  - elektronun effektiv kütləsi, e - elektronun yükü,  $\epsilon$  - maddənin dielektrik nüfuzluğu, h - Plank sabitidir.  $\Delta E$  - akseptorların ionlaşma enerjisi üçün də  $m_n^*$ -i deşiklərin  $m_p^*$  - effektiv kütləsi ilə əvəz etməklə uyğun ifadəni yazmaq olar.

Verilmiş yarımkəcirdicidə konsentrasiyası böyük olan sərbəst yüksəşiyicilərə əsas, konsentrasiyası kiçik olan yüksəşiyicilərə isə - qeyri-əsas yüksəşiyicilər deyilir.

Əsas yüksəşiyicilərin  $n_0$  - konsentrasiyası məlum olarsa

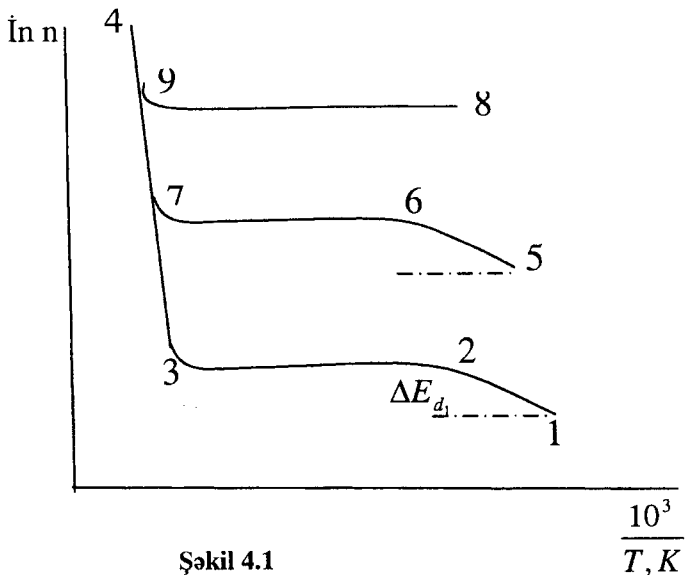
$$n_0 p_0 = n_i^2 \quad (4.4)$$

bərabərliyindən istifadə etməklə, qeyri-əsas yüksəşiyicilərin  $p_0$  konsentrasiyasını tapmaq mümkündür. Burada  $n_i$  - baxılan yarımkəcirdicidə verilmiş temperaturda məxsusi sərbəst yüksəşiyicilərin konsentrasiyasıdır.

### § 4.3. Sərbəst yükdaşıyıcıların konsentrasiyasının temperaturdan asılılığı

Temperaturun geniş diapazonunda və aşqarların müxtəlif miqdalarında (müxtəlif səviyyədə aşqarlanması) n-tip yarımkəcəricidə sərbəst yükdaşıyıcıların konsentrasiyasının temperaturdan asılılığı şəkil 4.1 -də təsvir edilmişdir.

Aşağı temperaturlardan başlayaraq, temperatur yüksəldikdə donorların ionlaşmasının böyüməsi ilə elektronların konsentrasiyası artmağa başlayır. Bu, proses şəkil 4.1-dəki qrafikin 1-2 hissəsinə uyğun gelir. Bu zaman sərbəst elektronların konsentrasiyası



$$n_0 \approx \sqrt{N_c N_d} e^{-\frac{\Delta E_d}{2KT}} \quad (4.5)$$

ifadəsi ilə təyin olunur. Burada  $N_c$  - keçirici zonadakı hal sıxlığı,  $N_d$  - donor ionlarının konsentrasiyası,  $\Delta E_d$  - donor

atomlarının ionlaşma enerjisidir. Qrafikin 1-2 hissəsinin meyli donor aşqarlarının ionlaşma enerjisini göstərir.

Temperaturun sonrakı yüksəlməsində donor atomlarının hamısı ionlaşdığından, geniş temperatur diapazonunda yükdaşıyıcıların konsentrasiyası dəyişmir. Bu, həmin əyrinin 2-3 hissəsinə uyğun gəlir. Əyrinin bu hissəsi aşqarların tükənmə oblastı adlanır.

Temperaturun sonrakı yüksəlməsi sərbəst yükdaşıyıcıların konsentrasiyasının kəskin artmasına səbəb olur. Asılılığın bu hissəsi məxsusi keçiriciliyə uyğun gəlir. Bu hissədə xəttin meylinə əsasən yarımkəcəricinin qadağan olunmuş zonasının eni ( $\Delta E_0$ ) təyin olunur.

Aşqar atomlarının konsentrasiyası (aşqarlanması səviyyəsi) artdıqca  $\ln n(10^3/T, K)$  asılılığını təsvir edən qrafikin aşqar keçiriciliyə uyğun 5-6-7 hissəsi yuxarıya doğru sürüsür. Bu sürüşmənin səbəbi (4.5) ifadəsindən görünür. Aşqar atomlarının konsentrasiyası artdıqca aşqarların tükənməsi daha yüksək temperaturda baş verir. Aşqar atomlarının kifayət qədər böyük konsentrasiyalarında onların ionlaşma enerjisi sıfır bərabər olur. Bu halda  $\ln n\left(\frac{1}{T}\right)$  asılılığının başlangıç hissəsi müşahidə olunmur. Belə yarımkəcərici cırlaşmış halda olur. Cırlaşmış n-tip yarımkəcəricidə aşqar (donor) səviyyələri ensiz enerji zonalığına çevirilir və bu zolaq sərbəst zona ilə qismən bürünür. Bu xüsusiyət həmin cırlaşmış yarımkəcəriciləri metala bənzədir.

Cırlaşmamış n-tip yarımkəcəricilərdə Fermi səviyyəsi keçirici zona ilə aşqar zonanın ortasında yerləşir. Bu halda temperaturun yüksəlməsi ilə donor səviyyələrin dolması dərəcəsi azalır və Fermi səviyyəsi yerini aşağıya doğru dəyişir.

#### § 4.4. Yarımkeçiricilərdə sərbəst yükdaşıyıcıların yüyürüklüyü

Xarici elektrik sahəsi yarımkeçiricilərdə də sərbəst yükdaşıyıcıların hərəkətində nizamlılıq əmələ gətirərək, elektrik cərəyanı yaradır. Belə sahədə sərbəst yükdaşıyıcıların malik olduğu istiqamətlənmiş sürətə **dreyf sürəti**, həmin sürətin orta qiymətinin elektrik sahəsinin intensivliyinə olan nisbətinə isə - **sərbəst yükdaşıyıcıların yüyürüklüyü deyilir**:

$$\mu = \frac{\bar{V}}{E} . \quad (4.6)$$

Yarımkeçiricilərdə sərbəst yükdaşıyıcılar elektron və deşiklər olduğundan, bunlara uyğun iki ( $\mu_n$  və  $\mu_p$ ) yüyürüklüğün olduğunu nəzərə almaq lazımdır. Belə olan halda məxsusi keçiricilik:

$$\sigma_0 = en_i\mu_n + ep_i\mu_p = en_i(\mu_n + \mu_p) . \quad (4.7)$$

Elektron və ya deşiklərdən hər hansı birinin konsentrasiyasının böyük olduğu halda, bu toplananlardan uyğun birini aşqar keçiricilikdə nəzərə almamaq mümkündür.

Təcrübələr nəticəsində müəyyənləşdirilmişdir ki, yarımkeçiricilərdə xüsusi elektrik keçiriciliyinin metallardakindan kiçik olmasına baxmayaraq, onlarda sərbəst yükdaşıyıcıların yüyürüklüyü bir neçə tərtib metallardakindan böyük olur. Bunuñ da başlıca səbəbi, yarımkeçiricilərdə sərbəst yükdaşıyıcıların  $m^*$  - effektiv kütləsinin kiçik,  $\tau_e$  - relaksasiya müddətinin isə böyük olmasıdır. Bu deyilənlər

$$\mu = \frac{e}{m^*} \tau_0 = \frac{e}{m^*} \frac{\bar{l}}{v_i} \quad (4.8)$$

ifadəsindən də görünür. (4.8)-də  $m^*$  - sərbəst yükdaşıyıcıların effektiv kütləsi,  $\tau_0$  - relaksasiya müddəti,  $l$  - sərbəst qaçış məsafəsinin uzunluğu,  $v_i$  - isə istiliklə əlaqədar sürətinin orta qiymətidir.

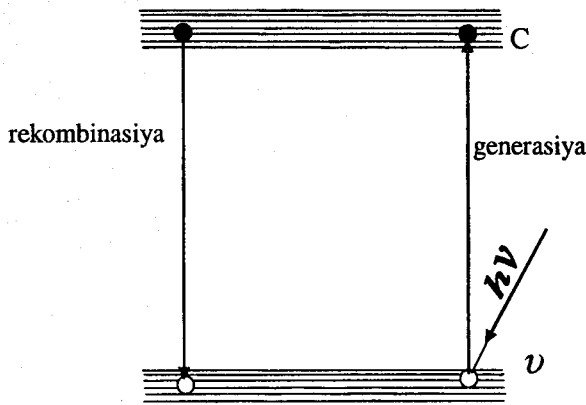
#### § 4.5. Tarazlıqda olmayan sərbəst yükdaşıyıcılar və onların rekombinasiyası

Yarımkeçiricilərdə mütləq sıfır temperaturundan fərqli bütün temperaturlarda sərbəst elektron və deşiklərin generasiyası baş verir. Əgər bu proses yarımkeçiricilərdə baş verən yeganə proses olsaydı sərbəst elektron və deşiklərin yaranması materialın atomlarının hamisinin ionlaşmasına qədər davam edərdi. Məsələ burasındadır ki, yarımkeçiricilərdə sərbəst yükdaşıyıcıların generasiyası prosesi ilə yanaşı, eyni vaxtda onların rekombinasiyası prosesi də gedir və müəyyən müddətdən sonra bu iki proses arasında dinamik tarazlıq yaranır. Belə hala elektron və deşiklərin  $n_0$  və  $p_0$  tarazlıq konsentrasiyaları uyğun gəlir.

İstilik generasiyası ilə yanaşı, güclü elektrik sahəsinin, ışığın və radiasiyanın təsiri, eləcə də injeksiya zamanı da sərbəst yükdaşıyıcıların yaranması prosesi baş verə bilər.

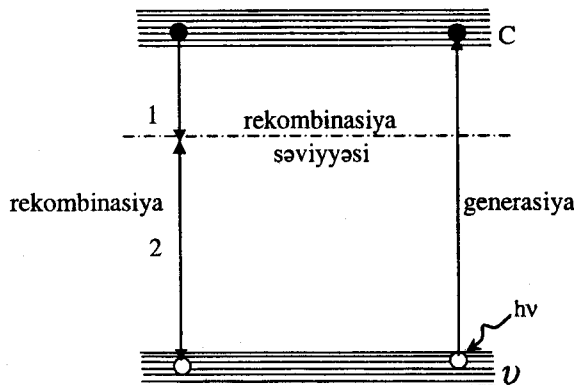
Yarımkeçiricidə sərbəst yükdaşıyıcıların rekombinasiyası prosesinin bir neçə mexanizmi mövcuddur.

**Zonalar arası rekombinasiya** zamanı keçirici zonadan sərbəst elektron valent zonasındaki boş yerlərin birinə keçir və nəticədə bir cüt sərbəst yükdaşıyıcısının yox olması (itməsi) baş verir. Bu növ rekombinasiya sxematik olaraq şəkil 4.2-də təsvir olunmuşdur.



Şəkil 4.2

Lakin belə - birbaşa rekombinasiyanın baş vermə ehtimalı çox kiçikdir. Digər bir rekombinasiya növü qadağan olunmuş zonadakı **lokal səviyyələr vasitəsilə baş verən rekombinasiyadır** (şəkil 4.3).



Şəkil 4.3

Bu halda rekombinasiya prosesi iki mərhələdən ibarət olur. Birinci mərhələdə rekombinasiya səviyyəsi boş olduğundan keçirici zonadakı sərbəst elektron həmin səviyyə tərəfindən tutulur və elektrik keçiriciliyindən kənarlaşır. İkinci mərhələdə

isə - valent zonadakı deşik rekombinasiya səviyyəsində yerləşən elektronla rekombinasiya edir. Rekombinasiya səviyyələri qismində kristaldakı aşqarlara, qəfəsin düzün nöqtələrindəki boşluqlara, kristalın həcmində və səthindəki çatlılara, eləcə də digər defektlərə uyğun lokal enerji səviyyələri ola bilər.

Rekombinasiya zamanı ayrılan enerji ya foton şəklində şüalanır, ya da istilik şəklində kristal qəfəsə verilir.

Tarazlıqda olmayan artıq (əlavə) sərbəst yüksəkdaşıyıcıların yaşama müddəti, həmin yüksəkdaşıyıcıların  $\Delta n$  və  $\Delta p$  konsentrasiyanın bu konsentrasiyanın dəyişmə sürətinə olan nisbətinə bərabərdir:

$$\tau_n = \frac{|\Delta n|}{\left| \frac{d(\Delta n)}{dt} \right|} ; \quad \tau_p = \frac{|\Delta p|}{\left| \frac{d(\Delta p)}{dt} \right|} \quad (4.9)$$

Yarımkeçiriciyə xarici elektrik və maqnit sahəsi təsir etmədikdə artıq konsentrasiyanın e (natural ədəd) - dəfə azalladığı məsafəyə diffuziya məsafəsi və ya diffuziya uzunluğu deyilir. Bu kəmiyyət elektron və deşiklər üçün uyğun olaraq:

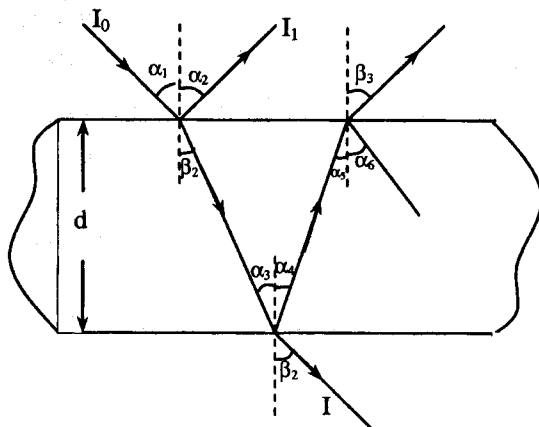
$$L_n = \sqrt{D_n \cdot \tau_n} ; \quad L_p = \sqrt{D_p \cdot \tau_p} \quad (4.10)$$

(4.10)-da  $D_n$  və  $D_p$  - uyğun olaraq elektron və deşiklərin diffuziya əmsalıdır.

#### § 4.6. Yarımkeçiricilərdə optik udulma

İşıq yarımkeçirici materialın üzərinə düşdükdə bir neçə hadisə baş verir (Şəkil 4.4).

Əvvəla, düşən işıq selinin müəyyən bir qismi yarımkeçiricinin üz və arxa səthindən qayıdır.



Şəkil 4.4

Düşən işıq dəstəsinin intensivliyi  $I_0$ , qayıdan dəstənin intensivliyi isə  $I_1$  olarsa, qayıtma əmsalı:

$$R = \frac{I_1}{I_0}. \quad (4.11)$$

Materialın üz və arxa səthindən işığın qayıtmasını nəzərə aldıqda, ondan keçərək kənara çıxan şüanın intensivliyi

$$I = \frac{(1 - R)^2 e^{\alpha d}}{1 - R^2 e^{-2\alpha d}} I_0 \quad (4.12)$$

ifadəsi ilə təyin olunur. Bu ifadədəki  $\alpha \cdot d$  - hasililə böyük olduqda, ifadənin məxrəcindəki ikinci həddi nəzərə almamaq mümkündür. Bu halda:

$$I = (1 - R)^2 I_0 e^{-\alpha d}. \quad (4.13)$$

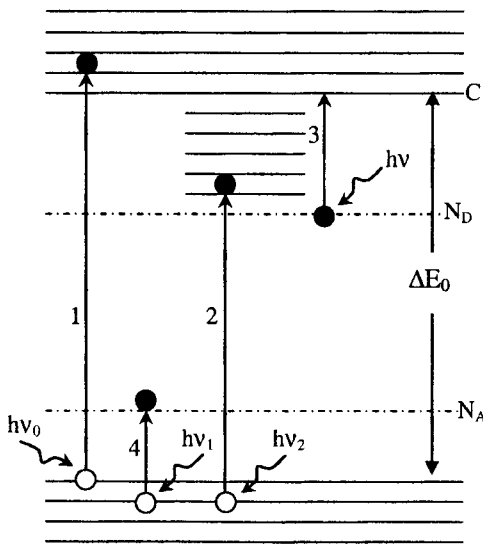
(4.11)-(4.13)-də R-əks olma (qaytarma) əmsalı,  $\alpha$  - baxılan yarımkəciriçidə işığın udulma əmsalı,  $d$ -üzərinə işıq düşən yarımkəciriçi lövhənin qalınlığıdır. İşıq şüası lövhənin üzərinə normal (perpendikulyar) istiqamətdə düşdükdə R ilə maddənin optik  $n$  – sindirma əmsalı arasında

$$R = \frac{(n-1)^2}{(n+1)^2} \quad (4.14)$$

şəklində əlaqə var. Bir çox yarımkəçiricilər üçün optik sindirma əmsali  $3\div4$  arasında dəyişdiyindən, qayıtma əmsalının qiyməti  $25\div36\%$  intervalında dəyişir.

$\alpha$  - udulma əmsalının işığın dalğa uzunluğundan və yaxud tezliyindən asılılığına optik udulmanın spektri deyilir. Yarımkəçirici tərəfindən işıq enerjisinin udulması rəqs enerjisini dəyişməsi ilə əlaqədardır. Bununla əlaqədar olaraq, yarımkəçiricilərdə müxtəlif udulma mexanizmləri mövcuddur.

**Məxsusi udulma.** Valent zonasındaki elektronun işıq kvantı ilə enerji mübadiləsindən sonra keçirici zonaya keçməsi ilə əlaqədar baş verən (şəkil 4.5-də 1 keçidi) udulma məxsusası və ya fundamental udulma adlanır. Bu udulmanın baş verməsi üçün



Şəkil 4.5.

$$h\nu_0 > \Delta E_0 \quad (4.15)$$

şərti ödənilməlidir. Burada  $h\nu_0$  - maddə üzərinə düşən foto-nun enerjisidir.

Ümumi halda udulma prosesi şəkil 4.5-də təsvir edilən hallardan birinə uyğun baş verir. Burada  $h\nu$  - maddə üzərinə düşən fotonun enerjisidir və udma oblastından asılı olaraq, müxtəlif (0-3) indekslərlə işarə olunub. Yarımkeçiricinin qada-ğan olunmuş zonasının eninin qiymətindən asılı olaraq, məxsusi udulma spektrin müxtəlif oblastlarında baş verə bilər.

Elektronun bir enerji səviyyəsindən digərinə keçidi müəy-yən seçmə qaydasına tabedir. İcazəli keçid şərti o halda ödənilir ki, elektronun dalğa vektoru sabit qalsın. Başqa sözlə, elektron-deşik cütü yarandıqda onların kvazi-impulsları eyni olmalıdır. Belə keçid düz keçid adlanır. Bu keçidlə yanaşı, çəp keçid də mövcuddur. Çəp keçidin baş verməsində üç zərrəcik: elektron, foton və fonon iştirak edir. Çəp keçidin ehtimalı düz keçidə nisbətən çox kiçik olduğundan bu keçidə uyğun udulma əmsalı da kiçikdir.

**Eksiton udulma.** Bəzi yarımkeçiricilərdə optik həyəcan-laşma zamanı bir-biri ilə rabitədə olan elektron-deşik cütü yaranır. Bir-biri ilə bağlı olan belə cüt eksiton, onun yaranması hesabına baş verən udulma isə - eksiton udulma adlanır. Eksiton udulma düzünə keçid zamanı müşahidə olunur. Eksiton udulma sxematik olaraq şəkil 4.5-də 2-keçidi ilə təsvir olun-musdur. Eksiton udulmanın baş verməsi üçün maddə üzərinə düşən işıq fotonunun  $h\nu_2$  - enerjisini

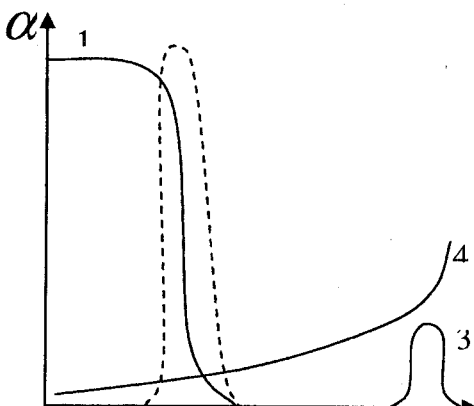
$$h\nu_2 = \Delta E_0 - E_e \quad (4.16)$$

şərtini ödəməlidir. Burada  $E_e$  - eksitonun rabiṭə enerjisidir. Belə bir-biri ilə bağlı elektron-deşik cütü yəni, eksiton, hidrogen atomuna bənzəyir. Eksitonların yaranması materialın elektrik keçiriciliyinə təsir etmir. Eksiton udulmaya uyğun spektr özünü məxsusi (fundamental) udulmanın spektrinin kənarında (qıra-ğında) ensiz pik şəklində göstərir. Temperatur yüksəldikcə hə-min pikin eni böyüyür.

**Aşqar udulma.** Aşqar atomlarının ionlaşması və ya həyecanlanması ilə əlaqədar udulmaya aşqar udulması deyilir. Bu zaman enerjinin udulma mexanizmi elektronların donor səviyyədən keçirici zonaya və ya valent zonasından akseptor səviyyəsinə keçməsi ilə əlaqədar olur (şəkil 4.5-də 3 və 4 keçidləri). Belə udulma aşağı temperaturlarda müşahidə olunur və onun spektri, bir qayda olaraq infraqırmızı oblastda yerləşir.

**Qəfəs udulması.** Elektromaqnit şüalanmasının kristal qəfəsin düyün nöqtələrindəki atomların rəqsləri ilə əlaqədar udulmasına qəfəs udulması deyilir. Bu udulmanın spektri uzaq infraqırmızı oblastda yerləşib, aşqar və ya sərbəst yükdaşıyıcılarla əlaqədar olan udulmanın spektri ilə yanaşı olur.

**Sərbəst yükdaşıyıcılarla udulma.** Eyni bir icazəli zona daxilində elektron və desiklərin bir səviyyədən digərinə keçməsi ilə baş verən udulmaya sərbəst yükdaşıyıcılarla udulma deyilir. Bu zaman maddə üzərinə düşən işığın elektrik sahəsinin təsiri altında sərbəst yükdaşıyıcılar sərbəst uçuş məsafəsində təcilli hərəkət edərək qəfə-



sin düyünləri ilə toqquşur və əldə etdikləri kinetik enerjini onlara verir. Nəticədə işıq enerjisi qəfəsin istilik enerjisindən çevrilir. Bu növ udulma o vaxt baş verir ki, sərbəst yükdaşıyıcıların sərbəst uçuş müddəti elektromaqnit rəqslərinin periodundan çox kiçik olsun.

Yarımkeçiricinin ayrı-ayrı hallara uyğun udulma spektri şəkil 4.6-da təsvir olunmuşdur. Burada 1 - əyrisi məxsusi udulmaya, 2 - eksiton udulmaya, 3 - aşqar udulmaya, 4 - isə sərbəst yükdaşıyıcılarla əlaqədar udulmaya uyğun gəlir.

Baxılan udulma növlərindən yalnız məxsusi və aşqar udulma zamanı sərbəst yükdaşıyıcıların generasiyası baş verir. Ona görə də bu növ udulma fotoaktiv udulma adlanır.

#### § 4.7. Fotokeçiricilik

Optik şüalanmanın (ışığın) təsiri altında materialın elektrik keçiriciliyinin dəyişməsi hadisəsinə **fotokeçiricilik** deyilir. Bu hadisə yalnız fotohəssas materialarda (yarımkeçiricilərdə) müşahidə olunur. Fotokeçiriciliyin qiyməti

$$\Delta\sigma = \sigma_1 - \sigma_0 = e(\Delta n \mu_n + \Delta p \mu_p) \quad (4.17)$$

ifadəsi ilə təyin olunur.

Burada  $\Delta n$  və  $\Delta p$  - tarazlıqda olmayan sərbəst yükdaşıyıcıların artıq konsentrasiyasıdır.

Yükdaşıyıcıların optik həyəcanlaşma zamanı generasiya sürəti ( $g$ ) yarımkəcəricinin üzərinə düşən ışığın  $I$ -intensivliyindən və  $\alpha$  udulma əmsalından asılıdır:

$$g = \eta \alpha I. \quad (4.18)$$

(4.18) – ifadəsindən  $\eta$  mütənasiblik əmsalı daxili fotoefektin kvant çıxışı adlanır və udulan bir fotona uyğun yaranan sərbəst yükdaşıyıcıların sayını göstərir.

Tarazlıqda olmayan sərbəst yükdaşıyıcıların konsentrasiyasının artması və ya azalması generasiya və rekombinasiya sürətlərinin fərqi ilə təyin olunur. ışık təsir etdikdə fotokeçiricilik zamandan asılı olaraq

$$\Delta\sigma = \Delta\sigma_{st} (1 - e^{-t/\tau}) \quad (4.19)$$

qanunu ilə dəyişir. Burada  $\tau$  - tarazlıqda olmayan sərbəst yükdaşıyıcıların yaşama müddəti,  $\Delta\sigma_{st}$  - fotokeçiriciliyin stasionar qiymətidir. ışığın təsiri kəsildikdən sonra keçiriciliyin dəyişməsi yalnız rekombinasiya sürəti ilə təyin olunur:

$$\Delta\sigma = \Delta\sigma_{st} e^{-t/\tau}. \quad (4.20)$$

ışığın intensivliyinin sabit qiymətində işıqlandırılma başlayandan müəyyən müddət keçdikdən sonra fotokeçiricilik özünün

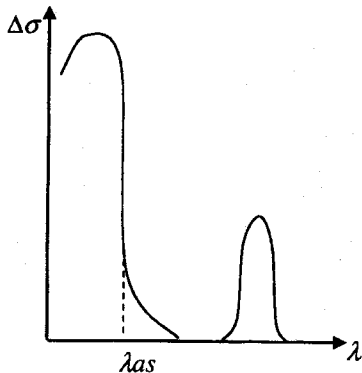
$$\Delta\sigma_{st} = e \eta \alpha I (\mu_n + \mu_p) \tau \quad (4.21)$$

stasionar qiymətini alır.

Tarazlıqda olmayan sərbəst yükdaşıyıcıların yaşama müddəti nə qədər böyük olarsa, rekombinasiya sürəti bir o qədər kiçik, fotokeçiriciliyin qiyməti isə yüksək olar.

Məxsusi və aşqar fotokeçiriciliyin spektral paylanması yarımkəciriçi materialın məxsusi və aşqar udmasının spektrinə uyğun gəlir. Uzun dalğalar oblastındaki aşqar udulmaya aşqar fotokeçiricilik uyğun gəlir. Aşqar fotokeçiriciliyin spektrinin maksimumundan hər iki tərəfdə onun qiyməti sıfır qədər azalır. Bu onunla bağlıdır ki, dalğa uzunluğunun böyük qiymətlərində yarımkəciriçinin üzərinə düşən fotonların enerjisi aşqar atomlarını ionlaşdırmaq üçün kifayət etmədiyindən, fotokeçiricilik yaranmır. Qısa dalğalar tərəfdə getdikcə aşqar fotokeçiriciliyin azalması isə aşqar udulma spektrinin rezonans xarakterinə malik olması ilə bağlıdır. Məxsusi fotokeçiriciliyin sərhədi məxsusi udulmanın sərhədiniə uyğun gəlir. Yarimkeçiricinin üzərinə düşən fotonun enerjisi artdıqda fotokeçiriciliyin qiyməti maksimumdan keçərək (Şəkil 4.7) azalır.

Bu azalmanın səbəbi böyük enerjili fotonların səthyanı təbəqədə udulması və bu zaman yaranan tarazlıqda olmayan sərbəst yüksəlyicilərin rekombinasiya sürətinin intensiv səth rekombinasiyası ilə əlaqədar olmasıdır. Buna görə də yarımkəciriçinin üzərinə düşən işığın dalğa uzunluğu kiçildikdə fotonların yarımkəciriçinin həcmində daxil olması dərinliyi azalır. Səthdəki rekombinasiyanın sürəti böyük olduqca məxsusi fotokeçiriciliyin spektral paylanması da öz maksimumuna doğru daha kəskin (sürətlə) artır.



Şəkil 4.7

## § 4.8. Lüminessensiya

Cismin verilmiş temperaturda istilik şüalanmasından əlavə baş verən və sürekli  $10^{-10}$  san-dən böyük olan şüalanmasına lüminessensiya deyilir. Lüminessensiya şüalanmasının sürekli işiq rəqslərinin periodundan kifayət qədər böyük olur. Lüminessensiya tarazlıqda olmayan proses olduğundan, onu yaratmaq üçün materialı müxtəlif həyacanlaşdırma yolu ilə termodinamik tarazlıq halından çıxarmaq lazımdır. Lüminessensiyyada həyacanlaşma və şüalanma prosesləri zaman etibarılı bir-birindən aralıq proseslərlə ayrılr. Buna görə də maddə həyacanlaşmadan sonra uzun müddət şüalanır.

Lüminessensiya edən maddələrə **lüminofor** deyilir. Qeyri-üzvi kristal lüminoforlara **kristallofosfor** deyilir.

Həyacanlaşdırmanın növündən asılı olaraq, lüminessensiyanın fotoluminessensiya, katodoluminessensiya, elektrolüminessensiya, radiolüminessensiya, xemiolüminessensiya kimi müxtəlif növləri mövcuddur.

İşığın təsiri ilə yaranan fotoluminessensiya Stoks-Lommel qanununa tabedir. Bu qanuna görə şüalanma spektrinin maksimumu udulma spektrinin maksimumuna nəzərən uzun dalğalar tərəfə sürüsür. Deməli, həyacanlaşdırıcı işığın enerjinin bir hissəsi istiliyə çevrilir. Yüksək optik sıxlığa malik lazer şüaları vasitəsilə həyacanlaşma yaratdıqda Stoks-Lommel qanunundan kənara çıxmalar müşahidə olunur. Belə lüminoforlar **antistoks lüminoforları** adlanır və onların köməyiylə infraqırmızı lazer şüalarını görünən şüalara çevirmək olur.

Bərk cisimlərin lüminessensiya etmə xassəsi və şüalanmanın spektrinin quruluşu onların tərkibindəki aşqarların kimyəvi təbiətindən və konsentrasiyasından, eləcə də qəfəs strukturundakı defektlərin (məxsusi defektlərin) tipindən, sıxlığından asılı olur. Aşqar atomları qadağan olunmuş zonanın daxilində lokal enerji səviyyələri yaradır. Həmin səviyyələr maddənin lüminessensiya etməsində başlıca rol oynadığından, onları yaranan aşqarlar - **aktivatorlar** (fəallaşdırıcılar) adlanır.

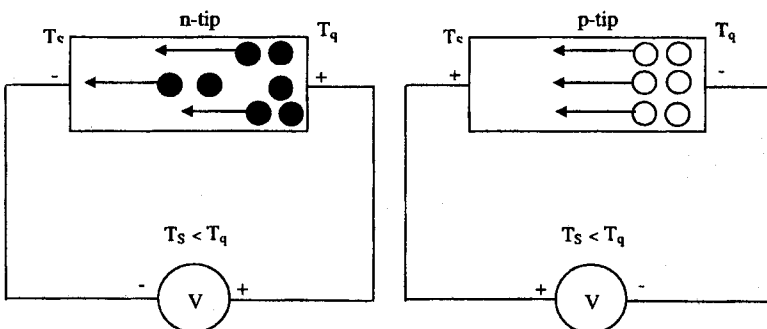
## § 4.9. Termoelektrik hadisələri

Metal və yarımkəcərıcı materialı həndəsi ölçüləri boyunca qeyri-bərabər qızdırıldıqda kristalın müxtəlif yerlərində sərbəst yükdaşıyıcıların kinetik enerjisi, yarımkəcərıcıılarda isə həm də sərbəst yükdaşıyıcıların konsentrasiyası dəyişir. Bu səbəbdən də qızdırılmış hissədən soyuq hissəyə yükdaşıyıcıların diffuziya yası baş verər və materialın daxilində elektrik sahəsi yaranar. Həmin sahə isə öz növbəsində həm də elektronların diffuziya prosesinin əksinə yönəlmış dreyf selini yaradır. Nəhayət, bu iki proses bir-birini tarazlaşdırıldıqda sistemin ucları arasında müəyyən potensiallar fərqi-termoelektrik hərəkət qüvvəsi yaranır. Yarımkəcərıcıılarda metallardan fərqli olaraq, termoelektrik hərəkət qüvvəsi həm elektronlar, həm də deşiklər hesabına yaranır. Buna görə də böyük olur.

Cırlaşma olmadıqda məxsusi yarımkəcərıcıılarda yaranan differensial termoelektrik hərəkət qüvvəsi əmsali

$$\alpha_T = \frac{K}{\sigma} \left\{ n \mu_n \left[ 2 + \ln \frac{2(2\pi m_n K T^2)^{\frac{3}{2}}}{nh^3} \right] - p \mu_p \left[ 2 + \ln \frac{2(2\pi m_p K T^2)^{\frac{3}{2}}}{ph^3} \right] \right\} \quad (4.22)$$

İfadəsi ilə təyin olunur. Aşqar yarımkəcərıcıılarda (4.22) ifadəsi xeyli sadələşir. Çünkü bu halda toplananlardan biri çox kiçik olduğundan onu nəzərə almamaq mümkündür.



Şəkil 4.8

Elektronların n -tip yarımkıçırıcıda isti hissədən soyuq hissəyə doğru axını eks istiqamətdəki axından böyük olduğundan soyuq tərəfdə mənfi yüklü elektronlar, isti tərəfdə isə kompensə olunmamış müsbət yüklü donor ionları məskunlaşar. p-tip yarımkıçırıcıda isə diffuziya prosesində deşiklər iştirak etdiyindən termoelektrik hərəkət qüvvəsinin işarəsi dəyişir (şəkil 4.8)

Aşqar yarımkıçırıcıların istilik sahəsinin qeyri bircinsliyinə göstərdiyi bu reaksiya termoelektrik effektinə əsasən (yaranan termo e.h.q.-nin işarəsinə əsasən) baxılan yarımkıçırıcı materialın keçiricilik tipini təyin etməyə imkan verir.

Yarımkıçırıcıların metal və dielektriklərlə müqayisədə böyük termoelektrik hərəkət qüvvəsinə malik olması, onlardan termoelektrik generatorlarının və soyuducularının işçi elementi olan termoelementlərin hazırlanmasında istifadə etməyə imkan verir.

#### § 4.10. Holl effekti

Yarımkıçırıcıya elektrik və maqnit sahəsinin eyni zamanda təsiri hesabına yaranan fiziki hadisələr **qalvanomaqnit effektləri** adlanır. Qalvanomaqnit effektləri sırasında elmi əhəmiyyətinə və praktiki tətbiq imkanlarına görə **Holl effekti** mühüm yer tutur. Bu effektin mahiyyəti ondan ibarətdir ki, cərəyan keçən yarımkıçırıcı lövhəni cərəyanın istiqaməti ilə bucaq əmələ gətirən istiqamətdə yönəlmüş maqnit sahəsində yerləşdiridikdə, onun cərəyanına və maqnit sahəsinə perpendikulyar olan üzləri arasında potensiallar fərqi yaranar. Bu potensiallar fərqi Holl elektrik hərəkət qüvvəsi adlanır. Sadə halda (cərəyan və maqnit sahəsinin istiqamətləri bir-birinə perpendikulyar olduqda)  $U_H$  - Holl elektrik hərəkət qüvvəsinin qiyməti p -tip yarımkıçırıcı üçün

$$U_H = \frac{1}{ep} \cdot \frac{iB}{d} = R_H \frac{iB}{d} \quad (4.23)$$

ifadəsi ilə təyin olunur. Burada  $i$ - lövhədən axan cərəyan şiddəti,  $B$ - maqnit sahəsinin induksiyası,  $d$  - lövhənin qalınlığı,  $R_H$  - Holl əmsalıdır.

n-tip yarımkəcərici üçün Holl elektrik hərəkət qüvvəsinin ifadəsini yazımaqdən ötrü (4.23) ifadəsində sərbəst deşiklərin p-konsentrasiyasını, sərbəst elektronların n-konsentrasiyası ilə əvəz etmək lazımdır. Bu ifadələrin arasındakı fərq yalnız Holl əmsalının işarəsində özünü göstərir. Holl əmsalının işarəsi p-tip yarımkəcəricilər üçün mənfidir. Holl elektrik hərəkət qüvvəsinin işarəsinin yarımkəcərici materialın keçiricilik tipindən asılı olması, bu hadisədən təcrübədə materialın keçiricilik tipini təyin etmək üçün istifadə etməyə imkan verir.

Səpilmə mexanizmini nəzərə alıqda

$$R_H = \frac{A}{ep}. \quad (4.24)$$

Səpilmə mexanizminin növündən asılı olaraq  $A$  -nın qiyməti  $1 \div 2$  intervalında dəyişir. Məsələn, kovalent rabitəli yarımkəcəricilərdə səpilmə qəfəsin istilik rəqsələri ilə əlaqədar olduqda  $A=1,18$ , aşqar ionları ilə əlaqədar olduqda isə  $A=1,93$ .

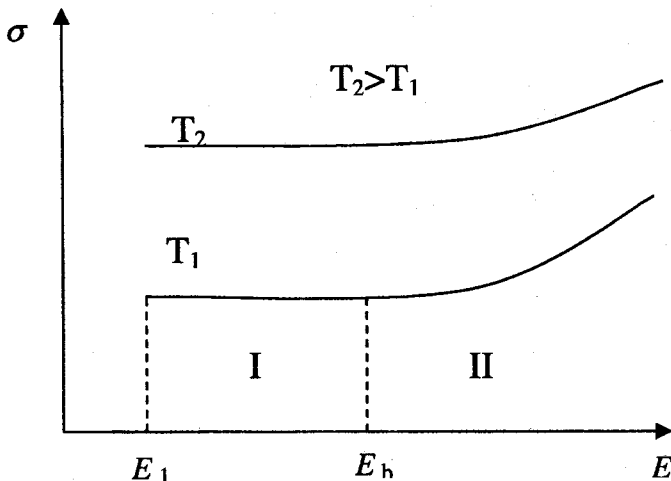
Yarımkəcəricidə hər iki növ sərbəst yükdaşıyıcıları olduqda, Holl əmsalı:

$$R_H = -\frac{A}{e} \cdot \frac{n\mu_n^2 - p\mu_p^2}{(n\mu_n + p\mu_p)^2}. \quad (4.25)$$

Holl effekti təkcə yarımkəcərici materialların xassələrini təyin etmək üçün deyil, həm də texniki məqsədlər üçün tətbiq tapmışdır. Belə yarımkəcərici cihazlara maqnit induksiyasını və dövrəni qırmadan ondan axan cərəyanı ölçən, eləcə də fazaya həssas detektorlar, spektral analizatorlar, modulyator tipli cihazlar aiddir.

### § 4.11. Güclü elektrik sahəsində yarımkəcəricilərin elektrik keçiriciliyi

Güclü elektrik sahəsi təsir edən yarımkəcəricidə cərəyanın sıxlığı ilə onu yaradan elektrik sahəsinin intensivliyi arasında zəif elektrik sahələri üçün xas olan mütənasiblik pozulur. Bu xüsusiyət materialın xüsusi elektrik keçiriciliyinin elektrik sahəsindən asılılığından irəli gəlir. Şəkil 4.9 -da yarımkəcərinin xüsusi elektrik keçiriciliyinin müxtəlif temperaturlarda elektrik sahəsindən asılılığı təsvir edilmişdir.



Şəkil 4.9

Xüsusi elektrik keçiriciliyinin elektrik sahəsinin intensivliyindən asılı olmağa başladığı sahə intensivliyinin qiyməti zəif və güclü elektrik sahələrinin sərhədi kimi qəbul oluna bilər. Bu nöqtəyə uyğun gələn elektrik sahəsinin qiymətinə sahənin böhran qiyməti ( $E_b$ ) deyilir.  $E_b$ -nin qiyməti yarımkəcərinin materialından, ondakı aşqarların konsentrasiyasından və nümunənin temperaturundan asılıdır.

Om qanununun ödənməsi üçün (sərbəst yükdaşıyıcıların) yüyürüklik və konsentrasiyası elektrik sahəsinin intensivliyindən asılı olmamalıdır.

## **Elektrik sahəsinin böhran qiyməti**

$$E_b = \frac{3}{2} \frac{kT}{e\bar{l}} \quad (4.26)$$

İfadəsi ilə təyin olunur. Burada  $K$  - Boltzman sabiti,  $T$  - temperatur,  $e$  - elektronun yükü,  $\bar{l}$  - yüksəkdaşıyıcıların sərbəst yolunun orta uzunluğuudur. Əksər yarımkəcəricilər üçün  $E_b$ -nin qiyməti  $\sim 10^5 \frac{V}{m}$  tərtibindədir.

Güclü elektrik sahəsinin sərbəst yüksəkdaşıyıcıların yüyürcülüyünə təsiri onların səpilmə mexanizmindən asılıdır.

Kristal qəfəsin istilik rəqslərindən səpilmə zamanı sərbəst yolun orta uzunluğu yüksəkdaşıyıcıların sürətindən asılı olmur. Bu zaman yüyürcülük sahənin böyüməsi ilə kiçilir. Aşqar ionlarından səpilmə zamanı isə  $\bar{l} \sim v_0^4$  olduğundan,  $\mu \sim v_0^3$  olur. Beləliklə, güclü elektrik sahəsində səpilmə mexanizmindən asılı olaraq sərbəst yüksəkdaşıyıcıların yüyürcülüyü həm böyüyə və həm də kiçilə bilər. Lakin təcrübədə elektrik sahəsinin artması ilə yarımkəcəricilərin keçiriciliyinin artması müşahidə olunmur. Çünkü güclü elektrik sahələrində əksər hallarda sərbəst yüksəkdaşıyıcıların konsentrasiyası artır. Qeyd etmək lazımdır ki, yarımkəcəricilərdə sərbəst yüksəkdaşıyıcıların konsentrasiyası termo-elektron, zərbələrlə, elektrostatik (tunel effekti nəticəsində) ionlaşma hesabına arta bilər. Elektrik sahəsinin intensivliyinin böyük qiymətlərində sərbəst yüksəkdaşıyıcıların yüyürcülüyünün və konsentrasiyasının dəyişməsi ümumi halda yarımkəcəricilərin elektrik keçiriciliyinin xüsusiyyətlərində əhəmiyyətli dəyişiklik yarada bilir.

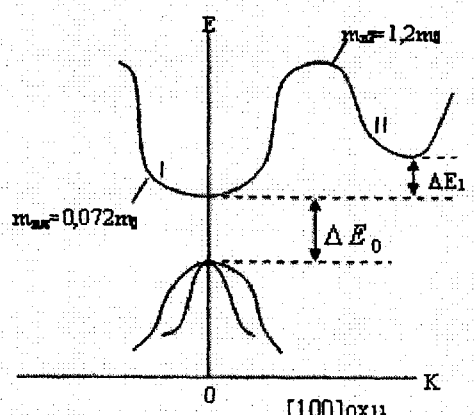
### **§ 4.12. Qann effekti**

Güclü elektrik sahəsinin sərbəst yüksəkdaşıyıcıların yüyürcülüyünə təsiri özünü Qann effektində də göstərir. Bu effektin mahiyyəti güclü sabit elektrik sahəsinin təsiri altında yarımkəci-

ricidə ifrat yüksəktezlikli cərəyan rəqslərinin yaranmasıdır. İlk dəfə Qann effekti n-GaAs və n-InP monokristallarında müşahidə edilmişdir. Bu effekti müşahidə etmək üçün elektrik sahəsinin böhran qiyməti Ga As və InP üçün uyğun olaraq  $3 \cdot 10^3 \frac{V}{sm}$  və  $6 \cdot 10^3 \frac{V}{sm}$  -dir.

Qann effektinin mahiyyətini aydınlaşdırmaq üçün həmin yarımkəcərıcıların keçirici zonasının mürəkkəb quruluşa malik olduğunu nəzərə almaq lazımdır.

Gallium arsenidin kvaziimpuls fəzasında zona enerji diaqramında potensial çəpərlə ayrılmış bir neçə minimum mövcuddur (Şəkil 4.10).

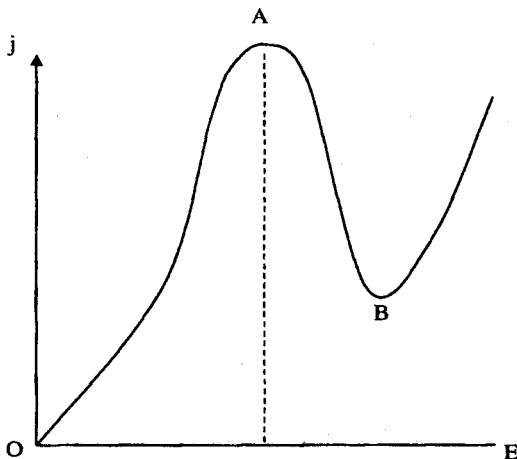


Şəkil 4.10

K=0 -nöqtəsinə uyğun minimumda elektronlar kiçik effektiv kütləyə, lakin böyük yüyürlüyə malikdir. Elektrik sahəsinin kiçik qiymətlərində elektronların dreyf sürəti və kvaziimpulsu kiçik olduğundan, onlar başlıca olaraq birinci (əsas) minimumda məskunlaşır. Kifayət qədər güclü sahələrdə elektronların enerjisi əsas minimumla ikinci minimum arasındakı potensial çəpərin hündürlüyündən böyük olduğundan onlar yüyürlüyün dəfələrlə kiçik olduğu ikinci minimuma keçir.

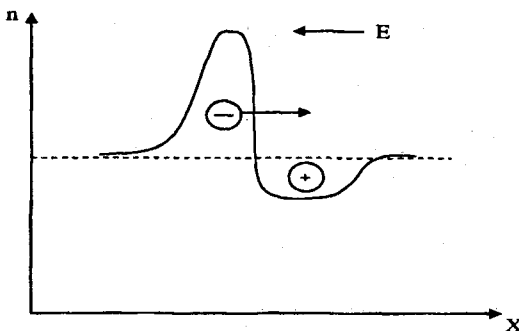
Elektrik keçiriciliyi sərbəst yükdaşıyıcıların yüyüklüyü ilə mütənasib olduğundan bu keçid nəticəsində kristalın volt-amper xarakteristikasında (şəkil 4.11) mənfi differensial keçiricilikli (MDK) hissə (şəkil 4.11-də AB hissəsi) əmələ gelir. VAX-da MDK - hissənin olması isə kristalın daxil olduğu dövrdə ifrat yüksəktezlikli rəqslərin generasiyasına səbəb olur.

Bu halda tədqiq edilən nümunənin qeyri-bircins olması nəticəsində elektronların aşağı minimumdan yuxarı minimuma keçməsi onun bütün həcmində deyil, müqavimətinin böyük olduğu oblastında baş verir.



Şəkil 4.11

Bəzən qeyri-bircinslik nəticəsində nümunədə “ağır” elektronların toplandığı asta hərəkət edən tixac yaranır və həmin tixac elektrik sahəsinin təsiri altında anoda doğru hərəkət edir. Bu zaman tixacın önündə və arxasında böyük dreyf sürətinə malik “yüngül” elektronlar hərəkət edir. Öndəki sürətli elektronların tixacdən uzaqlaşması nəticəsində onun önündə anoda tərəf olan hissədə mənfi yüklerin seyrəkləşməsi baş verir. Tixacın arxasında katoda yaxın hissədə, isə mənfi yükler sıxlışır (şəkil 4.12).



Şəkil 4.12

Belə yükler sistemi elektrik domeni adlanır və o, katod oblastında yaranıb, anoda doğru dərtlərəq anod tərəfindən sorulur. Həmin domenin əmələgəlmə prosesi ərzində kristaldan axan cərəyan kiçilir.

Domen anoda çatıb anod tərəfindən sorulduqda isə cərəyan öz ilkin qiymətinə qədər artır. Bu azalan və artan hissələr cərəyan rəqslərinin ön və arxa cəbhələrini əmələ gətirir. Formalaşmış domenin katod-anod aralığındakı hərəkət müddətində cərəyanın qiyməti dəyişməz qalır və bu müddət iki qonşu cərəyan impulsunun maksimumları arasındakı fasılıyə, yəni rəqslərin perioduna bərabər olur. Qann effekti əsasında yaradılan cihazların generasiya etdiyi rəqslərin tezliyi yüz Qiqahtəsə (QHs-ə) qədər çata bilir.

### § 4.13. Yarımkeçirici materialların təsnifatı

Yarımkeçiricilik xüsusiyyətinə müxtəlif tip: üzvi, qeyri-üzvi, kristal, amorf, maye, maqnit və qeyri-maqnit maddələr malikdir. Müasir elektronikanın əsasını kristal qeyri-üzvi yarımkəcicilər təşkil edir.

Kimyəvi Elementlərin Dövri Sisteminin ortasında yerləşən on iki kimyəvi element yarımkəcicili xüsusiyyətinə malikdir. Bu yarımkəcicilər bəsiti yarımkəcicilərdir (cədvəl 4.1)

Nº	Adı	Kim-yəvi işarəsi	Qadağan olunmuş zonanın eni ( $\Delta E_0$ , eV)	Ərimə temperaturu (°C)	Periodik sistemdə yeri (dövr, qrup və sira nömrə)
1	Bor	B	1,1	2075	2-3-5
2	Karbon (almaz)	C	5,6	-	2-4-6
3	Silisium	Si	1,12	1414	3-4-14
4	Germanium	Ge	0,665	936	4-4-32
5	Boz qalay	$\alpha$ -Sn	0,08	231,9	5-4-50
6	Fosfor	P	1,5	-	3-5-15
7	Mərgümüş	As	1,2	-	4-5-33
8	Sürmə	Sb	0,12	630,5	5-5-51
9	Kükürd	S	2,5	112,8	3-6-16
10	Selen	Se	1,8	220	4-6-34
11	Tellur	Te	0,36	449,8	5-6-52
12	Yod	J	1,25	113,6	5-7-53

Bu Kimyəvi Elementlərin Dövri Sistemində yerləşməsi müəyyən qanuna uyğunluğa tabedir. Bir perioddan digərinə soldan sağa keçdikdə qadağan olunmuş zonanın eni böyüyür, qrupun daxilində yuxarıdan aşağıya doğru hərəkət etdiqdə isə qadağan olunmuş zonanın eni kiçilir.

Məlum olduğu kimi, karbon iki allotropik şəkildə: almaz və qrafit kimi mövcuddur. Qrafit elektrik keçiriciliyinə görə metal, təmiz almaz isə dielektrik qrupuna aiddir. Süni yolla alınmış və bir qədər aşqarlanmış almaz isə yarımkəçirici xassəsinə malik olur.

Normal şəraitdə qalay yaxşı metal xassəsinə malikdir. Ancaq  $13,2^{\circ}\text{C}$ -dən aşağı temperaturlarda o, yarımkəçirici xassəsinə malik  $\alpha$  - modifikasiyasına çevrilir və boz qalay adlanır.

Elementar (bəsit) yarımkəçiricilər sırasında Yer qabığında miqdarına, tələb olunan kristallarının alınması mümkünlüyü, qadağan olunmuş zonasının eninə, sərbəst yükdaşıyıcıların konsentrasiyasının və yüyürüklüğünün qiymətinə görə Si, Ge və bir qədər də Se digərləri ilə müqayisədə daha geniş tətbiq olunur.

Qeyri-üzvi birləşmələr sırasında iki və daha çox kimyəvi elementdən təşkil olunmuş yarımkəcərici material qrupları mövcuddur. Belə birləşmələrə misal olaraq GaAs, InSb, CdSe, ZnS, ZnSiAs<sub>2</sub>, CuGe<sub>2</sub>P<sub>3</sub>-i göstərmək olar. Almaz qəfəsində olduğu üçün bir sıra yarımkəcəricilər almazabənzər yarımkəcəricilər adlanır.

Tərkibində mərgümüş (As), kükürd, tellur, karbon olan binar birləşmələr uyğun olaraq arsenidlər, sulfidlər, telluridlər, karbidlər adlanır.

Yarımkəcərici birləşmələr qrupu latin əlifbası ilə işarə edilir. Burada A-birləşmənin birinci, B-ikinci, C-üçüncü və s. komponentini göstərir. Həmin hərflər indekslərə malik olur. Hərfin rum rəqəmi ilə işaret olunmuş yuxarı indeksi elementin Periodik Sistemdəki qrupunu göstərir. Ərəb rəqəmləri ilə işaret olunan aşağı indeks isə stexiometrik əmsalın göstəricisidir. Məsələn, JnP birləşməsi A<sup>III</sup>B<sup>V</sup> yarımkəcərici birləşmələr qrupuna, Bi<sub>2</sub>Te<sub>3</sub> birləşməsi A<sub>2</sub><sup>V</sup>B<sub>3</sub><sup>VI</sup> qrupuna, ZnSiP<sub>2</sub> isə A<sup>II</sup>B<sup>IV</sup>C<sub>2</sub><sup>V</sup> qrupuna daxildir.

Bu birləşmələrlə yanaşı, müxtəlif materialların bərk məhlulları əsasında da mürəkkəb yarımkəcərici materiallar mövcuddur. Bərk məhlulların kimyəvi formulasında aşağıdakı indeksi elementin bərk məhluldakı payını göstərir. Məsələn, Ge ilə Si və In As ilə InP arasındaki bərk məhlul Si<sub>1-x</sub>Ge<sub>x</sub> və InAs<sub>1-x</sub>P<sub>x</sub> formasında göstərilir. InAs<sub>0,8</sub>P<sub>0,2</sub> formulu həmin bərk məhlulda fosforun atom payının, yaxud InP-in payının 0,2 mol olduğunu göstərir.

Hal-hazırda mürəkkəb yarımkəcəricilər olduqca çoxdur, lakin bunların içərisində praktiki cəhətdən daha böyük əhəmiyyət kəsb edənlər A<sup>III</sup>B<sup>V</sup>, A<sup>II</sup>B<sup>IV</sup>, A<sup>II</sup>B<sup>VI</sup> tipli birləşmələrdir.

#### § 4.14. Germanium və onun tətbiq sahələri

**Germanium** elementinin varlığı və xassələri barədə fikri ilk dəfə rus alimi D.İ.Mendeleyev 1870-ci ildə söyləmişdir. 1886-cı ildə isə alman fiziki K.Vinkler təhlil etdiyi mineralda yeni elementin olduğunu aşkar etmiş və öz vətəninin şərəfinə onu Germanium adlandırmışdır. Germanium təbiətdə geniş yayılmış elementlərdəndir. Yer qabığında onun miqdarı  $7\text{-}10^{-4}\%$  təşkil edir. Hal-hazırda germanium daş kömürün kokslaşdırılması prosesində və germanium konsentratından alınır.

Təmiz germanium metal parlaqlığına malik olub, nisbətən yüksək bərkliyə və kövrəkliyə malikdir. Onun elementar qəfəs özəyində 8 atom yerləşir və almaz quruluşuna bənzər kristallaşma gedir.

Kristal germanium otaq temperaturunda havada dayanıqlıdır, lakin  $650^{\circ}\text{C}$ -də oksidləşərək,  $\text{GeO}_2$  birləşməsini əmələ gətirir. Bu material otaq temperaturunda suda, xlorid və durulmuş sulfat turşusunda həll olmur. Germanium normal şəraitdə azot və flüorit turşularının qarışığında, tərkibində oksidləşdirici reagentlər olan aşılıyıcılarda, hidrogen peroksidin məhlulunda həll olur. Bu maddə qızdırıldıqda halogenlər, kükürd və kükürd birləşmələri ilə güclü qarşılıqlı təsirdə olur. O, hətta ərimiş halda da qrafit və kvars şüşə ilə qarşılıqlı təsirə girmir. Maye halda olan germanium hidrogeni yaxşı udur və hidrogen onun üçün elektroneytral aşqardır.

Cədvəl 4.2-də germaniumun əsas parametrlərinin qiymətləri göstərilmişdir.

*Cədvəl 4.2*

Nö	Parametlər	Ədədi qiymətlər
1	Qəfəs periodu	$5,66 \cdot 10 \text{ nm}$
2	Sixlıq ( $20^{\circ}\text{C}$ )	$5,3 \text{ Mg/m}^3$
3	Xətti genişlənmənin temperatur əmsali ( $1\text{-}100^{\circ}\text{C}$ )	$6 \cdot 10^{-3} \text{ K}^{-1}$

<b>4</b>	Xüsusi istilikkeçiriciliyi	55 Vt/m • K
<b>5</b>	Xüsusi istilik tutumu ( $0-100^{\circ}\text{C}$ )	333 C/Kq • K
<b>6</b>	Ərimə temperaturu	$936^{\circ}\text{C}$
<b>7</b>	Xüsusi ərimə istiliyi	$4,1 \cdot 10^5 \text{ C} / \text{Kq}$
<b>8</b>	Ərimə temperaturunda səthigərilmə əmsalı	0,6 N/m
<b>9</b>	Xüsusi müqavimət ( $20^{\circ}\text{C}$ )	0,47 Om • m
<b>10</b>	Məxsusi sərbəst yüksəlyici cıcların kon-sentrasiyası	$2,5 \cdot 10^{19} \text{ m}^{-3}$
<b>11</b>	Qadağan olunmuş zonanın eni 0 K	0,746 eV
<b>12</b>	Sərbəst elektronların yüyürülüyü (300 K)	0,665 eV
<b>13</b>	Elektronların yüyürülüyü	$0,39 \text{ m}^2/\text{V} \cdot \text{s}$
<b>14</b>	Deşiklərin yüyürülüyü	$0,19 \text{ m}^2/\text{V} \cdot \text{s}$
<b>15</b>	Çıxış işi	4,8 eV
<b>16</b>	Birinci ionlaşma potensialı	8,1 eV
<b>17</b>	Dielektrik nüfuzluğu	16
<b>18</b>	Elektronların effektiv kütləsi	$0,12 \text{ m}_0$
<b>19</b>	Deşiklərin effektiv kütləsi	$0,2 \text{ m}_0$

200 K-dən yüksək temperaturlarda qadağan olunmuş zonasının eni temperaturdan xətti asılı olur:

$$\Delta E_0 = 0,782 - 3,9 \cdot 10^{-4} T \quad (\text{eV}).$$

Yarımkeçirici cihazların hazırlanmasında elektroaktiv aş-qarlardan istifadə olunur. Ge əsasında müxtəlif cihazlar, ilk növbədə isə diod və tranzistorlar hazırlanır.

Müstəvi düzləndirici Ge diodlar gərginliyin 0,5V qiymətində düzünə cərəyanın 0,3-1000A qiymətinə hesablanır. Germanium diodlarının çatışmayan cəhəti əksinə gərginliyin çox da böyük olmamasıdır. Bu material əsasında hazırlanan tranzistorlar aşağıtezlikli və yüksəktezlikli olmaqla yanaşı, həm də kiçik güclü və güclü olur.  $\text{SiO}_2$  izolyasiya qatından istifadə etməklə Ge-dən planar texnologiya əsasında tranzistorlar hazırlanır.

Germaniumdan, həmçinin tunel diodlarının, varikapların, nöqtəvi yüksəktezlikli, impuls və ifrat yüksəktezlikli diodların hazırlanmasında istifadə olunur. İmpuls diodlarında sürətli (ki-

çik ətalətli) keçirmə əməliyyatı təmin etmək üçün elə materialdan istifadə olunur ki, onlarda tarazlıqda olmayan sərbəst yükdaşıyıcıların yaşama müddəti kiçik olsun. Bunun üçün qızıl atomları ilə aşqarlanmış germaniumdan istifadə olunur. Qızıl aşqarı germaniumda rekombinasiya səviyyələri yaradır.

Sərbəst yükdaşıyıcıların yüksək yüyürüklüyə malik olmaşı germaniumdan Holl qeydediciləri və digər maqnitəhəssas cihazların hazırlanmasında istifadə etməyə imkan verir.

Germaniumun optik və fotoelektrik xassələri bu materialdan fototranzistor, fotodiód, infraqırmızı şüalar üçün optik linsa, optik filtr, işıq modulyatoru, nüvə hissəciklərinin saygacları hazırlamağa imkan verir. Belə cihazların işçi temperatur dia-pazonu  $-60 \div +70^{\circ}\text{C}$  intervalında dəyişir. İşçi temperaturun yu-xarı sərhədinin kiçik olması, germanium cihazlarının çatışma-yan cəhətidir.

### § 4.15. Silisium və onun tətbiq sahələri

Germaniumdan fərqli olaraq, silisium Yer kürəsində oksigendən sonra ən çox yayılmış elementdir. Yer qabığında onun kütlə hesabı ilə miqdarı 29,5%-ə çatır. Təbiətdə silisium sərbəst halda yox, birləşmələr şəklində mövcuddur. Onun ən geniş yayılmış birləşməsi  $\text{SiO}_2$ -dir. Sərbəst halda  $\text{SiO}_2$ -yə kvars mineralı şəklində rast gəlinir. Elektronikada yarımkəciriçi mate-rial kimi, ötən (XX) əsrin ortalarından istifadə edilməyə baş-la-nmışdır.

Kristal silisium da almaz kimi, kubik qəfəs quruluşuna malikdir. Silisiumun hər atomu dörd valentli rabitə ilə tetraedrin təpəsində yerləşən digər Si atomları ilə birləşir.

Kimyəvi baxımdan otaq temperaturunda silisium təsirsiz maddə hesab olunur. O, suda həll olmur və istənilən konsentrasiyada bir çox turşularla reaksiyaya girmir. Si - azot və flüorit turşularının qarışığında və həmçinin qaynar qələvi məhlulunda həll olur. Silisiumun əsas fiziki parametrlərinin qiymətləri cəd-

vəl 4.3-də göstərilmişdir. 250 K-dən yüksək temperaturlarda onun qadağan olunmuş zonasının eni xətti qanunla dəyişir:

$$\Delta E = 1,205 - 2,84 \cdot 10^{-4} T.$$

Germaniumdan silisiuma keçid zamanı məxsusi optik udulmanın kənarı spektrin yaxın infraqırmızı oblastından görünən oblastına tərəf sürüşür. Normal şəraitdə Si, dalğa uzunluğu 1 mkm-dan böyük olan optik şüalar üçün şəffafdır.

Qadağan olunmuş zonasının eni böyük olduğundan, silisiumun xüsusi müqaviməti germaniumun xüsusi müqavimətin-dən üç tərtib böyük olur.

Kimyəvi Elementlərin Dövri Sistemindəki III və V qrup elementlərinin atomları silisiumda uyğun olaraq dayaz akseptor və donor, I, II, VI və VII qrup elementlərinin atomları isə - dərin aşqar səviyyələri yaradır.

*Cədvəl 4.3*

Nö	Parametrlər	Ədədi qiymətlər
1.	Qəfəs periodu	$6,42 \cdot 10^{-10}$ nm
2.	Sıxlıq ( $20^{\circ}\text{C}$ )	$2,3 \text{ Mg/m}^3$
3.	Xətti genişlənmənin temperatur əmsalı	$4,2 \cdot 10^{-3} \text{ K}^{-1}$
4.	Xüsusi istilikkeçiriciliyi	$80 \text{ Vt/m} \cdot \text{K}$
5.	Xüsusi istilik tutumu ( $0-100^{\circ}\text{C}$ )	$710 \text{ C/Kq} \cdot \text{K}$
6.	Ərimə temperaturu	$1414^{\circ}\text{C}$
7.	Xüsusi ərimə istiliyi	$1,6 \cdot 10^6 \text{ C/Kq}$
8.	Ərimə temperaturunda səthigərilmə əmsalı	$0,72 \text{ N/m}$
9.	Xüsusi müqavimət ( $20^{\circ}\text{C}$ )	$2 \cdot 10^3 \text{ Om} \cdot \text{m}$
10.	Məxsusi yükdaşıyıcıların konsentrasiyası	$10^{16} \text{ m}^{-3}$
11.	Qadağan olunmuş zonanın eni (0-300 K)	$1,165 \text{ eV}, 1,12 \text{ Ev}$
12.	Elektronların yüyürekliyi	$0,14 \text{ m}^2 / \text{V} \cdot \text{s}$
13.	Deşiklərin yüyürekliyi	$0,05 \text{ m}^2 / \text{V} \cdot \text{s}$
14.	Elektronların çıxış işi	$4,3 \text{ eV}$
15.	Birinci ionlaşma potensialı	$8,14 \text{ eV}$
16.	Dielektrik nüfuzluğu	$12,5$
17.	Effektiv kütlə:	
	Elektronların effektiv kütləsi	$0,26 \text{ m}_0$
	Deşiklərin effektiv kütləsi	$0,39 \text{ m}_0$

Böyük ölçüülü integral mikrosxemlərin (BİS-lərin) hazırlanmasında polikristal silisiumdan istifadə olunur. Bu zaman silisium lövhəsinin üzəri  $\text{SiO}_2$  dielektrik pərdəsi ilə örtülür və onun üzərinə polikristal silisium çökdürülür.

Yüksəkomlu polikristal silisium təbəqəsi  $\text{SiO}_2$  qatı ilə birlikdə integral mikrosxemlərin (İS-lərin) ayrı-ayrı elementləri arasında elektrik izolyasiyası yaratmaq üçün istifadə olunur.

Planar tranzistorların və integral mikrosxemlərin yaradılmasında silisium əsas material kimi istifadə olunur. Kiçik ölçülərə və aktiv oblastların mürəkkəb konfiqurasiyasına malik olduğundan onlardan gücləndirici cihaz və qurğularda, hesablaşma texnikasında istifadə olunur.

Silisiumdan düzləndirici, impuls və ifrat yüksəkənlikli diodların, alçaq və yüksəkənlikli, kiçik güclü və güclü bipolyar tranzistorların, o cümlədən sahə tranzistorlarının hazırlanmasında istifadə olunur. Silisiumdan düzəldilmiş planar tranzistorların işçi tezliyi 10 QHs-ə qədər çata bilir.

Silisium əsasında düzəldilmiş düzləndirici müstəvi diodlardan düzünə istiqamətdə 1500A-ə qədər cərəyan keçə bilməklə yanaşı, eks istiqamətdə tətbiq olunan gərginlik 1500V-a çata bilir. Stabilitron və tristorların böyük eksəriyyəti bu material əsasında düzəldilir. Aşqarlanmanın səviyyəsində asılı olaraq stabillaşdırılan gərginliyin qiyməti 3V ilə 400V arasında dəyişir.

Optik şüalanmanın təsirinə çox qısa zaman müddətində (cəld) reaksiya verən fotohəssas diodların hazırlanmasında silisiumdan istifadə olunur. Fotodetektorun spektral həssaslığı diopozonu bir çox yarımkəncirici işıq mənbələrinin şüalanma spekttri ilə uyğun gəlir. Bu material əsasında hazırlanmış fotoelementlər (günəş batareyaları) günəşin şüalandırıldığı işıq enerjisini elektrik enerjisinə çevirmək üçün effektiv qurğular kimi geniş tətbiq olunur. Kosmik aparatların elektrik enerjisi ilə təminatında başlıca olaraq bu fotoelementlərdən istifadə olunur. Onların faydalı iş əmsali, adətən 10-12%-ətrafında olur.

Silisum həm də şüalanma detektorlarının, Holl qeydedicilərinin və tenzoqeydedicilərin düzəldilməsi üçün keyfiyyətli materialdır.

Qadağan olunmuş zonasının eni böyük olduğundan, silisium cihazlarının işçi temperaturu daha yüksək olub,  $180\text{--}200^{\circ}\text{C}$  ətrafındadır.

#### § 4.16. Karbidlər və onların tətbiq sahələri

Karbonun digər elementlərlə birləşmələrinə karbidlər deyilir. Silisium karbid karbonun yeganə binar birləşməsidir ki, yarımkəcərici xassəsinə malikdir. Bu birləşmə karborund adlanır. Karborund ( $\text{SiC}$ ) elektrik sobasında  $2000^{\circ}\text{C}$ -də silisium-iki oksidin karbonla birləşməsindən alınır. Karborund kristalları heksaqaonal quruluşa malik olub, təmiz halda rəngsizdir. Lakin ona aşqar daxil edildikdə açıq sarı, yaxud da yaşıl rəngdə olur.

Karborundun heksaqaonal modifikasiyaları kristal quruluşda atomların düzülüşü ilə fərqlənir. Karborundun ( $\text{SiC}$ ) iki modifikasiyası:  $\alpha$  -  $\text{SiC}$  və  $\beta$  -  $\text{SiC}$  mövcuddur.  $\alpha$  -  $\text{SiC}$  modifikasiyası bir layda eyni tip atomların müxtəlif istiqamətdə düzülüşü ilə fərqlənən politiplərdən ibarətdir.  $\text{SiC}$  100-dən artıq politipə malikdir. Karborundun ən geniş yayılmış politiplərinin elektrofiziki xassələri cədvəl 4.4-də verilmişdir.

*Cədvəl 4.4*

Modifikasiya	$\alpha$ - $\text{SiC}$				
	$\beta$ - $\text{SiC}$	3C	15R	6H	4H
Politiplərin simvolları		3C	15R	6H	4H
Qəfəsin periodu 10 nm (300K)	0,459	3,073(a) 37,3 (c)	3,081 15,12	3,076 10,05	- -
Qadağan olunmuş zonanın eni, eV (300K)	2,39	2,986	3,023	3,365	3,333

Elektronların yüyürüklüyü (300K) $\text{m}^2/\text{V}\cdot\text{s}$	0,1	0,05	0,033	0,07	-
Deşiklərin yüyürüklüyü (300K) $\text{m}^2/\text{V}\cdot\text{s}$	0,0006	0,006	0,006	0,006	0,006

Karborund ən bərk materiallardan biridir. O,  $1400^{\circ}\text{C}$ -ə kimi oksidləşmir, otaq temperaturunda turşularda həll olmur, yalnız qızdırıldığda qələvi ərintilərində həll olur. Bu maddə ortofosfat turşusunun və  $(\text{HNO}_3 + \text{HF})$  qarışığının təsirini hiss edir.

$\text{SiC}$ -in elektrik keçiriciliyinin xüsusiyyətləri aşqarın növündən və  $\text{SiC}$  birləşməsinin stexiometrik tərkibdən kənara çıxması ilə müəyyən edilir.  $\text{SiC}$ -in tərkibində stexiometrik tərkibdən artıq miqdarda Si atomları olduqda o, n-tip, stexiometrik tərkibdən artıq miqdarda C atomları olduqda isə p-tip keçiriciliyə malik olur. Kimyəvi Elementlərin Dövri Sisteminin V qrupunun elementləri (fosfor, mərgümüş, sürmə, bismut) aşqar kimi  $\text{SiC}$ -ə daxil olduqda onun rəngi yaşıl olmaqla yanaşı, həm də n-tip keçiriciliyə malik olur; II (Ca, Mg) və III (B, Al, Ga, İn) qrup elementləri aşqar kimi daxil olduqda isə keçiriciyi p-tip, rəngi isə mavi və bənövşəyi olur. Silisium karbiddə məxsusi keçiricilik  $\sim 1400^{\circ}\text{C}$ -dən yüksək temperaturlarda baş verir.

Bu birləşmənin daha çox nəzərə çarpan xüsusiyyəti spektrin görünən oblastında lüminessensiya etməsidir. Müxtəlif poliplardan istifadə etməklə və silisium karbidə müxtəlif aşqarlar daxil etməklə əlvan rəngli lüminessensiya əldə etmək mümkündür. Bu da öz növbəsində həmin material əsasında işıq diodlarının hazırlanmasına imkan verir.  $\text{SiC}$  əsasındaki işıq diodlarının çatışmayan cəhəti elektrik enerjisinin işığa çevrilməsinin az effektivliyə malik olmasıdır. Xarakteristikalarının stabilliyi və degradasiyaya uğramaması isə  $\text{SiC}$  əsasındaki diodların üstün cəhətlərindəndir. Bu xüsusiyyət həmin diodlardan ölçü qurğularında etalon və nümunəvi işıq mənbəyi kimi istifadə etməyə imkan verir.

Silisium karbiddən aqressiv kimyəvi mühitdə işləyə bilən və praktiki əhəmiyyət kəsb edən güclü düzləndirici diodların, yüksəktemperaturlu tenzorezistorların, yüksək enerjili zərrəcikləri qeyd edən qurğuların düzəldilməsində istifadə olunur. Bundan əlavə, SiC-dən həm də yaxşı tezlik xarakteristikasına malik sahə tranzistorları, ifrat yüksəktezlikli diodlar, termistorlar hazırlanır. Qadağan olunmuş zonasının eninin böyük olması, bu cihazların əksəriyyətinin işçi temperatur diapazonunun yuxarı sərhədini  $500^{\circ}\text{C}$ -ə çatdırmağa imkan verir.

#### § 4.17. $\text{A}^{\text{III}}\text{B}^{\text{V}}$ birləşmələri tipli yarımkəçiricilər

$\text{A}^{\text{III}}\text{B}^{\text{V}}$  birləşmələri tipli yarımkəçiricilər Kimyəvi Elementlərin Dövri Sisteminin III qrupuna daxil olan alüminium, gallium və indiumun, V qrupun elementlərindən fosfor, mərgümüş və sürmə ilə birləşməsindən alınır. Nitridlərdən fərqli olaraq,  $\text{A}^{\text{III}}\text{B}^{\text{V}}$  birləşmələrinin hamısı sfalerit tip qəfəs quruluşunda kristallaşır. Nitridlər üçün isə heksaqaonal quruluş xarakterikdir.

Optik və elektrik ölçmələri əsasında tətbiq sahələri geniş olan əsas birləşmələrin enerji zonalarının quruluşu müəyyən edilmişdir. Bu birləşmələrdə elektronların effektiv kütləsi kiçik olduğu üçün yüyürcülüyü kifayət qədər böyük qiymətə malikdir. Sərbəst yüksəkdaşıyıcıların yüksək temperaturlarda qəfəsin optik rəqslərindən, aşağı temperaturlarda isə aşqar ionlarından səpilməsi üstündür.  $\text{A}^{\text{III}}\text{B}^{\text{V}}$  birləşmələri tipli yarımkəçiricilərin parametrlərinin təcrübələr nəticəsində tapılmış qiymətləri cədvəl 4.5 verilmişdir.

Məxaniki möhkəmliyi, kimyəvi dayanıqlığı, elektrik, fotoelektrik və optik xassələrinin bir-biri ilə ahəngliyi  $\text{A}^{\text{III}}\text{B}^{\text{V}}$  birləşmələri tipli yarımkəçirici materiallar əsasında praktiki tətbiq imkan və sahələri geniş olan bir sıra yarımkəçirici cihazlar düzəltməyə imkan verir. Belə materiallara tələbat optoelektron

qurğularında ani olaraq işləmə rejiminə keçmək xüsusiyyyətinə malik işıq mənbələrinin və şüalanma qəbulədicilərinin hazırlanmasına olan ehtiyacdən da irəli gəlir.

*Cədvəl 4.5*

Əsas parametrlər	BİRLƏŞMƏLƏR												
	BN	AlN	GaN	InT	AlP	Gap	InP	AlAs	GaAs	InAs	AlSb	GeSb	InSb
Qoşəs sabiti $\times 10^3 \text{ nM}$	3,615 (a) 4,975 (c)	3,110 (a) 5,176 (c)	3,186 (a) 5,704 (c)	3,540 (a) 5,463 (c)	5,451	5,869	5,661	5,653	6,058	6,136	6,096	6,47	
Sixlıq $10^3 \text{ Kq/m}^3$	3,40	3,28	6,11	6,91	2,37	4,07	4,78	3,60	5,32	5,67	4,28	5,65	5,78
Ərimə temperaturu, $^{\circ}\text{C}$	3000	2400	1700	1100	2000	1467	1070	1770	1238	942	1060	710	525
Xətti genişlənmənin temperatur əmsali, $\alpha \cdot 10^6 \text{ K}^{-1}$	-	6,1	5,65	-	4,2	5,9	4,6	5,2	6,4	5,3	4,2	6,2	4,9
Qadağan olunmuş zonanın eni, eV	6	5,88	3,40	1,95	2,45	2,26	1,35	2,16	1,43	0,36	1,58	0,12	0,18
Elektronların yayılış həcmi, $\text{m}^2/\text{Vs}$	-	-	6,03	-	0,008	0,019	0,46	0,028	0,95	3,3	0,02	0,4	7,8
Deşiklərin yayılış həcmi, $\text{m}^2/\text{Vs}$	-	-	-	-	0,000 3	0,012	0,015	-	0,045	0,046	0,055	0,14	0,07
Alçaq tezlikli dielektrik nüfuzluğu	7,1	9,1	12,9	-	9,8	11,1	12,4	10,1	13,1	14,6	14,4	15,7	17,7

İşıq mənbəyi olaraq istifadə edilən işıq diodu qeyri-koherent şüalanma mənbəyi olub, işləməsi elektrolüminessensiya hadisəsinə əsaslanır. Cədvəl 4.6-da  $A^{III}B^V$  birləşmələri tipli yarımkəcicilər əsasında hazırlanmış işıq diodlarının əsas parametrləri verilmişdir.

Cədvəl 4.6

Materiallar	Maksimal şüalanmaya uyğun dalğa uzunluğu	İşçi cərəyan	İşçi gərginlik	Ətalətliyi	Parlaqlıq
	$\lambda_m$	J, mA	U, V	nşan	L, kd/m <sup>2</sup>
GaP	0,56	50	4,0	10	340
GaAs <sub>x</sub> P <sub>1-x</sub>	0,60	50	4,0	2000	260
GaAs <sub>x</sub> P <sub>1-x</sub>	0,61	50	2,0	1	500
GaAs <sub>x</sub> P <sub>1-x</sub>	0,67	50	1,65	1	3400
Ga <sub>x</sub> Al <sub>1-x</sub> As	0,68	50	1,65	10	1000
GaP	0,70	10	-	100	500

Yarımkeçirici lazerlər və işiq diodları kosmonavtikada, texniki rəbitədə, informasiya, ölçmə və müdafiə texnikasında istifadə olunur. İlk dəfə yarımkəçirici injeksiya lazeri GaAs əsasında düzəldilmişdir. Belə koherent şüalanma mənbəyi p-n kecid əsasında yaradılmışdır. P-n keciddə lazer effektinin baş verməsi üçün keçiddən axan cərəyanın sıxlığı müəyyən hündüd qiyamətindən böyük olmalıdır. Arsenid qallium əsasında hazırlanmış optik kvant generatorunun parametrləri cədvəl 4.7-də verilir. GaAs-dən düzəldilmiş (Qann diodlarında) ilk dəfə ifrat-yüksək tezlikli rəqslərin generasiyası (Qann effekti) müşahidə edilmişdir. Sonralar belə diodlar İnP və GaAs<sub>x</sub>P<sub>1-x</sub> əsasında da düzəldilmişdir. Qann diodları həm kəsilməz, həm də impuls rejimlərində işləyə bilir.

GaAs, GaSb və İnSb əsasında tunel diodları, yüksək temperaturlu düzləndiricilər və tranzistorlar da düzəldilir.

Cədvəl 4.7

Parametrlər	Temperatur T,K	
	4-77	300
İmpulsdakı gücü (P), Vt	0,01-2,0	2-800
Cərəyan hüdudu (J), A	0,3-5,0	12-300
Şüalanmanın dalğa uzunluğu ( $\lambda$ ), mkm	0,84	0,91
Şüanın səpilmə (ayrılma) bucağı ( $\theta$ ), rad	0,15-0,35	0,15-0,35
Qidalandırıcı cərəyan impulsunun davametmə müddəti, mksan	5-0,2	0,2-2,1
İmpulsların ardıcılıq tezliyi ( $v$ ), hs	200-1000	0,5-1000

### § 4.18. Oksid yarımkəçiricilər

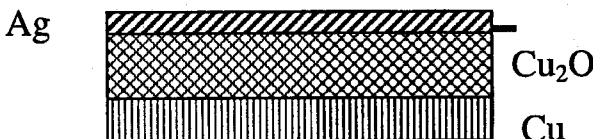
Keçid metallarının bəzi oksidləri yarımkəçirici xüsusiyyətinə malikdir. Belə yarımkəçiricilərə mis, sink, kadmium, titan, molibden, volfram, uran, marqans və nikel oksidləri aiddir. Mis ( $\text{Cu}_2\text{O}$ ) və marqans oksidinin ( $\text{Mn}_3\text{O}_4$ ) bəzi xassələrinə baxaq.

İon qəfəs quruluşuna malik yarımkəçirici  $\text{Cu}_2\text{O}$  təbəqəsi mis lövhə üzərində yüksək temperaturda alınır. Bu təbəqə tünd qırmızı moruq rəngində olub, deşik keçiriciliyinə malikdir. Mis oksidin ərimə temperaturu  $1230^{\circ}\text{C}$ , qadağan olunmuş zonanın eni isə  $1,56 \text{ eV}$ -dir.

$\text{Cu}_2\text{O}$ -də sərbəst deşiklərin yüyürlüyü  $80 \text{ sm}^2/\text{V} \cdot \text{san} \cdot \text{yə}$ , materialın xüsusi elektrik keçiriciliyi isə alınma texnologiyasından və tərkibindəki aşqarlardan asılı olaraq  $10^{-6} \text{ Om}^{-1} \text{ sm}^{-1}$ -ə çatır.

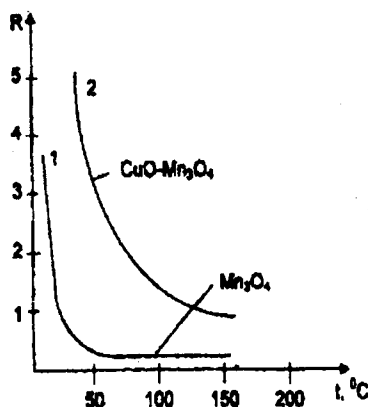
Mis lövhə üzərindəki  $\text{Cu}_2\text{O}$  təbəqəsini oksidləşdirici mühitdə termik aşılamaqla onun əsasında elektron-deşik keçidi (p-n kecid) yaratmaq olar. Bunun üçün qaz mühiti tərəfindən oksid təbəqəsində akseptor rolu oynayan oksigenin diffuziyası yaradılır. Mis lövhə tərəfdən mis atomları təbəqəyə daxil olaraq asanlıqla elektron verərək p-n kecid əmələ gətirir.

Mis oksidi əsasında hazırlanmış düzləndiricinin bir elektroodu rolunu mis lövhə, digərini isə - vakuumda gümüşün buxarlandırılması yolu ilə yaradılmış gümüş təbəqə oynayır. Bəzən ikinci elektrod kimi mis-nikel xəlitəsindən də istifadə edilir.



Şəkil 4.13

Yarımkeçirici manqan-oksidi tetraqonal kristal qəfəs quruluşuna malikdir. Bu yarımkəcəricinin ərimə temperaturu  $1700^{\circ}\text{C}$ , qadağan olunmuş zonasının eni isə  $1,25 \text{ eV}$ -dır. Polikristal manqan-oksidinin müqavimətinin temperaturdan asılılığı şəkil 4.14-də təsvir edilmişdir.



Şəkil 4.14

Şekildəki 1-əyrisindən göründüyü kimi, müqavimətin qiyməti temperaturun yüksəlməsi ilə kəskin azalır.  $Mn_3O_4$ -ün müqavimətinin temperatur əmsali mənfi olduğundan, bu materialdan termorezistorların (termistorların) hazırlanmasında istifadə edilir. Bu məqsədlə  $Cu_2O-Mn_3O_4$ ;  $NiO-Mn_3O_4$ ;  $NiO-Co_3O_4$  yarımkəciriçi qarışqlarından və mürəkkəb quruluşlu oksid birləşmələrdən də istifadə edilir.

#### § 4.19. Şüşəvari yarımkəciriçilər

Bir sıra hallarda qeyri-üzvi şüşələr də yarımkəciriçi xassəyə malikdir. **Şüşəvari yarımkəciriçilər** adlanan bu materiallar da kristallar kimi zona quruluşuna malikdir. Lakin quruluşun pozulması valent və keciriçi zonaların genişlənməsinə, qadağan olunmuş zonanın eninin isə kiçilməsinə səbəb olur. Adı şüşələr ion keciriçiliyinə malik olduğu halda, yarımkəciriçi şüşələr elektron keciriçiliyinə malikdir. Belə materiallara aşqarın daxil edilməsi kristallardan fərqli nəticələrə gətirir. Bu zaman aşqar atomları qəfəsin düyun nöqtələri arasında yerləşərək, bu aralığın genişlənməsinə səbəb olur. Bu isə öz növbəsinde qadağan olunmuş zonada olan lokal səviyyələrin yerdəyişməsi ilə nəticələnir. Belə ki, donor səviyyələri valent, akseptor səviyyələri isə keciriçi zonaya doğru sürüşür və aşqar səviyyələrin keciriçiliyə təsiri kifayət qədər zəifləyir, aşqar keciriçilik aradan qalxır.

Metal oksidi və ərintiləri tipli şüşəvari yarımkəciriçilərlə yanaşı, oksigensiz yarımkəciriçi birləşmələr də mövcuddur. Belə birləşmələrdə kükürd, selen və tellur iştirak etdiyindən onlar halkogenid şüşələr adlanır.

Oksigenli yarımkəciriçilərə misal olaraq vanadium-fosfat ( $V_2O_5-P_2O_5-Me_xO_y$ ) tipli yarımkəciriçi şüşəleri göstərmək olar. Burada Me - metal göstəricisi olub, kadmium, sink, sürmə, kobalt və s. ola bilər. Vanadium-fosfat şüşəsi spektrin görünən oblastında qeyri-şəffaf olduğu halda, infraqırmızı şüalar ( $2 \div 5$  mkm) üçün

şəffafdır. Onun xüsusi elektrik keçiriciliyi  $10^{-12} \div 10^{-5}$   $\text{Om}^{-1} \cdot \text{sm}^{-1}$  intervalında dəyişir. Tərkibində 80 %  $\text{V}_2\text{O}_5$ , 20%  $\text{P}_2\text{O}_5$  olan şüşə, deşik keçiriciliyinə malik olduğu halda, 20% sürmə-oksidi əlavə edildikdə n-tip keçirici olur. Bu materialda keçiriciliyin temperaturdan asılılığı eksponensial xarakterlidir. Halkogenid şüşələrin yumşalma temperaturu  $200\text{-}450^\circ\text{C}$  aralığındadır. Bu növ şüşə birləşmələrinin tərkibində Ge komponenti olduqda, yumşalma temperaturu  $550^\circ\text{C}$ -ə çatır. Belə şüşələr dalğa uzunluğu 1-17 mkm olan infraqırmızı şüalar üçün şəffafdır və qadağan olunmuş zonasının eni kifayət qədər böyükdür (Məsələn,  $\text{SeAs}$ - 1,7 eV,  $\text{SeGe}$ - 2,2 eV). Şüşələrdə sərbəst yükdaşıyıcıların yüyürüküyü kiçikdir ( $10^{-8} \text{ sm}^2/\text{Vs}$  tərtibindədir). Bu cür şüşələrin xüsusi elektrik keçiriciliyi  $10^{-14} \text{ Om}^{-1} \cdot \text{sm}^{-1}$  və daha kiçik olur. Onların dielektrik nüfuzluğu isə kifayət qədər böyükdür ( $9,5 \cdot 10^9 \text{ Hs-də}$   $7,5\text{-}10,0$ ). Bu xüsusiyyətlər və dielektrik itkisinin kiçik olması ( $\text{tg}\delta < 6 \cdot 10^4$ ) həmin materiallardan kondensatorlarda istifadə etməyə imkan verir. Uyğun şəffaflıq spektrinə və fotohəssaslığa malik olması, bu materiallardan televiziya texnikasında geniş istifadə etməyə imkan yaradır. Halkogenid şüşələrin kiçik elektrik keçiriciliyinə malik olması, onlardan vakuüm texnologiyasında, mikroradioelektronikada nazik təbəqə elementləri üçün altlıq kimi istifadə etməyə imkan yaradır.

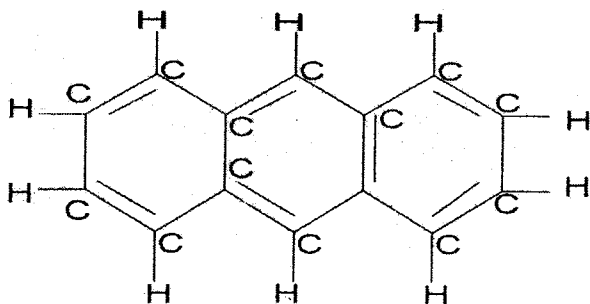
#### § 4.20. Üzvi yarımkəcəricilər

**Üzvi yarımkəcəricilərə** elə kimyəvi birləşmələr aid edilir ki, onlarda, keçiricilik ionlar deyil, elektron və deşiklər hesabına yaranır. Bu birləşmələrin xüsusi elektrik keçiriciliyi  $10^{-16} \div 10^{-1} \text{ Om}^{-1} \cdot \text{m}^{-1}$  aralığında dəyişir və temperaturun yüksəlməsi ilə artır.

Bundan əlavə, yarımkəcəricilərə məxsus Holl və fotoeffekt hadisələri də üzvi yarımkəcəricilərdə müşahidə olunur. Onların yarımkəcəricilərdən əsas fərqli cəhətlərindən biri sər-

bəst yükdaşıyıcıların yüyürüklüğünün bir neçə tərtib kiçik olmasıdır.

Üzvi bərk yarımkəçiricilərə xas olan əlamətdar xüsusiyyət bir-birinə bağlı aromatlı həlqələrin mövcudluğudur. Belə quruluş yarımkəçirici antrasenitə xasdır (Şəkil 4.15).



Şəkil 4.15. Antrasenitin quruluşu

O, üç benzol həlqəsindən ibarətdir. Bu növ yarımkəçiricilərdə keçiricilik, sərbəst yükdaşıyıcıların molekulların daxilində hərəkəti və eyni zamanda onların bir molekuldan digərinə keçməsi ilə əlaqədardır. Molekullar arasında sadə (birqat) və mürəkkəb (ikiqat) rabitə mövcuddur. Sadə rabitə molekul daxilində olan qonşu atomların iki elektronları vasitəsilə yaranır. Bu elektronlar  $\sigma$ -elektronlar adlanır.  $\sigma$ -elektronların yerləşdiyi müstəviyə perpendikulyar müstəvidə yerləşən elektronlar isə  $\pi$ -elektronlar adlanır. İkiqat rabitə iki cüt elektronlar arasında baş verir. Belə cüt elektronlar müxtəlif rabitə enerjsinə malikdir.  $\sigma$ -elektronların rabitə enerjesi 59 kkal/mol,  $\pi$ -elektronlarındakı isə 41 kkal/mol-dur.  $\sigma$ -elektronlarla əlaqədar keçiricilik az ehtimallıdır. Çünkü  $\sigma$ -elektronların sərbəstləşməsi üçün 8eV enerji tələb olunur və bu proses molekulun parçalanması ilə gedir. Molekul daxilində elektron keçiriciliyi yalnız bağlı rabitələrin mövcudluğu şəraitində baş verə bilər. Polimer yarımkəçiricilərdə əlaqəli zəncirlərin uzunluğu artıqca elektrik keçiriciliyi artır. Bir-biri ilə rabitədə olan molekullarda  $\pi$ -elektronların sayı N – olarsa, aktivləşmə enerjisi

$$E_{ak} = \frac{h^2}{8m^*l} \frac{N+1}{N^2} \quad (4.27)$$

ifadəsi ilə təyin olunur. Burada  $l$  – molekulların əmələ gətirdiyi zəncivari hədqələrin uzunluğuudur.

Temperaturun yüksəlməsi ilə keçiricilik

$$\sigma_T = \sigma_0 e^{-\frac{E_{ak}}{KT}} \quad (4.28)$$

qanunu ilə artır.  $E_{ak}$  – aktivləşmə enerjisi  $0,02 \div 1,7 \text{eV}$  intervallında dəyişir.

Üzvi yarımkəçiricilərdə daxili və ventil fotoeffekt hadisələri müşahidə olunur. Aromatik birləşmələrin metallarla kontaktda foto-e.h.q. yaranır. Bu növ materiallarda fotokeçirilik işığın intensivliyinin və temperaturun yüksəlməsi ilə artır və müəyən spektral xarakteristikaya malikdir. Üzvi yarımkəçiriciyə oksigen daxil etməklə onun fotokeçiriliyini artırmaq olur.

#### § 4.21. Bərk üzvi yarımkəçiricilərin təsnifatı

Bərk üzvi yarımkəçiriciləri molekulyar kristallar, molekulyar və metalüzvi komplekslər, polimer yarımkəçiricilər və piqmentlər kimi qruplara ayırməq olar.

**Molekulyar kristallara** çoxsilsiləli az molekullu aromatik birləşmələr daxildir. Azmolekullu yarımkəçiricilərin fərqləndirici xüsusiyyəti onların kristalllığı və ikiqat rabitəli aromatlı həlqəli sistemə malik olmasıdır. Belə birləşmələrə antrasen, naftalin, fenantren, perilen, koronen, violantron və s. daxildir. Bu sinifə daxil olan materiallar p-tip keçiriciliyə və  $1 \div 3 \text{eV}$  tərtibində aktivləşmə enerjisiniə malikdir. Onlarda sərbəst yükdaşıyıcıların yüyürüklüyü və xüsusi elektrik keçiriciliyi çox kiçikdir.

**Molekulyar komplekslərin** əsas xüsusiyyəti onların çoxsilsiləli azmolekullu birləşmələr olması və molekullar arasındakı əlaqənin elektron qarşılıqlı təsiri ilə təyin edilməsidir. Molekulyar komplekslər molekulyar kristallara nisbətən böyük elektrik keçiriciliyinə malikdir. Bu birləşmələrdə molekulların biri elektronu özünə birləşdirdiyi halda, ikincisi onu verə bilir ki, bu da akseptor-donor tipli birləşməyə uyğun gəlir. Bir molekuldan digərinə yükün verilməsi nəticəsində ion rabitəsi yaranır. Donor xüsusiyyəti naftalinə, pirenə, perlene, iolantrən aromatlı birləşmələrə, akseptor xüsusiyyəti isə tetrasianetilenə, brom və yoda xasdır. Donor və akseptor molekuları arasındaki nisbət yarımkəcəricinin xassələrinə təsir edir. Molekulyar komplekslər öz quruluşlarına görə laylı və bütöv olur. Məsələn, halogenin aromatlı kompleksi bütöv, antrasenin qələvi metallarla birləşməsi isə laylı quruluşa malik olur.

**Metalüzvi komplekslər** qrupuna mərkəzində metal atomu yerləşən azmolekullu maddələr daxildir. Belə birləşmələrdə aktivləşmə enerjisi  $1\text{ eV}$  tərkibindədir. Sərbəst yükdaşıyıcıların yüyürlüyü isə  $10^2\text{ sm}^2/\text{V}$  sanə çata bilir. Əsas yükdaşıyıcıları deşiklərdir. Xüsusi elektirik keçiriciliyi  $10^{-13}\div10^{-9}\text{ Om}^{-1}\cdot\text{m}^{-1}$  aralığında qiymətlər alır. Metal-üzvi komplekslər polimerləşmə xüsusiyyətinə malikdir.

Polimer yarımkəcəricilərin azmolekullu birləşmələrdən fərqləndirici xüsusiyyəti onların uzun əlaqəli zəncivari makromolekula və mürəkkəb fiziki-kimyəvi quruluşa malik olmasına dair. Əlaqəli zəncirlərin uzunluğunun artması onların keçiriciliyinin böyüməsinə və aktivləşmə enerjisinin kiçilməsinə səbəb olur. Çoxsaylı polimer yarımkəcərici birləşmələr qrupuna hetero- və metal silsiləli əsas zəncirlər, asılılıq əlaqəli sistemlər və əlaqəli zəncirlərdə aromatik nüvəli polimerlər daxildir.

## § 4.22. Yarımkeçirici materialların alınması

Yarımkeçiricilərin fiziki xassələri, ilk növbədə onlardakı kənar maddələrin idarə olunmayan atom və molekullarının (aşqarların) miqdarı ilə təyin olunur. Elektron texnikasında istifadə edilən meteriallarda belə idarə olunmayan aşqarların konseñtrasiyasından asılı olaraq, onlardan hazırlanmış cihazların parametrləri əhəmiyyətli dərəcədə fərqlənir. Bu səbəbdən də yarımkeçiricilərin tərkibindəki idarə olunmayan, eləcə də məqsədyönüli daxil edilmiş aşqar atomlarının paylanması məsələsi əsas texnoloji problemlərdəndir.

Hal-hazırda yarımkeçiricilərin alınması üçün müxtəlif texnoloji üsullardan istifadə olunur. Bunlardan biri də zona əritmə üsulu ilə yarımkeçirici materialların təmizlənməsi və ərintidən dərtılma yolu ilə monokristalların alınmasıdır. Ərimiş halda olan maye zonanı çubuqşəkilli germanium və ya silisium külçəsi boyunca hərəkət etdirməyə başladıqda aşqar atomları maye faza ilə birlikdə hərəkət edərək, çubuğun o biri başına çatdıqda temperatur aşağı salınır. Nəticədə maye zona bərk hala keçir və aşqarlar bu hissədə qalır. Prosesi bir neçə dəfə təkrar etməklə germanium və silisiumu kənar kimyəvi elementlərin atomlarından kifayət qədər yüksək dərəcədə təmizləmək olur. Bu zaman maye faza zonasını əldə etmək üçün xüsusi konstruksiyalı yüksəktekzlikli qızdırıcıdan istifadə edilir.

Germanium və silisiumun zona əritmə üsulu ilə təmizlənməsi yalnız istifadə edilən çubuqşəkilli şaquli və ya üfüqi vəziyyətdə yerləşdirilməsi ilə fərqlənir. Germaniumdan silindrik formada düzəldilmiş külçə üfüqi vəziyyətdə qrafit tiqeldə tərpənməz vəziyyətdə yerləşdirilir. Yüksəktekzlikli qızdırıcı 50-100 mkm/s sürətlə həmin külçə boyunca hərəkət edir. Maye faza zonasının eni 40-50 mm arasında dəyişir. Təmizlənmiş germanium külçənin uzunluğu 1 m və ondan böyük ola bilər. Əməliyyat hidrogen mühitində aparılır.

Germaniumdan fərqli olaraq, silisium qrafitə qarşı reaksiya verir. Buna görə də silisium üçün əməliyyat təsirsiz qaz

mühitində tiqelsiz şaquli vəziyyətdə aparılır. Maye silisiumun səthigərilmə əmsali böyük olduğundan, bütün proses ərzində maye fazası zonası öz formasını saxlayır. Hər iki halda alınmış materialın keyfiyyəti onun xüsusi elektrik müqavimətinin ölçülməsi ilə müəyyən edilir.

Mükəmməl quruluşlu germaniumun monokristalinin alınması üçün ərintidən kristalın dərtulması üsulundan istifadə olunur. Bu məqsədlə içərisində  $10^{-4}$  Pa tərtibində vakuum yaradılmış və ya qoruyucu qaz mühiti olan kamerada xüsusi formalı qrafit qızdırıcıının içərisində kvarts qab yerləşdirilir. Həmin qabın içərisində maye halda olan germaniumun bütün həcmində temperatur sabit saxlanılır.

Müəyyən kristalloqrafik istiqamətdə yönəldilmiş germanium monokristal külçə xüsusi formalı silindrşəkilli milin ucunda yerləşdirilərək, uc hissəsi maye halda olan germanium ərintisinə salınır və müəyyən müddətdən sonra ona fırlanma hərəkəti verilərək kiçik sürətlə yuxarıya doğru qaldırılır. Maye haldakı ərintidən yuxarıya doğru dərtulan hissə, kameranın temperaturu aşağı olan hissəsinə daxil olduqda bərkivərək seçilmiş monokristal halına keçir. Bu halda yuxarıya doğru dərtma sürgəti  $10^{-5}$ - $10^{-4}$  m/san aralığında dəyişə bilər. Dərtulan külçənin diametrini ərintinin temperaturunu dəyişməklə idarə etmək mümkündür. Monokristal külçənin diametrinin külçə boyunca sabit qalması üçün ərintinin temperaturu onda bir dərəcə dəqiqliklə sabit saxlanmalıdır. Bu üsul ilə diametri 10 sm-ə qədər olan germanium monokristal külçələri əldə etmək mümkündür. Monokristalın dərtulması zamanı onun aşqarlanması prosesini də həyata keçirmək olar. Bunun üçün ərintiyə tələb olunan miqdarda aşqar maddəsi əlavə etmək lazımdır. Əksər hallarda n-tip germanium almaq üçün sūrmədən, p-tip germanium almaqdan ötrü isə qalliumdan istifadə olunur. Bu üsulla, silisium monokristalını da almaq olur.

Yarımkeçirici birləşmələrin (mürəkkəb yarımkəçiricilərin) alınma texnologiyası elementar (bəsət) yarımkəçiricilərin

alınma texnologiyasından yalnız onların əlavə olaraq sintezi əməliyyatı ilə fərqlənir. Mürəkkəb yarımkəcicilərin sintezdən sonrakı texnologiyası (təmizlənmə, aşqarlanması, monokristalın göyərdilməsi) elementar yarımkəcicilərin texnologiyası ilə demək olar ki, eynidir.

#### § 4.23. Yarımkəciri strukturların hazırlanması

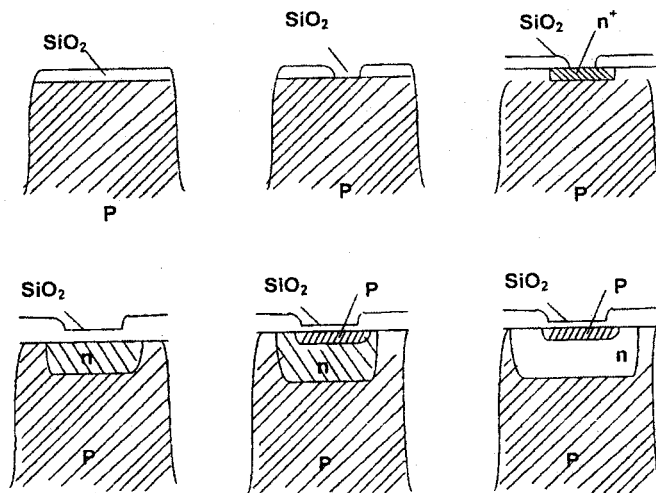
Yarımkəciri cihazların böyük əksəriyyəti p-n keçidlər əsasında düzəldilir. Bu p-n keçidlərin alınma üsullarından biri, ərintidən dartılma prosesində yarımkəciri monokristalın aşqarlanmasıdır. Beləki, əvvəlcə ərintidən n-Ge monokristalı dərtlər və müəyyən müddətdən sonra həmin ərintiyə yüksək dərəcədə aşqarlanmış p-Ge əlavə edilir. Prosesin sonunda eyni bir külçədə onun oxu boyunca bir-birini əvəzleyən (ardıcıl) n- və p-tip oblastlar yarandığından p-n keçidlər əmələ gəlir. Başqa bir üsul isə, ərintinin aşqarlanmasıının təkcə ondakı aşqarın miqdərindən deyil, həm də monokristalın ərintidən dartılma sürətindən asılı olmasına əsaslanır. Maye və bərk fazada yarımkəcicidəki aşqarların paylanması əmsalının qiyməti akseptor aşqarları ilə müqayisədə donor üçün daha böyük olur. Əgər ərintidə donor aşqarları akseptorlara nisbətən çox olarsa, yavaş dərtləmdə monokristalda n-tip oblast, sürətli dərtləmdə isə p-tip oblast yaranır. Bu xüsusiyət imkan verir ki, dərtləmə sürətini ardıcıl olaraq artırıb-azaltmaqla alınmış monokristal külçədə onun oxu boyunca bir-birini əvəz edən n- və p- hissələrin yaranması təmin edilsin. p-n keçidi əritmə üsulu ilə də almaq mümkündür. Məsələn, n-tip germanium lövhə üzərində indium yerləşdirilir və onlar birlikdə vakumda  $500^{\circ}\text{C}$ -ə qədər qızdırılır. Ərimiş germanium lövhəsi üzərində kiçik oblastda indium ərin-tisi əmələ gəlir. Təkrar soyudulma prosesində germaniumda kristallaşma başlıqdır onun qəfəsinə indium atomları girir, bu da p-tip oblastın əmələ gəlməsinə səbəb olur. Beləliklə, n- və p-tip germanium oblastları arasında p-n keçid yaranır.

p-n keçidin alınması üçün geniş tətbiq tapmış daha bir üsul donor və akseptor atomlarının əsas materiala diffuziyasına əsaslanır. Diffuziya prosesinin baş vermesi üçün tozlandırma üsulu və ya yüksək temperaturda qaz fazasının köməkliyilə yarımkəçirici lövhə üzərində akseptor və donor aşqarlarının nazik qatını yaratmaq lazımdır. Bu zaman verilmiş forma və ölçüdə p-n kecid əldə etmək üçün xüsusi maskalardan istifadə olunur.

İnteqral sxemlərin elementləri yaradılarkən tranzistor, diod, rezistor, kondensator və digər elementlər yarımkəçirici oblastın müxtəlif yerlərində alınır. İnteqral sxemlərdə başlıca olaraq silisiumdan istifadə edilir. Bunun üçün qalınlığı 0,25 mm olan lövhələr hazırlanıqdan sonra, onları ardıcıl mərhələlərlə cıtlamaq, pardaxlamaq, təmizləmək, kimyəvi aşılamaq, yumaq və qurutmaq lazımdır. Alınmış oblastları bir-birindən təcrid etmək üçün aralıqların yaradılması əsas amillərdən biridir. Bu məqsədlə maskalamadan istifadə olunur. Silisiumun maskalanması üçün əksər hallarda onun səthini oksigen və ya su buxarı mühitində termik oksidləşdirirlər. Bu zaman silisiumun səthində qalındığı bir neçə on mikron tərtipində olan  $\text{SiO}_2$  örtüyü yaranır. Belə örtüklər donor və akseptor aşqarlarının diffuziyası üçün keçilməz olur. Fotokimyəvi iüssulla turşuya davamlı  $\text{SiO}_2$  qatları yaradılır. Bundan sonra  $\text{SiO}_2$  maskası ilə qorunmayan qat flüorit turşusu vasitəsilə kənarlaşdırılır. Əmələ gəlmış aralıqlardan aşqarlar silisiuma daxil edilir. Aşqar komponentləri olaraq bor (akseptor) və fosfordan (donor) istifadə edilir. Diffiziya  $1200^0$ - $1300^0$  C-də aparılır və diffuziya sürəti olduqca böyük olmaqla yanaşı, həm də başqa oblastlara keçmir. İnteqral sxemlərin alınmasında ikipilləli sxemlərdən istifadə olunur (şəkil 4.16). Əvvəlcə aşqar çox da böyük olmayan dərinliyə diffuziya edir və yüksək dərəcəli aşqarlaşma oblastı «+» simvolu ilə işaretə olunur.

Silisium əvvəlcə hava mühitində  $1200^0$  C-də oksidləşdirilərək səthində qoruyucu  $\text{SiO}_2$  qatı yaradılır. Bu qoruyucu qatın

mövcudluğu silisiumun səthini korlamadan uzun müddətli diffuziya aparmağa imkan verir. Sonradan həmin proseslərin ardıcıl təkrar edilməsi p-n-p keçidini almağa imkan verir.



**Şəkil 4.16**

İkipilləli diffuziya zamanı p-n-p keçidinin integral sxemdə alınmasının  
sxematik təsviri

# V F Θ S İ L

## NANOMATERIALLAR

Nanometr ( $10^{-9}$ m) tərtibli ölçülərdə maddənin xarakterik xüsusiyyətlərindən istifadə edilməsi elektronika, materialşunaslıq, kimya, mexanika, eləcə də elmin və texnikanın digər sahələri qarşısında yeni imkan və perspektivlər açır. Belə materialların alınması və onların əsasında müxtəlif strukturların yaradılması ilə məşğul olan sahə nanotexnologiya adlanır. «Nano» önlüyünü əlavə etməklə, miqyası milyard dəfə dəyişmək olar. Nanotexnologiya, müasir texnologiya və üsulların yığımının 1-100 nm miqyasında ayrı-ayrı atom və molekullarla manipulyasiya aparılmasına imkan yaradır ki, bu da onun əsasını təşkil edir.

Nanotexnologiya yeni sahə olsa da, nanometrik ölçülu struktur və qurğular Yer kürəsində canlı aləmin yaranması zamanından mövcuddur. Belə ki, dəniz balıqqulağının zirehini iç tərəfdən, təbaşir nanozərrəciklərinin xüsusi zülal karbohidroğende həll edilməsi nəticəsində yaranan pərdə örtür. Bu da həmin zirehin xaricində hər hansı bir səbəbdən yaranan çatın daxilə keçməsinin qarşısını alır. Bu xüsusiyyət nanozərrəciklər-lə formallaşan strukturun daha böyük möhkəmliyə malik olması ilə əlaqədardır.

Yeni eranın dördüncü yüzilliyində Romada şüşə emalı zamanı metal nanozərrəciklərdən istifadə edilməsi alınan məhsulun adı şüşələrdən kəskin fərqlənməsini təmin etmişdir. 1857-ci ildə ingilis fiziki Maykl Faradey metal nanozərrəciklərin rəngli şüşələrin alınmasında rolunu aşkar etməyə cəhd göstərmişdir. Lakin ilk dəfə 1908-ci ildə nanozərrəciklərin ölçüsündə asılı olaraq, şüşələrin rənginin dəyişməsini Qustav Mi izah etmişdir.

1959-cu ildə məşhur amerikan fiziki, Nobel mükafatı laureatı Riçard F. Feynman «Aşağıda yerlər çoxdur» mövzusunda mühazirəsində atomları tək-tək istənilən nizamlı qaydada

düzməklə yeni növ maddənin alınması, bundan 40 il sonra isə Erik K.Dreksler özünün məşhur «Yaradıcı maşın» əsərində «molekulyar maşın» qurğusunun yaradılması ideyasını irəli sürmüştür. Drekslerin xəyalən yaratdığı qurğunun ölçüsü bioloji hüceyrənin ölçüsündən çox kiçikdir.

1980-ci ildən başlayaraq, tranzistor və lazerlərin istehsalında qalınlığı 10 nm olan süni nazik təbəqələrdən istifadə edilməsi nəticəsində, yüksək texniki xarakteristikalara malik qurğuların hazırlanmasına başlanıb. IBM firmasının əməkdaşları tərəfindən ayırdedici qabiliyyəti atom ölçüləri tərtibində olan skaynerləyici tunel mikroskopunun yaradılması atom miqyasında müşahidələr aparmağa imkan yaratmışdır. Bu isə öz növbəsində nanometr diapazonunda eksperimental texnikanın inkişafı, mikroaləm və nanoobjektlər haqqında anlayışların genişlənməsinə səbəb olmuşdur.

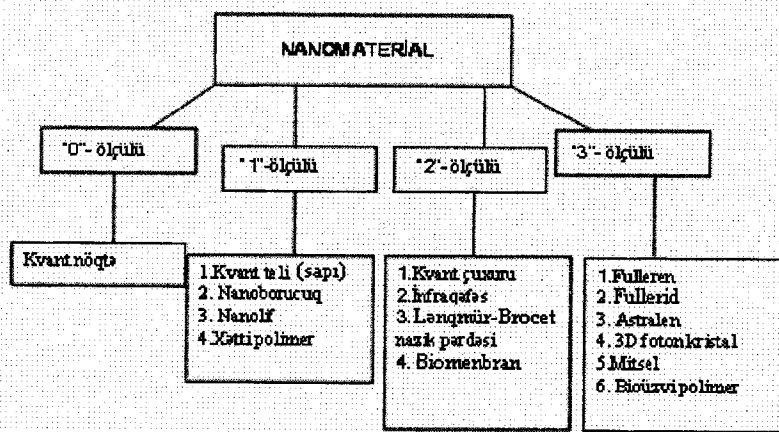
1990-ci ilə kimi informasiya texnologiyası elektronikanın əsas hissəsi olduğu halda, bundan sonra yeni bir istiqamətin - bioinformasiya texnologiyasının yaranmasının əsası qoyuldu. XXI əsrin ilk illərindən başlayaraq, insan orqanizmi ilə əlaqədar olan genetik informasiyanın oxunulmasının mümkün olması, öz növbəsində yeni prinsip əsasında müalicə dərmanlarının hazırlanmasına imkan yaratdı. Çox güman ki, gələcək illərdə müalicə dərmanları hər bir xəstə üçün fərdi qaydada hazırlanacaq və fundamental tədqiqatlar molekulyar səviyyədə aparılacaqdır.

Qeyd etmək lazımdır ki, indi bu yönümdəki işlər iki istiqamətdə - nanoelm və nanotexnologiya istiqamətində aparılır.

### § 5.1. Nanomaterialların təsnifikasi

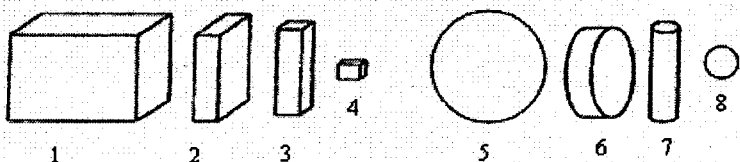
Nanomateriallar elə maddələrə və ya kompozitlərə deyilir ki, onların baza elementləri nanometrlik xarakterik ölçüyə malik olub, süni və ya təbii nizamlı, yaxud da nizamsız düzülüşə malik olmaqla, materialda miqyas faktoru ilə müəyyənləşən və əvvəl məlum olmayan mexaniki, kimyəvi, elektrofiziki, optik,

eləcə də istilikfizi ki xassələri özlərində daşımış olsun. Nano-materiallara verilən bu tərifə əsasən, onları aşağıdakı sxem üzrə qruplara ayırmaq olar:



### § 5.2. Kvant çuxuru, kvant naqili və kvant nöqtəsi

Istənilən materialın forması onun üç həndəsi ölçüsü ilə müəyyən olunur. Makroskopik cismin ölçüləri tədricən kiçildilməyə başlanılsa, onun xassələrində dəyişiklik müşahidə olunmur. Lakin ölçülər 100 nm-dən kiçik olduqda cismin xassələrində kəskin dəyişmələr baş verir. Bu üç həndəsi ölçünün müəyyən qayda ilə dəyişməsindən asılı olaraq, material kvant çuxuru, kvant teli (sapı) və kvant nöqtəsi adlanır. Əgər baxılan materialdan hazırlanmış nümunənin bir istiqamətdə ölçüsü nanometr diapazonunda, digər ölçüləri isə kifayət qədər böyük olarsa, belə material **kvant çuxuru adlanır**. Nümunənin iki istiqamətdə ölçüsü nanometr miqyasında olub, üçüncü ölçüsü böyük qalarsa, onda həmin nümunə **kvant teli (sapı)** adlanır. Hər üç ölçüsü nanometr diapazonunda olan material isə **kvant nöqtəsi** adlanır. Şəkil 5.1-də bu təsnifatın düzbucaqlı və əyri-xətli həndəsədə sxematik təsviri verilmişdir.



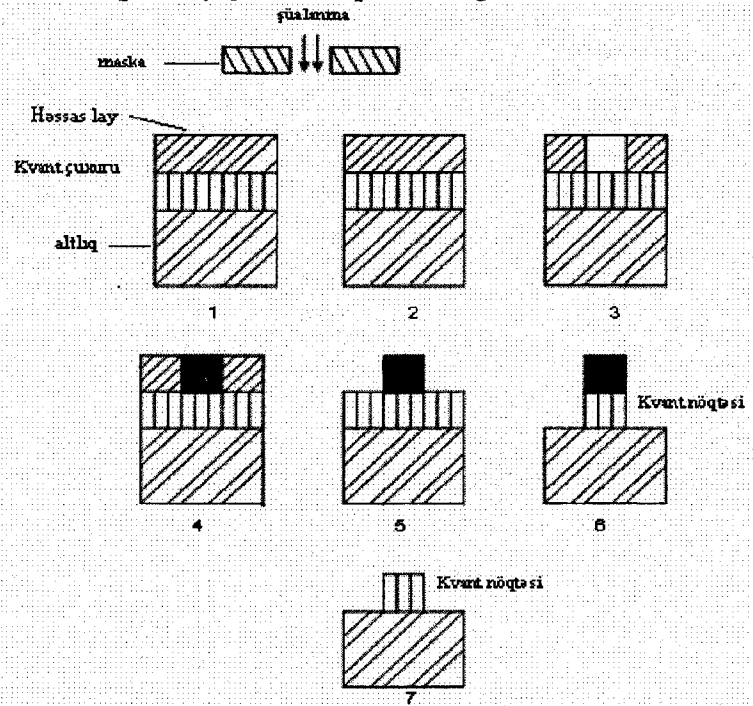
Şekil 5.1

Şekilde 1 ve 5 təsvirləri düzbucaqlı və əyrixətli həndəsədə nümunənin makroskopik formasına, 2; 6; 3; 7; və 4, 8 təsvirləri isə kvant çuxuru, kvant naqili və kvant nöqtəsinə uyğun gəlir.

Ayrı-ayrı atom və molekullardan istifadə edərək nizamlı quruluş yaratmaq konsepsiyası «sağdan-yuxarıya yaxınlaşma» adlanır. Bu yaxınlaşmanın katalitik kimyəvi reaksiya vəsiyyətisilə həyata keçirmək mümkündür. Bu proses bioloji sistemlərdə geniş yayılıb və bu zaman katalizator adlanan fermentlər aminturşularını toplayaraq canlı hüceyrələri formalasdır.

Bu konsepsiyanın əksi olan yuxarıdan aşağıya yaxınlaşma konsepsiyası isə nanoquruluşun formalasmasını aparmağa imkan verir. Belə yaxınlaşmada makromiqyashlı obyektin və strukturun ölçüləri tədricən kiçildilməyə başlayır və proses nanoölçülərə qədər davam etdirir. Bu prosesin daha geniş yayılmış növü litoqrafiyadır. Prosesin əsas mərhələləri (Şəkil 5.2) ardıcıl olaraq aşağıdakı kimi həyata keçirilir. İlk növbədə nümunənin səthi radasiyaya həsas materialla əksər hallarda  $[C_5O_2H_8]_n$  polimetilmetakrilatla örtülür. Sonra səthin lazımı yeri nanostrukturunu almaq üçün sürətli elektronlar dəstəsi ilə şüalandırılır. Bunun üçün maskadan və ya səthin istənilən yerinə düşən elektron selini skaynerləşdirməkdən istifadə edilir. Xüsusi kimyəvi aşılıyicının köməyi ilə şüalandırılmış hissə həll olunur (aşılanmış hissə aradan qaldırılır). Həssas hissədə alınmış çuxur maska ilə örtülür. Sonrakı mərhələlərdə maska aşilanma yolu ilə aradan götürülür və nəticədə tələb olunan nanostruktur əldə edilir. Bu nanostruktur kvant nöqtəsi və ya

kvant naqili ola bilər. Elektron şúa litoqrafiyası ilə yanaşı, neytral atomlar selindən ibarət olan litoqrafiyanın digər növlərin-dən də (məsələn, Li, Na, K, Rb, Cs) istifadə etmək olar. Litoqrafiyadan istifadə edərək daha mürəkkəb nanostrukturlar yaradıla bilər. Buna misal olaraq çoxsaylı kvant çuxurlarını və kvant nöqtələri yiğimini (toplusunu) göstərmək olar.



**Şəkil 5.2.**  
Elektron-şúa litoqrafiyası ilə kvant nöqtəsinin formalasması mərhələlərinin sxematik təsviri.

- 1 – altlıq üzərində kvant çuxurunun qoruyucu təbəqə ilə örtülməsi;
- 2 – nümunənin maska vasitəsilə şüalandırılması;
- 3 – şüalanmış həssas hissənin kimyevi üsulla (aşilanmaqla) həll edildikdən sonra alınmış konfiqurasiyasi;
- 4 – növbəti aşılınma üçün maskanın formalasması;
- 5 – həssas qoruyucu lay kənar edildikdən sonra nümunənin vəziyyəti;
- 6 – kvant çuxurunun bir hissəsini aşıladiqdan sonra nümunənin vəziyyəti;
- 7 – maskanı aradan götürdükdən sonra nanoquruluşlu kvant nöqtəsinin təsviri;

Alınmış kvant nanostrukturlu materialların parametrlərinə ölçülər kəskin təsir göstərir. Bu təsir ölçü effekti adlanır. Onu  $A^{III}B^V$  birləşmələri tipli yarımkə-çiricilərdən biri olan GaAs-ın timsalında nəzərdən keçirək. GaAs yarımkəçirici birləşməsinin kristal qəfəsinin parametrinin  $a = 0,565 \text{ nm}$  olduğunu nəzərə alsaq, elementar qəfəsin həcmi  $V_0 = a^3 = (0,565 \text{ nm})^3 = 0,180 \text{ nm}^3$  olar. Nanometrlik kubik qəfəsdəki atomların sayı 22-yə bərabər olduğu halda, tərəfi  $10 \text{ nm}$ -ə bərabər olan kvant nöqtə  $5,56 \cdot 10^{23}$  elementar qəfəs-dən ibarətdir. Əgər verilmiş kvant nanostruktur  $n$  sayda laydan ibarətdirsə, o,  $n^3$  sayda özəkdən təşkil olunur. Layların sayı ( $n$ ) məlum olarsa, səthdəki atomların sayı ( $N_s$ ), atomların tam sayı ( $N_t$ ) və kubun  $d$  tərəfi uyğun olaraq:

$$N_s = 12n^2, \quad N_t = 8n^3 + 6n^2 + 3n, \\ d = na = 0,565n$$

kimi təyin olunur.

Bu zaman  $n$ -in ala biləcəyi qiymətlərdən asılı olaraq  $N_s$ ,

$N_t$ ,  $d$  və  $\frac{N_s}{N_t}$ -in qiymətləri cədvəl 5.1-də verilmişdir. Cədvəldən görünür ki,  $n$ -in kiçik qiymətlərində səthdə olan atomların faizlə miqdarı böyükdür. Bu fakt nanostrukturlu və həcmi materialların müxtəlif xassələrə malik olmasının göstəricisidir.

Digər bir ölçü effekti, yarımkəçiricilərin aşqarlanması ilə bağlıdır. Belə ki,  $100 \text{ nm}$  ölçülü kvant nöqtəsində donor atomlarının konsentrasiyası  $10^{14} \div 10^{16} \text{ sm}^{-3}$  olduqda, keçiricilik elektronlarının sayı  $10^{-1} \div 10^3$  tərtibində olur.

Kvant nöqtəsində  $10^{-1}$  sayıda elektronların olması o deməkdir ki,  $10$  kvant nöqtəsindən yalnız birində keçirici elektron ola bilər. Aşqarların konsentrasiyası  $10^{18} \text{ sm}^{-3}$  olduqda tərəfi

10 nanometr olan kubşəkilli kvant nöqtəsinə bir elektron düşür. Aşqarların konsentrasiyasının  $10^{14} \text{ sm}^{-3}$  qiymətində isə kvant nöqtəsində elektronun olması ehtimalı çox kiçikdir. Analoji olaraq kvant teli və kvant çuxuru üçün aparılmış təhlil cədvəl 5.2-də verilmişdir. Buradan görünür ki, belə kvant strukturlarında cərəyanın yaranmasında çox sayıda elektronlar iştirak edir.

*Cədvəl 5.1*

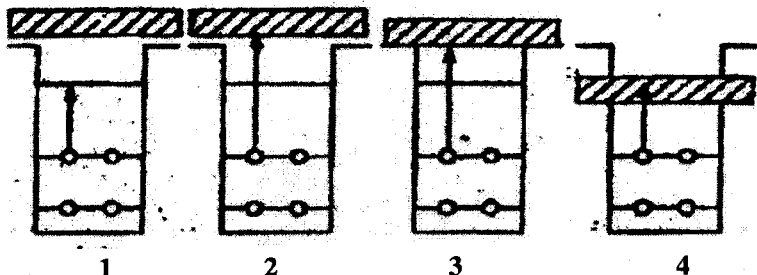
Layların sayı (n)	$n \cdot a(nM)$	Atomların tam sayı	Səthdə olan atomların sayı ( $N_s$ )	Səthdə olan atomların faizlərə miqdari ( $N_s/N_V$ )
2	1,13	94	48	51,1
3	1,70	279	108	38,7
4	2,26	620	192	31,10
5	2,83	1165	300	25,8
6	3,39	1962	432	22
10	5,65	8630	1200	13,9
15	8,48	$2,84 \cdot 10^4$	2700	9,5
25	14,1	$1,29 \cdot 10^5$	7500	5,8
50	28,3	$1,02 \cdot 10^6$	$3 \cdot 10^4$	2,9
100	56,5	$8,06 \cdot 10^6$	$1,2 \cdot 10^3$	1,5

*Cədvəl 5.2*

Kvant quruluşu	Ölçü	Elektronların miqdari	Ölçü	Elektronların miqdari
Həcmli materiallar	-	$10^4 \div 10^{16} \text{ sm}^{-3}$	-	$10^{12} \div 10^{16} \text{ sm}^{-3}$
Kvant çuxuru	Qalınlığı 10 nm	$1 \div 10^4 \text{ mkm}^{-2}$	Qalınlığı 100nm	$10 \div 10^5 \text{ mkm}^{-2}$
Kvant teli	$10 \times 10 \text{ nm}$ en kəsikli	$10^{-2} \div 10^2 \text{ mkm}^{-1}$	En kəsiyi 100x100 nm	$1 \div 10^4 \text{ mkm}^{-1}$
Kvant nöqtəsi	Tərəfi 10 nm	$10^{-4} \div 1$	Tərəfi 100 nm	$10^{-1} \div 10^3$

Kvant nanomateriallarından infraqırmızı şüalanma detektorlarının, yarımkəçirici lazerlərin və tranzistorların hazırlanmasında istifadə olunur.

Kvant nöqtəsində enerji səviyyələri arasında keçid infraqırmızı diapazona uyğun gəldiyindən, ondan infraqırmızı şüalanma fotodetektoru kimi istifadə etmək olar. Belə tip fotodetektorların dörd tipinin sxemi şəkil 5.3-də göstərilib.

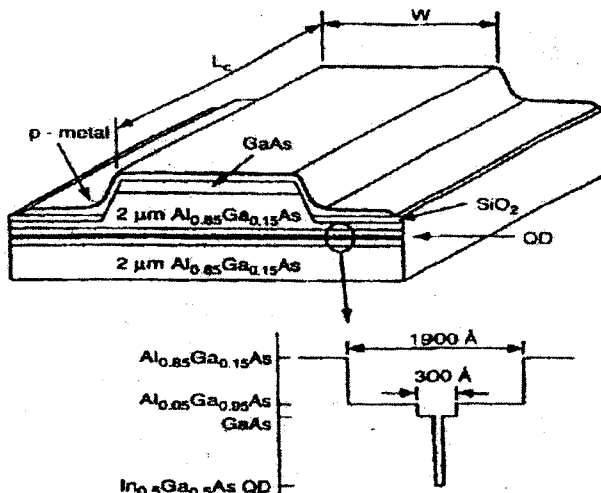


Şəkil 5.3.

Şəkildəki ştrixlənmiş hissə yarımkəcəricinin keçirici zonasını göstərir. Dolmuş və boş lokal hallar çuxurda yerləşmiş üfüqi xətlərlə, infraqırmızı şüaların təsiri ilə baş verən keçid isə şaquli oxla göstərilmişdir. İnfraqırmızı şüalar elektronları keçirici zonaya keçirir və bu zaman yaranan elektrik cərəyanının qiyməti infraqırmızı şüalanmanın intensivliyinin ölçü meyarı olur. Belə detektorların həssaslığı bir vatt şüalanma gücünə düşən cərəyan şiddəti ilə (amper/vt) müəyyən olunur, işi diapazonu isə  $8,5 - 10 \text{ mkm}$  dalğa uzunluğu intervalında yerləşir.

Kvant nanomaterialı əsasında işləyən lazerlər diskret spektral səviyyələrin olmasına əsaslanır. Şəkil 5.4-də  $n - GaAs$  əsasında hazırlanmış kvant nöqtəsi lazerinin quruluşu təsvir olunmuşdur. Metal lövhə onun altında yerləşən  $GaAs$  layı ilə təmasda olur və elektrod rolunu oynayır. Bu elektrodlə aşağı altlıq arasında qalınlığı  $2 \text{ mkm}$  olan bir cüt  $Al_{0,85}Ga_{0,15}As$  lövhə, onların arasında isə şüalanmanı xaricə yönəltmək üçün  $A_{0,05}Ga_{0,95}As$ -dan  $190 \text{ nm}$  qalınlıqlı dalğa kanalı (dalğaötürən) yerləşdirilir. Dalğaötürənin mərkəzində

qalınlığı  $30\text{ nm}$  olan  $\text{GaAs}$  hayatı və həmin  $\text{In}_{0.5}\text{Ga}_{0.5}\text{As}$  əsasında hazırlanmış 12 monolaydan ibarət kvant nöqtəsi yerləşir. Lazer şüalanmasının dalğa uzunluğu spektrin yaxın infraqrırmızı oblastında yerləşib,  $1,32\text{ }\mu\text{m}$ -ə bərabərdir.

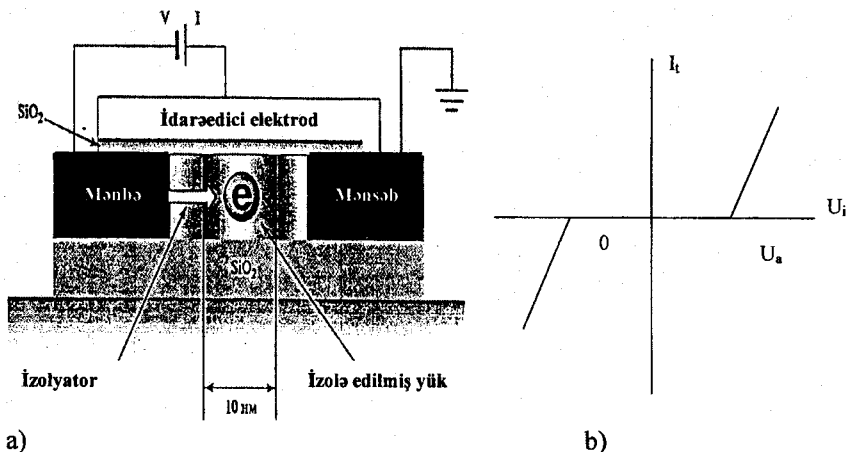


Şəkil 5.4

Kvant materiallarının tətbiq olunduğu digər bir sahə birelektronlu tranzistordur.

**Birelektronlu tranzistor** bir elektronu idarə etməklə elektrik dövrəsini açıb-bağlayan dəyişdirici qurğu rolunu oynayır. Mövcud tranzistorlarda yüz minlərlə elektronun seli idarə olunduğundan, onlar bir elektronlu tranzistorlara nisbətən dəfələrlə çox enerji sərf edir.

Bir elektronlu tranzistor iki metal lövhənin arasında yerləşdirilmiş çox nazik (nanometr tərtibli qalınlığa malik) tədricedici laydan ibarətdir. Elektron bir elektroddan digərinə bu tədricedici laya tunel etmək yolu ilə keçə bilir. Bir elektronlu tranzistorun işçi volt-amper xarakteristikası (a) və sxemi (b) şəkil 5.5-də təsvir edildiyi kimiidir.

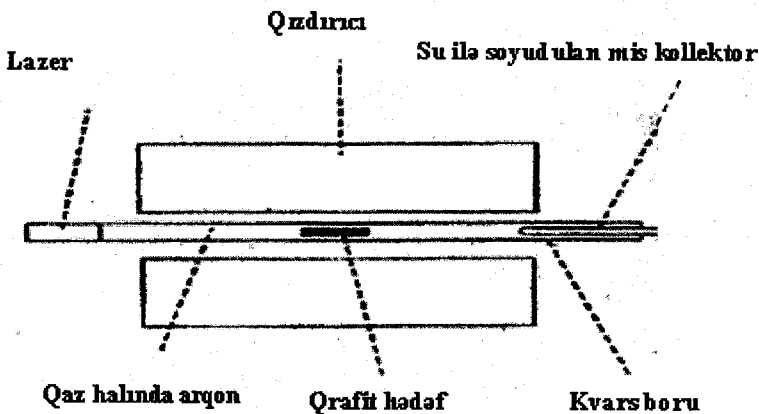


Şəkil 5.5

Burada  $I_t$  -tunel cərəyanı,  $U_i$  -idarəedici gərginlik,  $U_a$  isə minimal astana gərginliyidir. Gərginliyin  $U_a$  qiymətindən başlayaraq dövrədə cərəyan yaranır.

### § 5.3. Nanoborucuqlar

Geniş tətbiq sahəsinə malik olan nanoborucuqlar nanostrukturlu materiallar sırasında ən ön yerlərdən birində durur. Nanoborucuğu silindr formasında bükülmüş qrafit vərəqinə bənzətmək olar. Birqatlı nanoborucuqların uzunluğu 100 mikron olub, diametri  $2 - 20 \text{ nm}$  arasında dəyişir. Nanoborucuqların fizikasından və tətbiq sahələrindən danışmazdan əvvəl, onların alınma texnologiyası ilə tanış olaq. Şəkil 5.6-da lazer buxarlandırma üsulu ilə nanoborucuqların alındığı qurğunun sxemi verilmişdir.



Şəkil 5.6

İçərisində qaz halında argon, qrafit hədəf və su ilə soyudulan kollektor yerləşən kvars boru  $1200^{\circ}\text{C}$ -ə kimi qızdırılır. Nanoborucuğun əmələ gəlməsi üçün qrafit hədəfin tərkibinə katalizator rolunu oynayan az miqdarda kobalt və nikel daxil edilir. Qrafit hədəfin üzərinə yüksək intensivlikli lazer şüası düşdükdə o buxarlanır. Arqon seli bu buxarı yüksək temperaturlu zonadan soyudulan mis kollektora daşıyır. Qrafit buxarı mis kollektorun üzərinə çökərək nanoborucuq əmələ gətirir. Bu üsul ilə uzunluğu 100 mikron və diametri  $10 - 20\text{nm}$  olan borucuqlar əldə etmək olur.

Nanoborucuqları, həmçinin diametri  $5 - 20\text{mm}$  və aralarındakı məsafə isə  $1\text{mm}$  olan qrafit elektrodlu qövs vasitəsilə də sintez etmək mümkündür. Bu məqsədlə həmin elektrodlara  $20 - 25\text{V}$  gərginlik tətbiq edilərək 500 tor təzyiqli helium axınlında yerləşdirirlər. Müsbət elektroddan karbon atomları uçaraq mənfi elektrodun üzərində nanoborucuq yaradır. Birqat nanoborucuqlar almaq üçün müsbət elektrodun mərkəz hissəsinə müəyyən miqdarda katalizator rolü oynayan kobalt, nikel və yaxud dəmir əlavə edilir. Katalizatordan istifadə edildikdə çox-

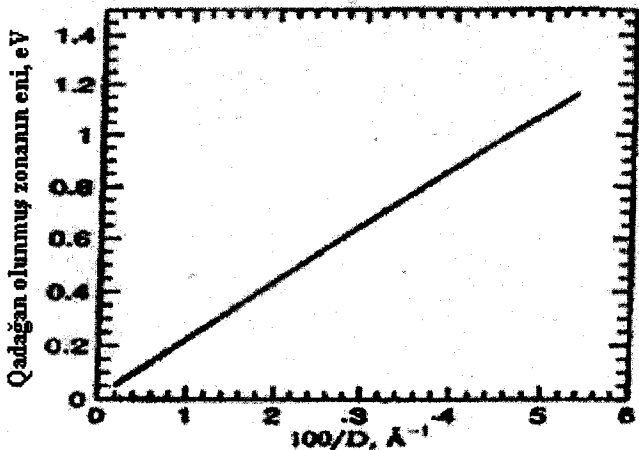
qatlı nanoborucuqlar alınır. Qövs üsulu ilə diametri  $1 - 5\text{ mm}$  və uzunluğu  $1\text{ mkm}$  olan nanoborucuqlar alınır. Kimyəvi çök-dürmə üsulu ilə də nanoborucuqlar almaq mümkündür. Bu üsulun mahiyyəti, qaz şəklində olan karbohidrogenin yüksək temperaturda parçalanması nəticəsində əmələ gələn sərbəst karbon atomlarının tərkibində müxtəlif katalizatorlar olan allığıın üzərinə çökməsindən ibarətdir.

Nanoborucuqların sintezi zamanı müxtəlif xarakterli və xüsusi elektrik keçiriciliyi fərqlənən borucuqların qarışığı alınır. Qarışq dəstəni ayırməq üçün silisium allığı üzərinə çök-dürdükdən sonra onların səthini tozlanma yolu ilə metal elektrodlə örtürlər. Altlıqdan elektrod kimi istifadə etməklə sistemə çox da böyük olmayan gərginlik tətbiq etdikdə, yarımkəçirici borular qapanaraq izolyatora çevirilir. Sonra metal elektrodlara yüksək gərginlik tətbiq edib, metal nanoborucuqlarda böyük cərəyan yaratmaqla onları buxarlandırmış olur.

Karbonlu nanoborucuqlar müxtəlif atom quruluşlarına malik olduqlarından onların xassələri də bir-birindən fərqlənir.

#### § 5.4. Nanoborucuqların elektrik və mexaniki xassələri

Nanoborucuqların ən maraqlı xassələrindən biri onların diametrindən və quruluşundan aslı olaraq metal və yarımkəçirici ola bilməsidir. Sintez nəticəsində alınan qarışq tipli nanoborucuqların üçdə biri metal, üçdə ikisi isə yarımkəçirici xassəsinə malik olur. Metal borucuqlar kresel quruluşuna malikdir. Şəkil 5.7-də yarımkəçiricinin qadağan olunmuş zonasının eninin nanoborucuğun diametrinin tərs qiymətindən asılılığı verilmişdir. Şəkildən göründüyü kimi, borucuğun diametri böyüdükcə yarımkəçiricinin qadağan olunmuş zonasının eni kiçilir. Nanoborucuqların elektron quruluşunu öyrənmək üçün skannerləyici tunel mikroskopundan istifadə olunur.

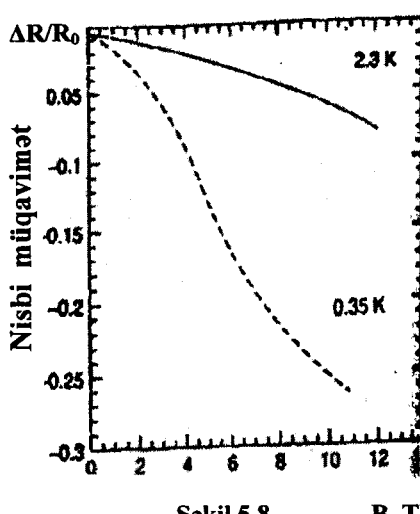


Şəkil 5.7

Metal nanoborucuqların elektrik keçiriciliyi olduqca böyükdür. Hesablamlar göstərir ki, onların hər kvadrat santimetrdən milyard amper cərəyan keçə bilər. Mis məftillərin hər kvadrat santimetrindən milyon amper cərəyan keçdikdə ayrılan Coul istiliyi naqili əridir. Nanoborucuqların yüksək keçiriciliyə malik olmasının səbəbi onlarda elektronların səpildiyi defectlərin sıxlığının az olmasıdır. Nanoborucuqlar həm də böyük istilik keçiriciliyinə malikdir.

Sabit maqnit sahəsinin təsiri altında maddənin elektrik müqavimətinin dəyişməsinə **maqnitorezistiv effekt** deyilir. Karbonlu nanoborucuqlar aşağı temperaturlarda maqnitorezistiv xassəyə malikdir. Nanoborucuğun müqavimətinin nisbi dəyişməsinin  $2,3K$  və  $0,35K$ -də xarici maqnit sahəsindən asılılıq qrafiki şəkil 5.8-də təsvir edilmişdir. Müşahidə olunan bu effekt mənfi maqnitorezistiv effekt adlanır. Yəni maqnit sahəsinin intensivliyi artdıqda borucuğun müqaviməti azalır, keçiriciliyi isə artır. Bu effekt maqnit sahəsinin təsiri altında elektronların spiralvari hərəkəti zamanı yeni enerji səviyyələri-

nin yaranması ilə əlaqədardır. Bu səviyyələr Landau səviyyələri adlanır və ən yuxarı dolmuş səviyyəyə yaxın yerləşir.



Şəkil 5.8      B, Tl

İstənilən materialın mexaniki xassələrinin göstəricisi onun möhkəmliyi və elastikliyini xarakterizə edən  $E$  -Yunq moduludur. Yunq modulunun qiyməti böyük olduqca, materialın elastikliyi kiçik olur. Məsələn, poladın Yunq modulu rezininkindən 30000 dəfə böyükdür. Nanoborucuqların Yunq modulu  $1,28 \div 1,87 Pa$  intervalında dəyişir. Poladın Yunq modulu  $0,217 Pa$  bərabər olduğundan, nanoborucuğun Yunq modulu poladından on dəfə çoxdur.

Karbonlu nanoborucuqlar əyilmədə olduqca elastikidir. Onlar saman çöpü kimi əyilə bilir, lakin qırılmır. Bir çox materiallar deffektli olduqlarına görə, əyilmə zamanı qırılır. Nanoborucuqlarda deffektlərin sıxlığı çox kiçikdir. Buna görə də onlarda qırılma baş vermir. Məlumdur ki, tutma gərginliyi möhkəmlik hündüru ilə müəyyən edilir. Birqat nanoborucuqlar üçün möhkəmlik hündüru  $45 QPa$  olduğu halda, polad ərintiləri  $2 QPa$ -da dağılır. Beləliklə, nanoborucuqlar poladdan 20 dəfə

möhkəmdir. Çoxlaylı nanoborucuqların mexaniki xarakteristikaları poladinkindən yaxşı olsa da, birlaylı nanoborucuqlarının kından kiçik olur. Məsələn, diametri  $200\text{ nm}$  olan çoxlaylı nanoborucuğun möhkəmlik hündüdu  $0,007\text{ TPa}$ , Yunq modulu isə  $0,6\text{ TPa}$  -dır.

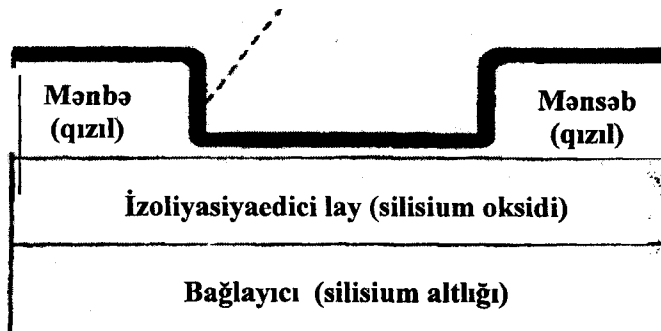
### § 5.5. Nanoborucuqların tətbiq sahələri

Nanoborucuğun oxu boyunca çox da böyük olmayan elektrik sahəsi tətbiq edilərsə, onun uclarından elektronların intensiv emissiyası baş verər. Sahə emissiyası adlanan bu hadisə asanlıqla müşahidə oluna bilir. Bunun üçün biri nanoborucuqlardan hazırlanmış kompozit pasta üzərinə çəkilmiş parallel elektrodlar arasında müəyyən xarici gərginlik yaradılır. Bu zaman nanoborucuq elektrodlara kifayət qədər perpendikulyar istiqamətdə qalır ki, bu da sahə emisiyasını müşahidə etməyə imkan verir. Baxılan effektin başlıca tətbiq sahələrindən biri, müstəvi panel displaylərin təkmilləşdirilməsidir. Televizorlarda və kompyüterlərdə lüminensiyaedici ekranları şüalandırmaq üçün idarə olunan elektron topundan istifadə edilir. Koreyanın Samsunq korporasiyasında karbon nanoborucuqlarında baş verən elektron emissiyasından istifadə etməklə müstəvi displaylər hazırlanmışdır. Bunun üçün nanoborucuqlardan hazırlanmış nazik təbəqə idarəedici elektronika ilə birlikdə layın arasında yerləşdirilir və o, üzərinə lüyuminefor çəkilmiş şüə qatı ilə örtülür. Yapon firmalarından biri, elektron emissiyası effektindən vakuum işıqlandırıcılarında istifadə edərək, adı gözərmə lampalarında olduğu kimi, parlaqlıq əldə etmiş, lakin bu işıqlandırıcılar daha effektli və uzunmüddətli olmuşdur. Bu effektdən istifadə etməklə, mikrodalğa şüalanma generatorları hazırlamaq da mümkündür.

Yüksək elektrik keçiriciliyinə malik nanoborucuqlar elektronaqnit dalğalarını pis buraxdıqından, onlardan hazırlanmış

kompozitli pasta elektromaqnit şüalanmasını ekranlaşdırmaq üçün istifadə edilə bilən ən perspektivli materialdır.

### Karbonlu nanoborucuq



Şəkil 5.9

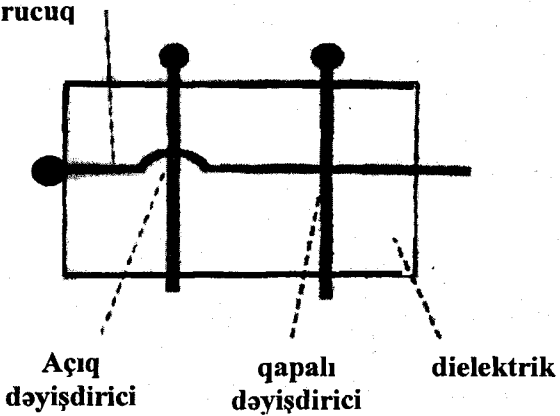
Yarımkeçirici karbonlu nanoborucuq əsasında hazırlanmış sahə tranzistoru kompüterlərdə əsas dəyişdirici element rolunu oynayır. Belə qurğunun sxemi şəkil 5.9-da göstərilmişdir. Silisium altlıqlı bağlayıcıya müəyyən kiçik xarici gərginlik tətbiq etdikdə nanoborucuq mənbədən mənsəbə doğru cərəyan axır. Bu sistem cərəyan axlığı zaman bağlı, əks halda isə açıq olur. Aşkar edilib ki, bağlayıcıya tətbiq olunan xarici gərginliyin kiçik qiymətlərində belə nanoborucuğun keçiriciliyi  $10^6$  dəfəyə qədər artır.

Bu da silisium əsasında hazırlanmış sahə tranzistorundakı qiymətə uyğun gəlir. Belə qurğunun qoşulma (işə düşmə) müdafiəti çox kiçik olduğundan, onun takt tezliyi təqribən  $10^9$  Hz-ə bərabər olur. Bu da hal-hazırda mövcud olan prosessorlardan 1000 dəfə sürətlidir. Mənbə və axarı birləşdirən nanoborucuğun diametri təqribən 1 nanometr tərtibindədir. Ölçünün belə kiçik olması gələcəkdə çipin (çıxış elektrodlarsız və gövdəsiz hazır yarımkəcərıcı cihaz və ya mikrosxemin) daxilində çoxlu

sayda dəyişdiricilərin yerləşdirilməsinə imkan verir. Belə çiplərin daxilində birləşdirici naqillərdən istifadə olunması bir sırə problemlər yaradır. Belə ki, naqillərin en kəsikləri kiçik olduğundan onların müqaviməti böyükdür. Bu səbəbdən də həmin naqillərdən cərəyan keçdikdə güclü Coul qızması baş verir. Bunun nəticəsində də naqil əriyir və ya buxarlanır. Lakin nanoborucuqların müqaviməti kiçik və istilikkeçirməsi yüksək olduğundan onlardan naqil kimi istifadə edərək bu problemi aradan qaldırmaq olar.

Yeni kompyuterlərin hazırlanmasının digər bir üsulu, altlıq üzərində nanoborucuqlar yerləşdirildikdən sonra, onların üzərində bir-birindən müəyyən məsafədə olmaqla perpendikulyar istiqamətdə digər nanoborucuq yığıımı (dəstəsi) yerləşdirməkdir. Bu halda hər bir nanoborucuq metal elektrodla birləşdirilir. Bu ideyaya uyğun sxem şəkil 5.10-da göstərilmişdir. Sxemdəki kəsişmə nöqtələri dəyişdirici rolunu oynayır.

### Karbonlu nanoborucuq



Şəkil 5.10

Kəsişmə nöqtələrində nanoborucuqlar bir-birinə toxunmadıqda onların arasında müqavimət böyük olduğundan, dəyişdirici açıq, həmin nöqtələrdə nanoborucuqlar bir-birinə to-

xunduqda isə müqavimət kiçik olduğundan, dəyişdirici-qapalı olur. Qapalı-açıq halını nanoborucuqdan axan cərəyan vasitəsi ilə idarə etmək mümkündür. Hesablamalar göstərir ki, çipin hər kvadrat santimetrdə  $10^{12}$  belə element yerləşdirmək mümkündür. Belə dəyişicilərin sürəti mövcud çiplərin sürətindən 100 dəfə böyük ola bilər.

Əgər yarımkəcərici nanoborucuq aşağıda, metal nanoborucuq isə yuxarıda yerləşərsə və onlar bir-biri ilə toxunarsa, onda bu iki nanoborucuğun arasında metal-yarımkəcərici keçidi yaranır. Belə keçid cərəyanı bir istiqamətdə buraxdıqından ondan düzləndirici kimi istifadə etmək olar.

Nanoborucuqlardan litium batareyalarının hazırlanmasında və hidrogenin saxlanması istifadə etmək olar. Bir çox batareyalarda litium yükdaşıyıcısı olduğundan onu nanoborucuğun daxilində yerləşdirmək olar. Hesablamalar göstərir ki, borucuqda hər altı karbon atomuna uyğun bir litium atomu yerləşdirmək və bunun nəticəsində yüksək keyfiyyətli batareya əldə etmək mümkündür.

Nanoborucuqlarda hidrogenin yiğilması və saxlanması imkan verir ki, onlardan gələcəkdə avtomobil lərə yanacaq mənbəyi elementi kimi istifadə olunsun. Belə yanacaq mənbəyi elementi iki elektroddan və xüsusi elektrolitdən ibarətdir. Elektrolit hidrogen ionunu özündən buraxdığı halda, elektronları buraxmir. Hidrogen anoda doğru hərəkət edərək ionlaşır və elektrolitdən katoda diffuziya edir. Elektronlar isə xarici dövrə vasitəsilə katoda doğru hərəkət edir. Burada hidrogen ionları, elektronlar və oksigen birləşərək su molekulunu əmələ gətirir.

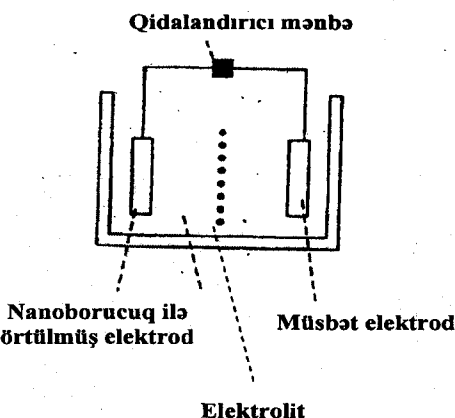
Belə sistemdə hidrogen mənbəyinin olması lazımdır. Bu problemi nanoborucuqlarda hidrogenin saxlanması ilə həll etmək olar.

Nanoborucuqlar öz çəkisinin 6,5%-i qədər hidrogen udarsa, bu yüksək nəticə hesab olunur. Hal-hazırda əldə edilən ən yüksək göstərici 4%-dir.

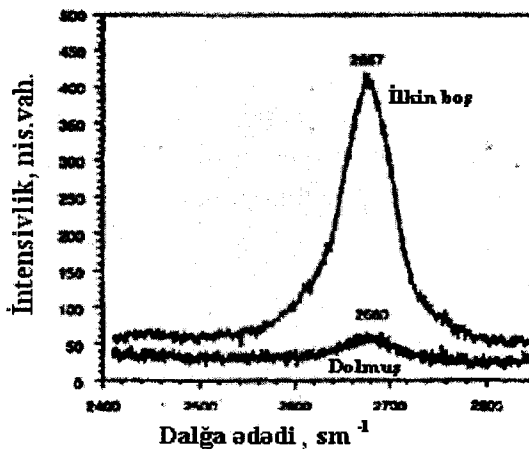
Nanoborucuqların hidrogenlə doldurulması elektrokimyəvi özək vasitəsilə həyata keçirilir (şəkil 5.11).

Bu zaman, bir laylı nanoborucuq təbəqədən silindrik formada elektrod hazırlanır və KOH məhlulunun içərisində yerləşdirilir. Həmin məhlul elektrolit, nanoborucuq isə mənfi elektrod roluunu oynayır. Digər elektrod  $\text{Ni}(\text{OH})_2$  əsasında düzəldilir. Elektrolitin tərkibindəki su parçalanaraq müsbət hidrogen ionları ( $\text{H}^+$ ) yaradır və həmin ionlar nanoborucuqdan düzəldilmiş elektroda doğru hərəkət edir.

Nanoborucuqda hidrogenin mövcud olması düşən şüanın Raman səpilmə intensivliyini təyin etməklə aşkar edilir (şəkil 5.12).



Şəkil 5.11

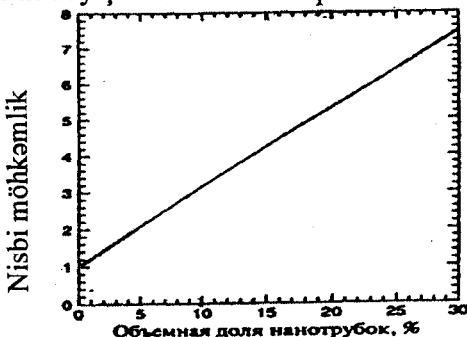


Şəkil 5.12

## § 5.6. Mexaniki möhkəmləndirmə

Poliakrilnitil uzun karbonlu lif olub, plastik kompozitlərin möhkəmliyini artırmaq üçün istifadə edilir. Diametri 1–10 mkm olan poliakrilnitilinin qırılmaya qarşı möhkəmliyi  $7 \cdot 10^9$  Pa tərtibindədir. Möhkəmliyi artırmaq üçün bu liflərdən istifadə edərkən onların bərabər paylanması və seçilmiş istiqamətdə yönəldilməsi başlıca tələblərdən biridir. Kompozit materialların effektiv möhkəmliyinin əsas göstəricisi olan parametrlər qırılmaya qarşı möhkəmlilik, liflərin uzunluğunun diametrinə olan nisbəti, eləcə də matrisada deformasiya olunma xüsusiyyətidir. Qırılmaya qarşı möhkəmliyin və lifin uzunluğunun diametrinə olan nisbəti böyük olan kompozitlər elektron texnikası üçün daha əlverişli material sayılır. Aparılmış tədqiqatlar göstərir ki, polipropilenə çəki hesabı ilə 11,5%-ə qədər diametri 0,2 mkm olan karbonlu nanoborucuq əlavə etdikdə onun qırılmaya qarşı möhkəmliyi iki dəfə böyür. Alüminiuma 5%-ə qədər nanoborucuq əlavə etdikdə isə onun möhkəmliyinin ikiqat artması ilə yanaşı, kimyəvi davamlığı da xeyli yüksəlir. Hesablamlalar vasitəsilə müəyyənləşdirilmişdir ki, borucuğun materialda çəki hesabı ilə 10% optimal paylanması təmin etmək mümkün olsa, onun qırılmaya qarşı möhkəmliyi 10 dəfə artar.

Poladın əsas komponentlərindən biri olan dəmirlə karbonlu nanoborucular möhkəm rabitə yaratdıından onun qırılmaya qarşı möhkəmliyini kəskin artırmaq mümkündür. Şəkil 5.13-də diametri 10 nm və uzunluğu 100 mkm olan nanoborucuların poladın həcmində düşən dozasından asılı olaraq qırılmaya qarşı möhkəmliyinin dəyişməsinin nəzəri qrafiki verilmişdir.



Şəkil 5.13. Nanoborucuğun həcmi dozası, %

Bu hesablama Kelli-Tayson tənliyinə əsasən, aparılmışdır. Qrafikdən göründüyü kimi, karbonlu nanoborucuğun həcmi dozası 30%-ə çatıqdə onun möhkəmliyi 7 dəfəyə qədər yüksəlmiş olur.

Göstərilən faktlara mənfi təsir göstərən başlıca amillerdən biri nanoborucuqda laylar arasında və ayrı-ayrı dəstələrdə liflərin sürüşmələrinin mövcud olmasıdır. Digər tərəfdən, nanoborucuqların atomar hamarlanması onları bərkidir, materiala yapışmasını zəiflədir.

Nanoborucuqların digər tətbiq sahəsi onlardan kimyəvi sensorlar və katalizator kimi istifadə edilməsidir.

### § 5.7. Həcmi nanoquruluşlu materiallar

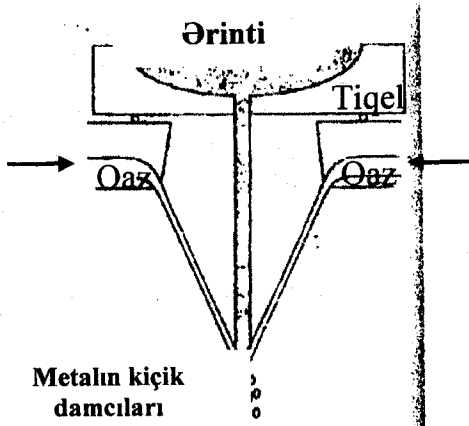
Nanoölçülü quruluşa malik bərk cisimlərə **həcmi nanoquruluşlu materiallar** deyilir. Həcmi nanoquruluşları əmələ gətirən quruluş elementləri nizamsızlıqla yanaşı, həm də heç bir simmetriyaya malik deyil. Belə materiallar kompakt, sürətli bərkimə, qazla atomlaşdırma və galvanik üsullarla alınır.

**Kompakt üsulu** ilə  $Cu - Fe$  nanoquruluşlu ərinti almaq üçün əvvəlcə tərkibi  $Fe_{85}Cu_{15}$ -dən ibarət olan mis və dəmir tozu qarışığı 15 saat ərzində otaq temperaturunda küre dəyirmanında qarışdırılır. Sonra alınmış material əvvəlcə volfram karbid ştampında 24 saat ərzində  $10^9 Pa$  təzyiqdə, otaq temperaturunda, bundan sonra isə  $400^\circ C$ -də 30 dəqiqə ərzində  $870 MPa$  təzyiq altında sixılır. Alınan materialın sixlığı ilkin məsaməsiz materialın sixlığının 99,2%-ni təşkil edir. Onu təşkil edən zərrəciklərin ölçüsü 20-70 nm arasında dəyişsə də, əksəriyyətinin ölçüsü 40 nm ətrafında olur. Bu yolla alınmış həcmi nanoquruluşlu materialın dağılması  $2,8 \cdot 10^9 Pa$  mexaniği gərginliyə uyğun gəlir ki, bu da zərrəciklərinin ölçüsü 50-100 mikron olan dəmirinkindən 5 dəfə böyükdür. Nanokristal

metalların və ərintilərin əldə edilməsi onların tətbiq sahələrinin genişlənməsinə imkan yaradır.

Nanoquruluşlu materialların alınması üçün tətbiq edilən **sürətlə bərkimə üsulunun** mahiyyəti isə aşağıdakı kimidir. Metal yüksək tezlikli qızdırıcı vasitəsi ilə xüsusi körükdə əridilərək müəyyən istiqamətdə ətrafa püskürdürlür. Bu ərinti seli daxildə soyudulan və inert qaz atmosferində fırlanan diyircəyin üzərinə buraxılır. Bu prosesdə qalınlığı 10 və 100  $\mu\text{m}$  olan zolaq və ya lent formalarında material alınır. Alınmış həmin bu materialın quruluşu körüyün ölçüsündən, forsunkadan diyircəyə qədər olan məsafənin qiymətindən, körükdəki ərintinin təzyiqindən və metal diyircəyin fırlanma sürətindən asılıdır. Bu üsulla tərkibi 85 -94% alüminiumdan və Y, Ni, Fe əlavələrin-dən ibarət ərinti əldə edilir.

**Qazla atomlaşdırma üsulu** maye metalin yüksək sürətli təsirsiz qaz axını vasitəsilə soyudulmasına əsaslanır. Bu prosesin həyata keçirildiyi qurğunun sxemi şəkil 5.14-də təsvir olunur.



Şəkil 5.14

Bu üsulda qaz şırnağı ərimiş halda olan metalla qarşılıqlı təsirdə olduqda öz kinetik enerjisini metala verdiyindən, nazik

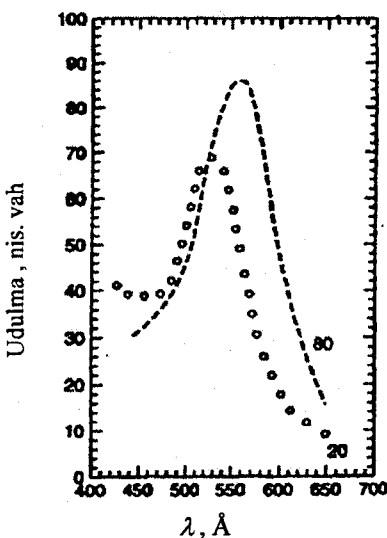
dispers damcılar əmələ gelir. Təsvir olunan üsul böyük miqyasda nanoquruluşlu tozun, sonuncu isə öz növbəsində isti sixma yolu ilə həcmi nanoquruluşlu materialın alınmasına imkan verir.

Nanoquruluşlu materialları **galvanik üsulla** almaq üçün  $CuSO_4$ - gøy daş (mis kuporosu) məhluluna iki elektrod daxil edərək, həmin elektrodlara gərginlik verilir. Bu zaman mənfi yüksü titən elektrodu üzərində nanoquruluşlu mis qatı əmələ gelir. Bu üsul ilə qalınlığı  $2\text{ mm}$  olan mis lövhə alına bilir və həmin lövhədəki mis nanozərrəciklərinin ölçüsü  $27\text{ nm}$  tərtibində olur.

### § 5.8. Optik şüşələrdə metallik nanoklasterlər

Hələ qədim zamanlardan məscid və kilsələrdə tərkibində nanoölçülü metal zərrəcikləri olan şüşələrdən rəngli naxışlar və şəkillərin hazırlanmasında istifadə edilirdi. Tərkibində müəyyən miqdarda nanoklasterlər olan şüşələr qeyri-adi optik xassələrə malik olur və bu da onların geniş tətbiqinə imkan yaradır. Maksimal optik udulmaya uyğun dalğa uzunluğu şüşənin rəngini müəyyən etməklə yanaşı, metal zərrəciyinin ölçüsündən və tipindən də asılıdır.

Optik spektrin görünən oblastında  $SiO_2$  şüşəsinə daxil edilən qızıl nanozərrəciklərinin ölçülərinin həmin şüşənin optik udulma spektrinə təsiri şəkil 5.15-dəki qrafiklə



Şəkil 5.15

təsvir olunur. Nanozərrəciyin ölçüsü  $80\text{ nm}$ -dən  $20\text{ nm}$ -ə qədər dəyişdikdə optik udulmanın spektral paylanmasıın maksimumu qısa dalğalar oblastına tərəf sürüsür. Belə spektr metal nanozərrəciklər sistemində «plazma udulması» ilə əlaqədardır.

Yüksək tezliklərdə metallarda keçirici elektron qazı özünü plazma kimi aparır. Ionlaşmış elektroneytral qazda mənfi yük mütəhərrik elektronlar, müsbət yük isə hərəkətsiz atom qəfəsi ilə bağlıdır. Əgər ölçüləri maddənin üzərinə düşən işığın dalğa uzunluğundan kiçik olan klasterlər, həcmidə elə səpələniliblərsə ki, onların arasındaki qarşılıqlı təsiri nəzərə almamaq mümkün olsun, onda elektromaqnit dalğaları elektron plazmasını rəqsə gətirir. Sonuncu isə öz növbəsində düşən şuanı udur. U dulma əmsalının dalğa uzunluğundan asılılığını bilmək üçün Mayem nəzəriyyəsində istifadə etmək olar. Bu nəzəriyyəyə görə şəffaf mühitdəki kiçik sferik metal zərrəcikləri üçün  $\alpha$ -udulma əmsali:

$$\alpha = \frac{18 \pi N_s V n_0 \varepsilon_1^3}{\lambda (\varepsilon_1 + 2 n_0^2)^2} . \quad (5.1)$$

Burada  $N_s$  -həcmi  $V$  -olan kürələrin konsentrasiyası,  $\varepsilon_1$  və  $\varepsilon_2$  kürənin dielektrik nüfuzluğunun uyğun olaraq, həqiqi və xəyalı hissələri,  $n_0$  -udulma olmayan mühitin sindirma əmsali,  $\lambda$  -isə işığın dalğa uzunluğuudur.

Metallaşdırılmış kompozit şüşələr nəzərəcarpacaya qiyəmətə malik üçüncü tərtib qavrayıcılığa malik olur. Bu isə həmin şüşələrdə n-sindirma əmsalının işığın I-intensivliyindən

$$n = n_0 + n_2 I \quad (5.2)$$

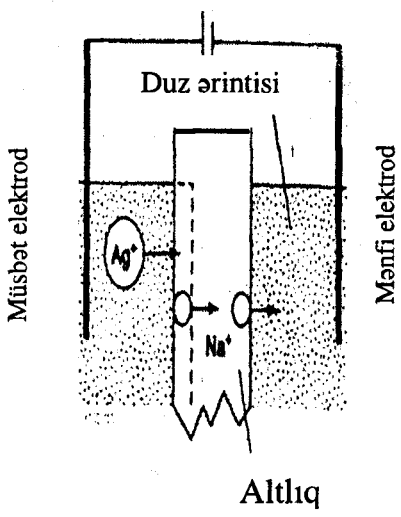
şəklində asılılığına gətirir.

Qeyri-xətti optik effektlərdən fotonlu kompyüterlərdə əsas işçi elementlərdən biri olan optik açarların hazırlanmasında istifadə edilə bilər.

Metallaşdırılmış kompozit şüşə ilk vaxtlar ərintiyə metal zərrəcikləri əlavə etməklə alınmışdır. Lakin bu zaman şüşənin

xassələrini istənilən şəkildə idarə etmək mümkün olmur. Hal-hazırda tətbiq edilən ion implantasiya üsulu texnologiya prosesini arzu olunan şəkildə idarə etməyə imkan verir. Bu üsulun əsas mahiyyəti, şüşənin enerjisi  $10\text{ keV} - 10\text{ MeV}$  aralığında dəyişə bilən implantasiya olan metal atomlarından ibarət ion dəstəsi ilə işlənməsindən ibarətdir.

### **Qidalanma mənbəyi**



**Şəkil 5.16**

elektroda (katoda) diffuziya etdiyi halda, özündə gümüş ehitiyatı olan elektrolitdən gümüş ionları şüşənin səthinə diffuziya edir.

Şüşəyə metal zərrəciyin daxil olması üçün ion mübadiləsindən də istifadə edilir. Belə bir qurğunun sxemi şəkil 5.16-da göstərilmişdir.

Bu prosesdə şüşələrin hamısının səthindəki birvalentli natrium ( $\text{Na}$ ) atomu gümüş ionu ilə əvəz edilir. Bunun üçün şüşə özəyinin allığı elektrodlar arasında yerləşən düz ərintisi içərisində yerləşdirilir və elektrodlar xarici sabit gərginlik mənbəyinə qoşulur. Şüşədə olan natrium ionları mənfi

### **§ 5.9. Məsaməli silisium**

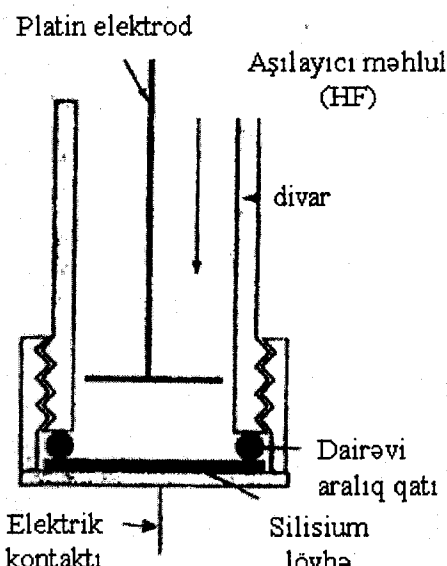
Silisium lövhəsini elektrokimyəvi üsulla aşıladiqda onda məsamələr əmələ gəlir. Aşılanma prosesinin aparıldığı şəraitdə dəyişməklə həmin məsamələrin ölçülərini nanometr tərtibinə getirmək mümkündür. Belə materiallara maraq otaq temperatu-

runda onlarda maksimumu  $0,96$  və  $1,20\text{ eV}$ -a uyğun gələn flüressensiya şüalanmasının müşahidə olunması ilə bağlıdır. Bu maksimumlar otaq temp eraturunda təqribən silisiumun qadağan olunmuş zonasının eninə ( $1,125\text{ eV}$ ) uyğundur. Belə flüoresensiya elektronların qadağan olunmuş zonanı keçməsi ilə əlaqədardır. Lakin işığın təsiri ilə  $300\text{ K}$ -də  $1,4\text{ eV}$ -dən enerji-dən böyük enerjili lüminensiya baş verir və onun spektrində maksimal şüalanmanın yeri aşilanma müddəti ilə müəyyən olunur. İşlənmə texnologiyasının təkmilləşdirilməsi fotoaktiv silisiumdan yeni displeylərin və optoelektron cütlərinin hazırlanmasında istifadə etməyə imkan verir.

Fotoaktiv silisium alındığı qurğunun sxemi şəkil 5.17-də təsvir edilmişdir.

İşlənməyə hazırlanan material alüminium konteynerin dibində yerləşdirilir. Konteynerin divarı aşılıyıcı kimi istifadə olunan flüorit turşusuna (HF) davamlı polietilen və ya teflon ilə örtülür. Platin elektrodları müsbət elektrod rolu oynayan silisium lövhəsi arasında potensiallar fərqi yaratmaq üçün onlar xarici gərginlik mənbəyinə qoşulur.

Məsamələrin xarakteristikası elektrolitdə olan HF-nin konsentrasiyası, elektrolitdən axan cərəyanın şiddəti və elektrodlara verilən gərginliyin işarəsindən asılıdır. Aparılan təcrübələr nəticəsində aşkar edilmişdir ki, məsamələrin ölçüsü silisiumun



Şəkil 5.17

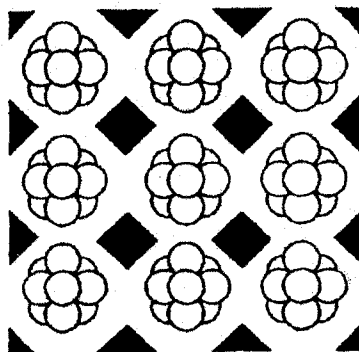
keçiricilik tipindən də asılıdır. P-tip silisiumu aşılıyanda ölçüsü  $10\text{ nm}$ -dən kiçik olan nazik məsamələr qrupu yaranır.

### § 5.10. Nanoquruluşlu kristal materiallar

Təbiətdə elə obyektlərə rast gəlmək olur ki, onlar nano-kristal quruluşa malikdir. Belə obyektlərə misal olaraq 20 üzlü ikosaedrik quruluşa malik on iki atomlu bor klasterini göstərmək olar. Bərk borun bir neçə kristal fazası mövcuddur ki, burada  $B_{12}$ -klasteri quruluş elementi rolunu oynayır. Belə fəzalardan biri, elementar qəfəsində 50 atom olan tetraqonal simmetriyaya malik aralıq bor atomları vasitəsilə birləşən dörd ikosaedrik  $B_{12}$ -klasterindən ibarətdir. Deyilənlərdən göründüyü kimi, bərk cismən kristal quruluşunu atom və ionlar deyil, atomlardan ibarət olan klasterlər əmələ gətirir. Belə klaster quruluşuna malik bərk cisimlər maraqlı xassələrə malik olur.

Bəzi nəzəri hesablamalar qabaqcadan nanoklasterli kristalların mövcud olması haqda fikir irəli sürməyə imkan verir. Buna misal olaraq,  $Al_{12}C$ -klasteri əsasında qurulması mümkün olan kristal birləşməni göstərmək olar. Hesablamalar göstərir ki,  $Al_{12}C$  (alüminium silikat-seolit) quruluşlu kristal birləşmənin qadağan olunmuş zonasının eni  $0,05\text{ eV}$  olub, yarımkəcəricilik xüsusiyyətinə malikdir.

Seolitlərdə nanozərrəciklərin nizamlı düzülüşünü yaratmaqla, kristal quruluşu formalasdırmaq mümkündür. Seolitlərlər kubik quruluşa malik olub, məsaməli materiallardır



Şəkil 5.18

və bu məsamələr daxildə kəsilməz nizamlı paylanır. Məsamələr kifayət qədər böyük olduğundan onlarda klasterlər yerləşdirmek mümkündür. Şəkil 5.18-də seolitdə klasterlərin yerləşdirilməsinin sxemi təsvir edilmişdir.

Seolitdəki məsamələr ərimiş halda olan maddələrlə doldurulur. Bu yolla işlənmiş seolit özünü kiçik ölçülü nanoquruşluşa malik cisim kimi aparır.

Fotonika üçün istifadə edilən kristalların daxilində dielektrik zərrəcikləri bir-birindən görünən işığın dalğa uzunluğununa bərabər məsafədə yerləşərək, qəfəs strukturu yaradır. Belə kristallar maraqlı optik xassələrə malikdir.

## VI FƏSİL

### MAQNİT MATERİALLARI

#### § 6.1. Maddənin maqnitlənməsini xarakterizə edən parametrlər

Maddəni xarici maqnit sahəsinə daxil etdikdə o maqnitlənərək, sıfırdan fərqli maqnit momentinə malik olur və özü maqnit sahəsi yaradır. Maddənin maqnitlənməsini xarakterizə edən əsas parametrlərdən biri  $\vec{J}$  - maqnitlənmə vektorudur. Maqnitlənmə vektoru cismin vahid həcmindəki elementar maqnit momentlərinin cəminə bərabərdir:

$$\vec{J} = \frac{\sum_i \vec{P}_i}{V}. \quad (6.1)$$

Burada  $\vec{P}_i$  - bir elementar zərrəciyin maqnit momenti, V-maqnitlənən cismin həcmidir.

Maqnitlənmə vektorunun vahidi  $1 \frac{A}{M}$  - dir.

Maqnitlənmə xarici maqnit sahənin təsiri altında baş verir. Təcrübələr göstərir ki, bircinsli izotrop cisimlər üçün maq-

nitlənmə vektoru xarici maqnit sahəsinin  $\vec{H}$  intensivliyi ilə düz mütənasibdir:

$$\vec{J} = \chi \vec{H} \quad (6.2)$$

(6.2) ifadəsinə daxil olan  $\chi$  - əmsalı maddənin maqnitlənmə əmsalı adlanır.

Beynəlxalq Vahidlər Sistemində maqnitlənmə vektoru və xarici maqnit sahəsinin intensivliyi eyni vahidlərlə ölçüldüyündən,  $\chi$  - adsız kəmiyyətdir.

Maddələrin maqnit xassələrini səciyyələndirmək üçün həcmi maqnitlənmə əmsali ilə yanaşı, məxsusi və molyar maqnitlənmə əmsallarından da istifadə olunur.

Xarici maqnit sahəsində yerləşdirilmiş maqnitlənən cisim özünün məxsusi maqnit sahəsini yaradır. Bircins izotrop materialarda bu sahənin istiqaməti xarici sahəyə paralel və ya anti-paralel ola bilər. Bu səbəbdən də maddə daxilindəki sahənin induksiyası ( $B$ ), xarici sahənin induksiyası ( $B_x$ ) ilə məxsusi maqnit sahəsinin ( $B_m$ ) induksiyasının cəminə bərabər olur:

$$\vec{B} = \vec{B}_x + \vec{B}_m . \quad (6.3)$$

Digər tərəfdən  $B_x = \mu_0 H$  və  $B_m = \mu_0 J$  olduğundan:

$$B = \mu_0 (H + J) . \quad (6.4)$$

Bu ifadədəki  $\mu_0$  – maqnit sabiti adlanır və  $\mu_0 = 4\pi 10^{-7}$   $Hn/m$ . (6.2) ifadəsini nəzərə aldıqda (6.4) bərabərliyi şəklində düşər.

$$B = \mu_0 (1 + \chi) H \quad (6.5)$$

Verilmiş mühitdə maqnit induksiyası  $B = \mu \mu_0 H$  olduğunu nəzərə aldıqda, (6.5)-dən

$$\mu = 1 + \chi \quad (6.6)$$

münasibətini yazmaq olar. Burada  $\mu$  -mühitin maqnit nüfuzluğuudur.

## § 6.2. Maddələrin maqnit xassələri

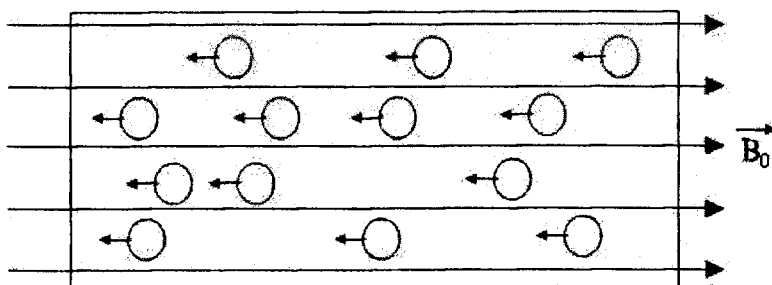
Mövcud olan bütün maddələr maqnit xassəsinə malik olub, xarici maqnit sahəsinə göstərdiyi reaksiyaya və daxili maqnit nizamına görə beş qrupa bölünür: diamaqnit, paramaq-

nit, ferromaqnit, antiferromaqnit, ferrimaqnit. Belə maqnit materiallarının malik olduğu maqnit xassələrinin təbiətini ayrı-ayrılıqda nəzərdən keçirək.

**Diamaqnitlər** maqnitlənmə əmsalı  $\mu < 1$  olan və xarici maqnit sahəsinin qiymətindən asılı olmayan maddələrdir.

Xarici maqnit sahəsi təsir etməyən diamaqnit maddənin təşkil olunduğu atomların hər bir elektronunun nüvə ətrafında fırlanması zamanı yaranan uyğun maqnit momentləti istiqamət-cə xaotik olduğundan bir-birini kompensə edir və buna görə də ümumilikdə həmin cismin maqnit momenti sıfır bərabər olur. Bu səbəbdən də xarici maqnit sahəsi olmadıqda diamaqnit material maqnit xassəsinə malik olmur.

Xarici maqnit sahəsinin təsiri altında atomun daxilindəki hər bir elektronun yaratdığı mikromaqnitlərin istiqaməti dəyişir. Bu isə öz növbəsində əlavə maqnit momentinin yaranmasına səbəb olur. Lens qanununa görə bu maqnit momentləri onu yaradan xarici maqnit sahəsinin əksinə yönəlir.



**Şəkil 6.1**

Xarici maqnit sahəsində yerləşdirilmiş diamaqnitin sxematik təsviri

Diamaqnit xassəsi maddələrin hamsına xasdır. Amma bir çox hallarda güclü maqnit effektləri fonunda o hiss olunmur. Diamaqnit maddələrə təsirsiz qazlar, hidrogen, azot, mayelər, o cümlədən su, neft və onun törəmələri, metallar (berillium, bismut, qallium, qızıl, indium, kadmium, mis, qurğuşun, gümüş,

tallium, sink), yarımköçiricilərin böyük eksəriyyəti (silisium, germanium, A<sup>III</sup> B<sup>V</sup> və A<sup>II</sup> B<sup>VI</sup> birləşmələri), üzvi birləşmələr, qələvi-holloid kristalları, qeyri-üzvi şüselər daxildir. Kovalent kimyəvi rabiṭəyə malik və ifratkeçirici halında olan maddələr də diamaqnit xüsusiyyətə malikdir.

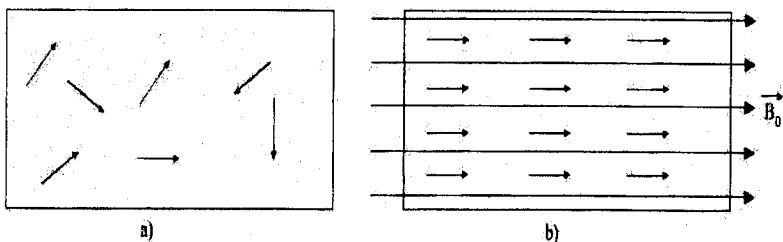
Diamaqnit materiallar üçün maqnitlənmə əmsalının qiyməti  $(10^{-6} \div 10^{-7})$  aralığında dəyişir. Diamaqnitlərin maqnit nüfuzluğu temperaturdan asılı deyil. Bu xüsusiyyət bir daha diamaqnit effektin atomdaxili proseslə əlaqədar olduğunu və zərrəciklərin istilik hərəkətinin ona təsir göstərə bilmədiyini sübut edir.

Verilmiş materialın diamaqnit xassəsinə malik olması onun qeyri-bircins maqnit sahəsindən itələnməsi ilə müəyyən edilir.

**Paramaqnitlər** – xarici maqnit sahəsinin intensivliyindən asılı olmayan müsbət maqnitlənmə əmsalına malik olan maddələrdir. Paramaqnitlərdə atomlar, hətta xarici sahə olmadıqda belə, maqnit momentinə malik olur. Lakin istilik hərəkəti nəticəsində həmin maqnit momentləri xaotik düzülüşə malik olduqlarından, ümumilikdə maddənin maqnitlənməsi sıfır bərabər olur. Xarici maqnit sahəsinin təsiri altında maqnit momentləri sahə istiqamətində düzülmüş olur (şəkil 6.2). Amma istilik enerjisinin təsiri altında maqnit momentlərinin nizamlı düzülüyü pozulur. Bu səbəbdən də paramaqnitin maqnitlənmə əmsali  $\chi$  - temperaturdan kəskin asılı olur. Bərk paramaqnit maddələrin eksəriyyəti üçün maqnitlənmə əmsalı Küri qanununa tabedir:

$$\chi = \frac{C}{T - \theta}. \quad (6.7)$$

Burada C- və  $\theta$ -verilmiş maddə üçün sabit kəmiyyətlərdir. Otaq temperaturunda paramaqnitlərin maqnitlənmə əmsali  $10^{-3} \div 10^{-6}$  tərtibindədir. Bu səbəbdən də onların maqnit nüfuzluğu vahiddən bir qədər fərqli olur.



**Şəkil 6.2**

Paramaqnit xarici maqnit sahəsi təsir etmədikdə  
(a) və etdikdə (b)

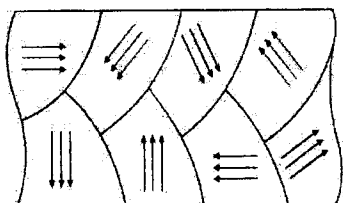
Güclü maqnit sahəsində və aşağı temperaturlarda paramaqnitdə bütün maqnit momentləri maqnit induksiya vektoru istiqamətində düzülür və paramaqnitin maqnitlənməsi doymuş hala keçir.

Paramaqnit materiallara oksigen, azot oksidi, qələvi, qələvi-torpaq və keçid metalları, dəmir duzları, kobalt, nikel və nadirtorpaq elementləri daxildir.

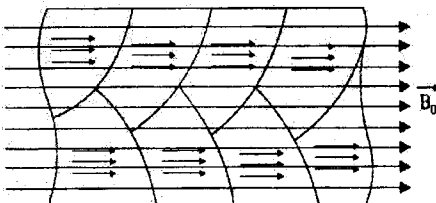
Paramaqnit effekti fiziki təbiəti etibarı ilə dielektriklərin dipol-relaksasiya polyarlaşmasına bənzəyir.

**Ferromaqnitlər.** Çox böyük müsbət maqnitlənmə əmsalına ( $10^6$ -ya kimi) malik olan və maqnitlənmə əmsalı xarici maqnit sahəsinin intensivliyindən, eləcə də temperaturdan kəskin asılı olan maddələrdir.

Ferromaqnitlərin maqnitlənmə mexanizmi prinsip etibarı ilə dia- və paramaqnitlərindən fərqlənir. Xarici maqnit sahəsi olmadiqda onların daxilində ölçüləri  $10^{-3}$  mm-ə qədər olan spontan maqnitləşmiş oblastlar mövcuddur. Belə oblastlara domenlər deyilir. Domenlərin yaranmasını kvant mexanikası anlayışları əsasında izah etmək olur. Bu anlayışlara görə, müəyyən anda yaranan mübadilə qüvvələrinin təsiri altında elektronlara məxsus maqnit momentləri bir domen daxilində eyni istiqamətə yönəlir (Şəkil 6.3). Bu hal maddənin ən dayanıqlı haldır, çünki o, mübadilə enerjisinin minimal qiymətinə uyğun gelir.



a)



b)

Şəkil 6.3

Ferromaqnit xarici maqnit sahəsi təsir etmədikdə (a) və xarici maqnit sahə təsir etdikdə (b)

Feromaqnitin atomlarının birlikdə malik olduğu maqnit sahəsi tək atomun maqnit sahəsindən min dəfələrlə böyük olduğundan onun xarici maqnit sahəsinə təsiri həddindən artıq güclü olur.

Feromaqnitlər qızdırılarkən müəyyən temperaturda domen daxilində maqnit momentlərinin düzülüşü pozulduğundan onlar paramaqnit halına keçir. Bu keçid halına uyğun temperatur **Kuri nöqtəsi (Küri temperaturu)** adlanır. Məsələn, nikel üçün  $T_k=638.15\text{ K}$ , dəmir üçün isə  $T_k=1041,15\text{ K}$ -dir. Feromaqnitin maqnitlənmə əmsalının temperaturdan asılılığı Küri-Veys qanununa tabedir.

Küri temperatutunda feromaqnitlərin maqnit nüfuzluğu vahidə bərabər olur. Bu temperatura görə, mübadilə qarşılıqlı təsir enerjisinin qiymətini təyin etmək olar:

$$T=1000\text{ K}-də E_m=4,3 \cdot 10^{-2} \text{ eV} \text{ olur.}$$

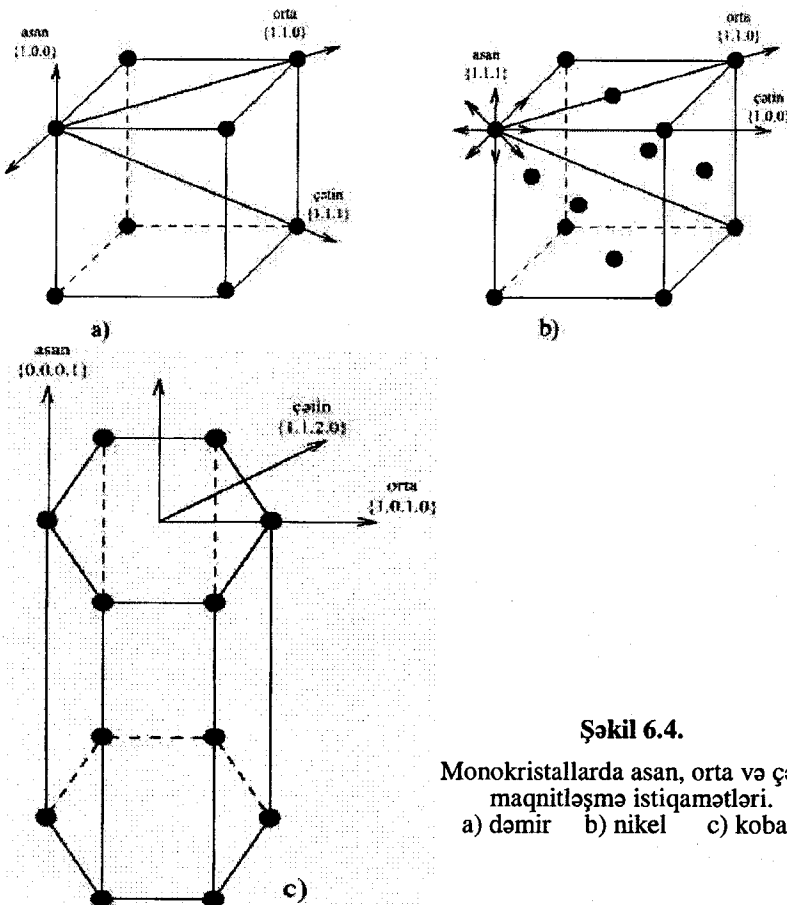
Bu isə kristalloqrafiq anizotropiya və maqnitostriksiya deformasiyasına uyğun enerjidən  $2 \div 5$  tərtib böyükdür.

Feromaqnit kristallar üçün **asan və çətin maqnitlənmə istiqamətləri** mövcuddur. Belə istiqamətlərin sayı kristal qəfəsin simmetriyası ilə müəyyən olunur. Maqnit sahəsi olmadıqda domenlərin maqnit momentləri asan maqnitləşən ox istiqamətində yönəlmış olur. Bütün bu proses **maqnit anizotropiyası** adlanır və onun mübadilə qarşılıqlı təsiri ilə heç bir əlaqəsi yoxdur. Spin momentlərinin, eyni zamanda kristalloqrafiq ox-lara nəzərən istənilən bucaq qədər dönməsi, mübadilə enerjisini-

dən asılı deyil. Şəkil 6.4-də monokristallarda asan, orta və çetin maqnitlənmə istiqamətləri göstərilmişdir.

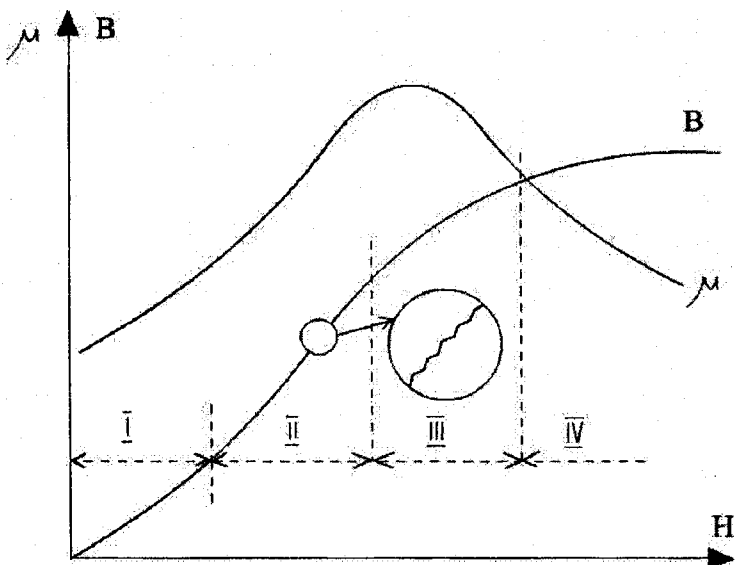
Ferromaqnitin həcmində maqnit induksiyasının xarici maqnit sahəsinin intensivliyindən asılılıq əyrisinə **maqnitlənmə əyrisi** deyilir.

Polikristal ferromaqnitin maqnitlənmə əyrisi şəkil 6.5-də təsvir edilmişdir. Xarici maqnit sahəsinin təsiri altında maqnit induksiyasının artması domen sərhədlərinin yerdəyişməsi və momentlərinin dönməsi ilə əlaqədardır.



Şəkil 6.4.

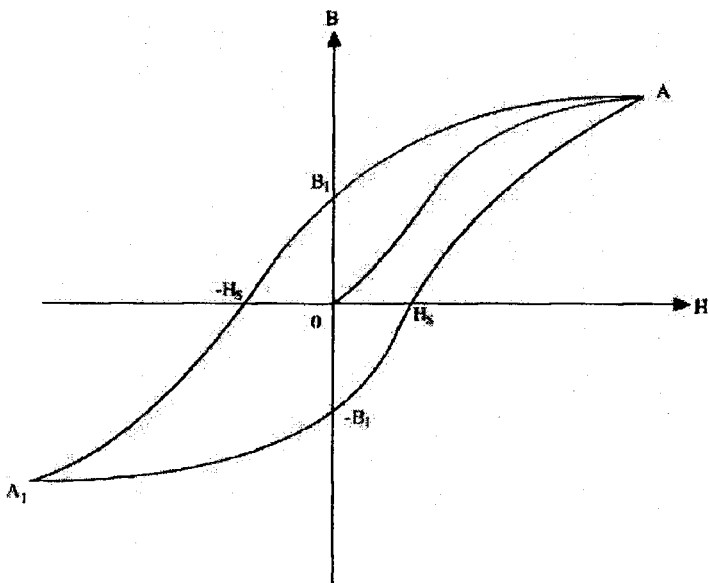
Monokristallarda asan, orta və çetin maqnitləşmə istiqamətləri.  
a) dəmir   b) nikel   c) kobalt



Şəkil 6.5.

Polikristal ferromaqnitdə B-maqnit induksiyasının və  $\mu$ -maqnit nüfuzluğunun xarici maqnit sahəsinin intensivliyindən asılılığı.

Əyrinin birinci oblastı domenlərin sərhədlərinin elastiki sürüşməsinə uyğun gəlir. Xarici sahənin təsiri kəsildikdə yox edilmiş domenlərin sərhədi yenidən əvvəlki vəziyyətə qayıdır. İkinci oblast güclü maqnit sahəsində domenlərin sərhədlərinin sürüşməsinə uyğun gəlir. Bu zaman proses sıçrayışlı xarakter daşıyır. Maqnitlənmənin pilləvari dəyişməsi **Barkhauzen effekti** adlanır və bu halda əyri ən böyük dikliyə malik olur. Sahənin sonrakı artmasında, (əyrinin III oblastında) maddə ən asan maqnitlənmə halından ən çətin maqnitlənmə halına keçir. IV oblastda bütün maqnit momentləri sahə isti-qamətində yönəlir və birinci texniki doyma baş verir.



Şəkil 6.6

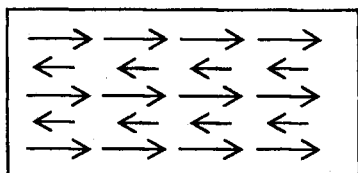
Ferromaqnit A doyma halına gətirildikdən (şəkil 6.6) sonra, xarici maqnit sahəsinin qiymətini sıfıra qədər azaldıqda maqnitlənmə sıfırdan fərqli müəyyən  $B_1$  qiymətinə malik olur. Bundan sonra sahənin istiqamətini dəyişib yenidən qiymətini artırıqda müəyyən  $H_s$  qiymətində maqnit induksiyasının qiyməti sıfıra bərabər olur. Ferromaqniti maqnitsızlaşdırılmak üçün lazımlı olan xarici sahənin ən kiçik qiyməti koyerstiv ( $-H_s$ ) qüvvə adlanır. Maqnit sahəsinin qiymətini əks istiqamətdə artırmağı davam etdiridikdə əvvəlkinin əksi istiqamətdə maqnitlənmə baş verdiyindən  $B$  ( $H$ ) asılılığını təsvir edən əyrinin (qrafikin) xarici maqnit sahəsinin əks istiqamətdəki gedisi düzünlə istiqamətdəki ilə simmetrik olur. Bu cür qapalı əyri «histerezis ilgəyi» adlanır. Histerezis ilgəyi ensiz olan ferromaqnitlər yumşaq, histerezis ilgəyi enli olan ferromaqnitlər isə sərt ferromaqnitlər adlanır.

Maqnitlənmə prosesində ferromaqnitin xətti ölçülərinin və formasının dəyişməsi müşahidə olunur. Bu hadisəyə **maqnitostriksiya** deyilir. Maqnitostruksiya xətti və spontan olmaqdə iki növə malikdir.

Maddəni Küri temperaturundan aşağı temperatura qədər soyutduqda onun paramaqnit halından ferromaqnit halına keçdiyi zaman spontan maqnitostriksiya baş verir. Xarici maqnit sahəsinin təsiri altında kristal qəfəsin pozulması ilə əlaqədar oan deformasiyaya xətti maqnitostriksiya deyilir. Xətti maqnitostriksiya xarici maqnit sahəsi istiqamətindəki nisbi deformasiya ilə təyin olunur:

$$\varepsilon_s = \frac{\Delta l}{l} \quad (6.10)$$

Burada  $\varepsilon_s$ - maqnitostriksiya zamanı baş verən nisbi deformasiya,  $\Delta l$  - xarici maqnit sahəsi istiqamətində nümunənin xətti ölçüsünün mütləq dəyişməsi,  $l$  - isə nümunənin ilkin uzunluğudur.  $\varepsilon_s$ - həm müsbət, həm də mənfi ola bilər.

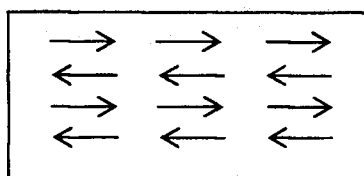


Şəkil 6.7.

Əgər kristal müxtəlif maqnit momentlərinə malik olan iki tip atomdan, təşkil olunubsa, belə maddə **ferrimaqnit** adlanır (Şəkil 6.7).

Şəkil 6.7-də maqnit momentlərini təsvir edən oxların uzunluğu onların qiymətlərinə ekvivalentdir. Bu növ kristallar özlərini sabit maqnit kimi aparırlar.

Elə maqnit maddələri mövcuddur ki, onların qonşu atomlarının maqnit momentləri qiymətcə bərabər olub, istiqamətcə anti-parallel yönəlir (Şəkil 6.8).



Şəkil 6.8.

Belə maddələrə **antiferromaqnitlər** deyilir. Bu tip maddələr xarici maqnit sahəsi təsir etmədikdə maqnit momentinə malik olmur.

### § 6.3. Maqnit materialların təsnifikasi

Elektron texnikasında istifadə olunan maqnit materialları **yumşaq və sərt maqnitlər** olmaqla, iki növə ayrılır. Kiçik koyersetiv qüvvəyə və yüksək maqnit nüfuzluğuna malik olan maqnit maddələri **yumşaq maqnit** materialları adlanır.

Bu maddələr zəif maqnit sahəsində doyma halına qədər maqnitlənmə xüsusiyyətinə, nazik histerezis ilgəyinə və kiçik maqnitlənmə itkisinə malikdir. Yumşaq maqnit materiallarından müxtəlif maqnit naqillərinin, eləcə də drossellərdə, transformatorlarda, elektromaqnitlərdə içliklərin hazırlanmasında istifadə olunur. Yumşaq maqnit materialları üçün koyersetiv qüvvə 800 A/M-dən kiçik olmalıdır. Ən yaxşı yumşaq maqnit materialları üçün  $H_s=1$  A/M .

Transformatorlarda burulğanlı cərəyanlar hesabına baş verən itkini azaltmaq məqsədilə yumşaq maqnit materiallarının istifadə olunur. Bu məqsədlə bir-birindən təcribdə edilmiş nazik lövhələr götürülür. Belə maqnit lövhələri yüksək elastilikliliyə malik olmalıdır. Yumşaq maqnit materiallarına qoyulan əsas tələb onların xassələrinin zamana görə sabit qalması, temperatur və mexaniki gərginliyə davamlı olmasıdır.

Bir çox maqnit materialların əsas komponenti dəmirdir. Dəmir tipik yumşaq maqnit materialıdır. Bu maddənin maqnit xassəsi onda aşqarların həll olma dərəcəsindən, maddənin quruluşundan, dənələrin ölçülərindən və mexaniki gərginliyin mövcudluğundan asılıdır. Cədvəl 6.1-də bəzi yumşaq ferro-maqnit maddələrin xassələri verilmişdir.

Cədvəl 6.1.

Materiallar	Maqnit nüfuzluğu		Koyersetiv qüvvə (A/M)	İnduksiyanın doyma qiyməti (Tl)	Xüsusi müqavimət (MkOmM)
	Başlan- ğıc qiymət	Maksimal qiymət			
Texniki təmiz dəmir	250- 400	3500-4500	10-100	2,18	0,1
Elektrolitik dəmir	600	15000	30	2,18	0,1

Karbonlaşdırılmış dəmir	200-3000	20000-21500	6,4	2,18	0,1
Monokristal təmiz dəmir	>20000	1430000	0,8	—	0,097
Elektrotexniki polad	200-600	3000-8000	10-65	1,95-2,02	0,25-0,6
Az miqdarda nikelli permaloy	1500-4000	15000-60000	5-32	1,0-1,6	0,45-0,9
Yüksək miqdarda nikelli permaloy	7000-10000	50000-300000	0,65-5	0,65-1,05	0,16-0,85
Superpermaloy 79% Ni, 5% Mo, 15% Fe, 0,5% Mn	100000	1500000 Kimi	0,3	0,8	0,6

Maqnit materiallardan geniş istifadə olunması, müxtəlif maqnitlənmə əyrisinə və xarakteristikalarına malik yeni maddələrin alınmasını tələb edir. Bu səbəbdən də nanoquruluşlu həcmi maqnit materialların alınmasını irəliyə doğru uğurlu adımlı hesab etmək olar. Həcmi nanoquruluşlu materiallara misal olaraq  $Fe_{73,5}C_4Nb_3Si_{13,5}B_9$ -u göstərmək olar. Bu ərintinin maqnitlənməsi zamanı doyma halına uyğun maqnit induksiyası 1,24 Tl, qalıq induksiyası 0,67 Tl, koyersetiv qüvvəsi isə çox kiçik olub,  $-0,53\text{ A/m}^2$  bərabərdir. Tərkibindəki nanozərrəciklərin ölçüsü  $10\div15\text{ nm}$  olan  $Fe_{69}Ni_9CO_2$  amorf materialın maqnitlənmə histerezis əyrisi, demək olar ki, yoxdur. Hər bir zərrəciyi yalnız bir domendən ibarət, histerizis ilgəyi olmayan maqnit materiallarına **superparamaqnitlər** deyilir. Ən güclü sabit maqnit neodim, dəmir və bor əsasında hazırlanmış xəlitədən düzəldilir. Maqnit materialların başqa bir növü karbonlu nanoborucuqlarla əlaqədardır. Piroliz prosesi zamanı karbonlu nanoborucuqların formallaşması və böyüməsi ferromaqnit (dəmir, kobalt) zərrəciklərinin olmasını tələb edir. Ftalosianid dəmirin ( $FePc$ ) pirolizi zamanı eyni istiqamətli karbonlu nanoborucuqların əmələ gəlməsi üçün iki dəmir nanozərrəciyin olması vacibdir. Bunlardan biri nanoborucuqların əmələ gəlməsində başlanğıc özək rolunu oynayır, onların böyüməsində əsas

rol oynayan ikincisi isə borucuğun digər ucunda yerləşir. Eyni istiqamətli karbon nanoborucuqlar FePc-in argon-hidrogen mühitində pirolizi prosesində kvars şüşə üzərində alınır.

Temperaturun 5K-nə qədər azalması maqnit nanoborucuqlarda koyersetiv qüvvələrin üç dəfə artmasına səbəb olur. Nanoborucuğun uclarında yerləşən dəmir nanozərrəcikləri yüksək sıxlığa malik maqnit yazma qurğusunun əsasını təşkil edə bilər. Bu zamanı nanoborucuqlar dəmirin nanozərrəcikləri arasında ayırdedici element rolunu oynayaraq, onların maqnit qarşılıqlı təsirini kifayət qədər azalda bilər. Ferromaqnit nanozərrəciklər arasında güclü qarşılıqlı təsir olduqda onların maqnit momentlərinin istiqamətlənməsi üçün güclü maqnit sahəsi tələb olunur.

Nanomaqnit materialların yaradılmasının başqa bir yolu da baxılan materialın daxilindəki məsamələrə nanozərrəciklərin daxil edilməsidir. Təbiətdə molekulyar aralıqları maqnit nanozərrəciklərlə dolmuş materiallar mövcuddur. Belə materiallara misal olaraq ferritini göstərmək olar. **Ferritin** daxili diametri 7,5 nm, xarici diametri isə 12,5 nm olan sferik formalı zülaldan ibarətdir. Onun kütləsinin 25% -ni dəmir təşkil edir. Belə molekul bioloji sistemdə  $\text{Fe}^{3+}$  saxlayan obyektdir. İnsan organizmində olan dəmirin dördə-bir hissəsi ferritin molekullarında, 70%-i isə hemoqlobində olur. Normal şəraitdə ferritinin boşluğu  $5\text{Fe}_2\text{O}_3 \cdot 9\text{H}_2\text{O}$  dəmir oksidi kristalı ilə dolur. Daxilində məsamələri olan materiallara misal olaraq seoliti göstərmək olar. Bu material nanozərrəcikləri yerləşdirmək üçün matrisa rolunu oynaya bilər. Seolitə daxil edilmiş dəmir zərrəciklərinin temperaturdan asılılığı onların paramaqnit xüsusiyyətə malik olmasını göstərir. Maqnit həssaslığının temperaturdan asılılığı Küri qanununa tabedir. Belə materiallarda ferromaqnit əlamətləri müşahidə olunur.

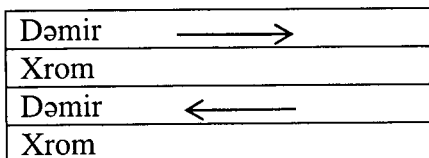
## § 6.4. Böyük və hədsiz böyük maqnit müqaviməti

İlk dəfə materialların elektrik keçiriciliyinə maqnit sahəsinin təsirini ingilis alimi Uilyam Tomson (Lord Kelvin) tədqiq edərək müəyyənləşdirmişdir ki, maqnit sahəsinin istiqamətini dəyişməklə elektrik müqavimətinin qiymətini dəyişmək olar. Elektrik cərəyanın istiqaməti maqnit sahəsinin istiqaməti ilə eyni olduqda müqavimət artır, perpendikulyar yönəldikdə isə, azalır. Bu hadisə maqnit müqavimətin antizotropiyası adlanır və onun əsasında praktikada geniş istifadə olunan maqnitorezistiv material-permaloyid (dəmir və nikelin xəlitəsi) yaradılmışdır.

1977-ci ildə «Maqnit və nizamsız sistemlərin elektron quruluşunun fundamental nəzəri təhlilinə» görə Nobel Mükafatı almış ingilis fiziki Nevill Mott, ferromaqnitlərdə elektrik yüklerinin daşınmasında müşahidə olunan anomallığı elektronun elektrik yükündən əlavə, spinə də malik olması ilə əlaqələndirmiştir.

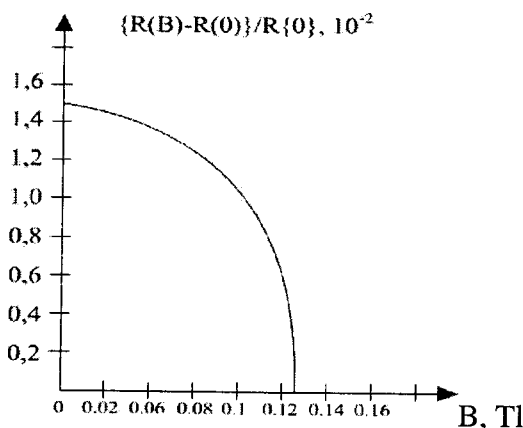
Metallarda maqnit müqaviməti aşağı temperaturlarda güclü sahədə müşahidə olunur. Məsələn, təmiz misin elektrik keçiriciliyi 4K-də 10T induksiyalı maqnit sahəsinin təsiri altında 10 dəfə dəyişir. Bununla belə, temperaturun belə çox aşağı, maqnit sahəsinin isə böyük olması maqnit müqavimətlərinin tətbiq sahəsini məhdudlaşdırırırdı. Lakin 1988-ci ildə çox böyük maqnit müqavimətinin kəşf olunması vəziyyəti xeyli dəyişdi. Çox böyük maqnit müqaviməti (CBMM) bir-birini əvəz edən ferromaqnit və qeyri-maqnit qatlarından təşkil olunmuş çoxlaylı materiallarda müşahidə olunur.

Laylar sünü çökdürmə yolu ilə əldə edilir və onlar ardıcıl olaraq ferromaqnit və qeyri-ferromaqnit metaldan ibarət olur. Bu effekt ilk dəfə dəmir və xromun nazik lövhələrindən ibarət olan laylı materiallarda (Şəkil 6.9), sonradan isə digər kombinasiyalarda da müşahidə edilmişdir.



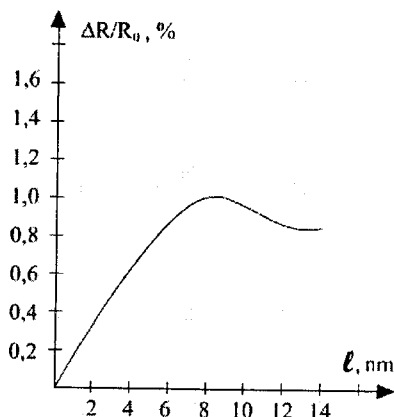
Şəkil 6.9

Sonuncularda (məsələn, kobalt-mis laylarında) maqnit müqavimətinin qiyməti daha böyük olmuşdur. Şəkil 6.10-da sabit maqnit sahəsinin çoxlaylı dəmir-mis sisteminin müqavimətinin qiymətinə təsiri göstərilmişdir.



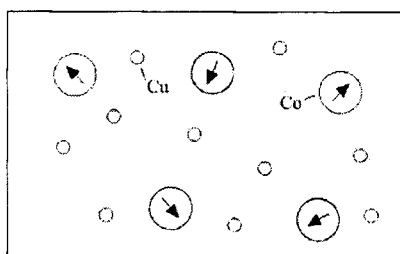
Şəkil 6.10

Şəkil 6.11-dən göründüyü kimi, müqavimətin dəyişməsi özünün maksimum qiymətini dəmir qatının qalınlığı 7 nm olduqda alır.



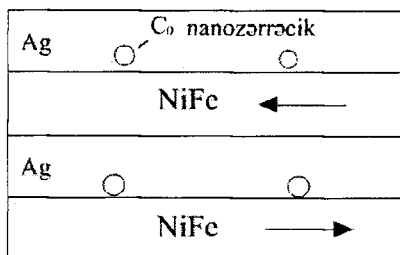
Şəkil 6.11

Qeyri-maqnit matrisada xaotik istiqamətlənmış maqnitlənmə vektoruna malik birdomenli nanozərrəcikli materiallar da çox böyük (nəhəng) maqnit müqavimətinə malik olur. Belə bir sistem sxematik olaraq şəkil 6.12-də təsvir edilmişdir.



**Şəkil 6.12**

Laylı quruluşdan fərqli olaraq, belə sistemin maqnit müqaviməti bütün istiqamətlərdə eyni qiymətə malikdir. Onu xərici maqnit sahəsində yerləşdirdikdə ferromaqnit nanozərrəcicinin maqnitlənmə vektorunun sahə istiqamətində dönməsi nəticəsində, elektrik müqaviməti kiçilir. Sahənin intensivliyinin artması və nanozərrəcicinin ölçüsünün kiçilməsi müqavimətə təsiri artırır. İki ferromaqnit layı arasında yerləşən metal matrisadakı nanozərrəciklərdən ibarət hibrid sistemdə (Şəkil 6.13) maqnitorezistiv xüsusiyyət müşahidə olunur.

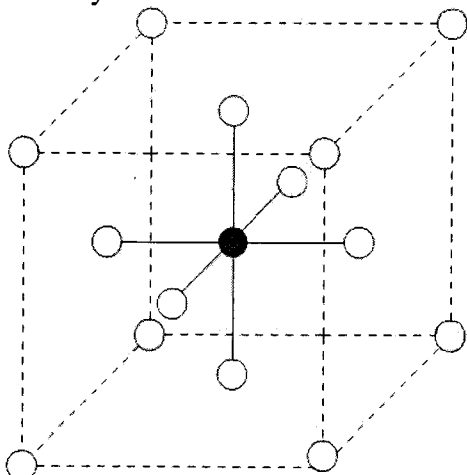


**Şəkil 6.13**

Aşkar edilmiş belə sistemlər laylı sistemlərə nisbətən hədsiz böyük (supernəhəng) maqnit müqavimətə malik olur.

Belə materiallardan yazan maqnit başlıqlarının və həssas maqnitometr elementlərinin hazırlanmasında istifadə olunur.

Perovskit  $\text{LaMnO}_3$  tipli materialarda marqanes üçvalentlidir.  $\text{La}^{3+}$  zərrəciyini ikivalentli ionlarla ( $\text{Ca}$ ,  $\text{Ba}$ ,  $\text{Sr}$ ,  $\text{Pb}$ ,  $\text{Cd}$ ) əvəz etdikdə elektroneytrallığı saxlamaq üçün marqanesin bəzi ionları  $\text{Mn}^{3+}$  halından  $\text{Mn}^{4+}$  halına keçməlidir. Bu zaman sistemdə kifayət qədər çevik müsbət elektrik yükleri əmələ gəlir və sistem hədsiz böyük (supernehəng) maqnit müqavimətinə malik olur. Baxılan kristalın elementar qəfəs quruluşu şəkil 6.14-də təsvir edildiyi kimidir.



Şəkil 6.14

$\text{La}_{0.67} \text{Ca}_{0.33} \text{Mn}_1 \text{O}_x$  sisteminin müqaviməti 6Tl-yə bərabər sabit maqnit sahəsində min dəfəyə qədər dəyişir.

*Fizika-riyaziyyat elmləri doktoru,  
professor  
Qüdrət Əli oğlu Axundov*



Fizika-riyaziyyat elmləri doktoru, professor Qüdrət Əli oğlu Axundov 1932-ci ildə Ordubad şəhərində anadan olmuşdur. Orta təhsilini Ordubad şəhərindəki 1 sayılı orta məktəbdə, ali təhsilini isə Azərbaycan Dövlət Universitetinin (indiki Bakı Dövlət Universitetinin) fizika-riyaziyyat fakültəsində almışdır. Hələ tələbəlik illərindən elmi-tədqiqat işinə böyük maraq göstərərək, akademik H.B.Abdullayevin rəhbərliyi ilə bir sıra yarımkəcəricilərin, o cümlədən Azərbaycan Respublikası əraziyində ehtiyatları olan təbii qalenit kristallarının fiziki xassələrinin tədqiqi ilə məşğul olmuş və 1955-ci ildə «Bəzi yarımkəcəricilərin elektrik keçiriciliyinin və termoelektrik hərəkət qüvvəsinin tədqiqi» mövzusunda ilk elmi əsərini çap etdirmişdir. Universiteti bitirdikdən sonra o, Azərbaycan EA-nın Fizika İnstitutunda laborant, kiçik elmi işçi (1955–1960), baş elmi işçi (1960–1970), laboratoriya müdürü (1970–1971) vəzifələrində çalışmış, elmdə qazandığı uğurları ilə qısa bir müddət ərzində nüfuzlu Qüdrət müəllim kimi tanınmışdır.

Hələ 1955-ci ildən prof. Q.Ə.Axundov tərəfindən Respublikada ilk dəfə olaraq, böyük praktiki əhəmiyyətə malik olan bir üsulla – yarımkəcəricilərdə radioaktiv izotoplar üsulu ilə diffuziya proseslərinin tədqiqinə dair elmi-tədqiqat işləri başlanılmış, bu üsulla selen düzləndiricilərində fiziki proseslərin xüsusiyyətləri öyrənilmişdir.

Alimin elmi fəaliyyəti əsasən  $A^3B^6$  tipli yarımkəcərici birləşmələrin monokristallarının alınması və tədqiqi ilə əlaqədardır. Bu tip yarımkəcərici birləşmələr, onların monokristalları respublikada ilk dəfə olaraq Q.Ə.Axundov tərəfindən hələ 1957-ci ildə alınmış, onların laylı və zəncirvari quruluşa malik olduğu göstərilmişdir. Prof. Q.Ə.Axundov həmkarları ilə birlikdə bu birləşmələrin iriölçülü müükəmməl monokristallarının göyərdilməsi üçün texnoloji rejim işləyib hazırlamış, mahiyyətcə yeni texnoloji üsulun – külçə boyunca sabit temperatur qrädiyenti şəraitində asta soyudulmadan istifadənin müüm-

künlüyüünü təklif etmiş və onu reallaşdırılmışdır. Onun rəhbərliyi altında göstərilən kristalların eletrik, optik, fotoelektrik, lüminessensiya və kontakt xassələrinin kompleks tədqiqi nəticəsində müəyyən edilmişdir ki, müxtəlif istiqamətlərdə kimyəvi rabitənin fərqlənməsi və kristal quruluşun anizotropluğu sayəsində bu kristallarda fiziki xassələrin anizotropluğu və bir sırada maraqlı fiziki hadisələr müşahidə olunur. Müəyyən edilmişdir ki,  $A^3B^6$  sinfinə daxil olan hər bir birləşmənin qadağan olunmuş zolağının eni uyğun  $A^3B^6$  və  $A^2B^6$  izoelektron birləşmələrinin qadağan olunmuş zonasının eninin orta qiymətinə bərabərdir. İlk dəfə olaraq qallium selen kristallarında sürətli elektronların təsiri ilə lazer şüalanması müşahidə edilmiş və Nobel Mükafatı Laureatı, akademik N.Q.Basovla birgə aparılan bu iş 1965-ci ildə «SSRİ EA-nın Məruzələri» jurnalında çap olunmuşdur. Prof. Q.Ə.Axundov həmkarları ilə birlikdə bu tədqiqatları davam etdirərək  $A^3B^6$  sinfinə daxil olan bir sıra yarımkəcəricilərdə və onların əsasindakı bərk məhlullarda elektrolüminessensiya, müxtəlif təsirlərlə induksiyalananmiş şüalanma, çeviricilik hadisəsi müşahidə etmişdir. Bu tədqiqatlar nəticəsində aşkar edilmişdir ki, həmin materiallar optoelektronika və funksional mikroelektronika üçün böyük əhəmiyyət kəsb edir. Aparılan kompleks tədqiqat işlərini ümumiləşdirərək Q.Ə.Axundov 1958-ci ildə namizədlilik, 1967-ci ildə isə doktorluq dissertasiyası müdafiə etmişdir.

Hələ 1960-cı ildən başlayaraq BDU-nun fizika fakültəsində yarımkəcəricilər fizikası sahəsində müxtəlif ixtisas kursları üzrə yüksək səviyyədə mühazirələr oxuyan, kurs, diplom işlərinə, namizədlik dissertasiyalarına rəhbərlik edən yarımkəcəricilər fizikasının tədrisi metodikası sahəsində böyük əmək tutulu işlər aparan prof. Q.Ə.Axundov elmi-pedaqoji ictimaiyyətə yüksək təfəkkürə malik tədqiqatçı alim olmaqla yanaşı, həm də bacarıqlı müəllim kimi tənənmişdir. Elmi-pedaqoji işə olan marağının onu 1970-ci ildə yenidən təhsil aldığı doğma universitetə gətirmiştir. Lakin bu dəfə başqa misliyada – o, müsabiqə yolu ilə BDU-nun «Yarımkəcəricilər fizikası» kafedrasının müdürü vəzifəsinə seçilmiş və ömrünün sonuna qədər həmin vəzifədə çalışmışdır.

Prof. Q.Ə.Axundov «Yarımkəcəricilər fizikası» kafedrasına müdirlilik etməyə başladıqdan sonra çox qısa müddət ərzində kafedranın elmi və metodiki fəaliyyətində ciddi dönüş baş vermiş, kafedranın elmi istiqaməti əsasən Mendeleyev cədvəlinin I, III və VI

qrup elementləri əsasında birləşmələrin və bərk məhlulların alınması, onların elektrik, optik, fotoelektrik və lüminessensiya xassələrinin öyrənilməsi ilə əlaqədar olmuşdur. Sonralar kafedrada A<sup>3</sup>B<sup>6</sup> birləşmələrinin üçqat analoqlarının alınmasına və tədqiqinə başlanılmış, bu birləşmələrdə baş verən elektron və fonon prosesləri haqqında ətraflı məlumat əldə edilmişdir.

Bakı Dövlət Universitetində çalışdığı müddətdə prof. Q.Ə. – Axundov ümumi fizika kursu, yarımkəcəricilərin və yarımkəcərici cihazların fizikası, eləcə də başqa ixtisas kurslarından mühazirələr oxumaqla yanaşı, həm də yarımkəcəricilər fizikası sahəsində sözün əsl mənasında böyük elmi məktəb yaratmışdır.

Prof. Q.Ə.Axundov daima gənclərə qayğı ilə yanaşmış, onların tədqiqatçı, alim kimi formalaşmasında gərgin əmək sərf etmişdir. Onun elmi rəhbərliyi ilə 10-dan çox elmlər namizədi hazırlanmışdır. Qısa ömrü ərzində o, respublika və xarici ölkələrdə dərc olunan elmi jurnallarda 100-dən çox elmi məqalə çap etdirmiş, dəfələrlə Beynəlxalq Elmi Konfranslarda onun məruzələri dinlənmişdir.

Prof. Q.Ə.Axundov 1973-cü ildə – ömrünün yetkin və fəaliyyətinin çiçəkləndiyi bir vaxtda dünyasını dəyişmişdir.

*Fizika-riyaziyyat elmləri doktoru,  
professor*

**Əhməd Şahvələd oğlu Abdinov**

30 may 1945-ci ildə Ordubad rəyonunun Behrud kəndində anadan olub. 1963-cü ildə Ordubad şəhərində 1 saylı orta məktəbi, 1968-ci ildə isə Azərbaycan Dövlət Universitetinin fizika fakültəsini «Fərqlənmə diplomu» ilə bitirib. Hələ tələbə ikən «Ученые записки АГУ»



(Bakı), «Журнал физической химии» (Moskva), «Высокомолекулярные соединения» (Moskva) jurnallarında 3 elmi məqalə dərc etdirib. 1969–1971-ci illərdə SSRİ EA-nın Fizika-Texnika İnsti-tutunda (Leninqrad – indiki Sankt-Peterburq şəhəri) əyani aspirant olub və 1972-ci ildə «Germanium kristallarında qızmar qeyri-əsas yüksəkdaşıyıcıların təbiəti» mövzusunda namizədlik dissertasiyası müdafiə edib.

Prof. Ə.Ş.Abdinov 1972-ci ildən başlayaraq selen, germanium, bor kimi elementar yarımkəcəricilərdə, laylı quruluşlu  $A^{III}B^{VI}$  və halkoprit quruluşlu  $CuInSe_2$  birləşmələrində,  $Ge_{1-x}Si_x$ ,  $Cb_{1-x}Sn_xSe$ ,  $Cd_{1-x}Zn_xS$ ,  $Cd_{1-x}Zn_xSe$ ,  $Cd_{1-x}Zn_xS_{1-y}Se_y$ ,

$As_{1-x}S_xTe$  tipli bərk məhlulların monokristallarında və nazik təbəqələrində, eləcə də onların əsasındaki strukturlarda tarazlılıqda olmayan elektron proseslərinin (qızmar yüksəkdaşıyıcılarla bağlı effektlərin, fotoelektrik hadisələrinin, qeyri-adi fotoelektrik və elektrik effektlərinin, foto- və elektrolüminessensiyanın, çeviricilik effektlərinin, injeksiya cərəyanlarının, elektrik dayanıqsızlıqlarının və s.) kompleks tədqiqini aparmaqla həmin tip qismən nizamsız yarımkəcəricilərdə elektron proseslərinin xüsusiyyətlərini aşkar etmiş, nizamsızlıq dərəcəsinin idarə olunması yollarını müəyyənləşdirmişdir.

O, «Physical Status Solidi» (Berlin), «Proc.SPIE» (Vaşinqton), «Thin Solid Films» (London), «J.of Appl.Phys» (Tokio), «Surface Engineering and Applied Electrochemistry» (Vaşinqton), «Неорганические материалы» (Moskva), «Высокомолекулярные соединения» (Moskva), «Прикладная физика» (Moskva), «Жур-

нал физической химии» (Moskva), «Микроэлектроника» (Moskva), «Физика и техника полупроводников» (Sankt-Peterburq), «Оптика и спектроскопия» (Sankt-Peterburq), «Вестник Бакинского Университета» (Bakı), «Проблемы энергетики» (Bakı), «Fizika» (Bakı), «Известия НАНА» (Bakı), «Доклады НАНА» (Bakı) jurnal-larında çap olunmuş 300-dən çox elmi əsərin müəllifidir ki, bunlardan da 110-a qədəri «SCİ» indeksli elmi jurnalların payına düşür.

Prof. Ə.Ş.Abdinovun müxtəlif yarımkəcərıcı materiallar əsasında elektron cihazlarının düzəldilməsinə dair çoxlu praktiki təklifləri və 2 ixtirası var.

Onun Rusiya Federasiyası, Fransa, Almaniya, Rumınıya, İngiltərə, Yaponiya, Tayvan, Ukrayna, İran İslam Respublikası, Belarus, Litva, Moldova, Gürcüstan, Qazaxıstan, Özbəkistan, Türkmenistan və Türkiyə Respublikasında keçirilən 100-dən çox Beynəlxalq miqyaslı elmi konfrans və simpoziumlarda məruzələri dinlənilmişdir.

Ə.Ş.Abdinov 1979-cu ildə «Laylı quruluşa malik A<sup>III</sup>B<sup>VI</sup> birləşmələrinin monokristalları tipli qeyri-bircins yarımkəcərıcılərdə elektron hadisələri» mövzusunda doktorluq dissertasiyası müdafiə edib, 1981-ci ildən isə professordur.

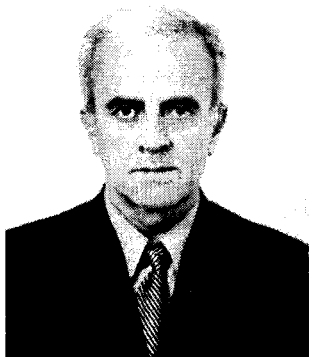
Elmi-pedaqoji fəaliyyəti dövründə prof. Ə.Ş.Abdinov BDU-da tələbələrə «Yarımkecərıcıların fizikası», «Bərk cisim fizikası», «Yarımkecərıcı cihazların fizikası», «Yarımkecərıcı cihazların texnologiyası», «Bərk cisim elektronikası» kurslarından mühazirələr oxumaqla yanaşı, həm də 30-dan çox namizədlik və 6 doktorluq dissertasiyasına elmi rəhbər olmuşdur.

O, ali məktəblər üçün «Bərk cisim elektronikası», «Optoelektronika», «Fiziki elektronikanın tarixi və metodologiyası», «Elektron texnikasının materialları və nanotexnologiyaların əsasları» dərslik və dərs vəsaitlərinin müəllifidir.

Prof. Ə.Ş.Abdinov BDU-da «Bərk cisim elektronikası» Elmi-Tədqiqat laboratoriyasının (1989–2007-ci illər) elmi rəhbəri, «Fizika fakültəsi»nin dekanı (1988–1989) olmuş, 1992-ci ildən isə «Fiziki elektronika» kafedrasına rəhbərlik edir.

O, 1993–2000-ci illərdə Azərbaycan Respublikası Təhsil nazirinin müavini və nazir əvəzi vəzifələrində çalışmış, bu dövrdə müstəqil respublikanın təhsil sisteminin normativ-hüquqi bazasının yaradılmasında xeyli işlər görmüşdür.

Prof. Ə.Ş.Abdinov tanınmış tədqiqatçı alim kimi ictimaiyyət arasında və beynəlxalq aləmdə nüfuza malikdir. O, 1977-ci ildə Elm və Texnika sahəsində Komsomol Mükafatı Laureati, 1993-cü ildə Elm sahəsində Beynəlxalq Soros Fondu müsabiqəsi qalibi olmuş, 1995-ci ildə Nyu-York Elmlər Akademiyasının həqiqi üzvü, 2009-cu ildə Beynəlxalq Bioqrafiya Mərkəzi (İngiltərə-Kembriç Universiteti) tərəfindən «İlin 100 Birinci Tədqiqatçısı» və Amerika Birləşmiş Ştatlarının Bioqrafiya İnstitutu tərəfindən «İlin adamı» élan olunmuş, həmin nominasiyaların medal və sertifikatlarını almışdır.



*Fizika-riyaziyyat elmləri  
namizədi, dosent  
Vaqif Hüseynqulu oğlu Səfərov*

5 mart 1941-ci ildə Şamaxı şəhərində anadan olub, 1958-ci ildə oradakı 1 sayılı orta məktəbi bitirib və Azərbaycan Dövlət Universitetinin (indiki Bakı Dövlət Universitetinin) fizika fakültəsinə qəbul olunub. 1958–1963-cü illərdə həmin fakültənin əyani şöbəsində təhsil alıb və 1963-cü ildə Universiteti bitirdikdən sonra 1964-cü ilədək Şamaxı şəhərindəki 1 sayılı orta ümumtəhsil məktəbində fizika müəllimi işləmişdir. 1964–1965-ci illərdə hərbi xidmətdə olmuşdur. Hərbi xidməti başa çatdırıldıqdan sonra 1967-ci ilə qədər Şamaxı rayonunun Çuxur-yurd kəndindəki orta ümumtəhsil məktəbində və Şamaxı şəhərindəki 2 sayılı orta ümumtəhsil məktəbində fizika müəllimi vəzifəsində çalışmışdır.

1967–1969-cu illərdə Bakı Dövlət Universitetində laborant, 1969–1972-ci illərdə isə həmin Universitetin «Yarımkeçiricilərin fizikası» kafedrasının əyani aspiranti olmuşdur.

V.H.Səfərov aspiranturunu bitirdikdən sonra 1972–1982-ci illərdə Bakı Dövlət Universitetinin fiziki elektronika kafedrasında laboratoriya müdürü, 1982–1984-cü illərdə assistent, 1984–1990-ci illərdə baş müəllim, 1990-ci ildən etibarən isə dosent vəzifəsində çalışır.

O, 1979-cu ildə «Alçaq və yüksək həyəcanlaşmada gallium halkogenidlərinin və onların vismut, itterbium halkogenidləri əsasında alınmış bərk məhlullarının optik və fotoelektrik xassələrinin tədqiqi» mövzusunda namizədlilik dissertasiyası müdafiə etmiş, 1991-ci ildə dosent elmi adı almışdır.

Universitet tələbələrinə ümumi fizika, radiofizika, elektron texnikasının materialları, bərk cisim fizikası, materialşunaslıq, mikro- və nanoelektronikanın əsasları fənlərindən yüksək səviyyədə mühəzişlərlər oxuyan dos.V.H.Səfərov, həm də elektron texnikası üçün perspektivli olan mürəkkəb yarımkəciriçi materialların alınması, tədqiqi, tətbiq imkanlarının müəyyənləşdirilməsi sahəsində dəyərli tədqiqat işləri aparır.

O, çox nüfuzlu beynəlxalq və regional nəşrlərdə çap olunmuş 60-dan çox elmi məqalənin, o cümlədən ixtira üçün alınmış 9 patentin müəllifidir.

Dos.V.H.Səfərov həm Respublikada, həm də müxtəlif xarici ölkələrdə keçirilmiş bir neçə beynəlxalq əhəmiyyətli elmi konfrans və simpoziumlarda məruzələrlə çıxış etmişdir.

## ӘДӘВІYYАТ

1. **Abdinov Ә.Ş., Məmmədov H.M.** Bərk cisim elektronikası. Bakı, «Təhsil», 2004.
2. **Abdinov Ә.Ş., Mehdiyev N.M.** Optoelektronika. Bakı, «Maarif», 2005.
3. **Abdinov Ә.Ş., Kazimzadə A.H.** «Q.Ə.Axundovun Bakı Dövlət Universitetindəki fəaliyyətinin Azərbaycanda fizikanın inkişafındakı rolü». Fizika, 2007, XIII, № 4, səh.5–7.
4. **Əsgərov Ş.Q., Sadıqzadə G.M., Ağayev M.N.** Vakuum texnikasının əsasları. Bakı, «BDU», 2007.
5. **Məmmədov N.Ə.** İfrat yüksək tezliklər elektronikası. Bakı, «Ti-media», 2008.
6. **Пасынков В.В.** Материалы электронной техники. Москва, «Высшая школа», 1983.
7. **Sadiqov O.M., Həsənova M.S.** Elektron texnikasının materialları və komponentləri. Bakı, «AzTU», 2002.
8. **Кривошеева Г.Б., Тарасов В.В., Герасимов А.П.** Материаловедение. Владивосток, «ДВГМА», 1999.
9. **Пасынков В.В., Сорокин В.С.** Материалы электронной техники. Москва, «Высшая школа», 1986.
10. **Казаринский Д.М., Яманов С.А.** Радиотехнические материалы. Москва, «Высшая школа», 1972.
11. **Кабаяси Н.** Введение в нанотехнологии. Москва, «Бином», 2005.
12. **Пуль Ч., Оуэнс Ф.** Нанотехнологии. Москва, «Техносфера», 2007.
13. **Məhəggəmov A.M., Ramazanov M.Ə., Vəliyeva L.İ.** Nanotexnologiya. Bakı, «Çaşıoğlu», 2007.
14. **Рыжанков Д.И., Левина В.В., Дзидзигури.** Наноматериалы. Москва, «Бином», Лаборатория знаний, 2008.
15. **Мартинес-Дуарт Дж.М., Мартин-Палма Р.Дж., Агульо-Руедо Ф.** Нанотехнология для микро- и оптоэлектроники. М., «Техносфера», 2007.

16. Чаплыгин Ю.А. Нанотехнологии в электронике. М. «Техносфера», 2005.
17. Zərbəliyev M.M. Yarımkeçiricilər fizikası. Bakı, «Təhsil», 2008.
18. Eyvazov E.Ə. Bərk cisimlər fizikası. Bakı, «Çinar-çap», 2007.
19. Баранский П.И., Ключков В.П., Потыкевич И.В. Полупроводниковая электроника. Киев, «Науково Думка», 1975.
20. Barxalov B.Ş., Hüseynov Y.Y., İsmayılov R.M. Elektron texnikasının materialları, Sumqayıt, «SDU», 2007.

*Əhməd Şahvələd oğlu Abdinov  
Vaqif Hüseynqulu oğlu Səfərov*

**ELEKTRON TEKNİKASININ MATERİALLARI VƏ  
NANOTEXNOLOGİYANIN ƏSASLARI**  
*Ali məktəblər üçün dərs vəsaiti*  
Bakı, «Təhsil», 2010.

---

Çapa imzalanmışdır 17.01.2010. Kağız formatı 60x90<sup>1/16</sup>.  
Fiziki çap vərəqi 11,5. Sifariş 141. Tiraj 200.  
Qiyməti müqavilə yolu ilə.

«Təhsil Nəşriyyat-Poliqrafiya» MMC  
Bakı, AZ 1052, F.Xoyski küç. 121<sup>A</sup>